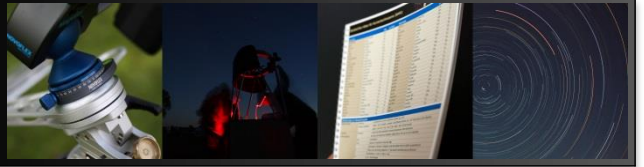


# Arp - Galaxien



Arp-Objekte: 130

Stand: Oktober 2019



Bilder - CCD-Guide  
sowie Capella Observatory

Rene Merting  
Christopher Hay

# Arp-Guide

## Zusammenfassung von 130 Arp-Objekten

	Mitglieder	SBK	RA	DEC	Seite isDSA	Größe	GH	FH	tatsächl. Größe	Entfernung	Bemerkungen
Spiralgalaxien mit geringer Flächenhelligkeit (Arp 1-6)											
Arp 1	NGC 2857	UMa	09h24m38s	+49°21'24"	S.23	2,2' x 2'	12m5	13m9	140.000 Lj.	220 Mio. Lj.	
Arp 5	NGC 3664	Leo	11h24m24s	+03°19'33"	S.58	2' x 1,9'	12m6	13m8	40.000 Lj.	57 Mio. Lj.	
Arp 6	NGC 2537	Lyn	08h13m15s	+45°59'23"	S.23	1,7' x 1,5'	11m7	12m6	--	19 Mio. Lj.	
Spiralgalaxien mit abgetrennten Abschnitten (Arp 13-18)											
Arp 13	NGC 7448	Peg	23h00m04s	+15°58'46"	S.40	2,6' x 1,2'	11m4	12m4	75.000 Lj.	106 Mio. Lj.	
Arp 16	M 66	Leo	11h20m15s	+12°59'29"	S.46	9,1' x 4,2'	8m9	12m5	87.000 Lj.	33 Mio. Lj.	
Arp 18	NGC 4088	UMa	12h05m34s	+50°32'21"	S.21	5,6' x 2,1'	10m3	12m7	--	50 Mio. Lj.	
Dreiarmlige Spiralgalaxien (Arp 19-21)											
Arp 19	NGC 145	Cet	00h31m46s	-05°09'08"	S.63	1,7' x 1,4'	12m7	13m6	100.000 Lj.	185 Mio. Lj.	
Einarmige Spiralgalaxien (Arp 22-24)											
Arp 22	NGC 4027	Crv	11h59m30s	-19°15'55"	S.69	3,2' x 2,4'	11m1	13m1	70.000 Lj.	75 Mio. Lj.	
	NGC 4027A		11h59m30s	-19°20'00"		0,9' x 0,6'	14m4	13m5	--		
Arp 23	NGC 4618	CVn	12h41m33s	+41°09'03"	S.21	4,2' x 3,4'	10m6	13m2	30.000 Lj.	24 Mio. Lj.	
	NGC 4625		12h41m53s	+41°16'25"		2,3' x 1,9'	12m3	12m9	15.000 Lj.		
Spiralgalaxien mit einem ausgeprägten Arm (Arp 25-30)											
Arp 25	NGC 2276	Cep	07h27m14s	+85°45'16"	S.1	2,3' x 1,9'	11m3	12m6	--	160 Mio. Lj.	zus. mit NGC 2300 auch Arp 114
Arp 26	M 101	UMa	14h03m13s	+54°20'56"	S.11	29' x 27'	7m7	14m8	170.000 Lj.	22 Mio. Lj.	
Arp 27	NGC 3361	UMa	11h21m03s	+53°10'09"	S.12	5' x 4,8'	10m1	13m3	80.000 Lj.	54 Mio. Lj.	
Arp 28	NGC 7678	Peg	23h28m28s	+22°25'16"	S.28	2,5' x 1,7'	11m8	13m1	116.000 Lj.	184 Mio. Lj.	SN 1997 und 2009
Arp 29	NGC 6946	Cyg	20h34m52s	+60°09'13"	S.9	11,8' x 9,5'	9m0	13m9	--	20 Mio. Lj.	Fireworks Galaxy
Galaxien mit der Form eines Integralzeichens (Arp 31-36)											
Arp 31	IC 167	Ari	01h51m08s	+21°54'43"	S.51	2,7' x 1,8'	12m8	14m2	105.000 Lj.	136 Mio. Lj.	
Arp 32	UGC 10770	Dra	17h13m09s	+59°19'37"	S.10	0,9' x 0,4'	13m7	12m4	--	58 Mio. Lj.	
Spiralgalaxien mit einem Begleiter niedriger Flächenhelligkeit auf einem Arm (Arp 37-48)											
Arp 37	M 77	Cet	02h42m41s	-00°00'48"	S.62	7,1' x 6'	8m9	13m2	170.000 Lj.	50 Mio. Lj.	
Arp 38	NGC 6412	Dra	17h29m37s	+75°42'15"	S.3	2,5' x 2,4'	11m5	13m2	--	67 Mio. Lj.	
Arp 41	NGC 1232	Eri	03h09m45s	-20°34'47"	S.74	7,1' x 6,3'	9m7	13m6	160.000 Lj.	68 Mio. Lj.	
	NGC 1232A		03h10m02s	-20°36'00"		0,9' x 0,7'	14m7	13m9	--		
Spiralgalaxien mit einem kleinen Begleiter hoher Flächenhelligkeit auf einem Arm (Arp 49-78)											
Arp 55	UGC 4881	Lyn	09h15m56s	+44°19'54"	S.23	0,8' x 0,7'	14m2	13m4	--	527 Mio. Lj.	Grashüpfer
Arp 72	NGC 5994	Ser	15h46m53s	+17°52'22"	S.44	0,4' x 0,2'	14m8	11m8	--	155 Mio. Lj.	
	NGC 5996		15h46m59s	+17°53'03"		1,7' x 0,9'	12m5	12m7	--		
Arp 76	M 90	Vir	12h36m50s	+13°09'46"	S.45	9,5' x 4,4'	9m5	13m6	85.000 Lj.	31 Mio. Lj.	
	IC 3583		12h36m44s	+13°15'33"		2,2' x 1,1'	13m3	14m0	--		
Arp 78	NGC 770	Ari	01h59m14s	+18°57'17"	S.51	1,1' x 0,8'	12m9	12m6	40.000 Lj.	113 Mio. Lj.	NGC 772 = Apostroph-Galaxie
	NGC 772		01h59m20s	+19°00'27"		7,4' x 4,9'	10m1	13m9	230.000 Lj.		
Spiralgalaxien mit einem großen Begleiter hoher Flächenhelligkeit auf einem Arm (Arp 79-91)											
Arp 81	NGC 6621	Dra	18h12m55s	+68°21'49"	S.3	2,1' x 0,8'	13m2	13m5	--	300 Mio. Lj.	
	NGC 6622		18h13m00s	+68°21'12"		0,9' x 0,4'	15m0	13m6	--		
Arp 83	NGC 3799	Leo	11h40m10s	+15°19'39"	S.46	0,7' x 0,5'	13m7	12m3	35.000 Lj.	170 Mio. Lj.	
	NGC 3800		11h40m14s	+15°20'33"		2' x 0,6'	12m5	12m4	90.000 Lj.		
Arp 84	NGC 5394	CVn	13h58m34s	+37°27'11"	S.21	1,7' x 0,8'	12m9	13m0	90.000 Lj.	160 Mio. Lj.	Heron Galaxy
	NGC 5395		13h58m38s	+37°25'29"		2,7' x 1,3'	11m7	12m8	140.000 Lj.		
Arp 85	M 51	CVn	13h29m53s	+47°11'43"	S.21	11,2' x 6,9'	8m4	13m1	87.000 Lj.	27 Mio. Lj.	
	NGC 5195		13h30m00s	+47°15'58"		5,6' x 4,5'	9m6	12m9	43.000 Lj.		
Arp 86	NGC 7752	Peg	23h46m58s	+29°27'32"	S.21	0,9' x 0,5'	14m0	12m9	230.000 Lj.	240 Mio. Lj.	
	NGC 7753		23h47m05s	+29°29'00"		2,9' x 1,9'	12m2	13m8	55.000 Lj.		
Arp 87	NGC 3808	Leo	11h40m44s	+22°25'46"	S.46	1,6' x 0,9'	13m4	13m5	150.000 Lj.	300 Mio. Lj.	
	NGC 3808A		11h40m45s	+22°26'48"		0,9' x 0,3'	13m7	12m0	--		
Arp 89	NGC 2648	Cnc	08h42m40s	+14°17'04"	S.47	3,2' x 1,1'	12m0	13m1	85.000 Lj.	87 Mio. Lj.	
	MCG+2-22-6		08h42m49s	+14°15'55"		1,1' x 0,3'	14m7	13m2	--		
Arp 90	NGC 5929	Boo	15h26m06s	+41°40'14"	S.20	0,9' x 0,9'	13m3	12m7	--	117 Mio. Lj.	
	NGC 5930		15h26m08s	+41°40'34"		1,7' x 0,9'	12m2	11m6	--		
Arp 91	NGC 5953	Ser	15h34m32s	+15°11'38"	S.44	1,6' x 1,3'	12m0	12m5	--	90 Mio. Lj.	
	NGC 5954		15h34m35s	+15°11'54"		1,1' x 0,5'	12m2	11m3	--		
Arp 94	NGC 3226	Leo	10h23m27s	+19°53'54"	S.46	2,8' x 2'	11m4	13m0	45.000 Lj.	55 Mio. Lj.	
	NGC 3227		10h23m31s	+19°51'54"		4,1' x 3,9'	10m4	13m2	90.000 Lj.		
Spiralgalaxien mit einem elliptischen Begleiter auf einem Arm (Arp 92-101)											
Arp 99	NGC 7547	Peg	23h15m04s	+18°58'25"	S.40	1,1' x 0,5'	13m6	12m7	70.000 Lj.	221 Mio. Lj.	
	NGC 7549		23h15m18s	+19°02'30"		2,7' x 0,7'	13m2	13m7	170.000 Lj.		
	NGC 7550		23h15m16s	+18°57'41"		1,4' x 1,2'	12m2	12m5	95.000 Lj.		
Elliptische Galaxien mit Verbindung zu Spiralen (Arp 102-108)											
Arp 103	Zwicky A	Her	16h49m28s	+45°27'41"	S.19	0,8' x 0,7'	16m0	--	--	--	Zwicky's Triplet
	Zwicky B		16h49m26s	+45°27'29"		0,1' x 0,1'	15m2	--	--		
	Zwicky C		16h49m33s	+45°29'52"		0,4' x 0,3'	15m7	--	--		

# Arp-Guide

## Zusammenfassung von 130 Arp-Objekten

	Mitglieder	SBK	RA	DEC	Seite isDSA	Größe	GH	FH	tatsächl. Größe	Entfernung	Bemerkungen
Arp 104	NGC 5216	UMa	13h32m07s	+62°42'03"	S.11	1,8' x 1,2'	12m6	13m2	--	130 Mio. Lj.	
	NGC 5218		13h32m10s	+62°46'04"		1,8' x 1,3'	12m3	13m0	--		
Elliptische Galaxien, die Spiralarme abstoßen (Arp 109-112)											
Arp 112	NGC 7805	Peg	00h01m27s	+31°25'59"	S.19	1,2' x 0,9'	13m2	13m0	80.000 Lj.	221 Mio. Lj.	
	NGC 7806		00h01m30s	+31°26'29"		1,1' x 0,8'	13m3	12m9	100.000 Lj.		
	MCG+5-1-26		00h01m35s	+31°26'34"		0,6' x 0,2'	16m5	--	--		
Elliptische Galaxien nahe bei Spiralgalaxien und diese störend (Arp 113-132)											
Arp 113	NGC 70-Gr.	And	00h18m23s	+30°03'40"	S.39	5,4' x 4,3'	13m4	--	--	300 Mio. Lj.	ingesamt 8 Galaxien
Arp 114	NGC 2276	Cep	07h27m14s	+85°45'16"	S.1	2,3' x 1,9'	11m3	12m6	--	160 Mio. Lj.	
	NGC 2300		07h32m20s	+85°42'32"		2,8' x 2,3'	11m1	12m7	--		
Arp 116	M 60	Vir	12h43m40s	+11°33'09"	S.45	7,4' x 6'	8m8	12m8	115.000 Lj.	53 Mio. Lj.	nach neuesten Erkenntnissen ohne Wechselwirkung
	NGC 4647		12h43m33s	+11°34'57"		2,9' x 2,3'	11m4	13m2	--		
Arp 117	IC 982	Boo	14h09m59s	+17°41'46"	S.44	1' x 1'	13m3	13m0	--	250 Mio. Lj.	nur 2° südwestlich von Arktur
	IC 983		14h10m04s	+17°44'02"		5,5' x 4,7'	11m7	13m9	300.000 Lj.		
Arp 118	NGC 1141	Cet	02h55m10s	-00°10'41"	S.62	0,9' x 0,7'	13m1	12m3	--	110 Mio. Lj.	auch NGC 1143 & NGC 1144
	NGC 1142		02h55m12s	-00°11'02"		0,9' x 0,5'	12m8	11m7	--		
Arp 120	NGC 4435	Vir	12h27m41s	+13°04'44"	S.45	3' x 2'	10m8	12m8	--	52 Mio. Lj.	The Eyes, Interaktion von NGC 4438 aber mit M 86
	NGC 4438		12h27m46s	+13°00'31"		9' x 3'	9m9	13m4	--		
Arp 123	NGC 1888	Lep	05h22m34s	-11°30'03"	S.73	3,2' x 1,2'	11m8	13m0	90.000 Lj.	103 Mio. Lj.	
	NGC 1889		05h22m35s	-11°29'51"		0,6' x 0,4'	13m1	11m3	18.300 Lj.	105 Mio. Lj.	
Arp 125	UGC 10491A	Her	16h38m14s	+41°55'50"	S.45	0,3' x 0,2'	16m2	--	--	370 Mio. Lj.	A ist der kleinere Begleiter, B die Haupt-Galaxie
	UGC 10491B		16h38m14s	+41°56'18"		1,1' x 0,4'	14m2	13m0	--		
Elliptische Galaxien mit nahen Fragmenten (Arp 133-136)											
Arp 134	M 49	Vir	12h29m47s	+08°00'01"	S.57	10' x 8'	8m4	12m7	160.000 Lj.	53 Mio. Lj.	
	NGC 4467		12h29m30s	+07°59'35"		0,4' x 0,3'	14m0	11m4	--		
Arp 135	NGC 1023	Per	02h40m24s	+39°03'48"	S.26	7,4' x 2,5'	9m5	12m4	60.000 Lj.	34 Mio. Lj.	
	NGC 1023A		02h40m38s	+39°03'29"		1,3' x 0,7'	13m6	13m2	--		
Elliptische Galaxien mit ausströmendem Material (Arp 137-145)											
Arp 140	NGC 274	Cet	00h51m02s	-07°03'25"	S.75	1,4' x 1,2'	11m8	12m1	35.000 Lj.	63 Mio. Lj.	
	NGC 275		00h51m04s	-07°03'52"		1,5' x 1,2'	12m5	12m9	35.000 Lj.		
Arp 141	UGC 3730	Cam	07h14m21s	+73°28'37"	S.6	2,1' x 1,2'	12m5	13m4	--	127 Mio. Lj.	
Arp 142	NGC 2936	Hya	09h37m44s	+02°45'39"	S.59	1,3' x 0,5'	12m9	12m2	150.000 Lj.	322 Mio. Lj.	Pinguin
	NGC 2937		09h37m45s	+02°44'50"		0,8' x 0,7'	13m6	12m5	--		
Arp 143	NGC 2444	Lyn	07h46m53s	+39°01'55"	S.24	1,6' x 0,9'	12m9	13m0	85.000 Lj.	181 Mio. Lj.	
	NGC 2445		07h46m55s	+39°00'55"		1,7' x 1,3'	12m9	13m5	90.000 Lj.		
Galaxien mit assoziierten Ringen (146-148)											
Arp 148	MCG+7-23-19	UMa	11h03m54s	+40°51'00"	S.22	0,6' x 0,5'	14m3	--	--	500 Mio. Lj.	Mayalls Object
Galaxien mit Jets (Arp 149-152)											
Arp 152	M 87	Vir	12h30m49s	+12°23'28"	S.45	8,3' x 6,6'	8m6	12m7	132.000 Lj.	55 Mio. Lj.	
Gestörte Galaxien mit innerer Absorption (Arp 153-160)											
Arp 157	NGC 520	Psc	01h24m35s	+03°47'33"	S.63	3,4' x 1,7'	11m3	12m9	100.000 Lj.	100 Mio. Lj.	Flying Ghost
	UGC 957		01h24m25s	+03°52'55"		1,2' x 0,6'	14m6	13m9	--		
Arp 158	NGC 523	And	01h25m21s	+34°01'31"	S.39	2,5' x 0,7'	12m7	13m0	--	197 Mio. Lj.	auch NGC 537
Arp 159	NGC 4725	Com	12h50m27s	+25°30'03"	S.33	4' x 3'	9m4	14m1	--	49 Mio. Lj.	NGC 4725 - The Fighter
	NGC 4747		12h51m46s	+25°46'30"		3,3' x 1,3'	12m2	13m5	--		
Galaxien mit diffusen Filamenten (Arp 161-166)											
Arp 162	NGC 3414	LMi	10h51m16s	27°58'28"	S.34	3,6' x 3,1'	10m9	13m3	80.000 Lj.	64 Mio. Lj.	
Arp 166	NGC 750	Tri	01h57m33s	+33°12'33"	S.38	1,6' x 1,3'	12m0	12m5	--	237 Mio. Lj.	
	NGC 751		01h57m33s	+33°12'11"		1,2' x 1,2'	12m2	12m3	--		
Galaxien mit diffusen Gegenarmen (Arp 167-172)											
Arp 168	M 32	And	00h42m42s	+40°51'55"	S.27	8' x 6'	8m1	12m7	6.500 Lj.	2,5 Mio. Lj.	Zwerg-Galaxie
Galaxien mit schmalen Filamenten (Arp 179-193)											
Arp 182	NGC 7674	Peg	23h27m57s	+08°46'41"	S.40	1,1' x 1'	13m1	12m9	--	400 Mio. Lj.	auch Hickson 96 zusammen mit PGC 71507
	NGC 7674A		23h27m59s	+08°46'56"		0,3' x 0,2'	14m4	11m1	--		
	NGC 7675		23h28m06s	+08°46'07"		0,6' x 0,4'	15m2	13m4	--		
Arp 184	NGC 1961	Cam	05h42m04s	+69°22'41"	S.6	4,5' x 3,1'	10m9	13m5	200.000 Lj.	182 Mio. Lj.	
Arp 185	NGC 6217	UMi	16h32m39s	+78°11'54"	S.4	3,3' x 2,9'	11m0	12m9	60.000 Lj.	67 Mio. Lj.	
Arp 186	NGC 1614	Eri	04h34m00s	-08°34'45"	S.61	1,3' x 0,9'	12m9	12m8	--	207 Mio. Lj.	
Arp 188	UGC 10214	Dra	16h06m04s	+55°25'31"	S.10	3,6' x 0,8'	14m3	15m2	--	420 Mio. Lj.	Kaulquappengalaxie
Arp 189	NGC 4651	Com	12h43m43s	+16°23'35"	S.45	4,0' x 2,7'	10m6	12m9	50.000 Lj.	34 Mio. Lj.	Umbrella Galaxy
Arp 193	IC 883	CVn	13h20m36s	+34°08'17"	S.33	1,4' x 0,7'	13m9	13m6	--	314 Mio. Lj.	gekreuzte Gezeitenschweife
Galaxien mit vom Kern ausgeschleuderte Materie (Arp 194-208)											
Arp 194	UGC 6945	UMa	11h57m55s	+36°23'20"	S.33	1,2' x 0,8'	14m0	13m7	--	600 Mio. Lj.	
Arp 199	NGC 5544	Boo	14h17m03s	+36°34'14"	S.32	1,1' x 1'	13m3	13m1	--	150 Mio. Lj.	ähnlich Arp 148 - Zigarre mit Rauchring
	NGC 5545		14h17m05s	+36°34'27"		1' x 0,3'	15m0	13m4	--		
Arp 202	NGC 2719	Lyn	09h00m16s	+35°43'39"	S.35	1,1' x 0,3'	13m3	11m8	45.000 Lj.	136 Mio. Lj.	
	NGC 2719A		09h00m16s	+35°43'13"		0,4' x 0,3'	13m9	11m3	--		

# Arp-Guide

## Zusammenfassung von 130 Arp-Objekten

	Mitglieder	SBK	RA	DEC	Seite isDSA	Größe	GH	FH	tatsächl. Größe	Entfernung	Bemerkungen
Arp 205	NGC 3448	UMa	10h54m39s	+54°18'17"	S.12	5,6' x 1,7'	11m5	13m7	50.000 Lj.	63 Mio. Lj.	
	PGC 32740		10h54m13s	+54°17'17"		2,1' x 1,2'	17m0	--	--		
Arp 206	NGC 3432	LMi	10h52m31s	+36°37'08"	S.34	6,6' x 1,6'	11m1	13m4	50.000 Lj.	27 Mio. Lj.	
Galaxien mit Unregelmäßigkeiten, Absorption und Auflösung (Arp 209-214)											
Arp 209	NGC 6052A	Her	16h05m13s	+20°32'31"	S.43	0,9' x 0,7'	13m8	13m0	--	228 Mio. Lj.	auch 6064A/B
	NGC 6052B		16h05m13s	+20°32'32"		0,8' x 0,3'	13m3	11m5	--		
Arp 210	NGC 1569	Cam	04h30m49s	+64°50'53"	S.14	3,6' x 1,8'	11m2	13m1	--	7 Mio. Lj.	Galaxie der Maffei-Gruppe
Arp 212	NGC 7625	Peg	23h20m30s	+17°13'34"	S.40	1,6' x 1,6'	11m9	12m7	--	81 Mio. Lj.	
Arp 213	IC 356	Cam	04h07m47s	+69°48'45"	S.6	5,9' x 3,9'	10m6	13m7	107.000 Lj.	62 Mio. Lj.	
Arp 214	NGC 3718	UMa	11h32m35s	+53°04'04"	S.12	8' x 4'	10m6	14m1	110.000 Lj.	47 Mio. Lj.	
Galaxien mit angrenzenden Schleifen (Arp 215-220)											
Arp 215	NGC 2782	Lyn	09h14m05s	+40°06'50"	S.23	3,7' x 2,4'	11m4	13m5	--	122 Mio. Lj.	ausladender östl. Ausläufer
Arp 217	NGC 3310	UMa	10h38m46s	+53°30'12"	S.12	3,1' x 2,4'	10m6	12m5	41.000 Lj.	46 Mio. Lj.	Bow & Arrow
Arp 220	IC 1127	Ser	15h34m57s	+23°30'12"	S.32	1,8' x 1,7'	13m4	14m4	--	250 Mio. Lj.	
Galaxien mit amorphen Spiralarmen (Arp 221-226)											
Arp 222	NGC 7727	Aql	23h39m54s	-12°17'35"	S.64	4,7' x 3,5'	10m6	13m4	115.000 Lj.	87 Mio. Lj.	
Arp 224	NGC 3921	UMa	11h51m07s	+55°04'44"	S.12	2,1' x 1,3'	12m1	12m9	--	267 Mio. Lj.	
Arp 225	NGC 2655	Cam	08h55m38s	+78°13'23"	S.5	4,9' x 4,1'	10m1	13m1	--	80 Mio. Lj.	eingerahmt von 2 Sternen 7. GK
Galaxien mit konzentrischen Ringen (Arp 227-231)											
Arp 227	NGC 470	Psc	01h19m45s	+03°24'36"	S.63	2,9' x 1,7'	11m7	13m2	--	92 Mio. Lj.	
	NGC 474		01h20m07s	+03°24'55"		7,1' x 6,3'	11m3	15m2	--		
Arp 229	NGC 507	Psc	01h23m40s	+33°15'22"	S.39	2,5' x 2,5'	11m3	13m0	--	200 Mio. Lj.	beide Galaxien in einem 25' großen Galaxienfeld
	NGC 508		01h23m41s	+33°16'50"		1,1' x 1,1'	13m1	13m0	--		
Arp 232	NGC 2911	Leo	09h33m47s	+10°09'08"	S.47	4' x 3,1'	11m5	14m0	170.000 Lj.	137 Mio. Lj.	
Galaxien mit Anzeichen für Aufspaltung (Arp 233-256)											
Arp 234	NGC 3738	UMa	11h35m48s	+54°31'24"	S.12	2,6' x 2,2'	11m1	12m7	10.000 Lj.	13 Mio. Lj.	
Arp 235	NGC 14	Peg	00h08m46s	+15°48'55"	S.51	2,8' x 2,1'	11m8	13m5	30.000 Lj.	45 Mio. Lj.	NGC 7814-Gruppe
Arp 236	IC 1622	Cet	01h07m37s	-17°32'19"	S.75	0,7' x 0,5'	13m7	12m3	--	300 Mio. Lj.	
	IC 1623A		01h07m47s	-17°30'28"		0,9' x 0,7'	13m9	13m1	--		
	IC 1623B		01h07m48s	-17°30'25"		0,7' x 0,6'	14m5	13m3	--		
Arp 238	UGC 8335A	Dra	13h15m31s	+62°07'45"	S.11	0,8' x 0,7'	15m0	--	--	400 Mio. Lj.	
	UGC 8335B		13h15m35s	+62°07'29"		1,5' x 0,3'	15m2	--	--		
Arp 239	NGC 5278	UMa	13h41m40s	+55°40'12"	S.11	1,3' x 1'	12m9	12m9	--	342 Mio. Lj.	
	NGC 5279		13h41m44s	+55°40'26"		0,7' x 0,4'	14m0	12m4	--		
Arp 240	NGC 5257	Vir	13h39m52s	+00°50'23"	S.57	1,6' x 0,8'	12m1	12m1	--	310 Mio. Lj.	
	NGC 5258		13h39m58s	+00°49'52"		1,4' x 0,9'	12m1	12m1	--		
Arp 242	NGC 4676A	Com	12h46m10s	+30°43'54"	S.33	2,3' x 0,7'	13m5	13m2	--	60 Mio. Lj.	The Mice
	NGC 4676B		12h46m24s	+30°43'22"		2,2' x 0,8'	13m8	14m2	--		
Arp 243	NGC 2623	Cnc	08h38m24s	+25°45'17"	S.35	2,4' x 0,7'	13m2	13m5	--	250 Mio. Lj.	
Arp 244	NGC 4038	Crv	12h01m53s	-18°52'03"	S.69	3,4' x 1,7'	10m3	11m9	--	45 Mio. Lj.	Antennen-Galaxien
	NGC 4039		12h01m54s	-18°53'08"		3,3' x 1,7'	10m4	12m0	--		
Arp 256	MCG-2-1-51	Cet	00h18m51s	-10°22'37"	S.75	1' x 0,6'	14m4	13m4	--	350 Mio. Lj.	
	MCG-2-1-52		00h18m50s	-10°20'47"		1,1' x 0,8'	13m6	13m2	--		
Galaxien mit unregelmäßigen Klumpen (Arp 257-268)											
Arp 263	NGC 3239	Leo	10h25m06s	+17°09'38"	S.46	4,5' x 2,4'	11m1	13m4	40.000 Lj.	30 Mio. Lj.	
Arp 266	NGC 4861	CVn	12h59m02s	+34°51'34"	S.33	3,3' x 1,9'	13m5	15m4	--	25 Mio. Lj.	
Doppelgalaxien mit verbundenen Armen (Arp 269-274)											
Arp 269	NGC 4485	CVn	12h30m31s	+41°42'04"	S.21	2,4' x 1,8'	11m3	12m9	--	31 Mio. Lj.	
	NGC 4490		12h30m36s	+41°38'37"		6,3' x 3,1'	9m8	13m0	--		
Arp 270	NGC 3395	LMi	10h49m50s	+32°58'58"	S.34	2,1' x 1,1'	11m8	12m4	52.000 Lj.	75 Mio. Lj.	
	NGC 3396		10h49m56s	+32°59'26"		2,9' x 1,2'	12m0	13m1	--		
Arp 271	NGC 5426	Vir	14h03m25s	-06°04'09"	S.56	3' x 1,7'	12m1	13m6	--	90 Mio. Lj.	
	NGC 5427		14h03m26s	-06°01'51"		2,9' x 2,2'	11m4	13m2	--		
Arp 272	NGC 6050	Her	16h05m23s	+17°45'26"	S.43	0,9' x 0,6'	14m1	13m2	--	450 Mio. Lj.	
	IC 1179		16h05m22s	+17°45'15"		0,4' x 0,3'	15m4	12m8	--		
Arp 273	UGC 1810	And	02h21m29s	+39°22'33"	S.26	2' x 1,4'	12m9	13m8	--	330 Mio. Lj.	
	UGC 1813		02h21m33s	+39°21'25"		1,1' x 0,3'	14m6	13m0	--		
Arp 274	NGC 5679	Vir	14h35m09s	+05°21'32"	S.56	1,1' x 0,7'	13m0	12m4	--	400 Mio. Lj.	
	NGC 5679A		14h35m07s	+05°21'24"		0,8' x 0,4'	13m8	12m3	--		
	PGC 52129		14h35m11s	+05°21'16"		0,2' x 0,2'	15m0	12m8	--		
Wechselwirkende Doppelgalaxien (Arp 275-280)											
Arp 276	NGC 935	Ari	02h28m11s	+19°35'57"	S.50	1,7' x 1,1'	13m0	13m4	--	189 Mio. Lj.	
	IC 1801		02h28m13s	+19°35'00"		1,6' x 0,6'	13m8	13m5	--		
Arp 278	NGC 7253A	Peg	22h19m28s	+29°23'45"	S.28	1,7' x 0,8'	13m7	13m8	--	220 Mio. Lj.	
	NGC 7253B		22h19m30s	+29°23'17"		1,6' x 0,5'	14m3	13m8	--		
Arp 280	NGC 3769	UMa	11h37m44s	+47°53'34"	S.22	2,9' x 1'	11m5	12m4	--	35 Mio. Lj.	
	NGC 3769A		11h37m51s	+47°52'52"		0,9' x 0,3'	14m2	12m5	--		

# Arp-Guide

## Zusammenfassung von 130 Arp-Objekten

	Mitglieder	SBK	RA	DEC	Seite isDSA	Größe	GH	FH	tatsächl. Größe	Entfernung	Bemerkungen
Doppelgalaxien mit Einströmung und Anziehung (Arp 281-286)											
Arp 281	NGC 4627	CVn	12h42m00s	+32°34'24"	S.33	2,2' x 1,7'	12m0	13m4	--	19 Mio. Lj.	NGC 4631 = Hering-Galaxie
	NGC 4631		12h42m08s	+32°32'29"		15,2' x 2,8'	9m0	13m3	--		
Arp 283	NGC 2798	Lyn	09h17m23s	+41°59'59"	S.23	2,8' x 0,9'	12m0	12m7	--	80 Mio. Lj.	
	NGC 2799		09h17m31s	+41°59'39"		1,9' x 0,5'	13m7	13m4	--		
Arp 285	NGC 2854	UMa	09h24m03s	+49°12'12"	S.23	1,6' x 0,6'	13m0	12m7	--	120 Mio. Lj.	
	NGC 2856		09h24m16s	+49°14'55"		1,1' x 0,5'	13m2	12m3	--		
Galaxien mit langen Filamenten (Arp 294-297)											
Arp 294	NGC 3786	UMa	11h39m42s	+31°54'29"	S.34	2,1' x 1,1'	12m5	13m2	--	120 Mio. Lj.	
	NGC 3788		11h39m45s	+31°55'48"		1,8' x 0,5'	12m5	12m1	--		
Arp 297	NGC 5752	Boo	14h45m14s	+38°43'44"	S.20	0,5' x 0,2'	14m1	11m3	--	200 Mio. Lj.	
	NGC 5754		14h45m20s	+38°43'53"		2' x 1,8'	13m1	14m2	--		
Unklassifizierte Objekte (Arp 298-310)											
Arp 298	NGC 7469	Peg	23h03m16s	+08°52'25"	S.40	1,4' x 1'	12m0	12m1	90.000 Lj.	210 Mio. Lj.	
	IC 5283		23h03m18s	+08°53'37"		0,7' x 0,4'	14m3	12m7	45.000 Lj.		
Arp 299	NGC 3690A	UMa	11h28m33s	+58°33'46"	S.12	1,6' x 1,4'	11m2	11m8	--	130 Mio. Lj.	
	NGC 3690B		11h28m31s	+58°33'33"		2' x 1,4'	10m9	11m8	--		
Arp 301	UGC 6204	Leo	11h09m51s	+24°15'41"	S.34	1' x 0,7'	13m7	13m1	--	--	
	UGC 6207		11h09m54s	+24°15'25"		1,3' x 0,3'	13m8	12m6	--		
Arp 307	NGC 2872	Leo	09h25m43s	+11°25'56"	S.47	1,8' x 1,7'	11m9	12m8	--	138 Mio. Lj.	
	NGC 2874		09h25m48s	+11°25'31"		2,2' x 0,7'	12m6	12m8	--		
Arp 308	NGC 545	Cet	01h25m59s	-01°20'25"	S.63	2,4' x 1,6'	12m2	13m9	--	226 Mio. Lj.	gehört zus. mit Arp 133 zu AGC 194
	NGC 547		01h26m01s	-01°20'42"		1,9' x 1,8'	12m3	13m7	--		
Gruppen von Galaxien (Arp 311-321)											
Arp 313	NGC 3991	UMa	11h57m31s	+32°20'03"	S.34	1,3' x 0,3'	13m0	11m7	55.000 Lj.	143 Mio. Lj.	
	NGC 3994		11h57m37s	+32°16'40"		0,9' x 0,5'	12m7	11m6	35.000 Lj.		
	NGC 3995		11h57m44s	+32°17'39"		2,6' x 0,9'	12m1	12m8	55.000 Lj.		
Arp 315	NGC 2830	Lyn	09h19m42s	+33°44'17"	S.35	1,2' x 0,3'	13m9	12m5	95.000 Lj.	300 Mio. Lj.	NGC 2832 ist eine cD-Galaxie und das Herz von AGC 779
	NGC 2831		09h19m46s	+33°44'42"		0,5' x 0,5'	13m4	11m6	35.000 Lj.		
	NGC 2832		09h19m47s	+33°45'00"		3' x 2'	11m8	13m5	275.000 Lj.		
Arp 316	NGC 3185	Leo	10h17m39s	+21°41'18"	S.46	2,1' x 1,4'	12m0	12m9	--	70 Mio. Lj.	
	NGC 3187		10h17m48s	+21°52'24"		3,6' x 1,6'	12m9	14m5	--		
	NGC 3190		10h18m06s	+21°49'55"		4,4' x 1,5'	11m1	12m9	--		
	NGC 3193		10h18m25s	+21°53'38"		2' x 2'	10m8	12m0	--		
Arp 317	M 65	Leo	11h18m56s	+13°05'32"	S.46	9,8' x 2,9'	9m3	12m4	94.000 Lj.	33 Mio. Lj.	Leo-Triplett, M 66 auch Arp 16
	M 66		11h20m15s	+12°59'29"		9,1' x 4,2'	8m9	12m5	87.000 Lj.		
	NGC 3628		11h20m17s	+13°35'22"		13' x 3'	9m5	13m7	80.000 Lj.		
Arp 318	NGC 833	Cet	02h09m21s	-10°07'59"	S.74	1,5' x 0,7'	12m8	12m6	--	160 Mio. Lj.	auch HCG 16
	NGC 835		02h09m25s	-10°08'09"		1,3' x 1,1'	12m2	12m3	--		
	NGC 838		02h09m39s	-10°08'47"		1,2' x 0,9'	13m0	12m8	--		
	NGC 839		02h09m43s	-10°11'01"		1,4' x 0,7'	13m1	12m8	--		
Arp 319	NGC 7317	Peg	22h35m52s	+33°56'42"	S.28	0,4' x 0,4'	13m6	11m4	--	300 Mio. Lj.	Stephans Quintett
	NGC 7318		22h35m58s	+33°57'56"		1,2' x 1,0'	13m4	13m3	--		
	NGC 7318A		22h35m57s	+33°57'54"		1,6' x 1,1'	13m2	13m5	--		
	NGC 7319		22h36m04s	+33°58'33"		1,4' x 1,1'	13m3	13m5	--		
	NGC 7320		22h36m03s	+33°56'53"		2,2' x 1,1'	12m5	13m2	--		
Arp 320	NGC 3745	Leo	11h37m44s	+22°01'14"	S.46	0,4' x 0,2'	15m1	12m1	--	400 Mio. Lj.	Copelands Septet, incl. PGC 36010 eine Gruppe von 8 Galaxien innerhalb von 5'
	NGC 3746		11h37m44s	+22°00'33"		1,1' x 0,5'	13m9	13m0	--		
	NGC 3748		11h37m49s	+22°01'33"		1,6' x 1,1'	14m7	13m1	--		
	NGC 3750		11h37m52s	+21°58'27"		0,8' x 0,7'	13m9	13m0	--		
	NGC 3751		11h37m54s	+21°56'11"		0,8' x 0,5'	14m3	13m9	--		
	NGC 3753		11h37m54s	+21°58'51"		1,7' x 0,5'	13m6	13m2	--		
	NGC 3754		11h37m55s	+21°59'06"		0,4' x 0,3'	13m3	13m5	--		
	PGC 36010		11h37m51s	+22°00'45"		0,2' x 0,2'	17m4	--	--		
Ketten von Galaxien (Arp 322-332)											
Arp 322	UGC 6527A	UMa	11h32m36s	+52°56'50"	S.12	0,4' x 0,26'	16m9	--	--	351 Mio. Lj.	UGC 6527-Gruppe, PGC 35631 gehört nicht zu Arp 322, dafür aber zu Hickson 56
	UGC 6527B		11h32m37s	+52°56'50"		0,6' x 0,46'	15m8	--	--		
	UGC 6527C		11h32m40s	+52°57'01"		0,9' x 0,24'	15m0	--	--		
	PGC 35609		11h32m33s	+52°56'22"		0,26' x 0,17'	16m5	--	--		
	(PGC 35631)		11h32m47s	+52°56'27"		0,8' x 0,18'	15m9	--	--		
Arp 327	NGC 1875	Ori	05h21m46s	+06°41'20"	S.61	0,8' x 0,7'	13m7	12m8	--	391 Mio. Lj.	Hickson 34 - 4 Gx gesamt
Arp 329	UGC 6514A-E	Dra	11h32m07s	+70°48'43"	S.5	1' x 0,3'	16m2	12m8	--	695 Mio. Lj.	Hickson 55 - 5 Gx-Perlenkette
Arp 331	NGC 383-Gr.	Psc	01h07m06s	+32°20'53"	S.39	25' x 17'	13m4	--	--	230 Mio. Lj.	9 Gx-Perlenkette
Verschiedene (Arp 333-338)											
Arp 335	NGC 3509	Leo	11h04m24s	+04°49'40"	S.58	2,1' x 1'	13m0	13m5	215.000 Lj.	339 Mio. Lj.	
Arp 336	NGC 2685	UMa	08h55m35s	+58°44'04"	S.13	4,6' x 2,5'	11m2	13m6	50.000 Lj.	42 Mio. Lj.	Helix-Galaxie
Arp 337	M 82	UMa	09h55m52s	+69°40'47"	S.5	11,2' x 4,3'	8m4	12m8	37.000 Lj.	11 Mio. Lj.	

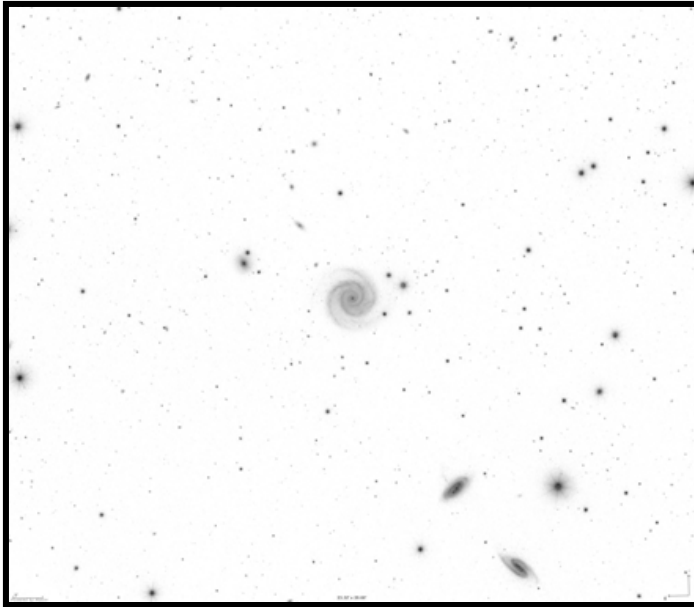
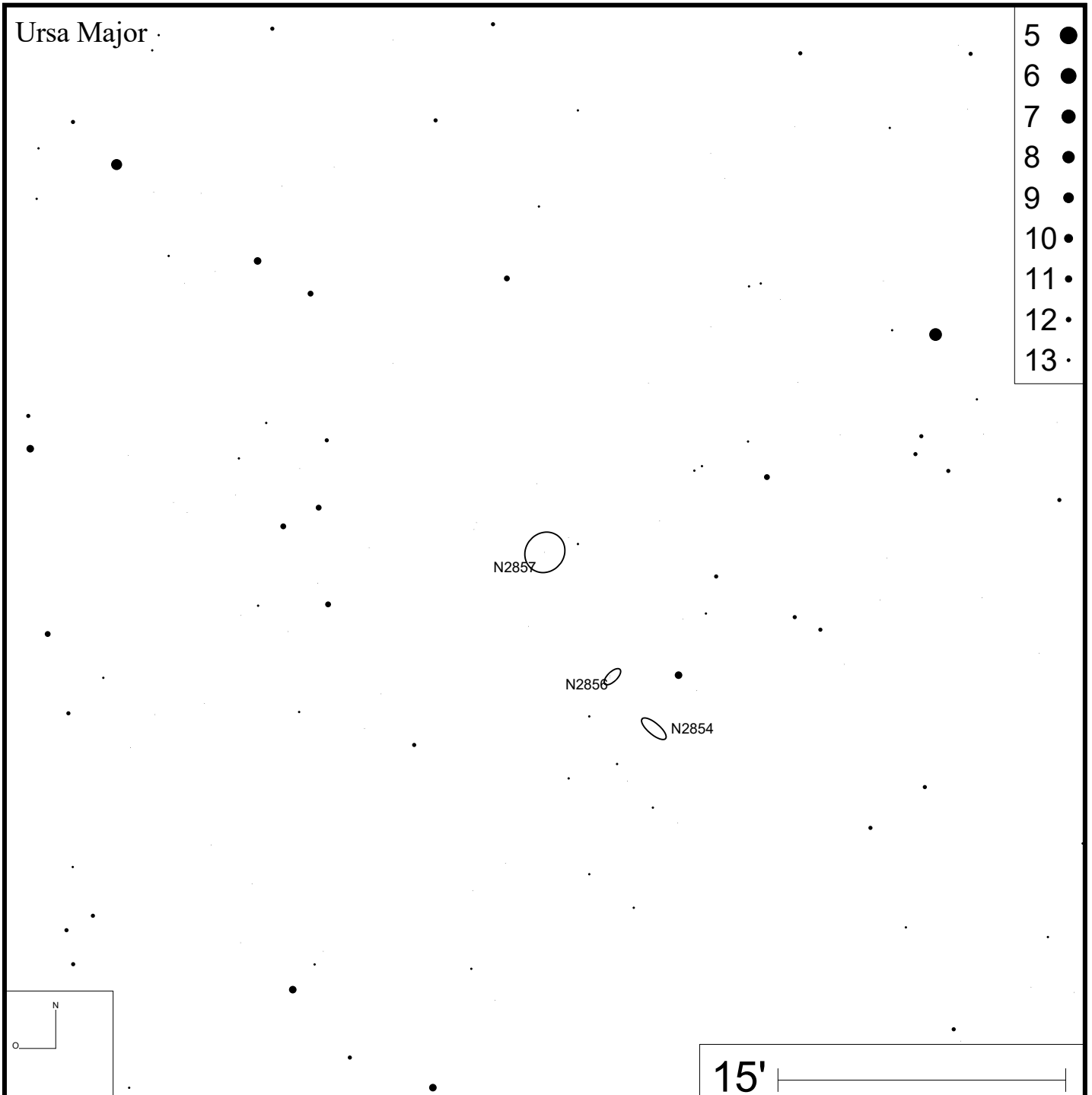
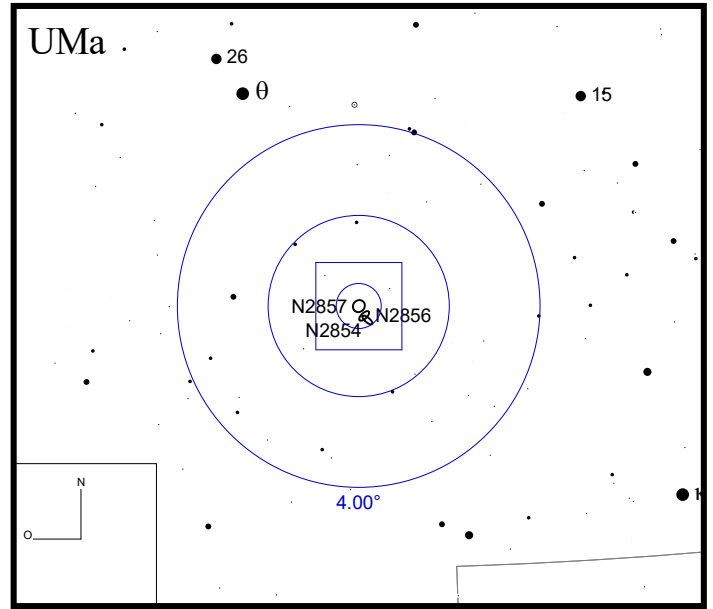


Bild: SDSS



- 5 ●
- 6 ●
- 7 ●
- 8 ●
- 9 ●
- 10 ●
- 11 ●
- 12 ●
- 13 ●

15'

Arp 5 (NGC 3664)

RA 11h24m24s DEC +03°19'33"

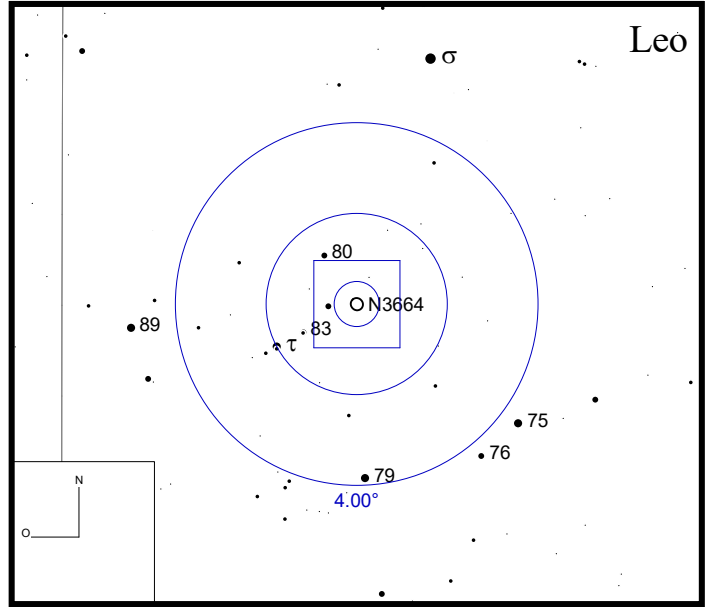
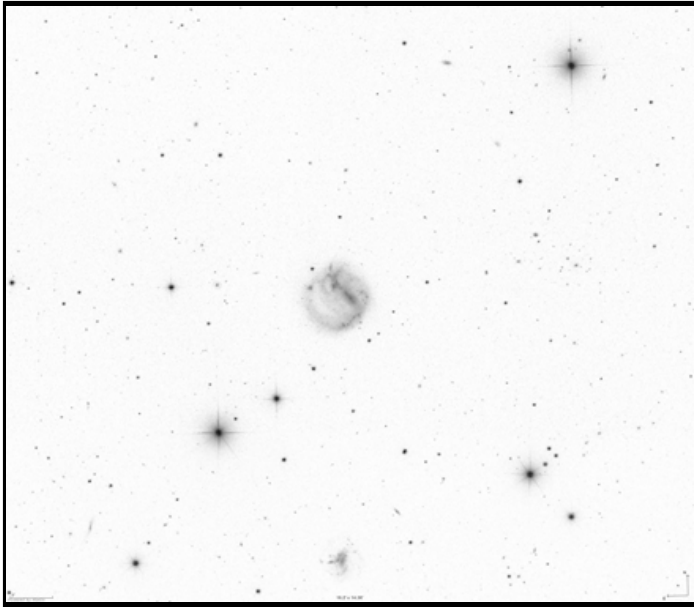
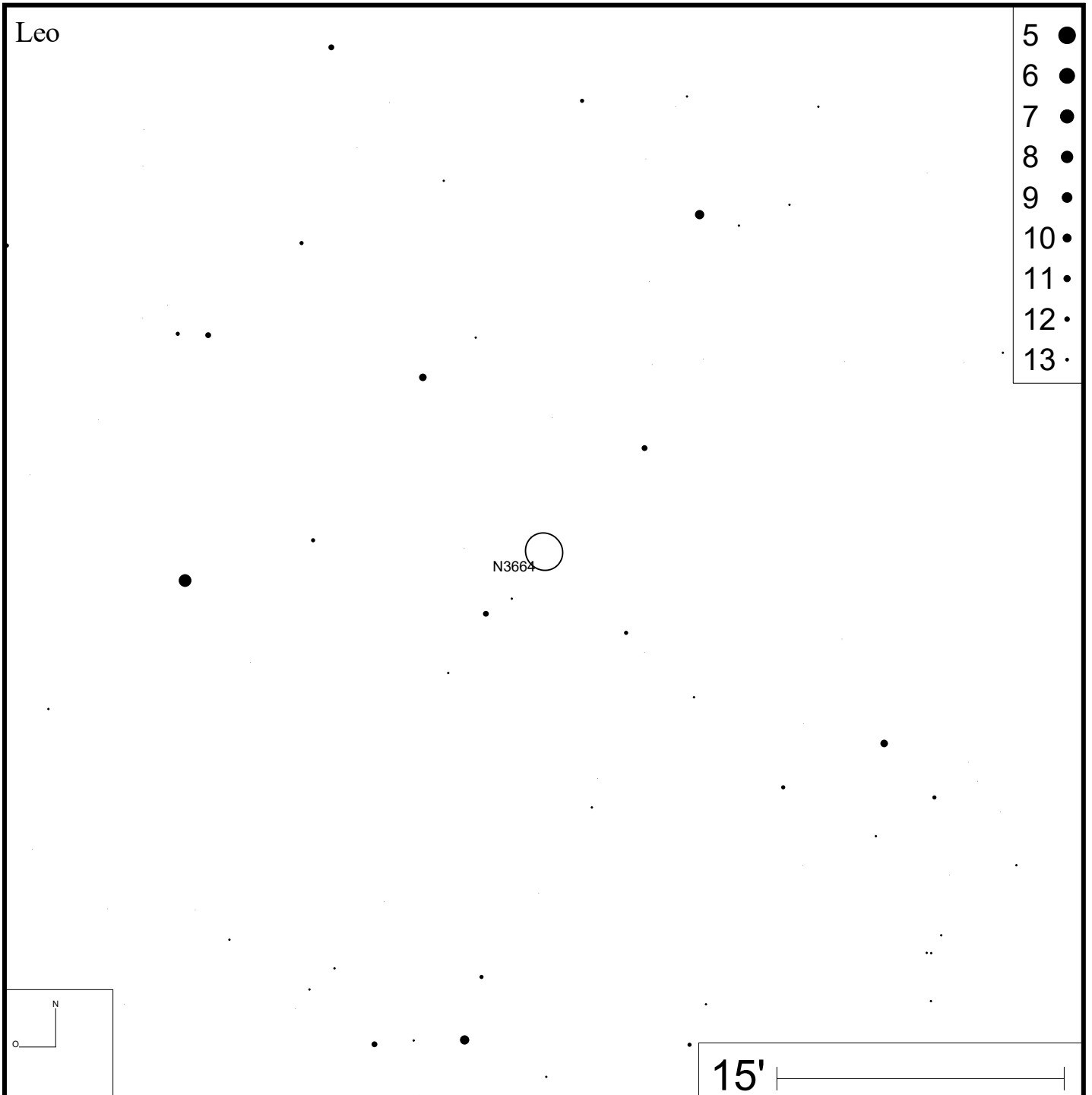


Bild: SDSS



Arp 6 (NGC 2537)

RA 08h13m15s DEC +45°59'23"

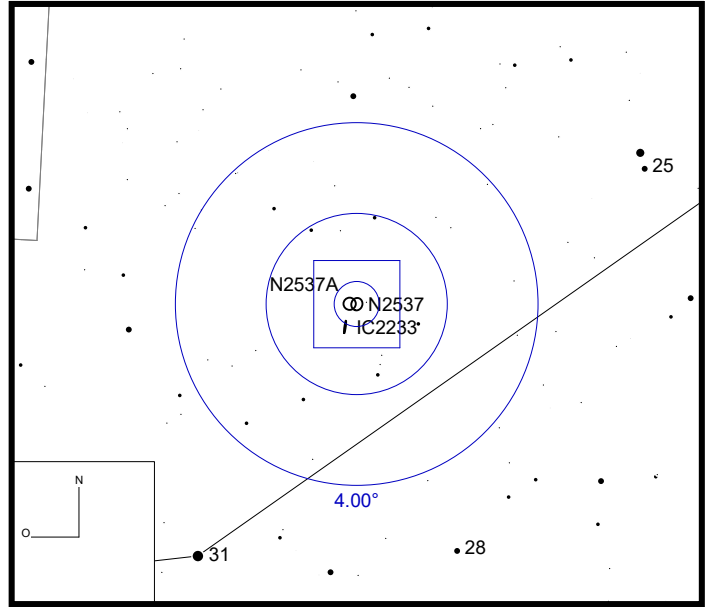
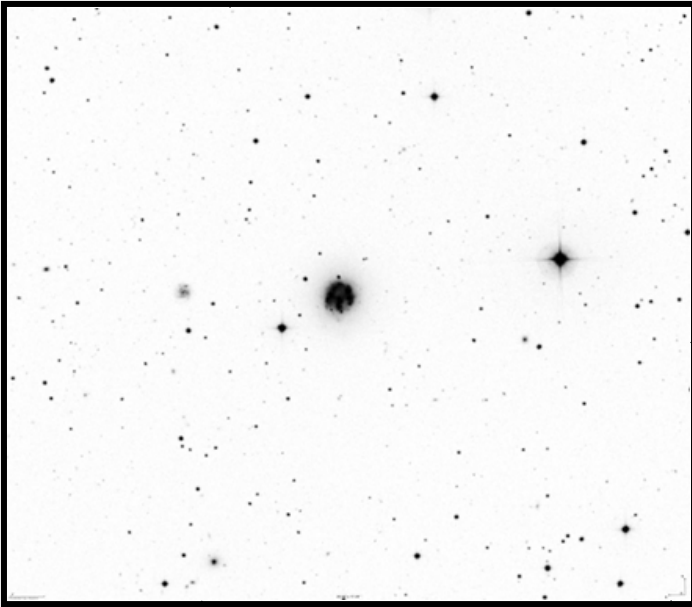
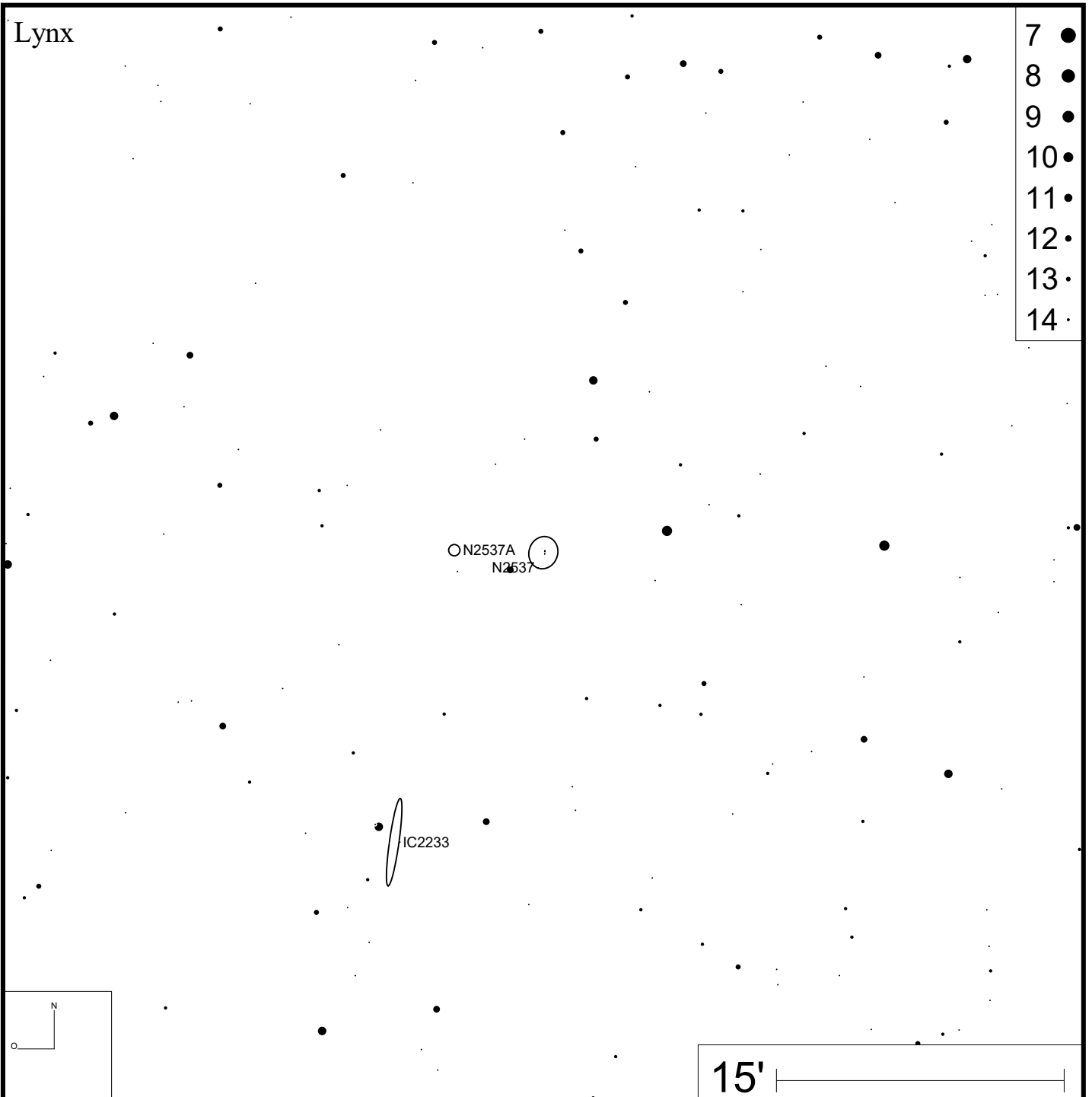


Bild: DSS





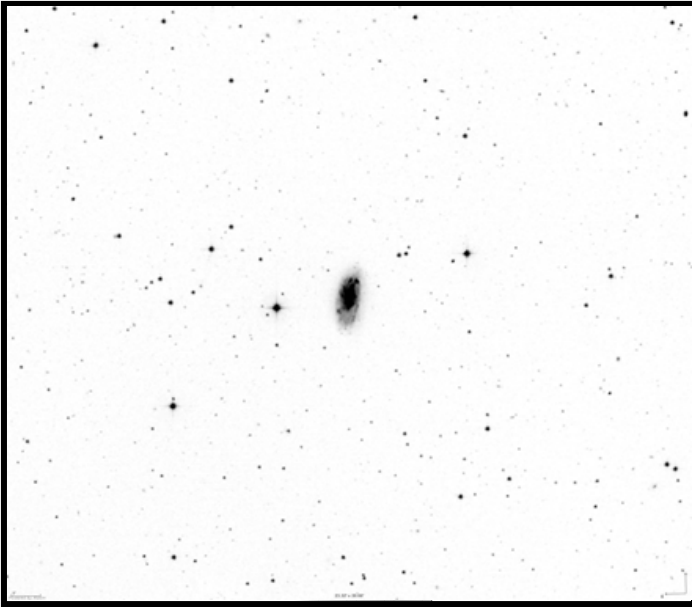
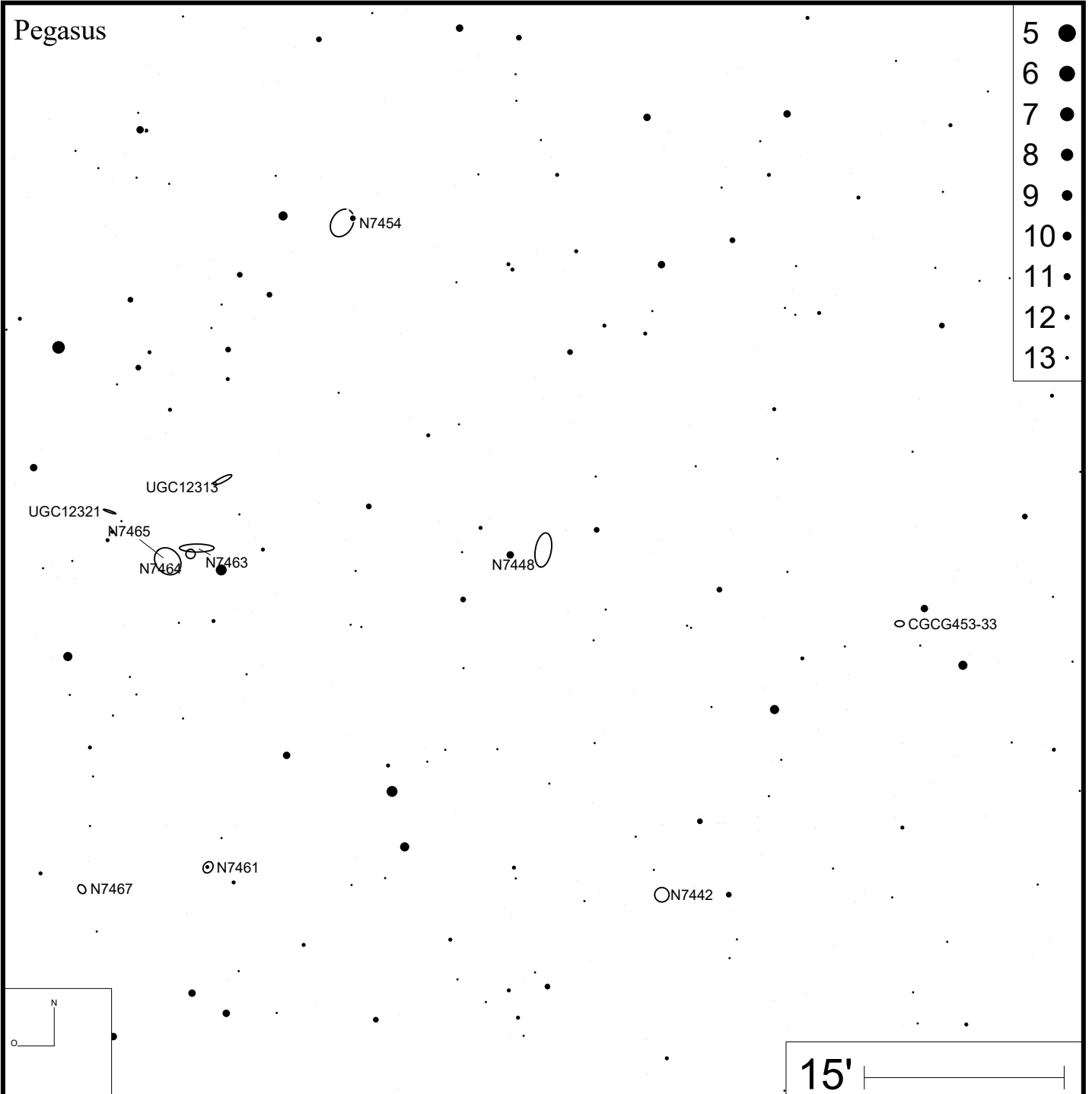
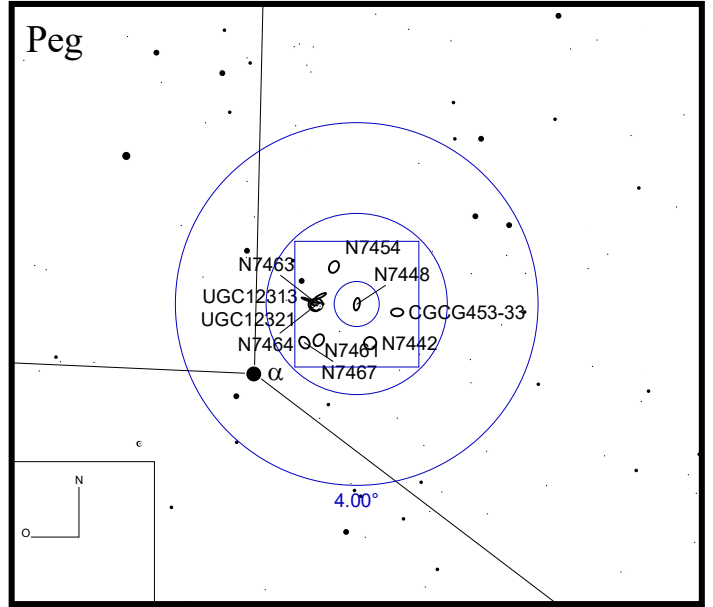


Bild: SDSS



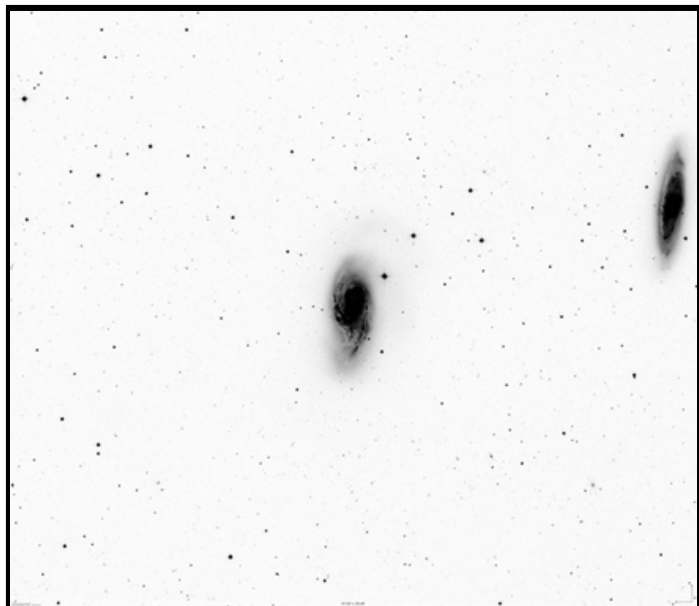
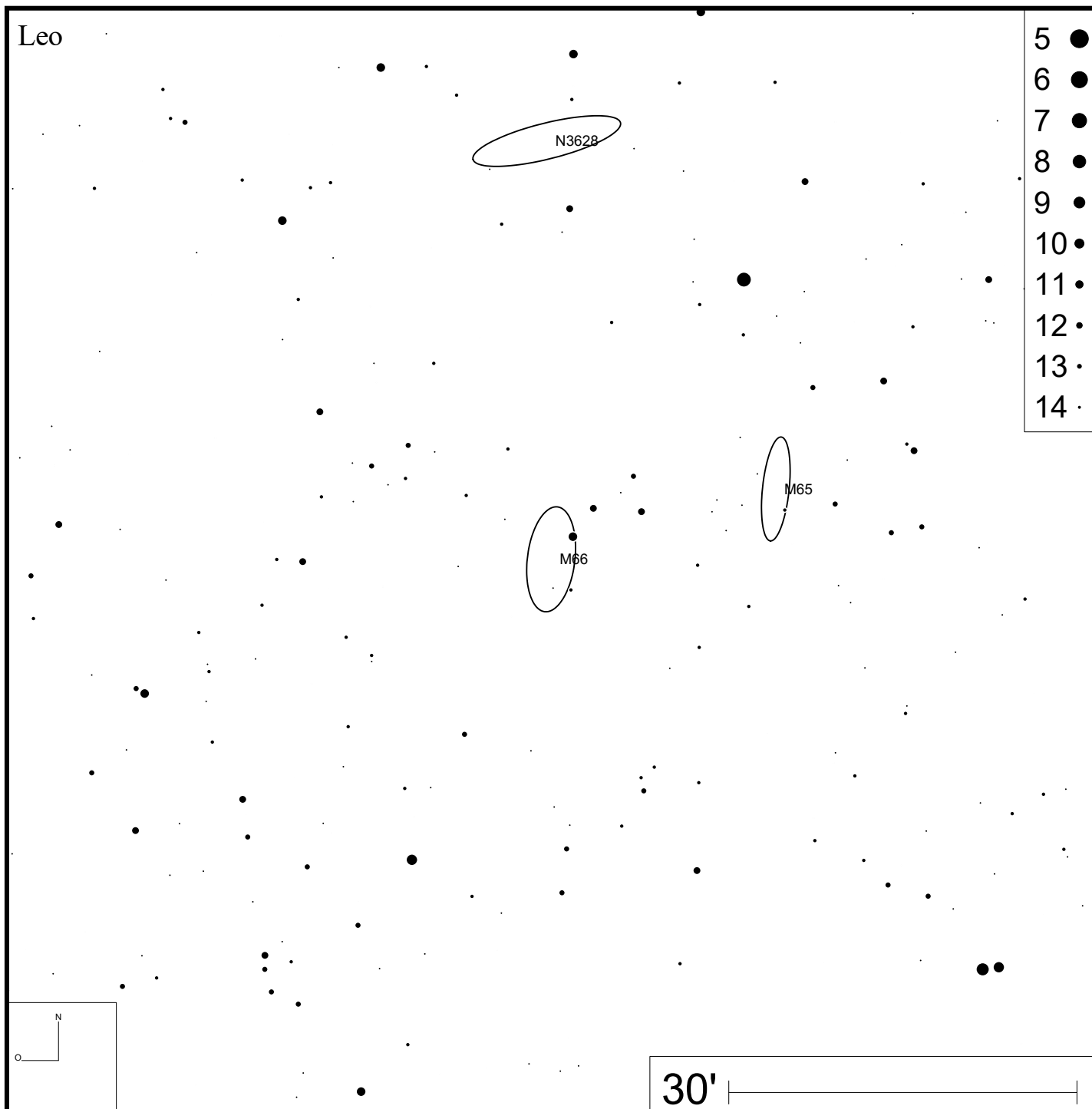
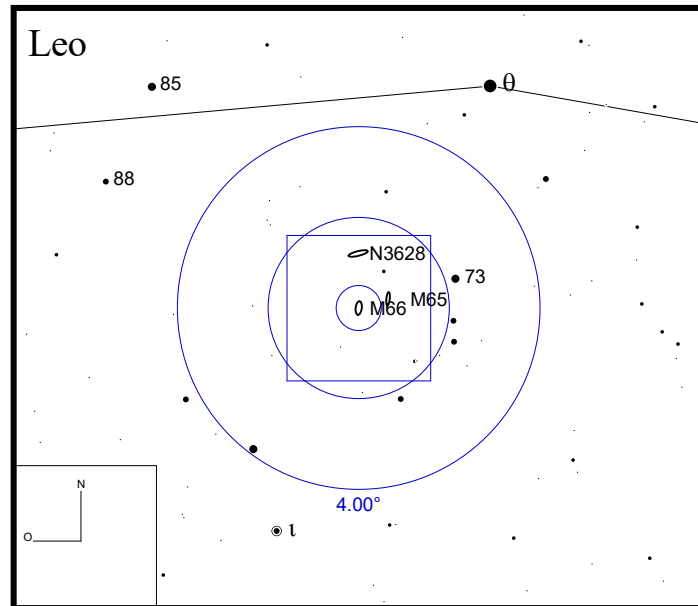


Bild: DSS



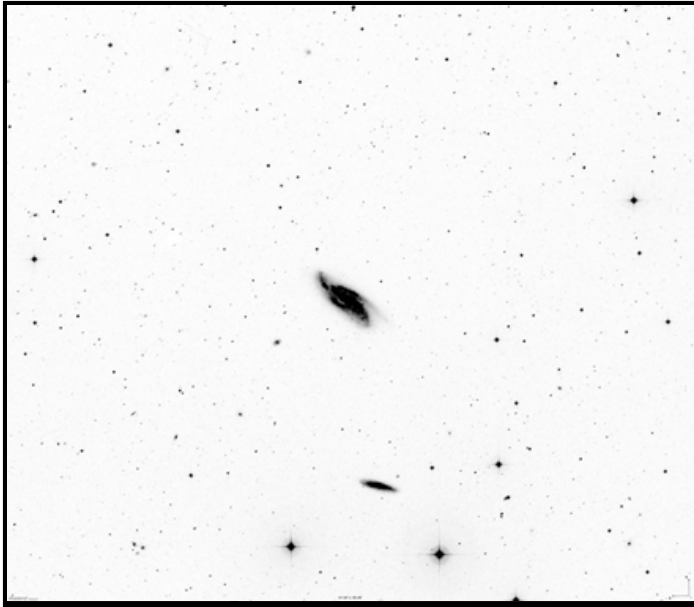
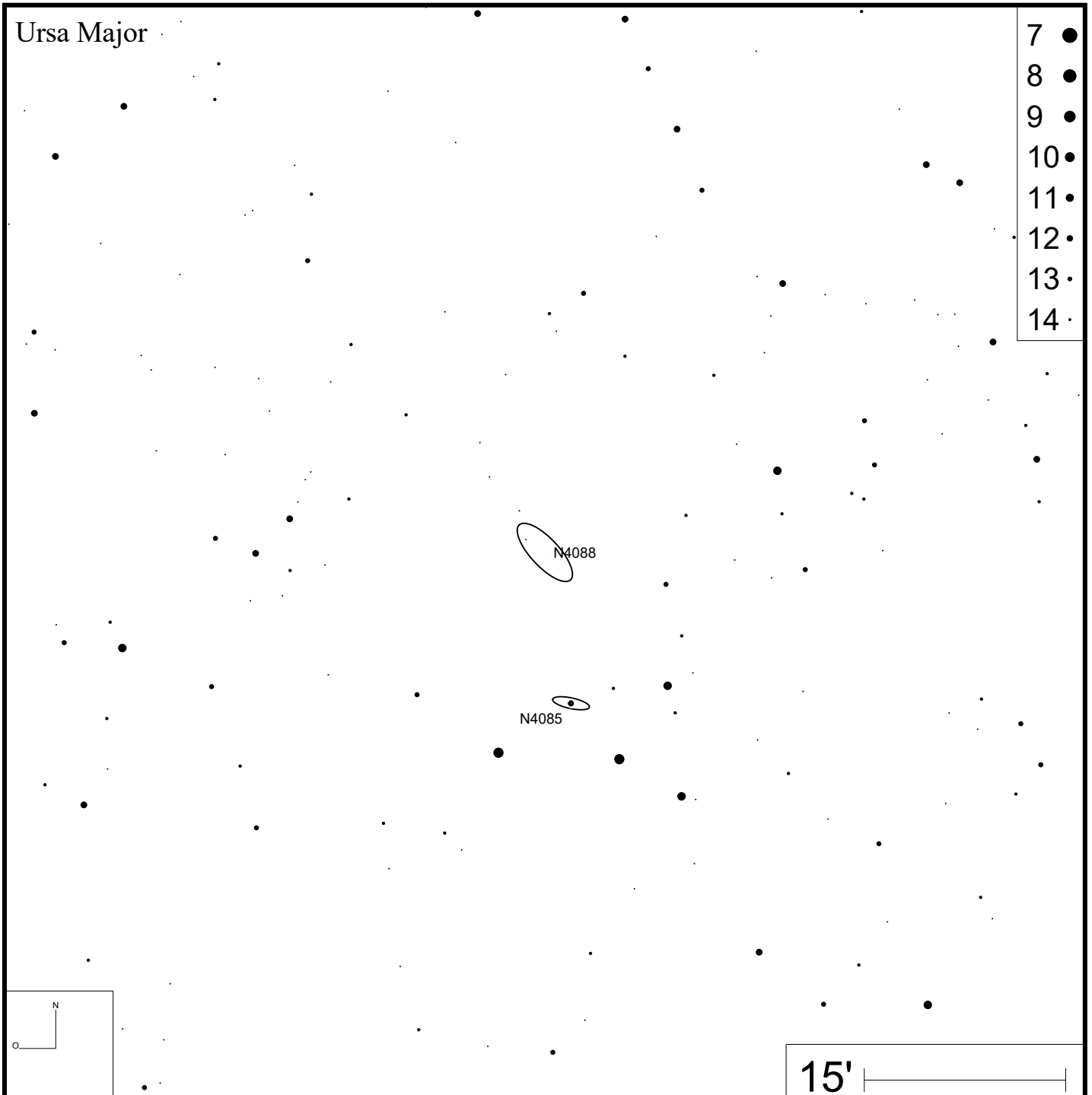
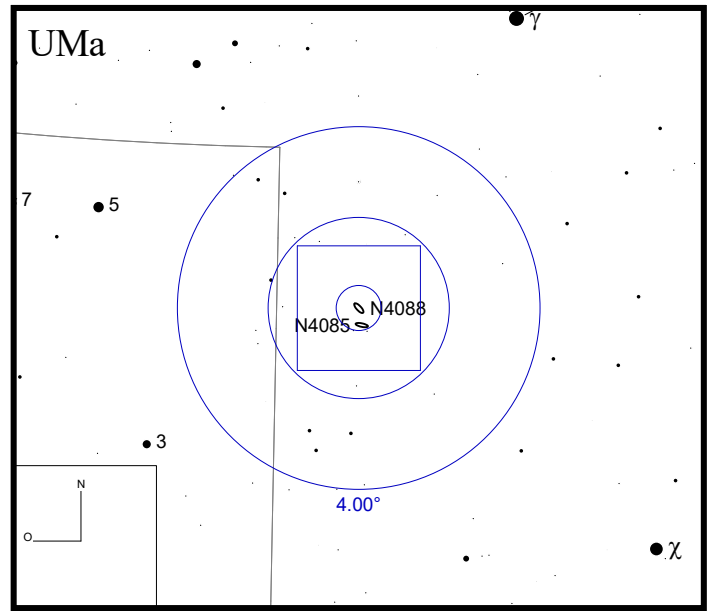


Bild: DSS



- 7 ●
- 8 ●
- 9 ●
- 10 ●
- 11 ●
- 12 ●
- 13 ●
- 14 ●

Arp 19 (NGC 145)

RA 00h31m46s DEC -05°09'08"

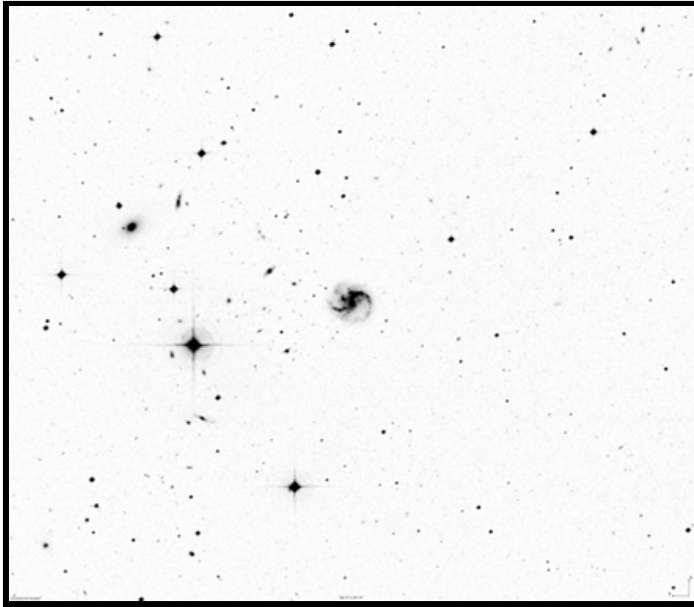
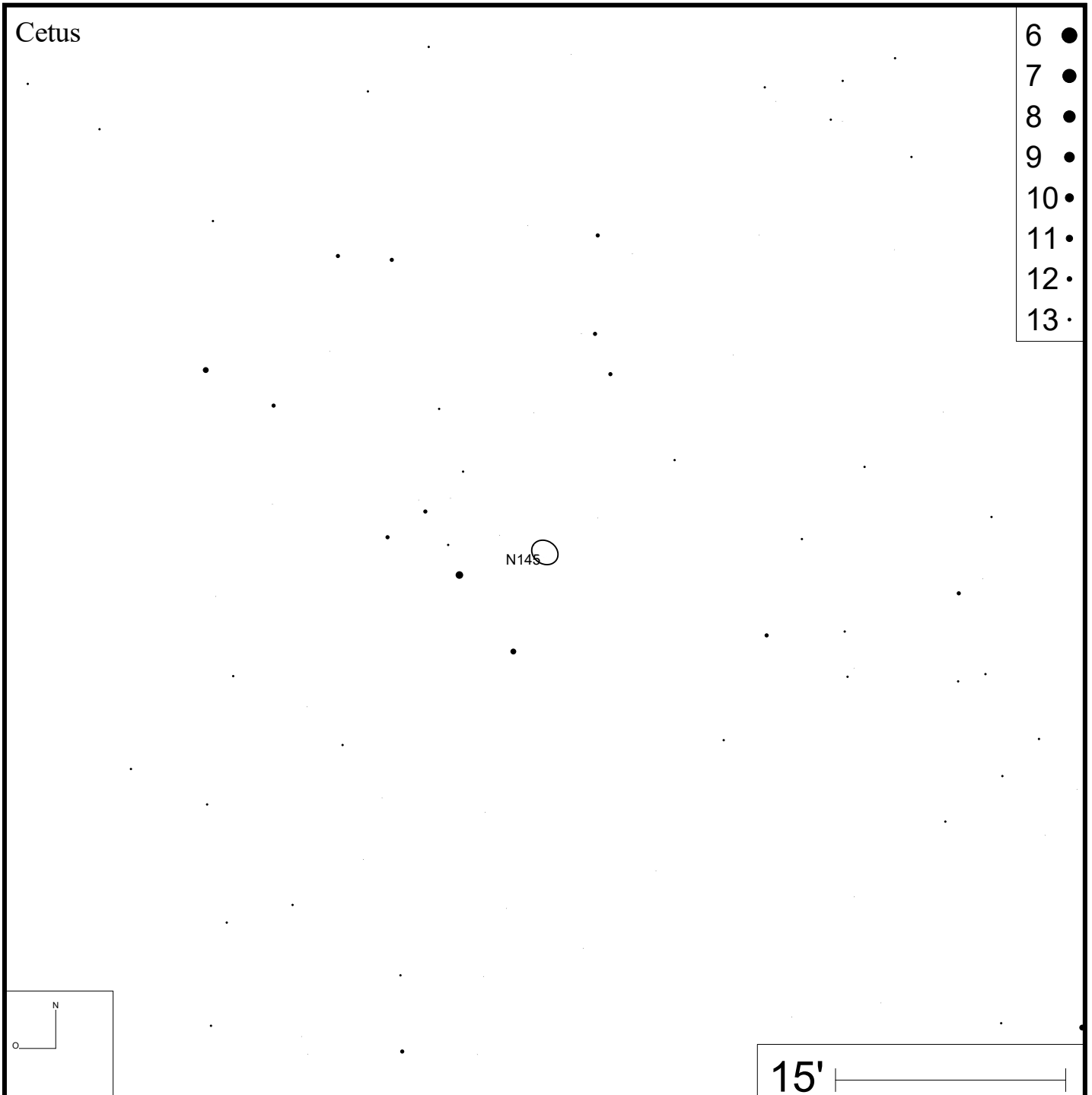
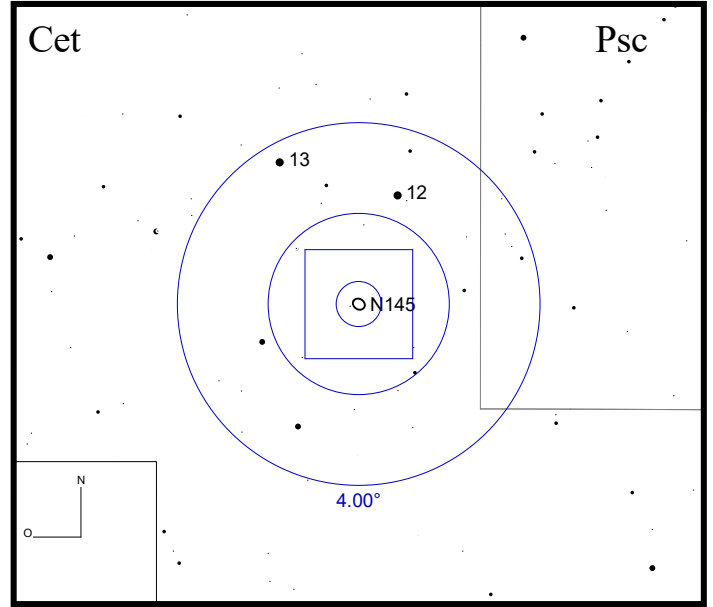


Bild: DSS



- 6 ●
- 7 ●
- 8 ●
- 9 ●
- 10 ●
- 11 ●
- 12 ●
- 13 ●

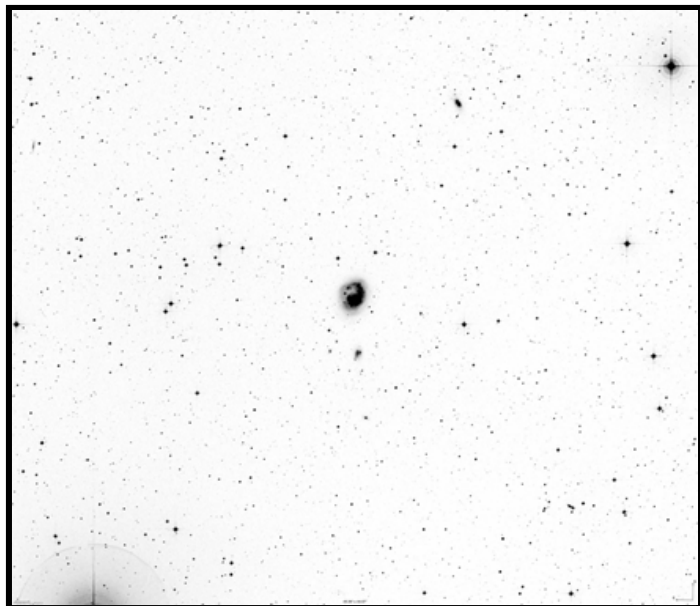
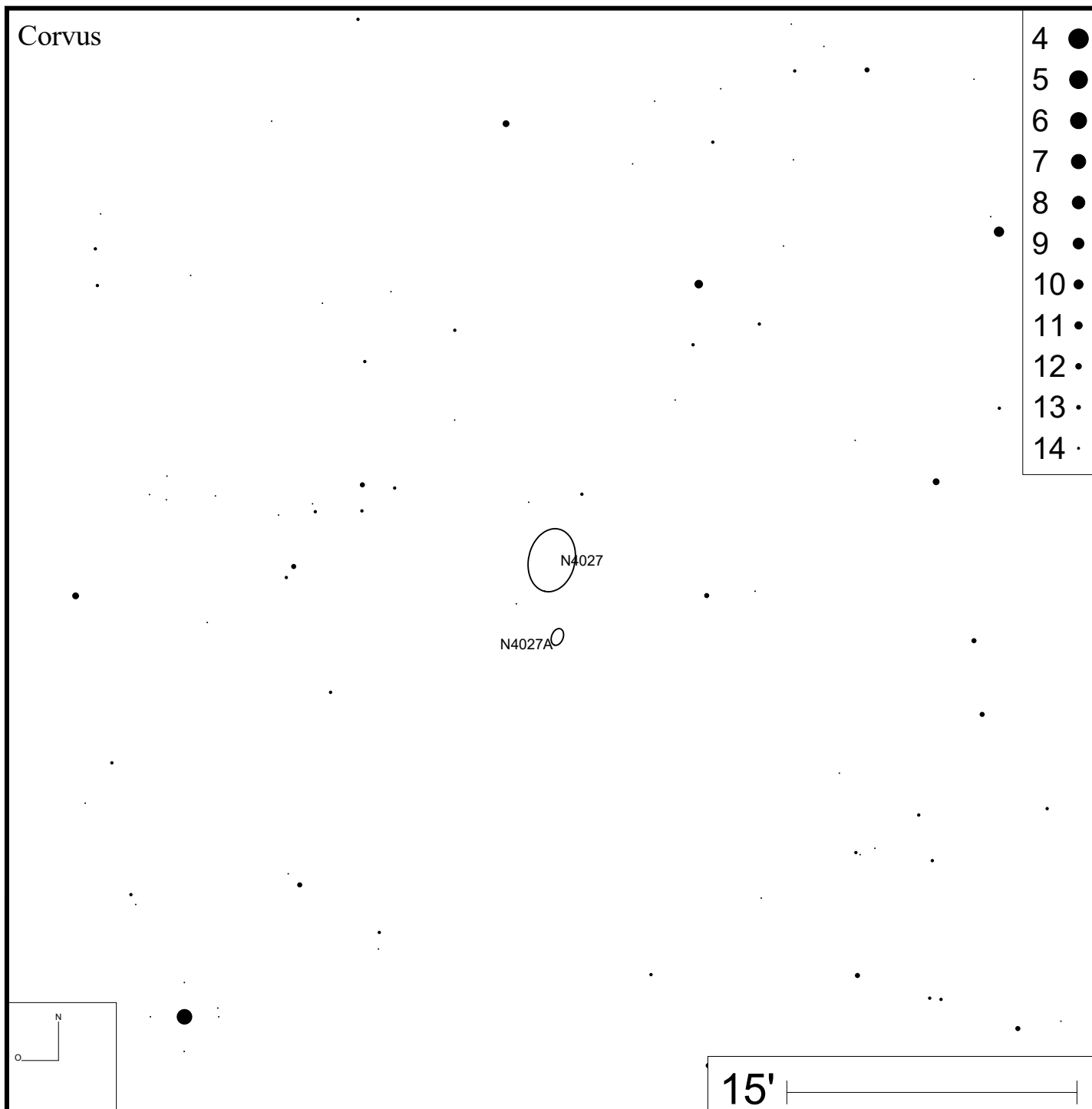
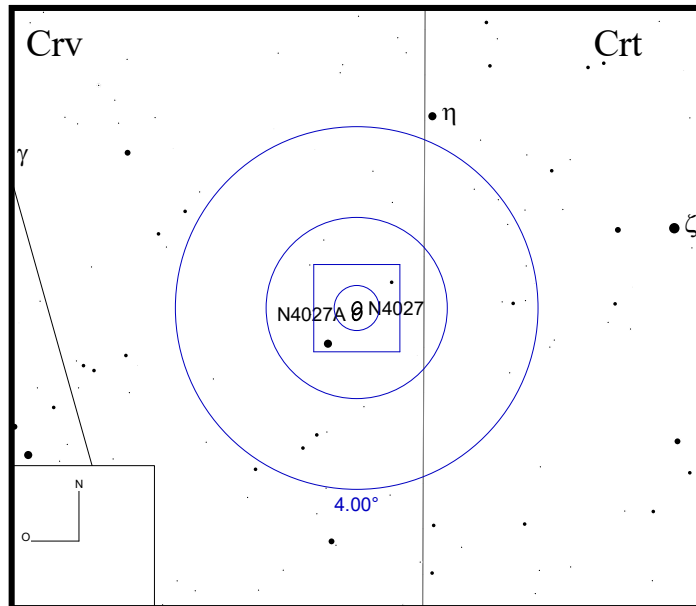


Bild: DSS



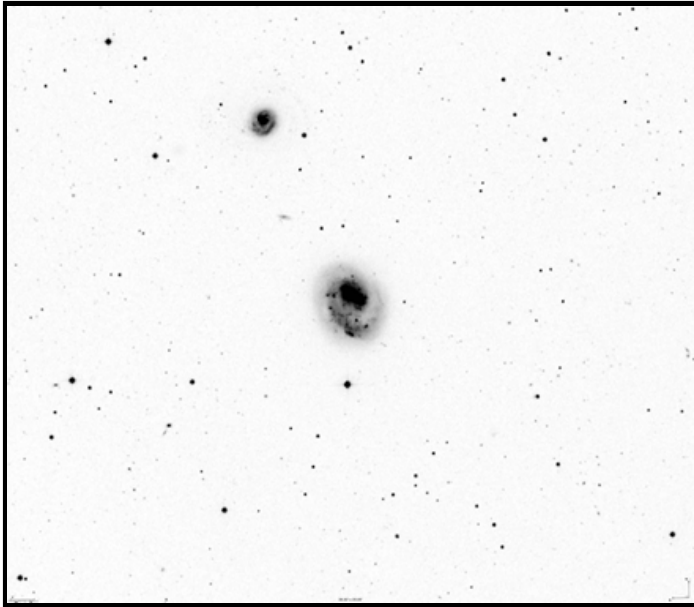
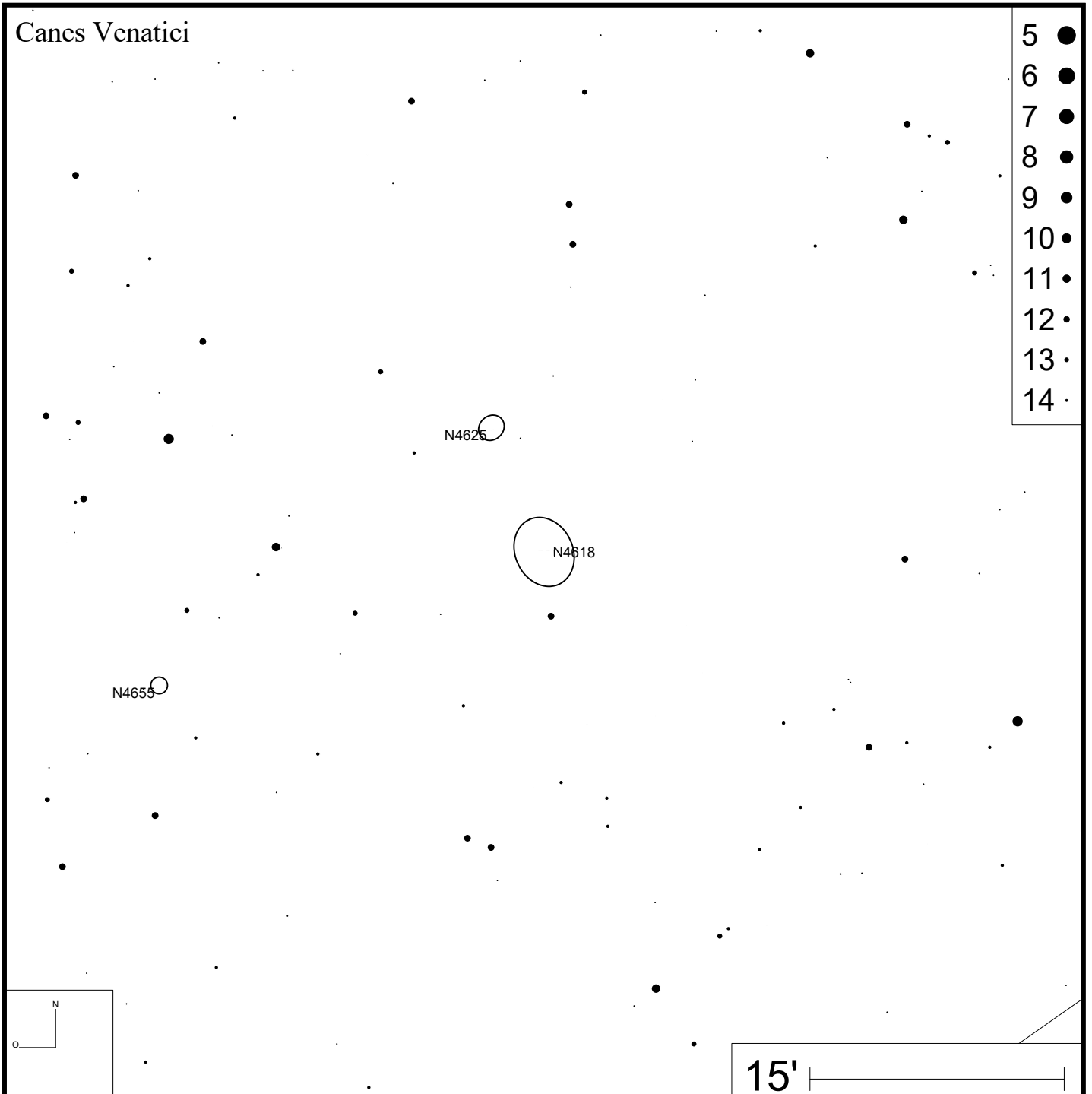
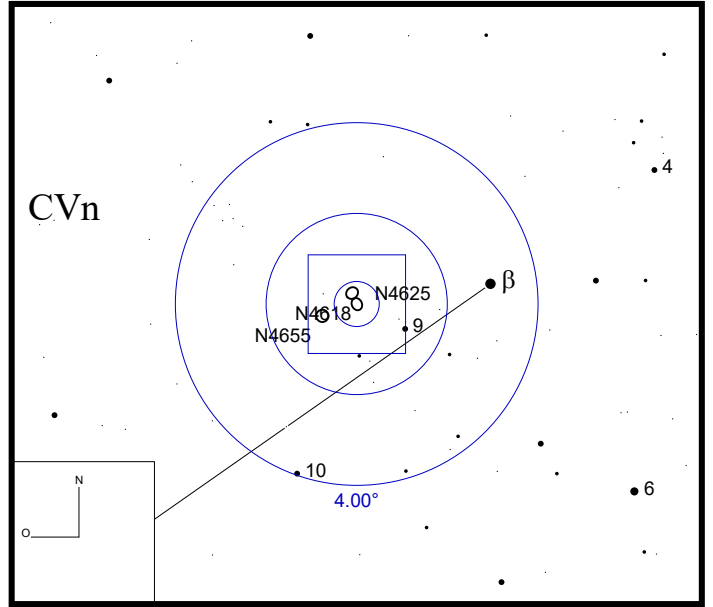


Bild: DSS



Arp 25 (NGC 2276)

RA 07h27m14s DEC +85°45'16"

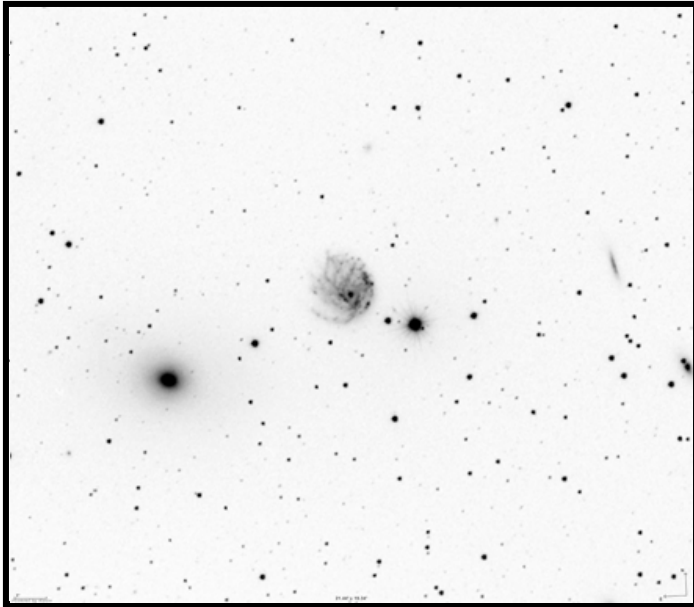
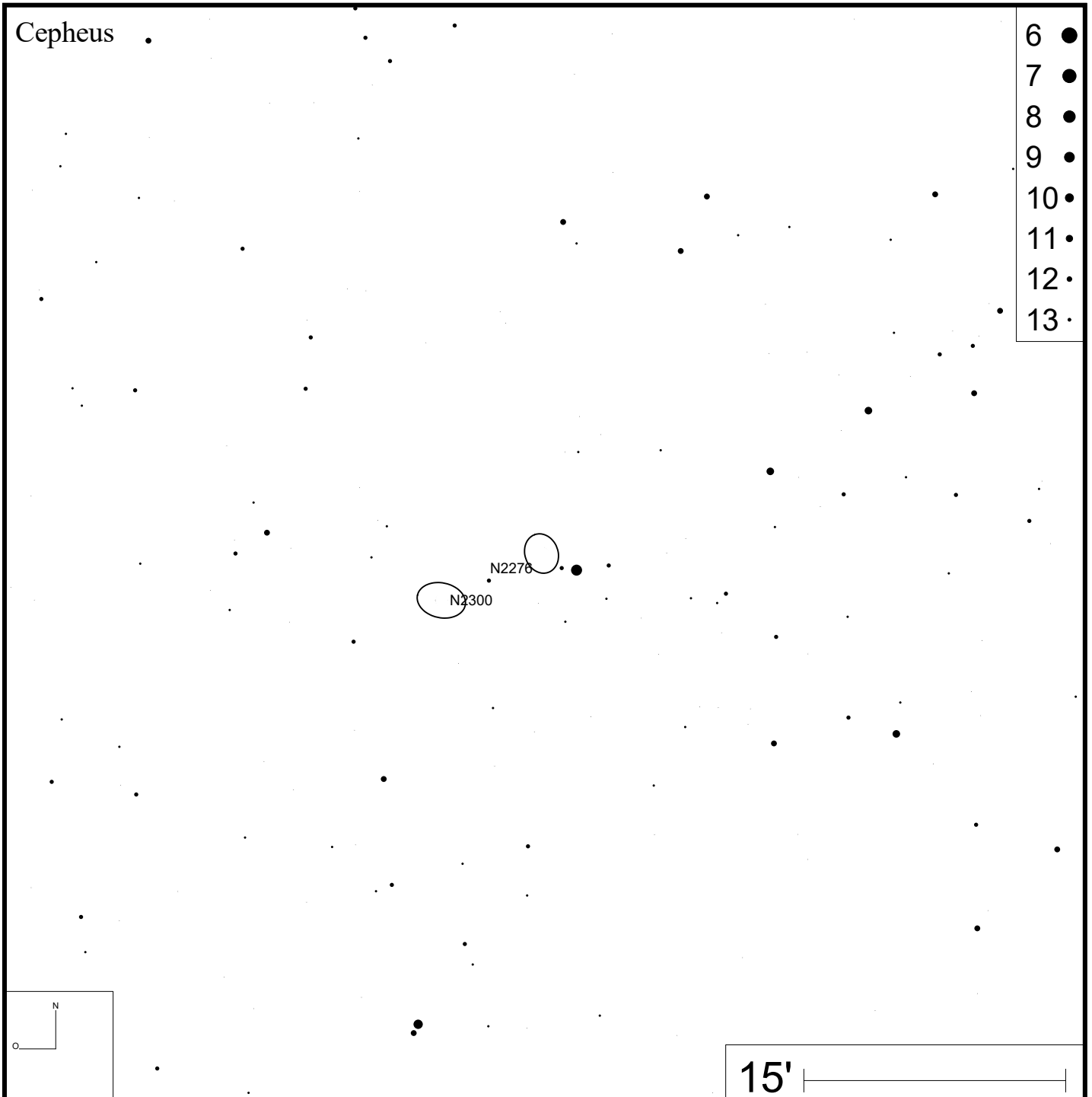
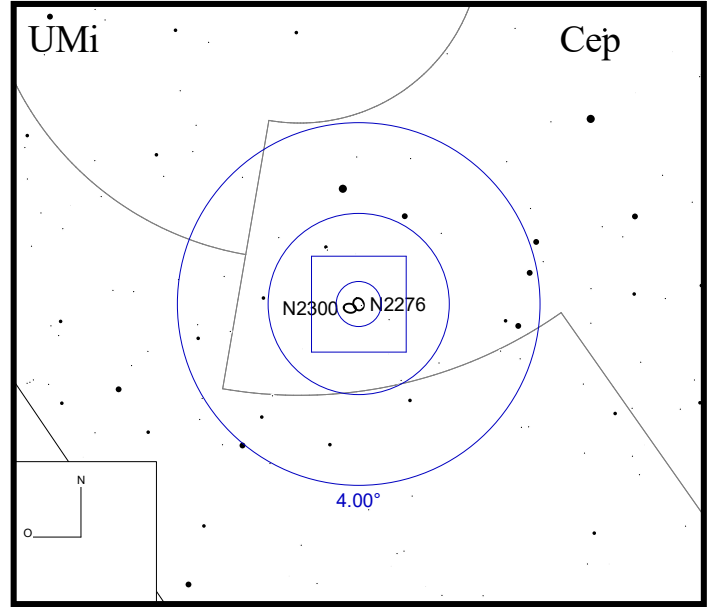


Bild: DSS



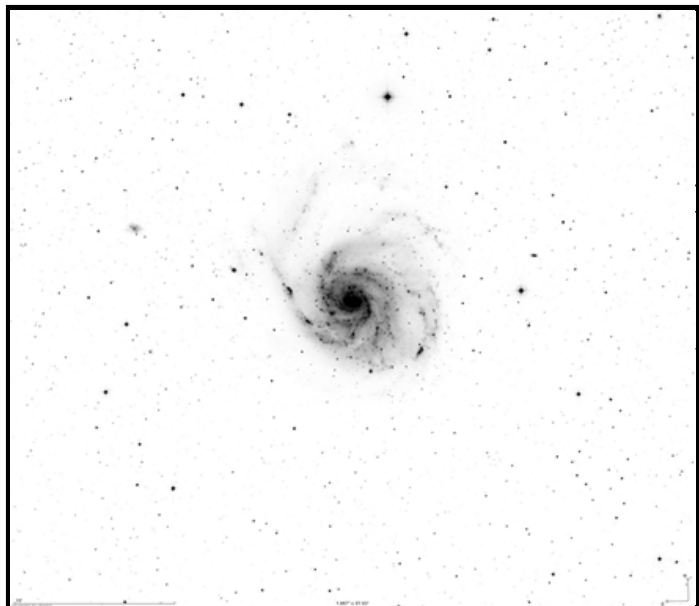
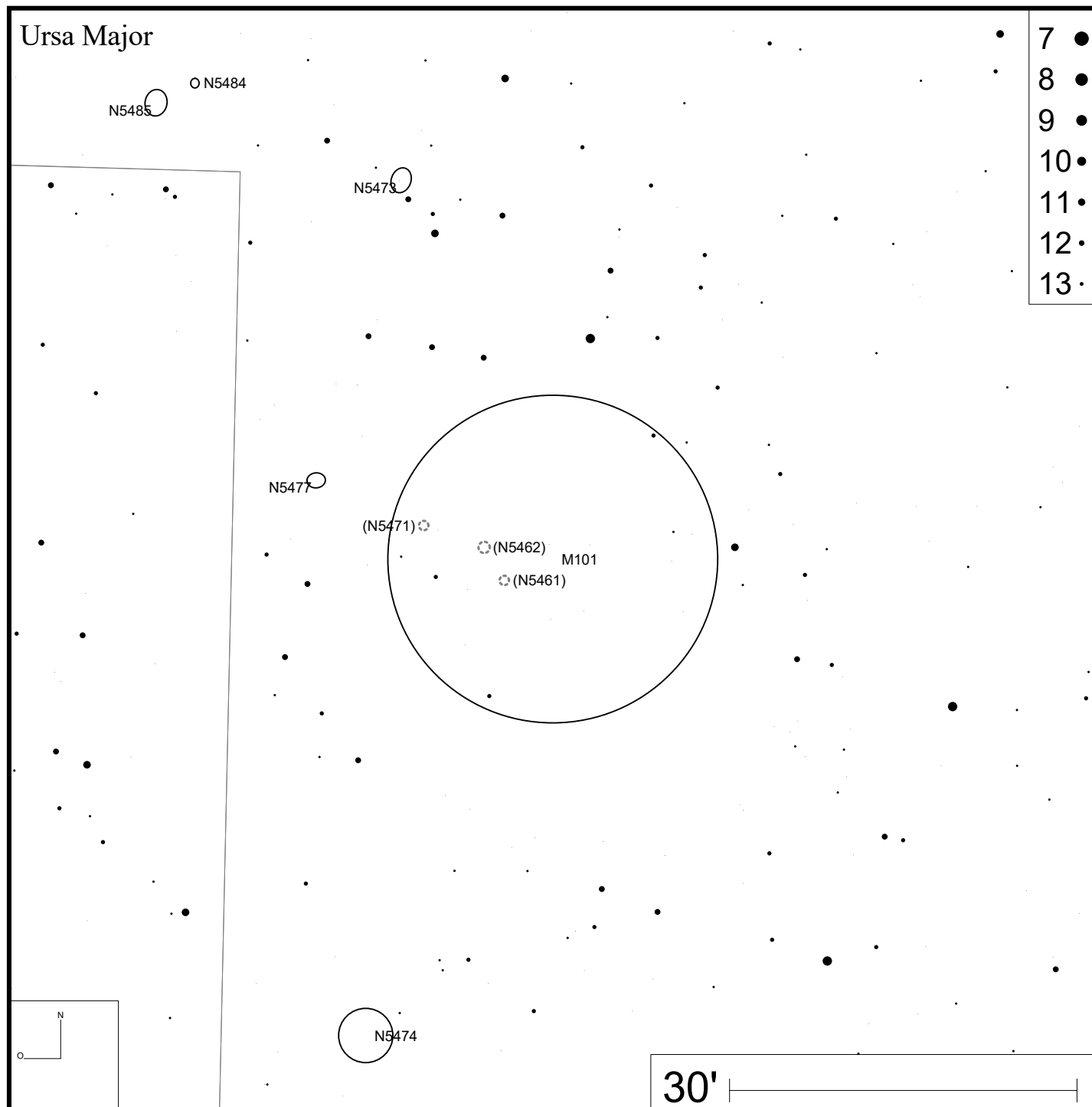
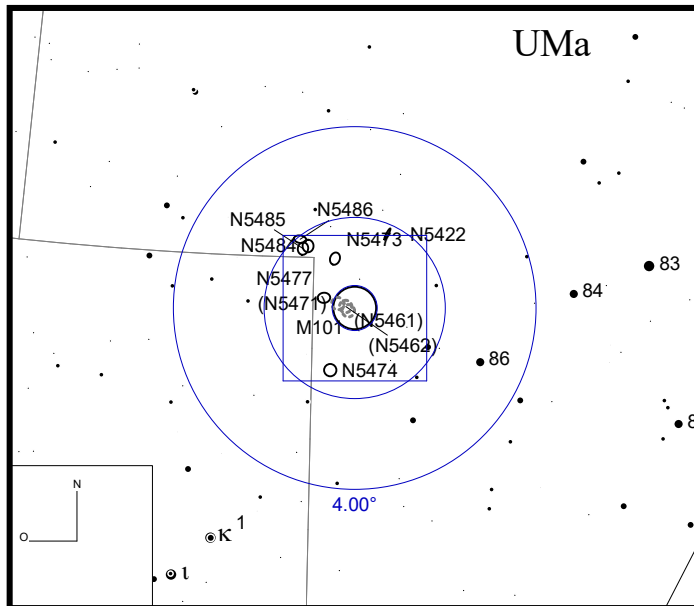


Bild: DSS





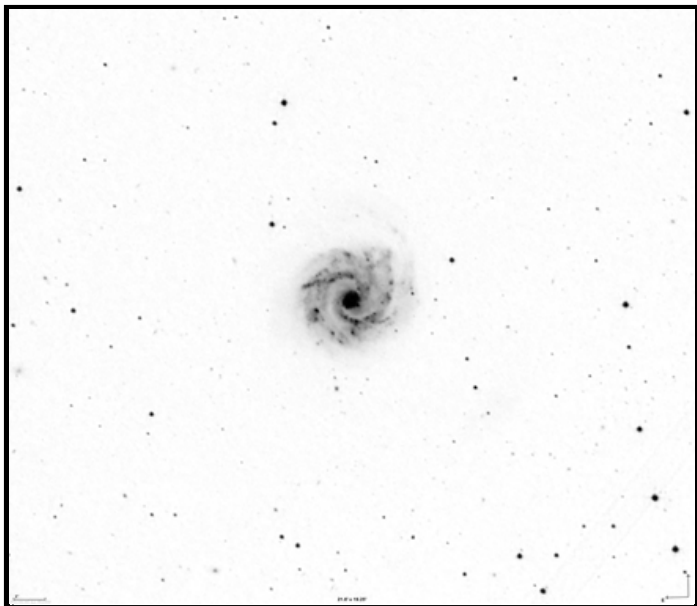
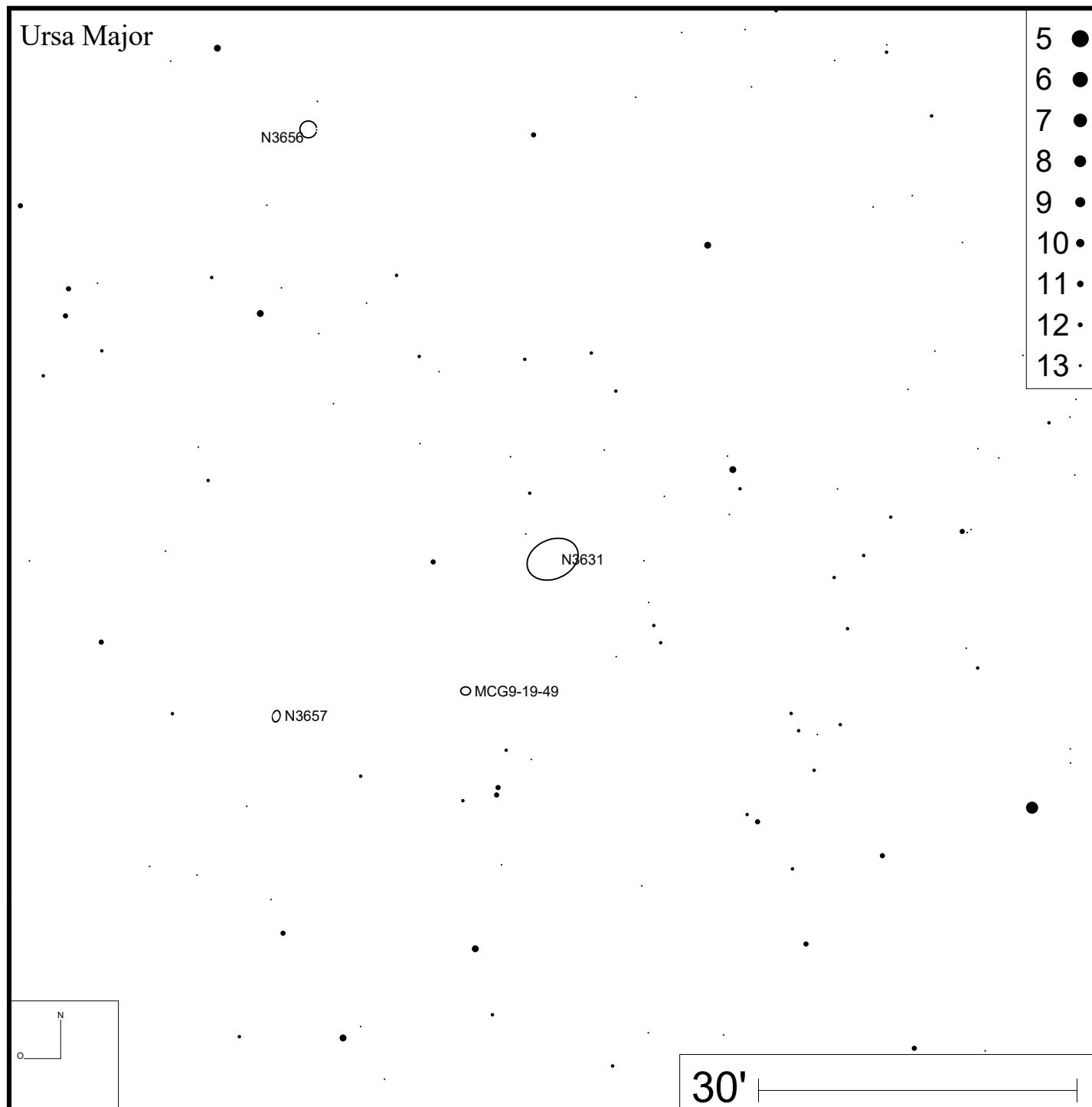
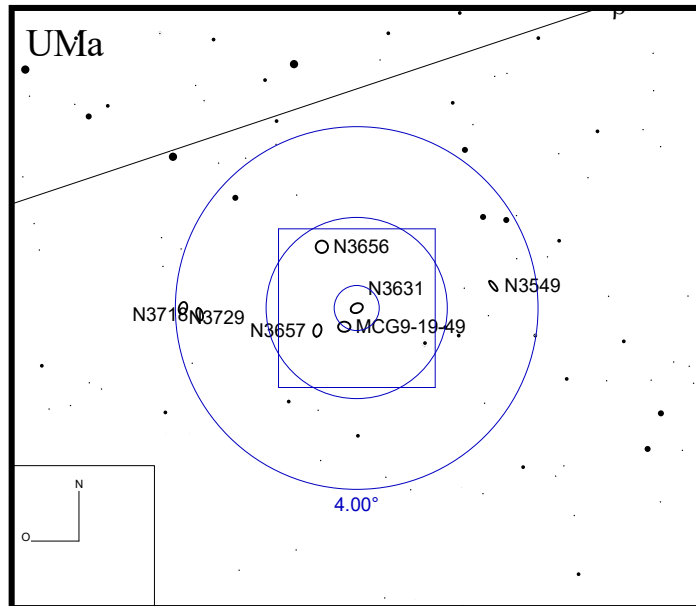


Bild: DSS



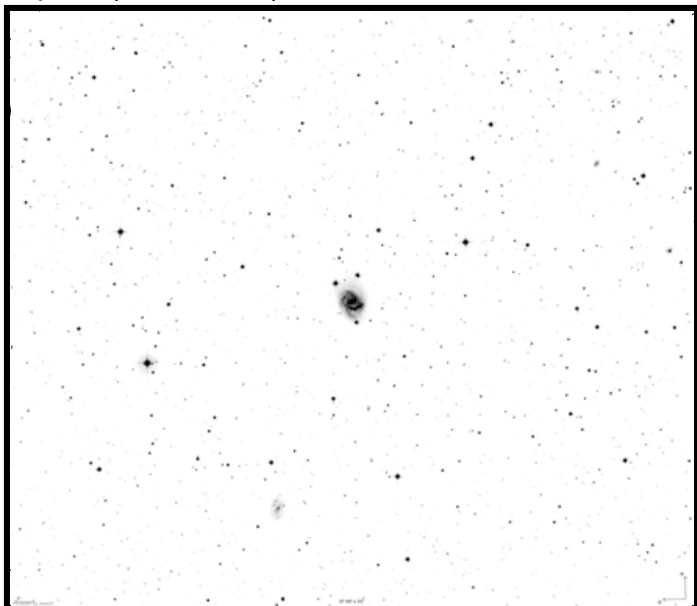
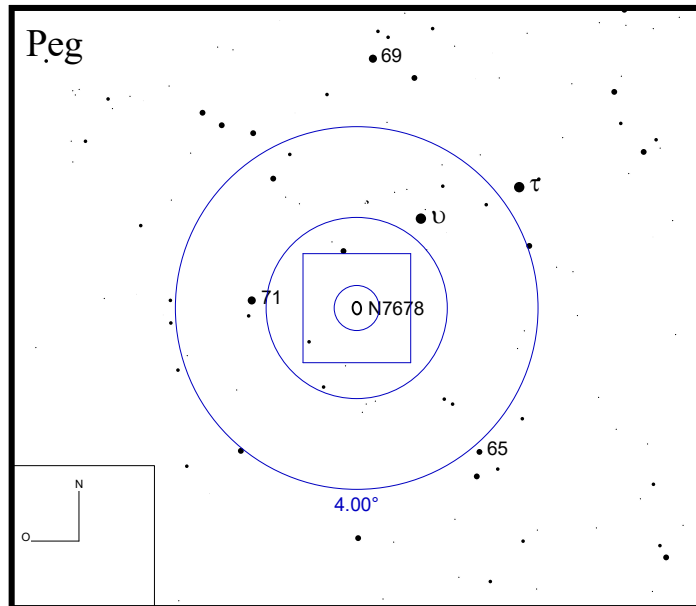
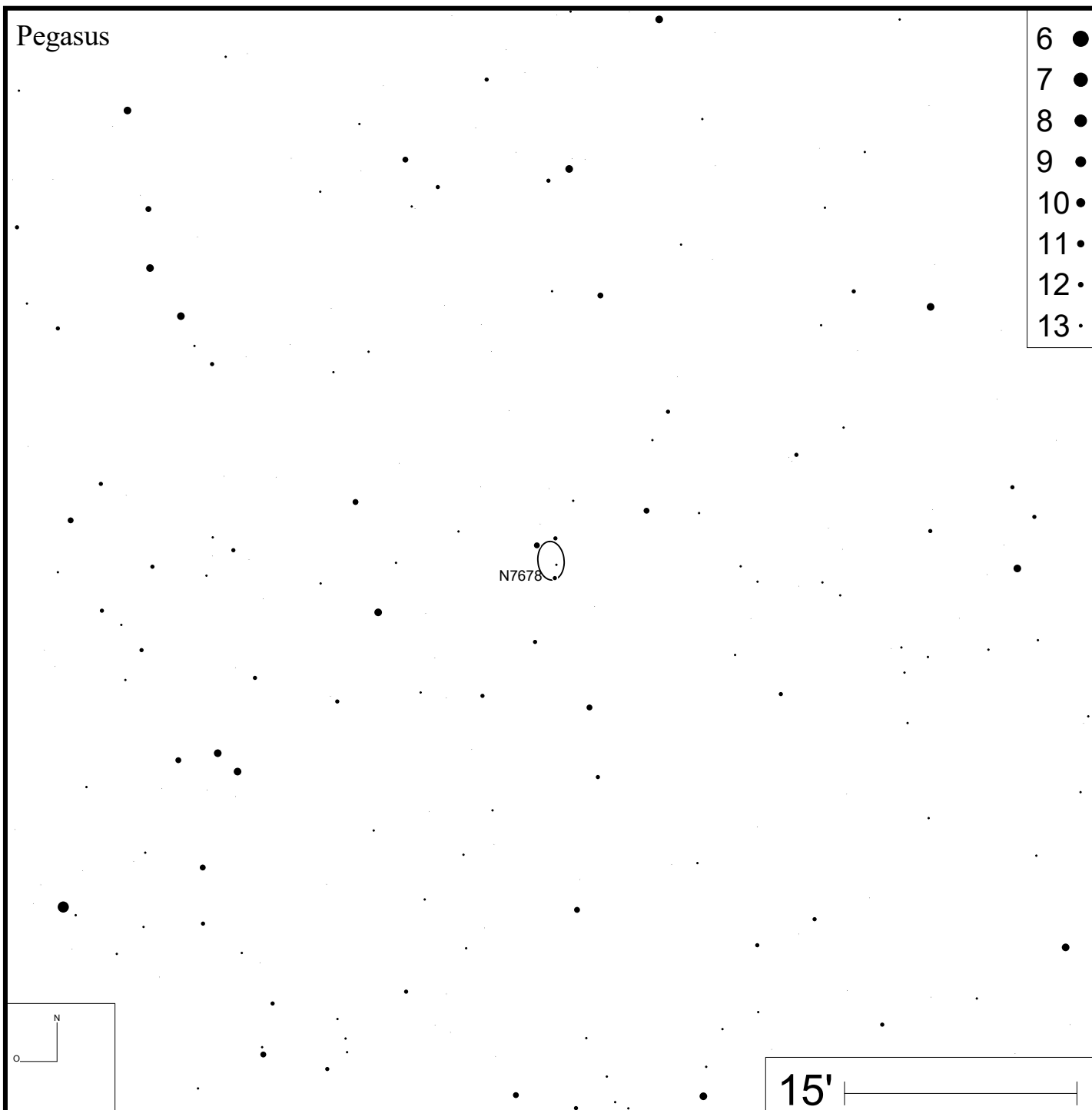


Bild: DSS



Pegasus



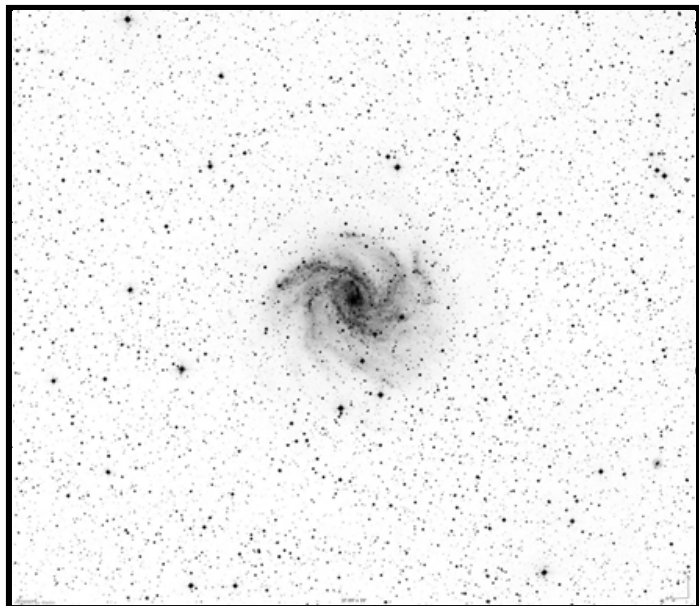
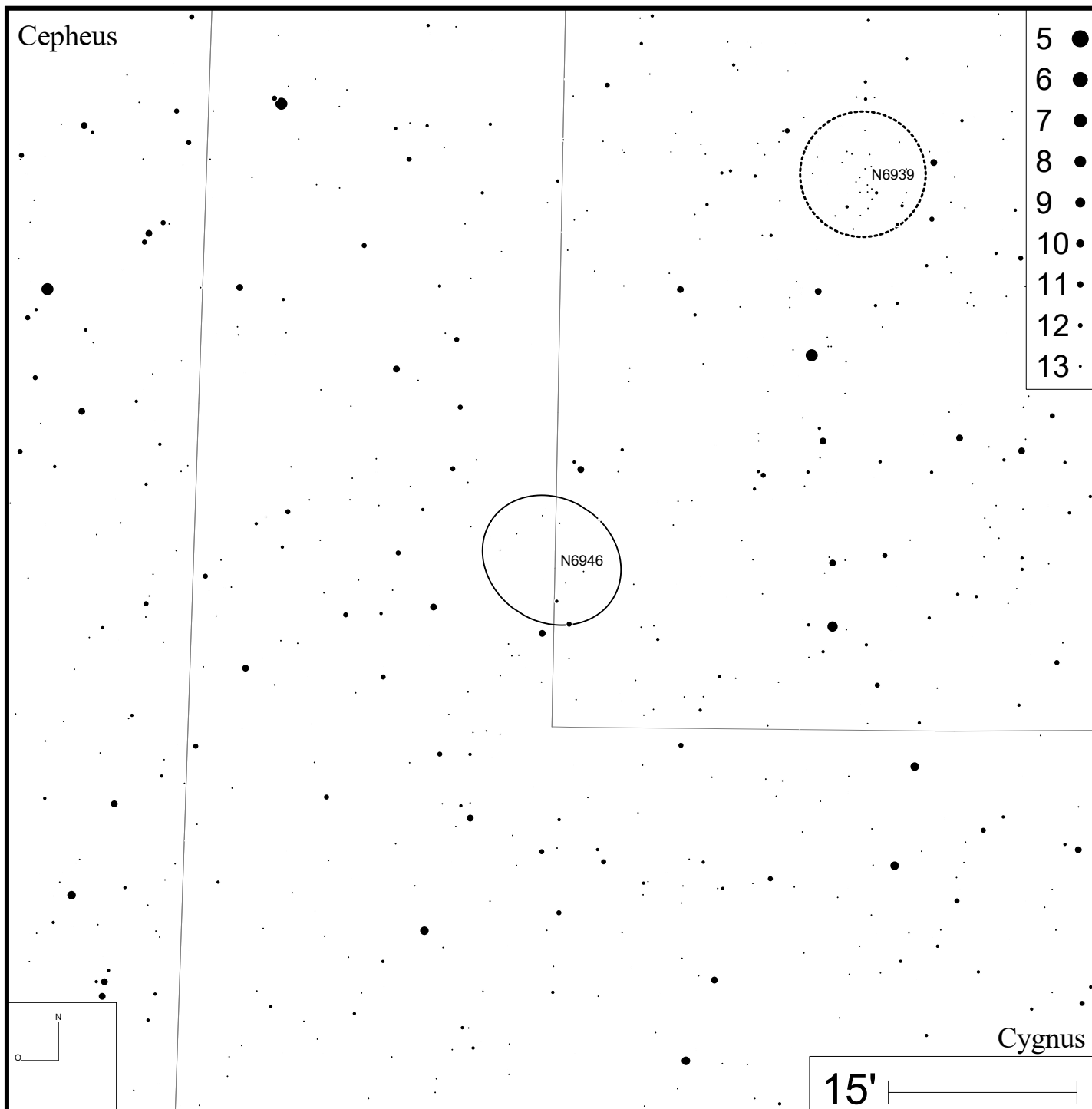
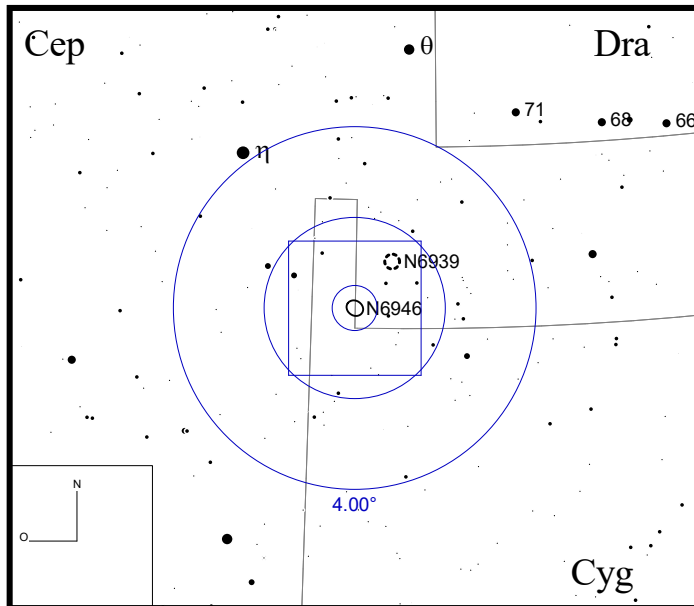


Bild: DSS



Arp 31 (IC 167)

RA 01h51m08s DEC +21°54'43"

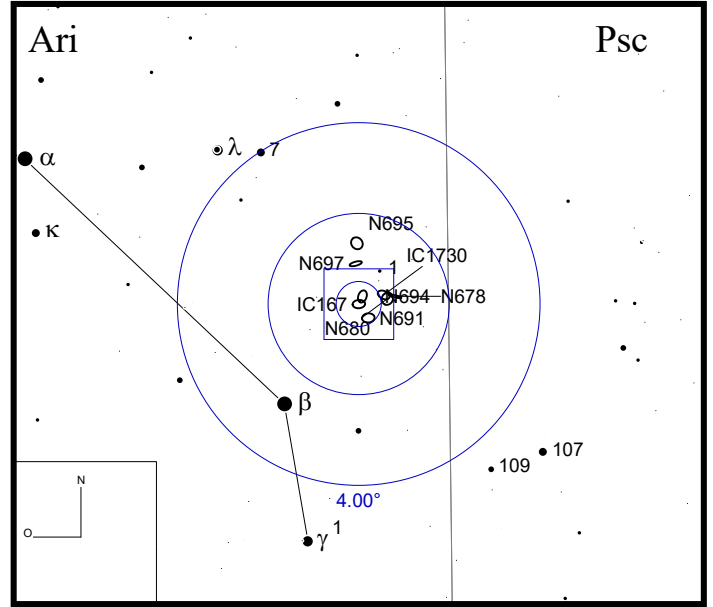
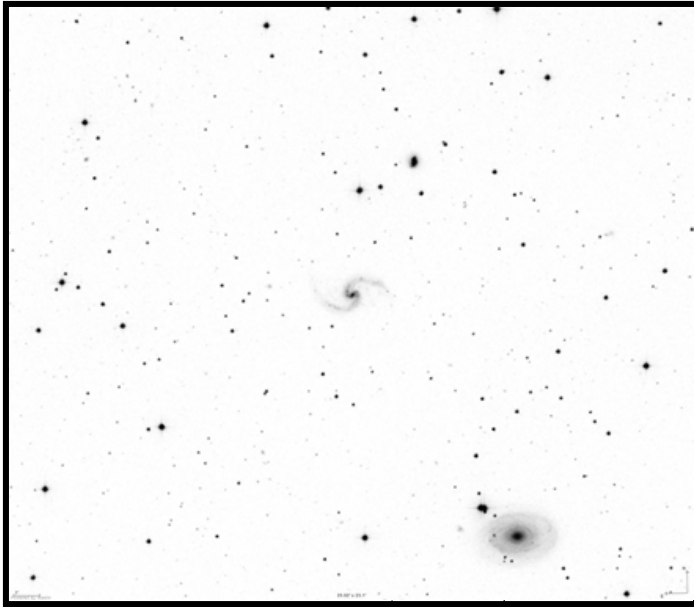
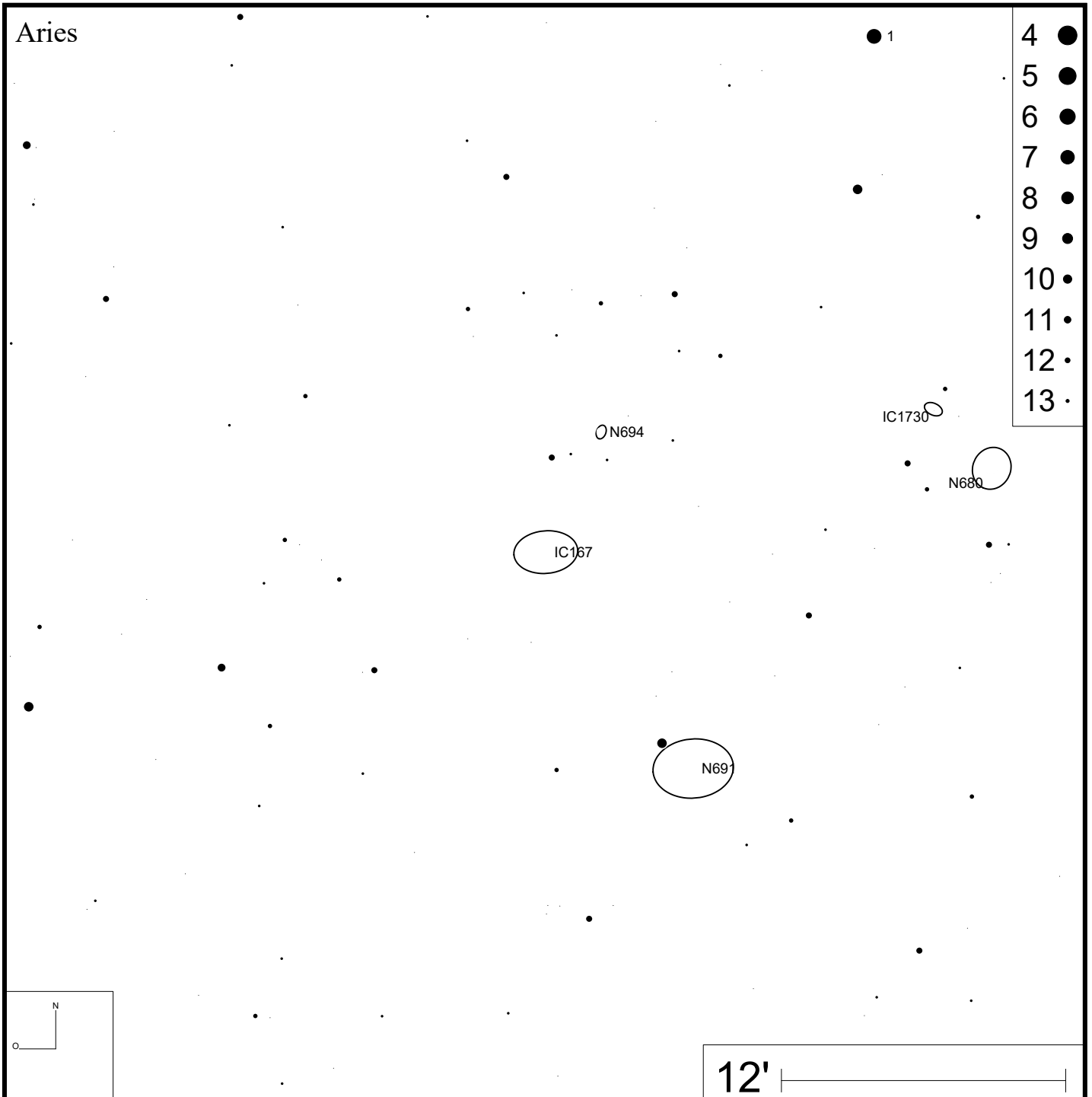


Bild: DSS



Arp 32 (UGC 10770)

RA 17h13m09s DEC +59°19'37"

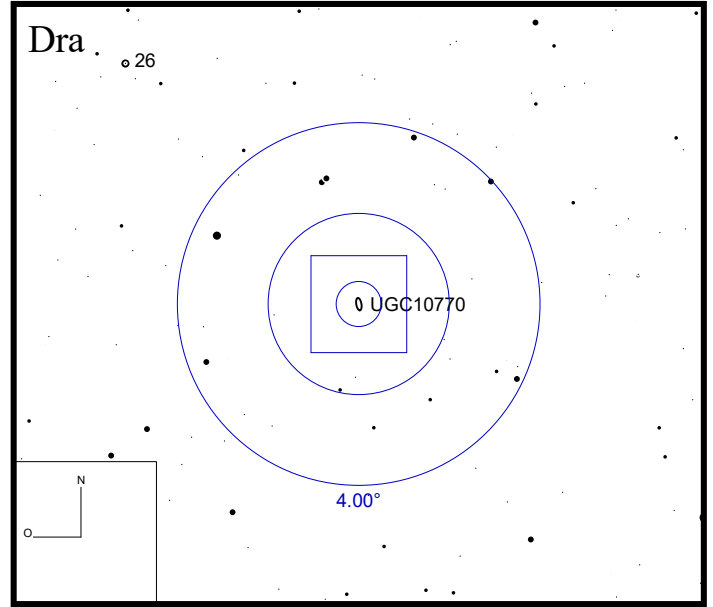
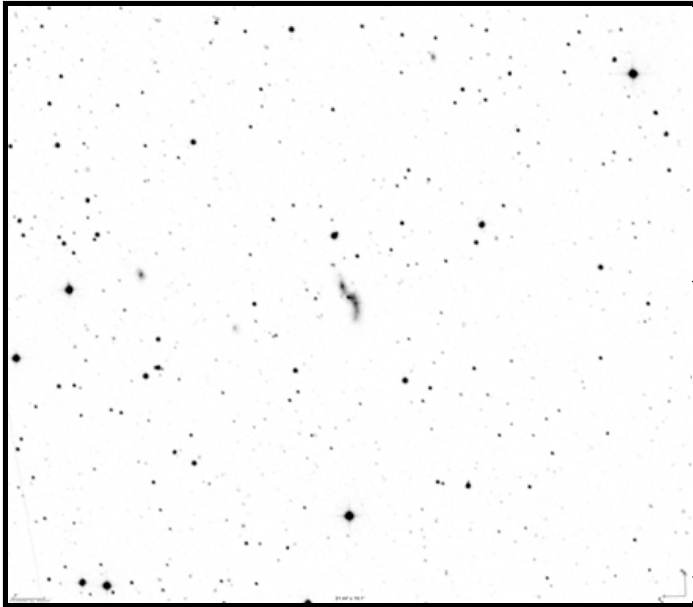
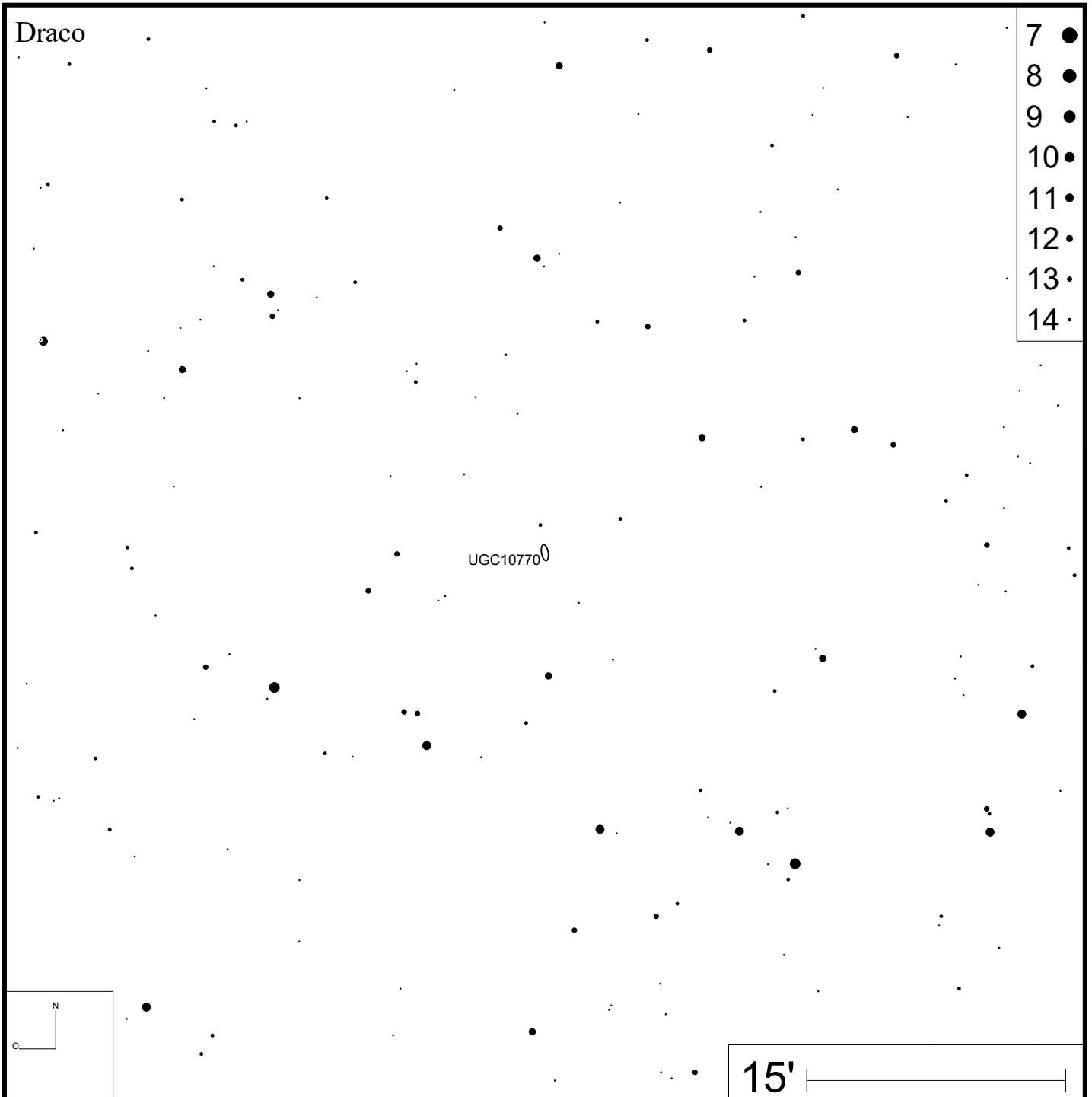


Bild: DSS



Draco

- 7 ●
- 8 ●
- 9 ●
- 10 ●
- 11 ●
- 12 ●
- 13 ●
- 14 ●

UGC10770

15'

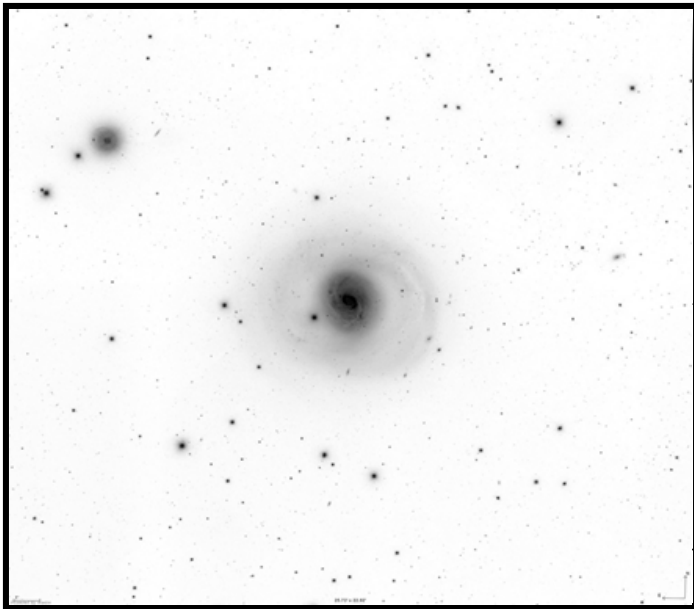
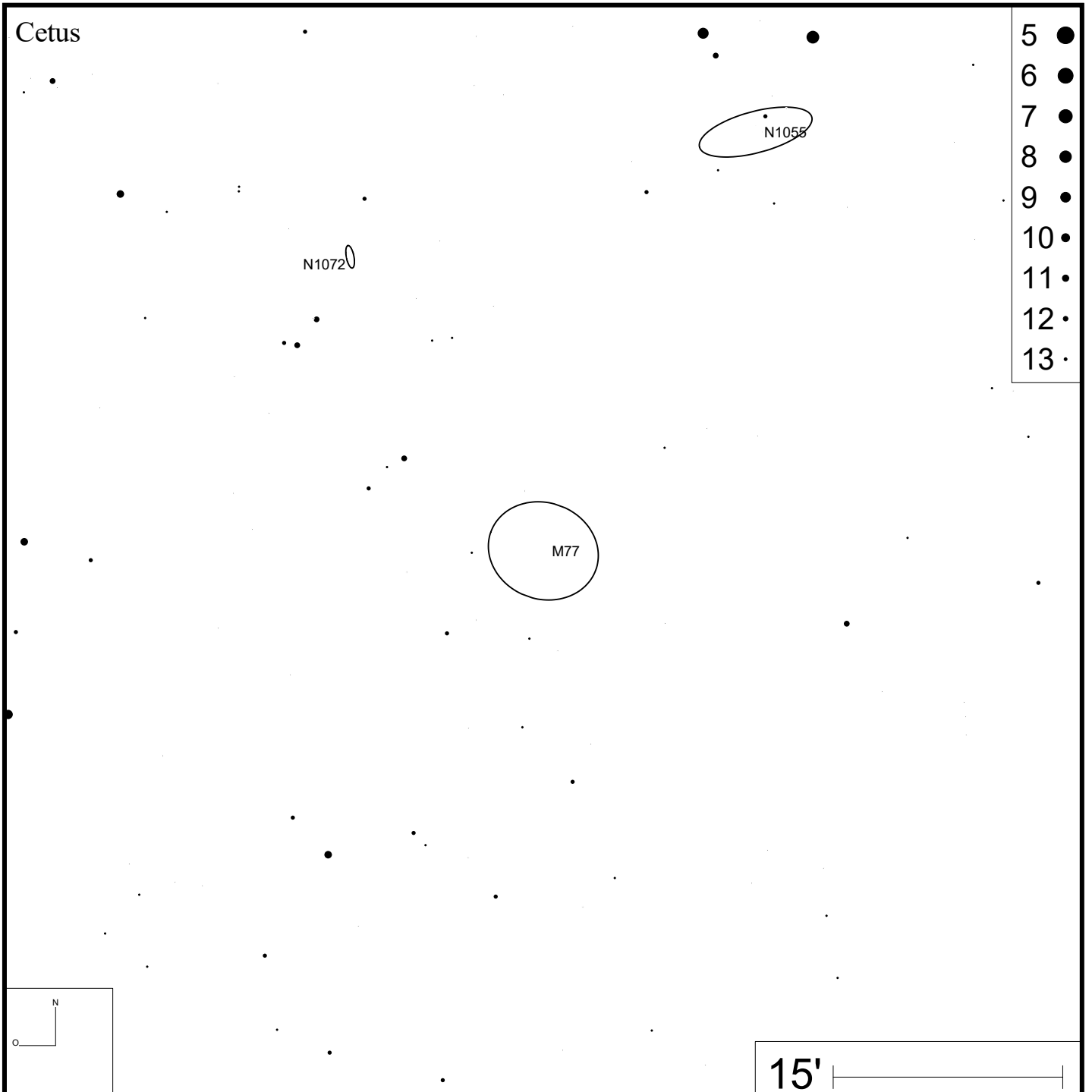
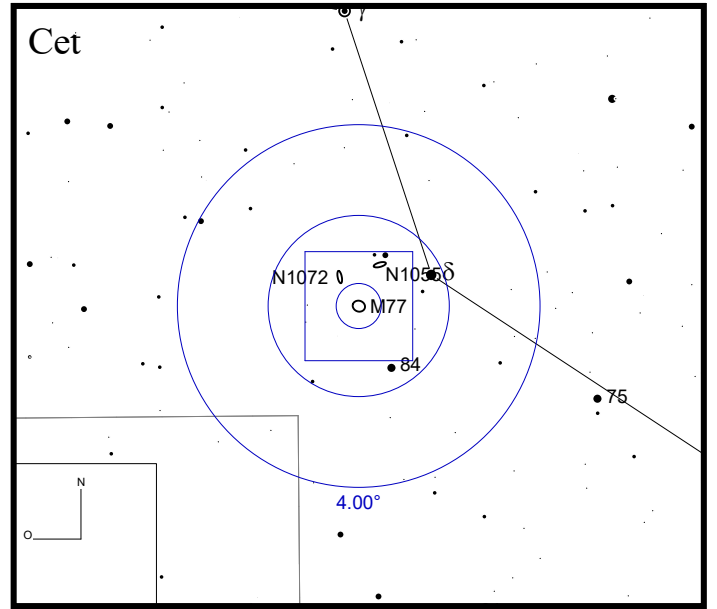


Bild: DSS



- 5 ●
- 6 ●
- 7 ●
- 8 ●
- 9 ●
- 10 ●
- 11 ●
- 12 ●
- 13 ●

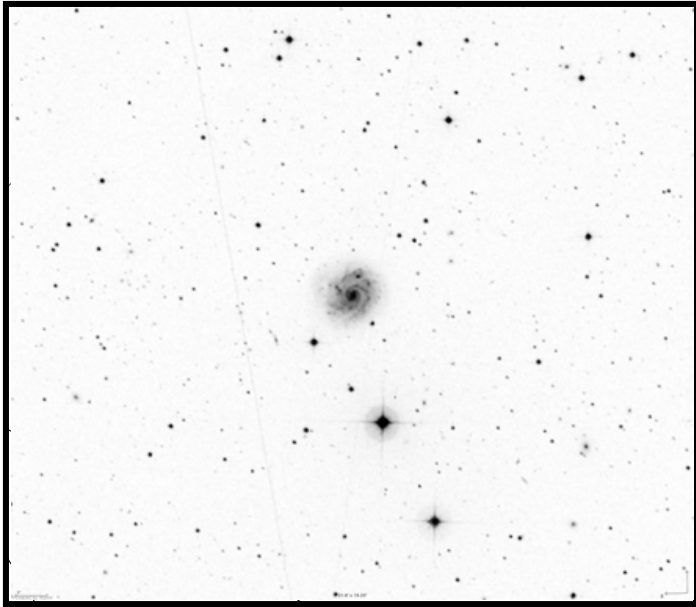
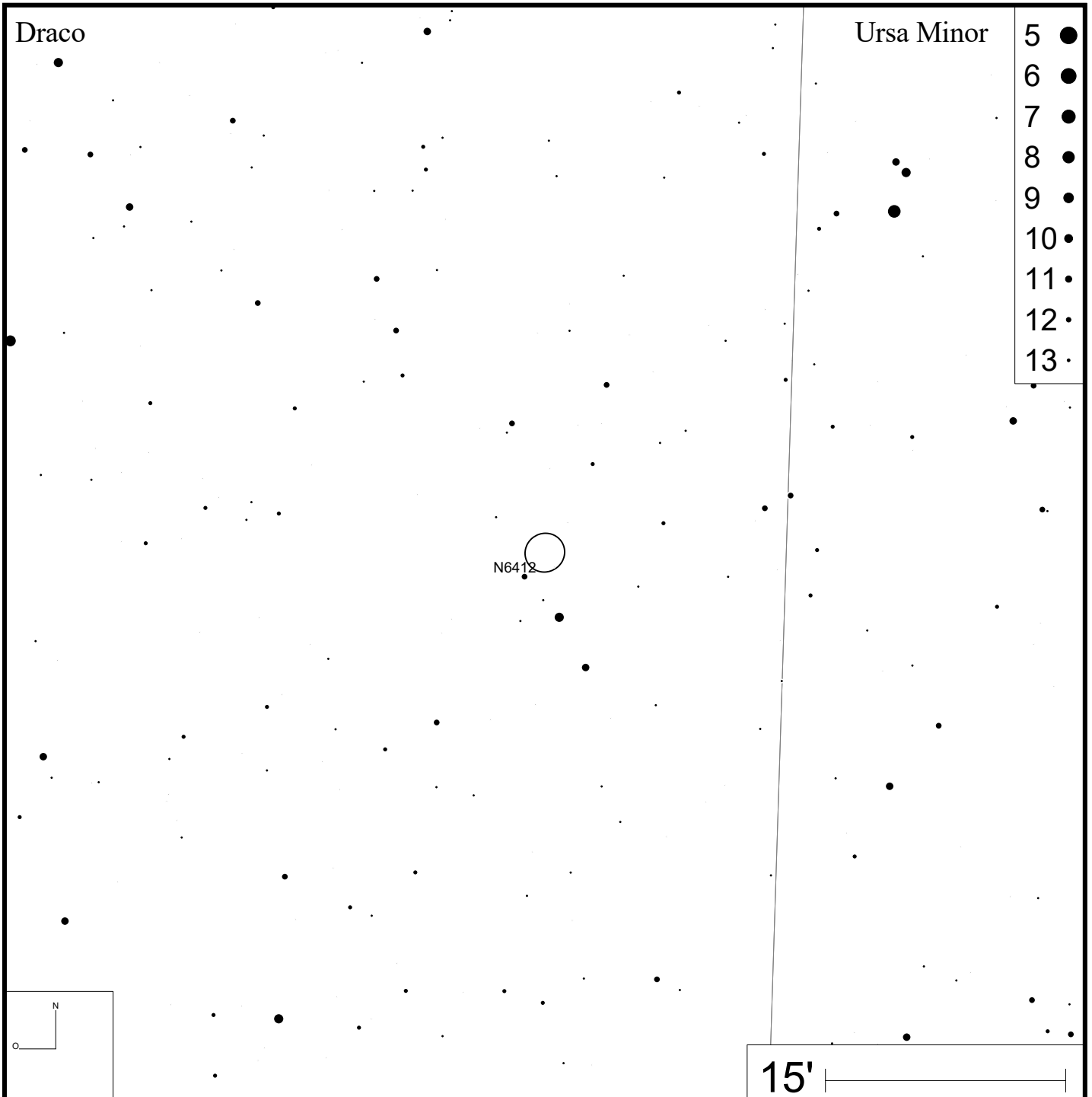
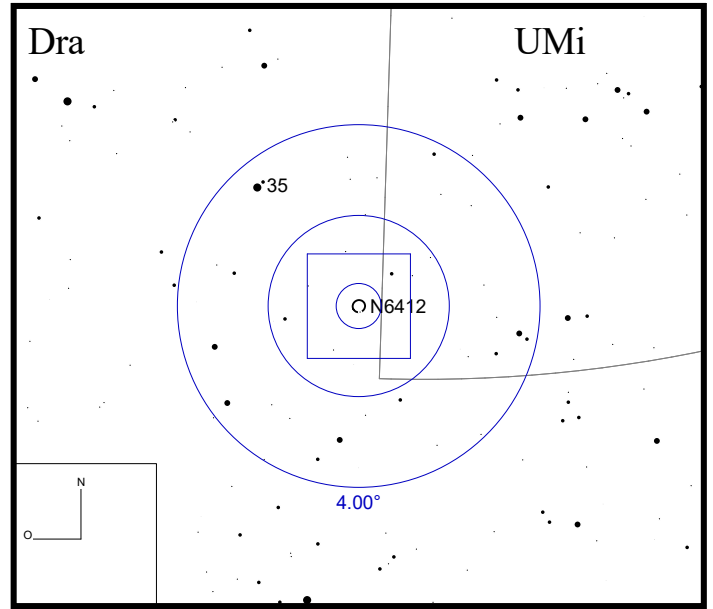


Bild: DSS



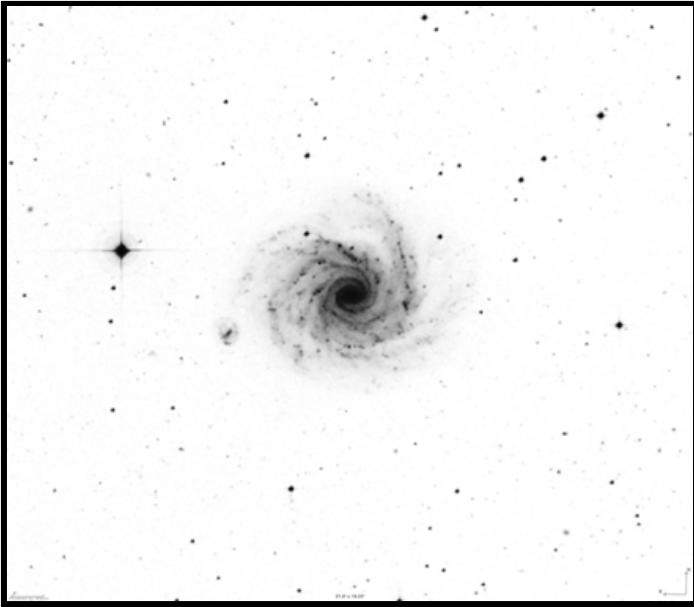
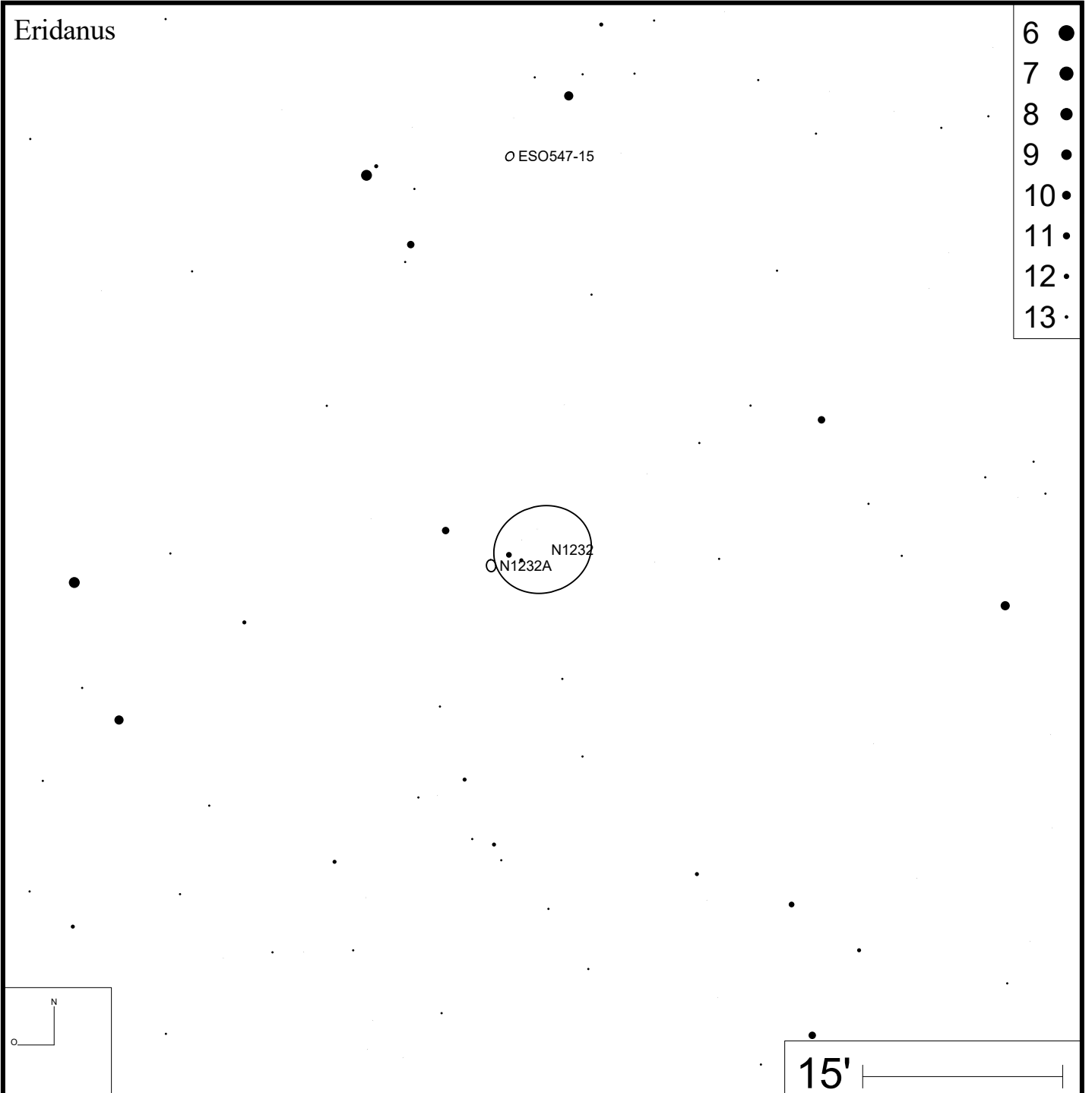
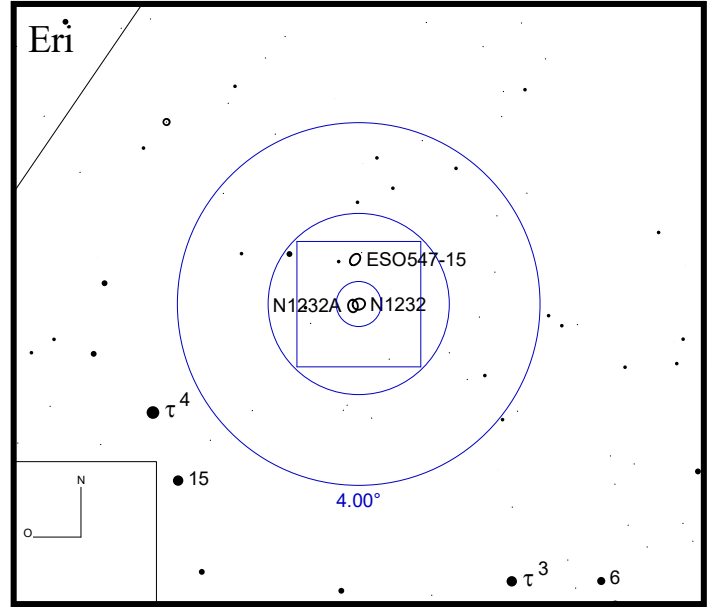


Bild: DSS





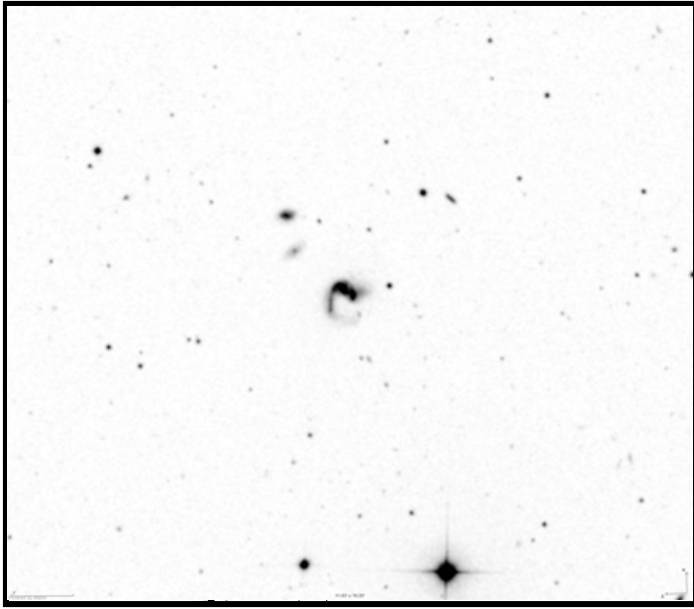
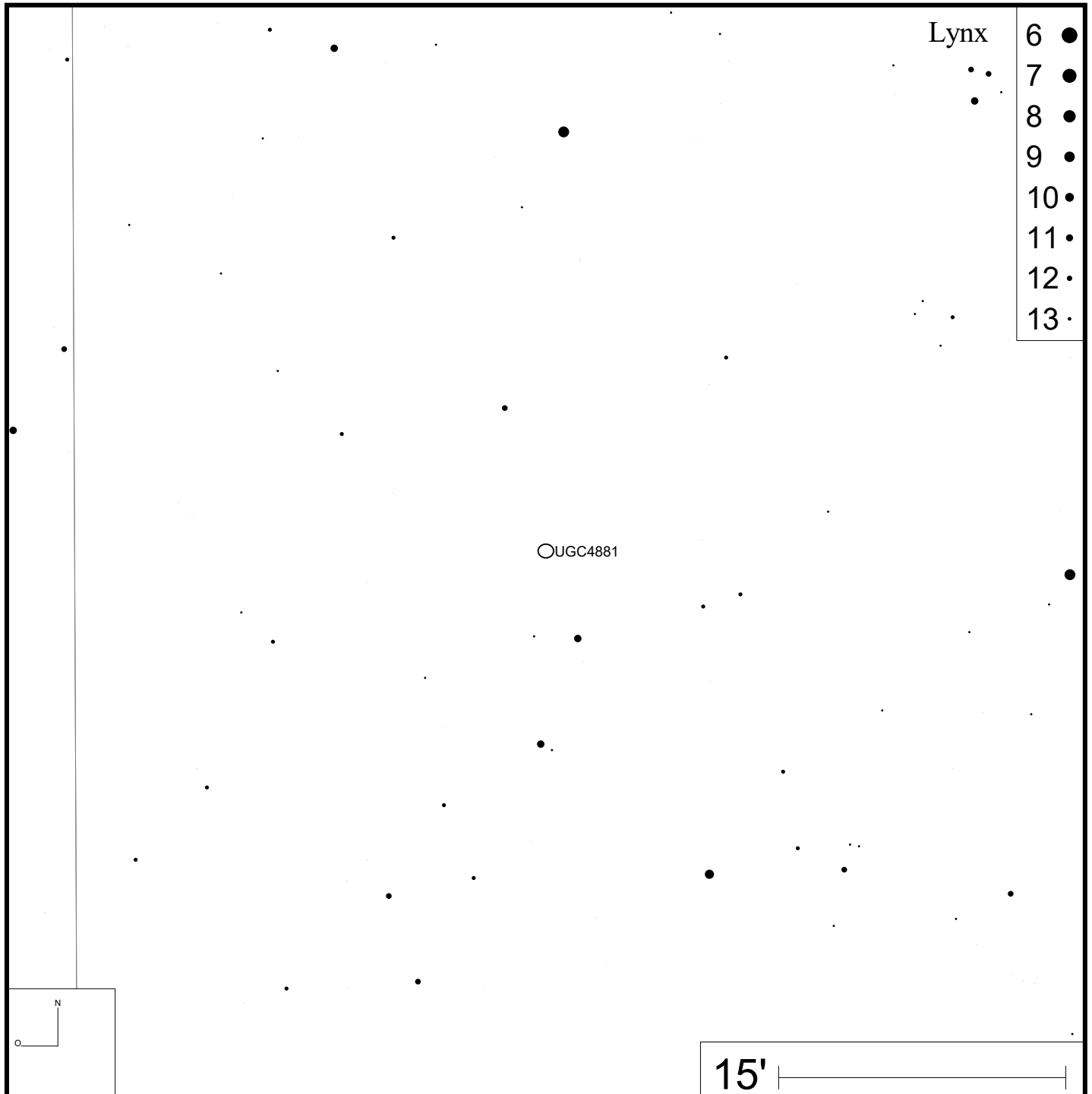
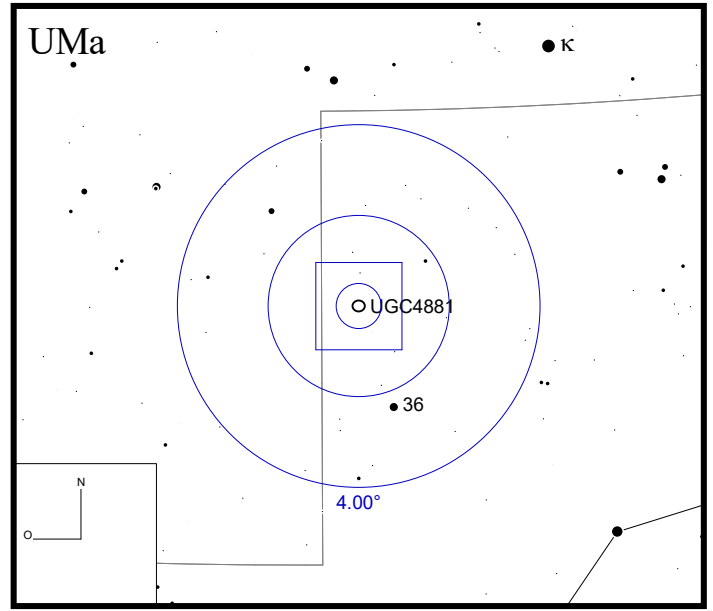


Bild: SDSS



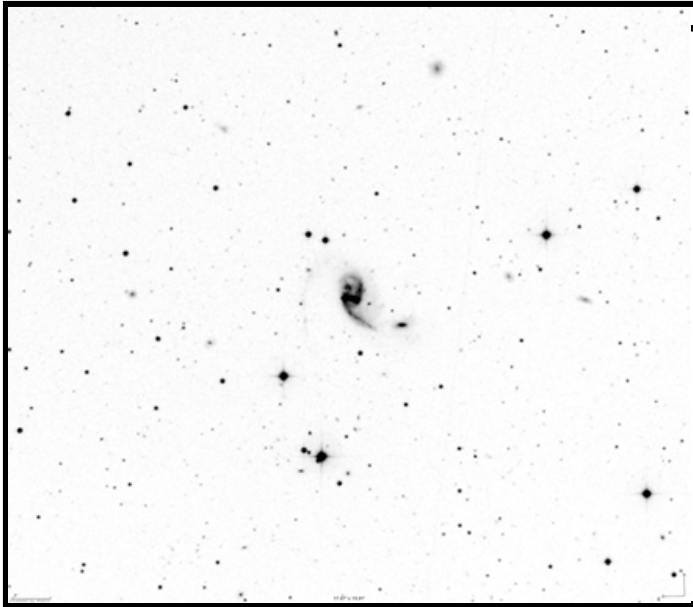
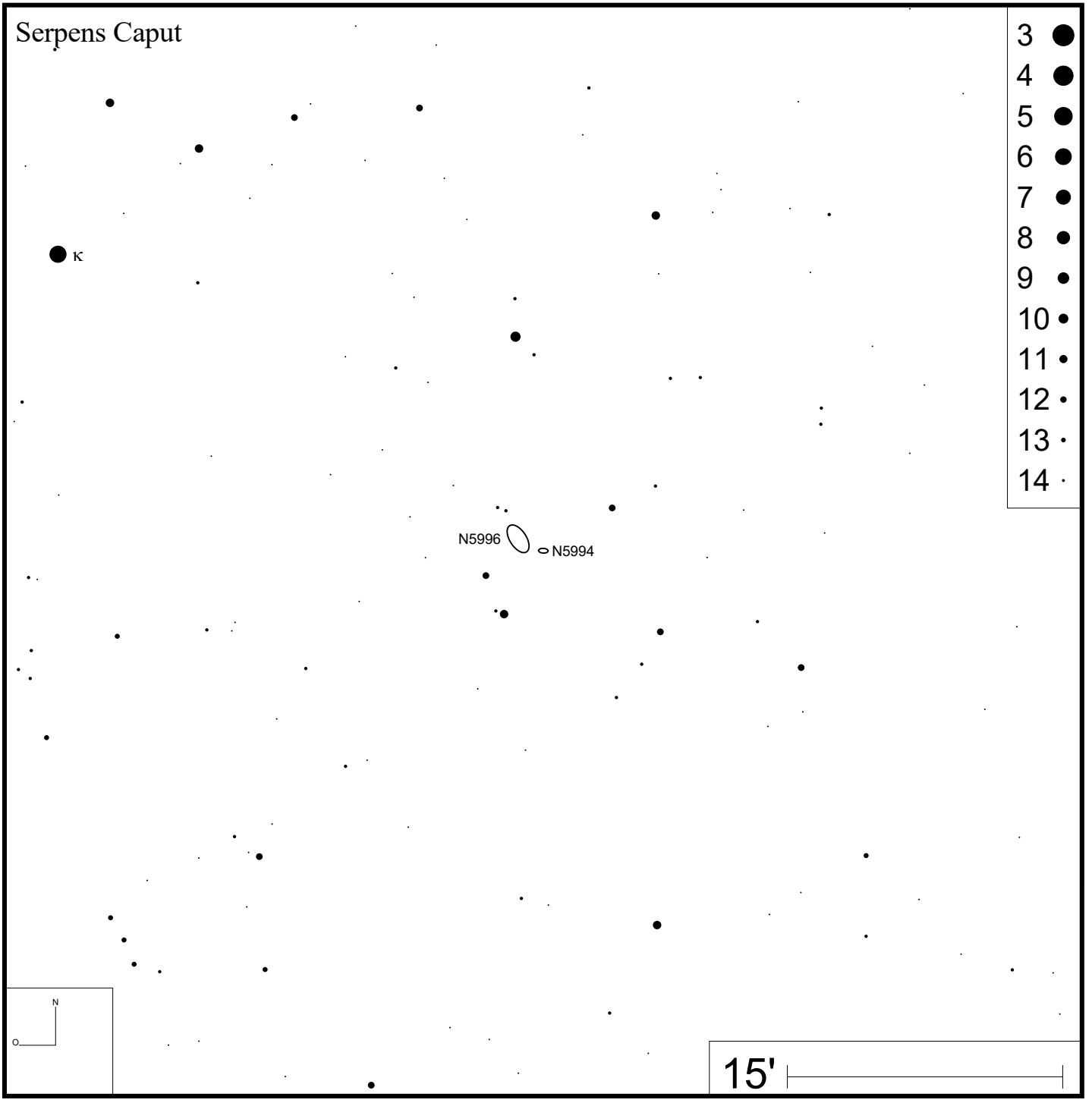
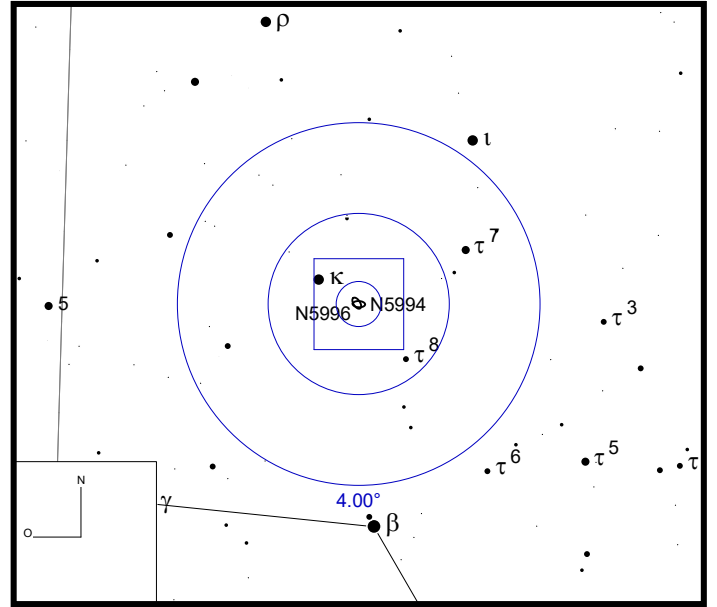


Bild: DSS



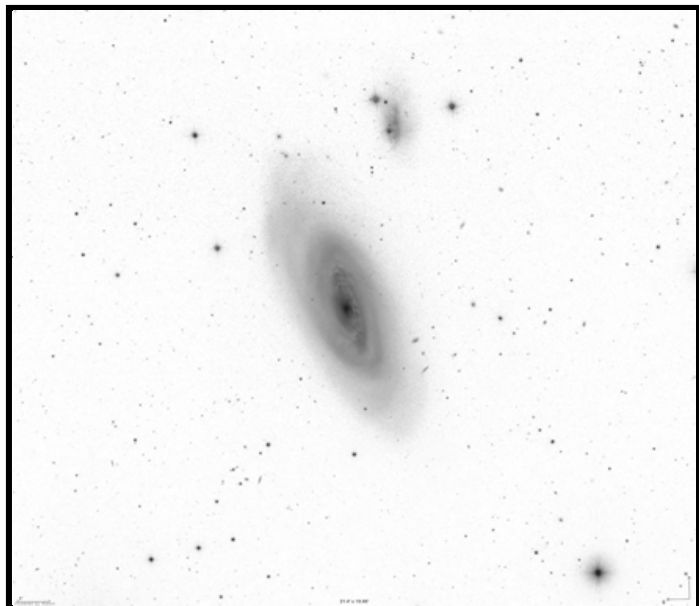
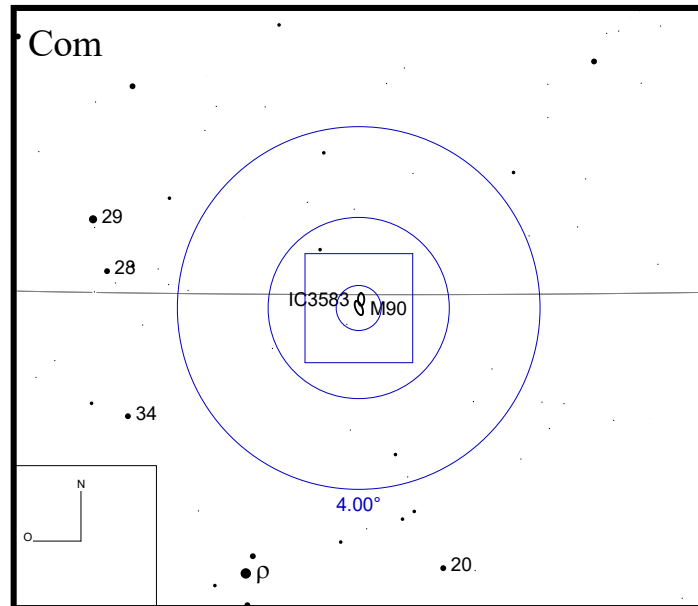
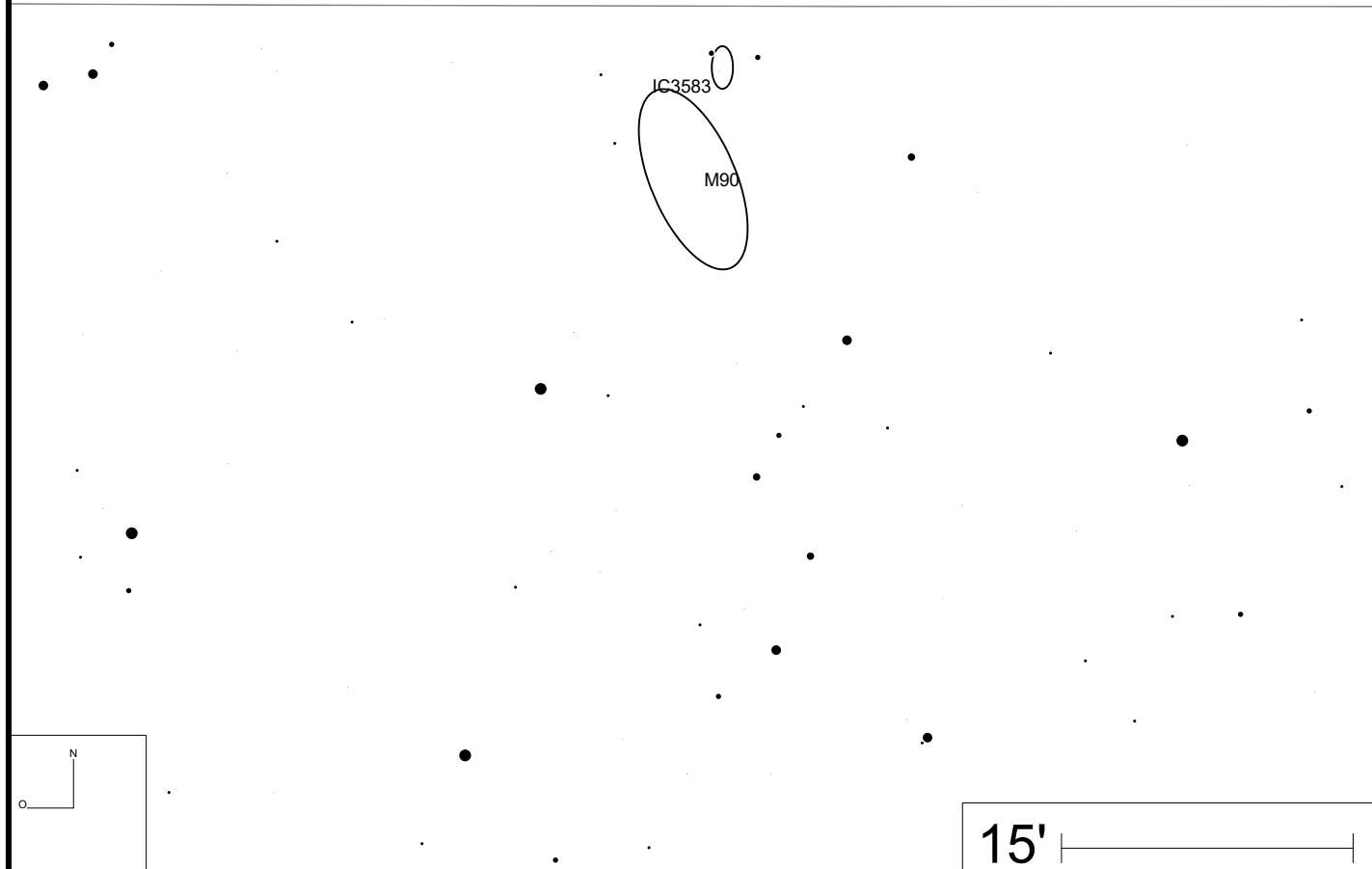
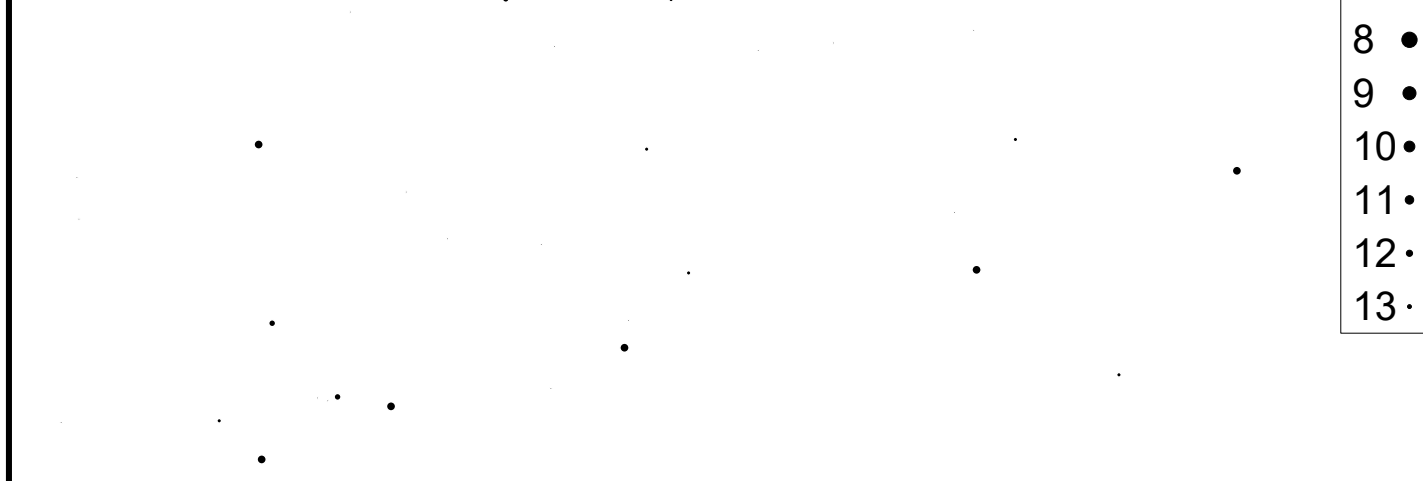


Bild: SDSS



### Coma Berenices

- 7 ●
- 8 ●
- 9 ●
- 10 ●
- 11 ●
- 12 ●
- 13 ●



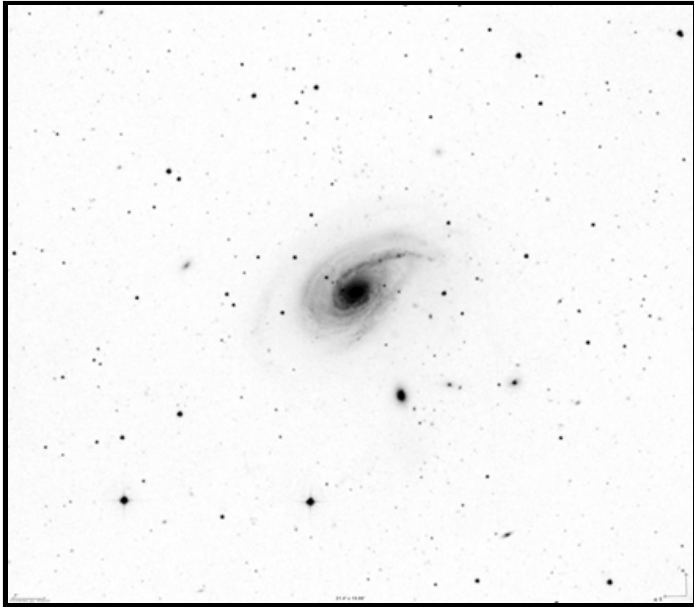
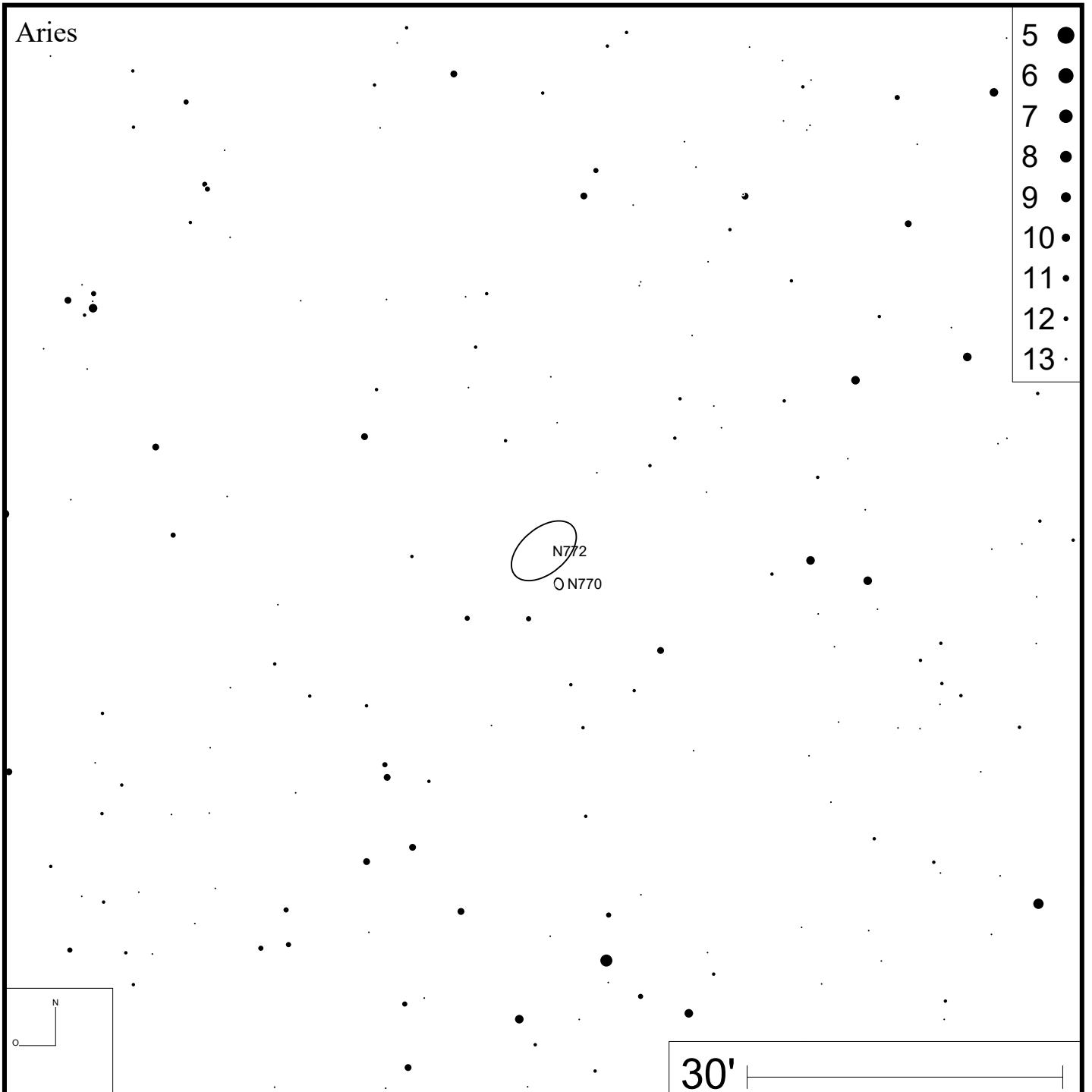
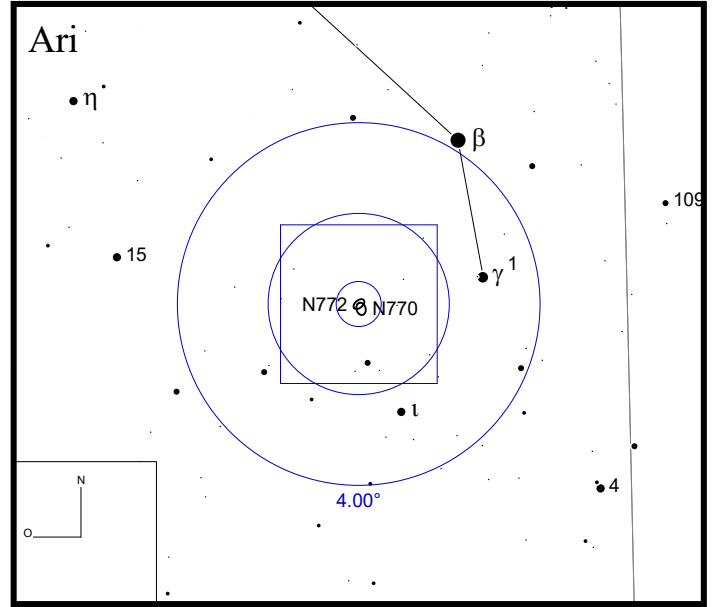


Bild: DSS



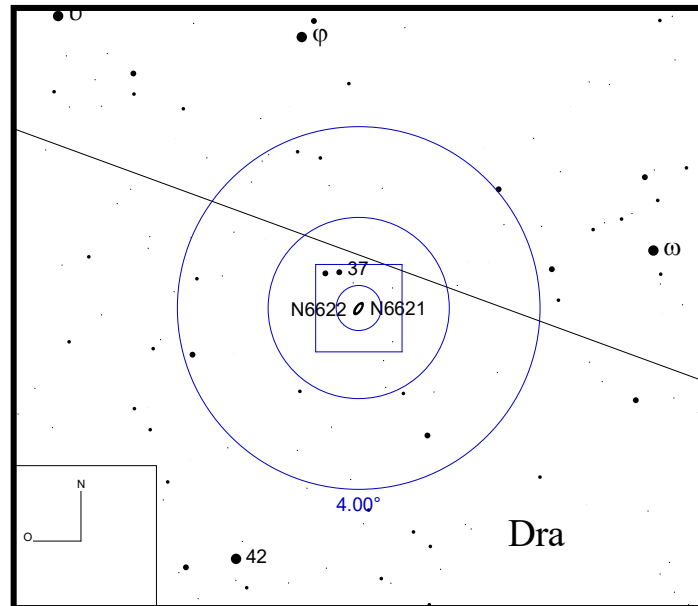
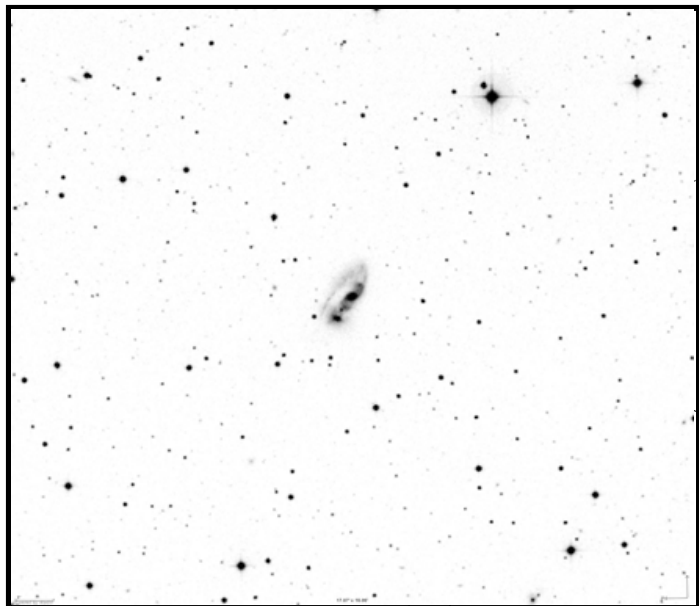


Bild: DSS

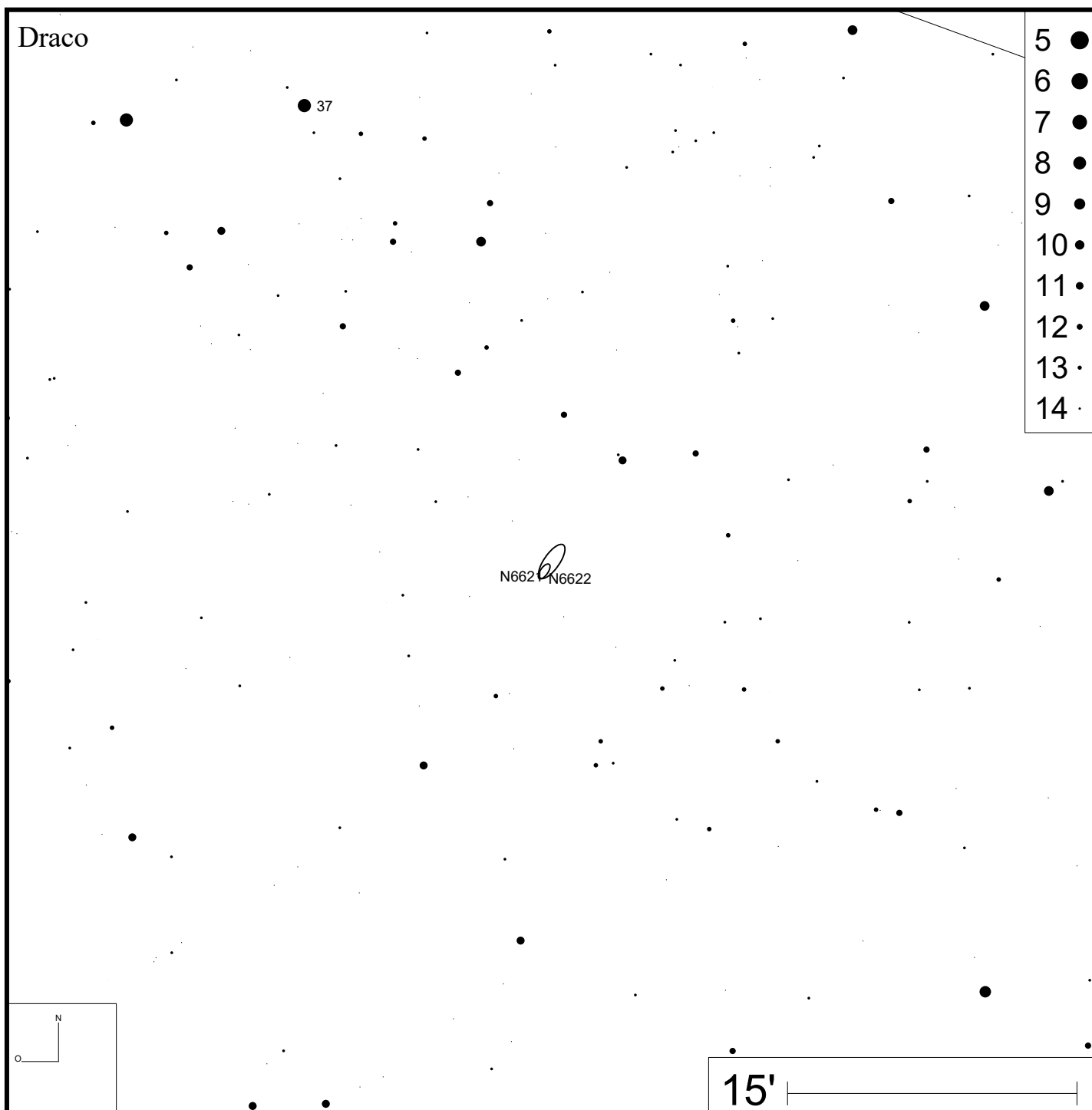
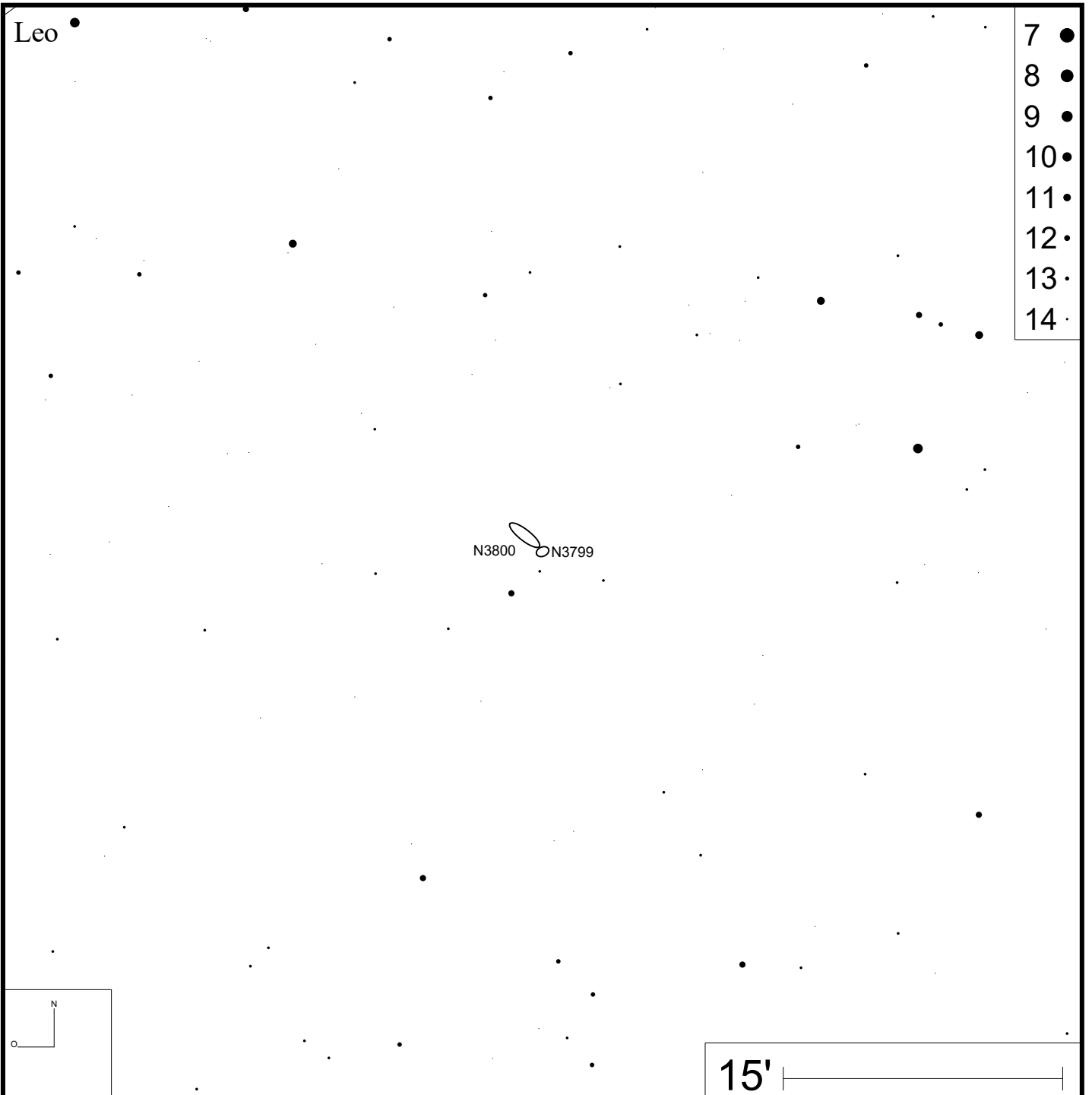
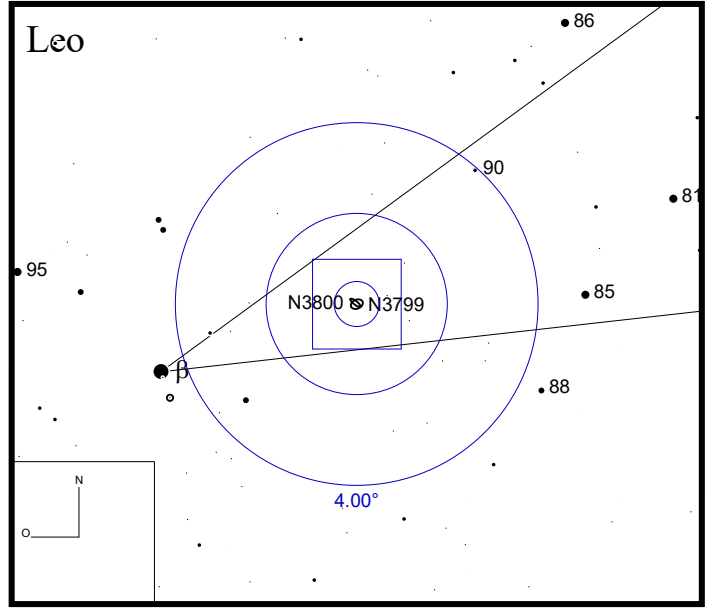




Bild: DSS



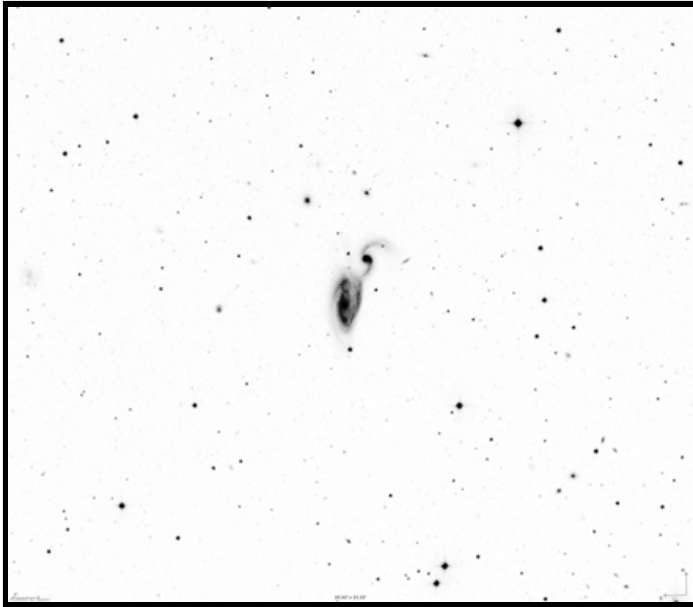
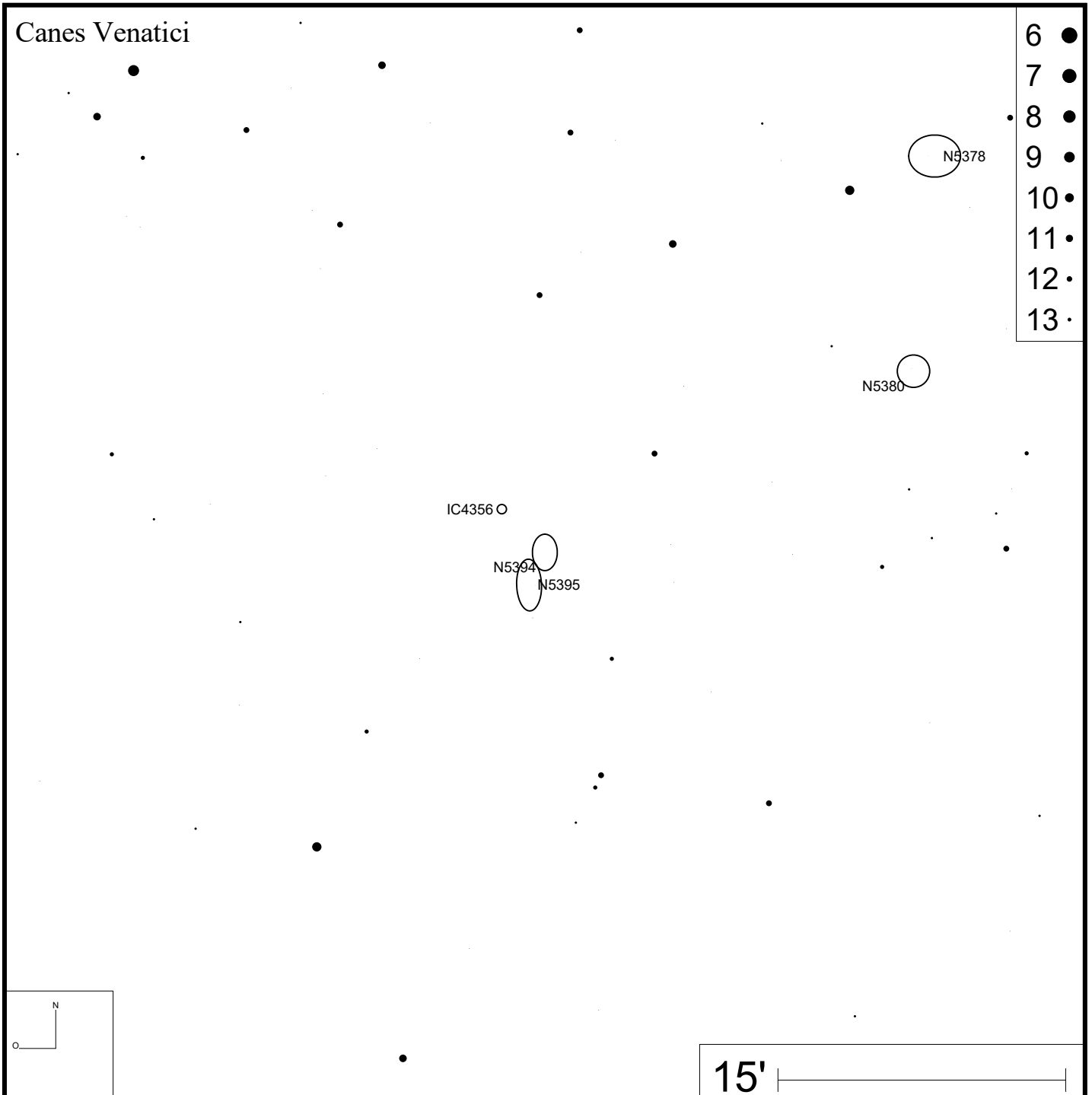
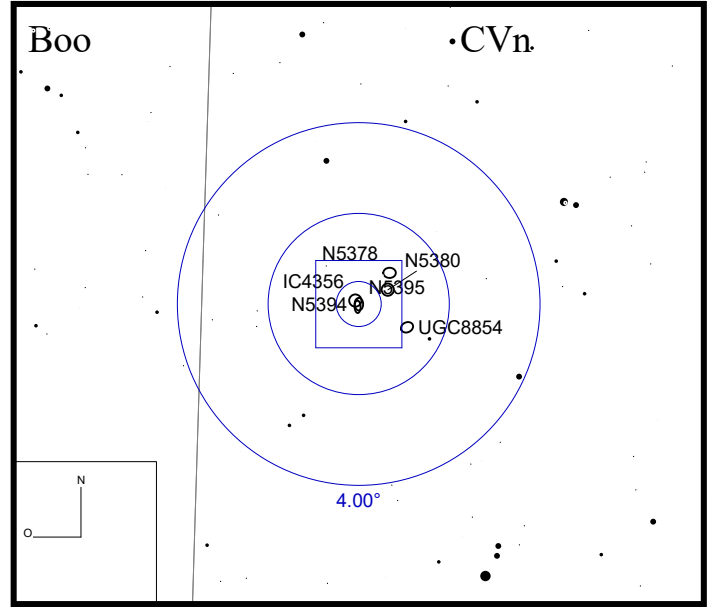


Bild: DSS



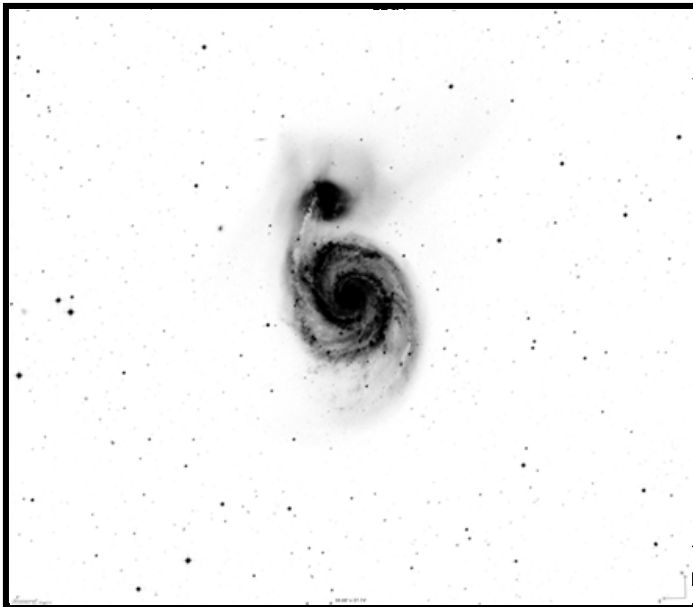
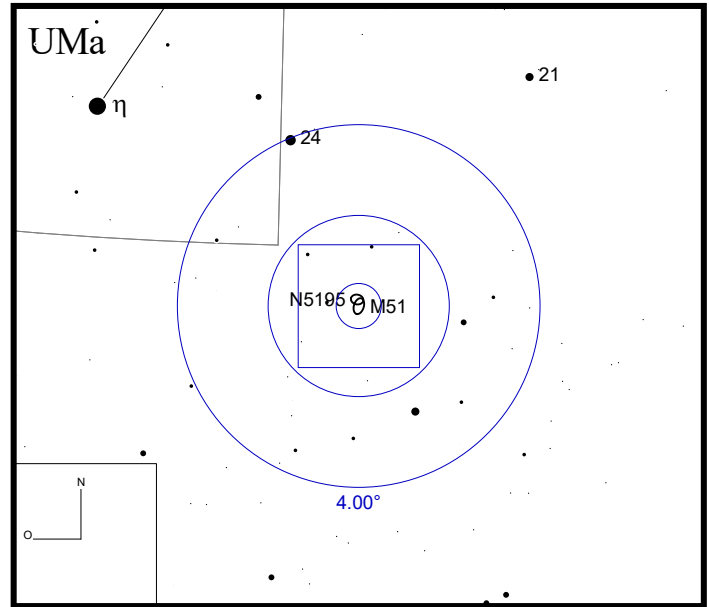
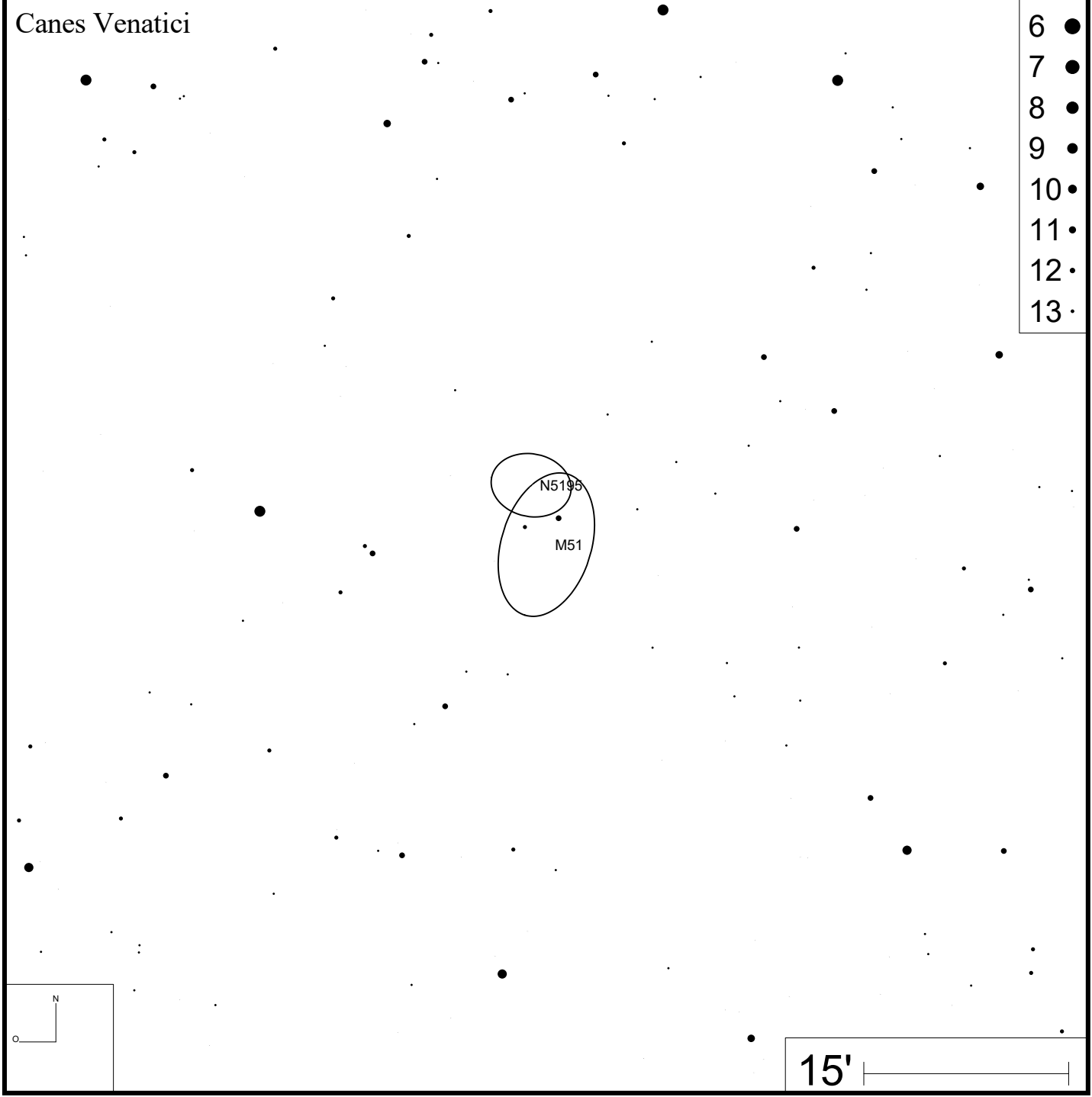


Bild: DSS



Canes Venatici



- 6 ●
- 7 ●
- 8 ●
- 9 ●
- 10 ●
- 11 ●
- 12 ●
- 13 ●



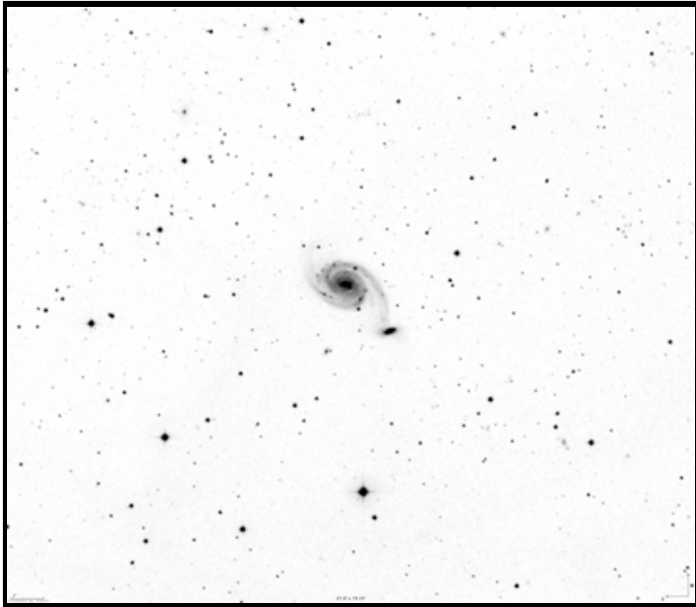
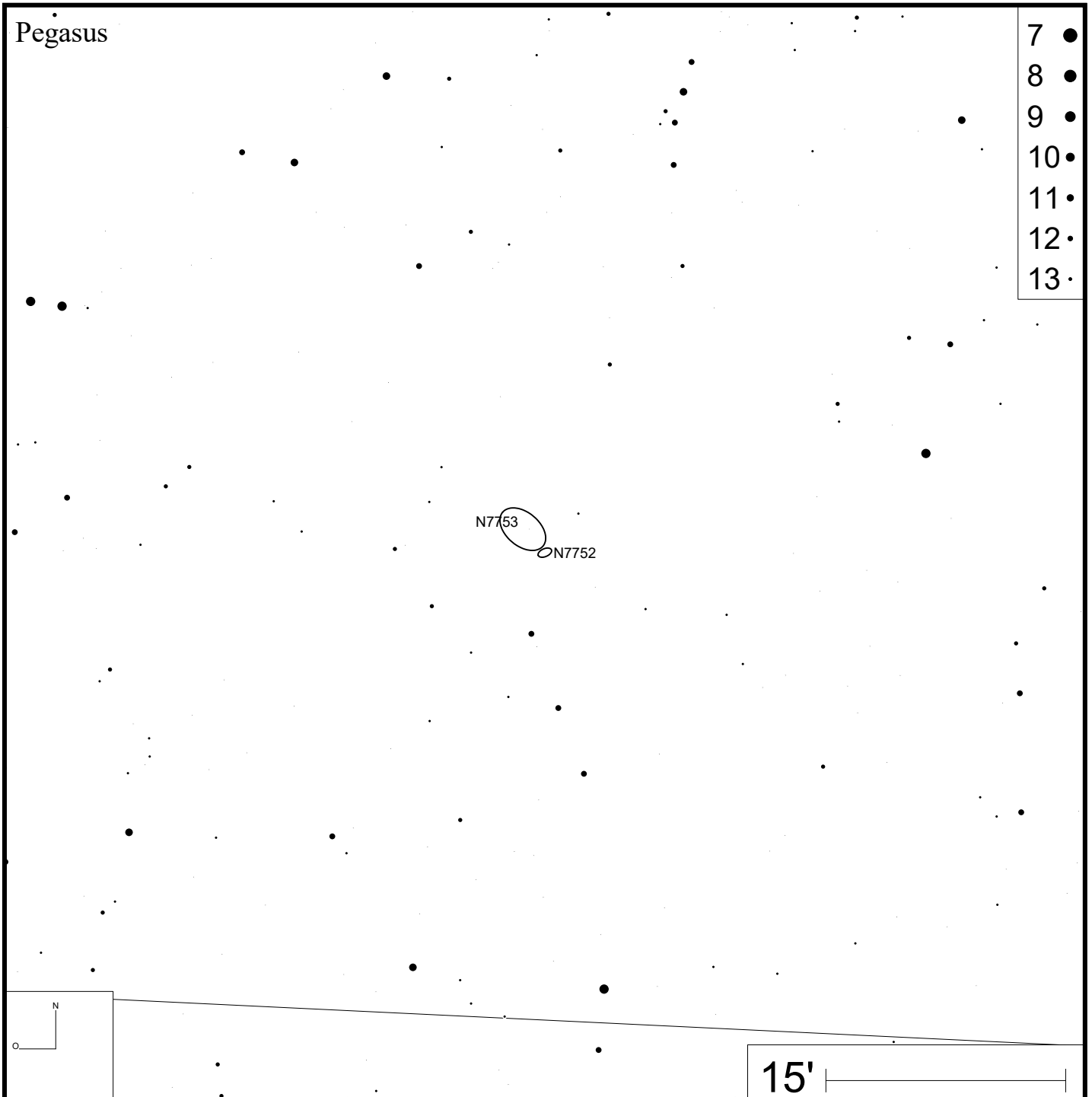
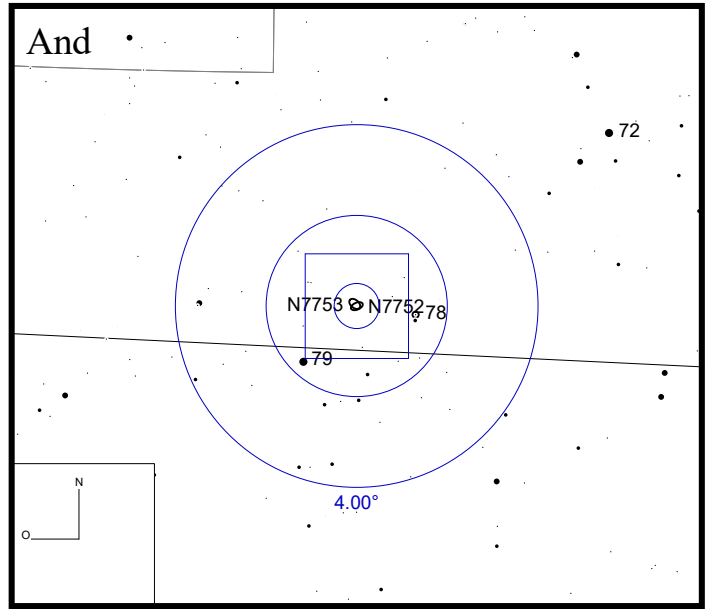


Bild: DSS



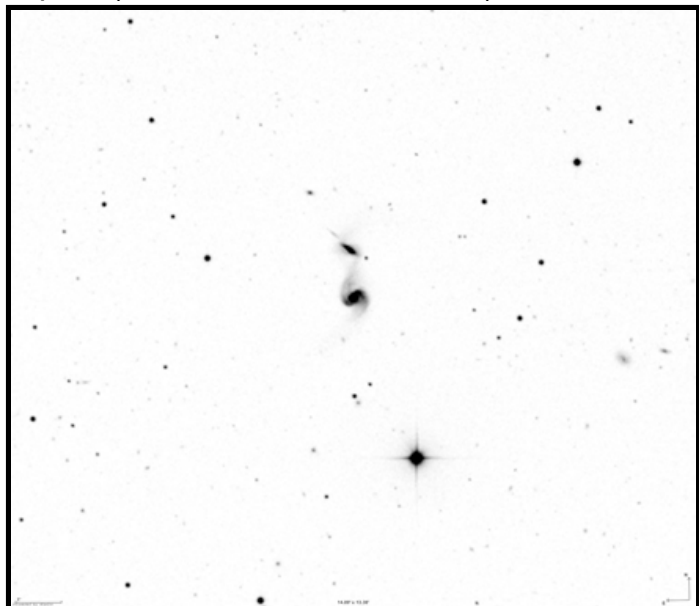
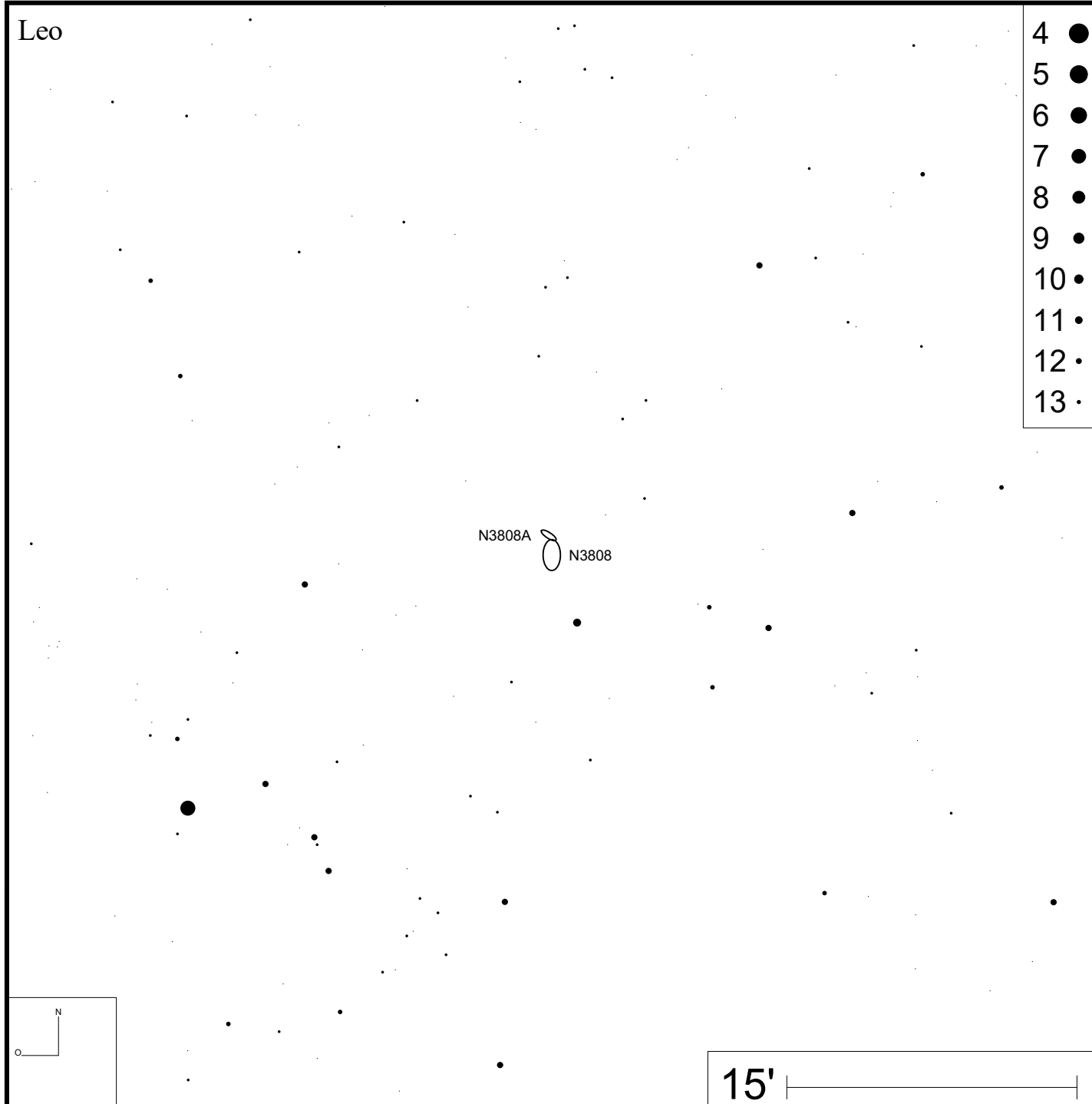
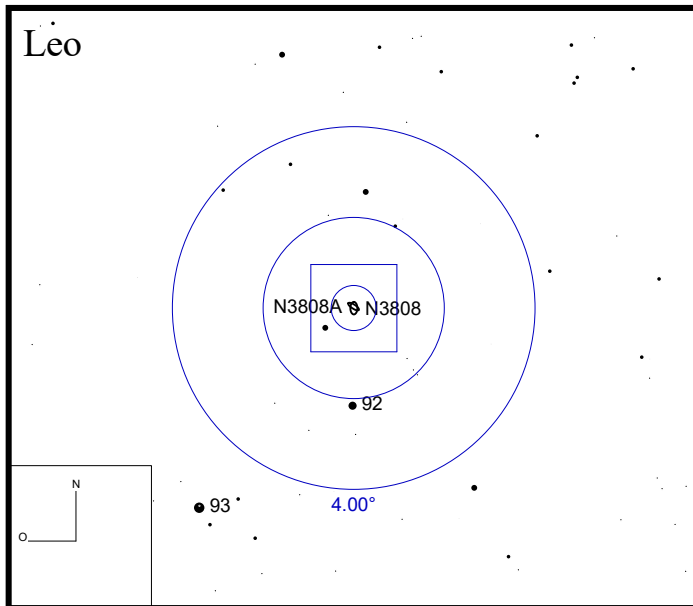


Bild: DSS



- 4 ●
- 5 ●
- 6 ●
- 7 ●
- 8 ●
- 9 ●
- 10 ●
- 11 ●
- 12 ●
- 13 ●

15'

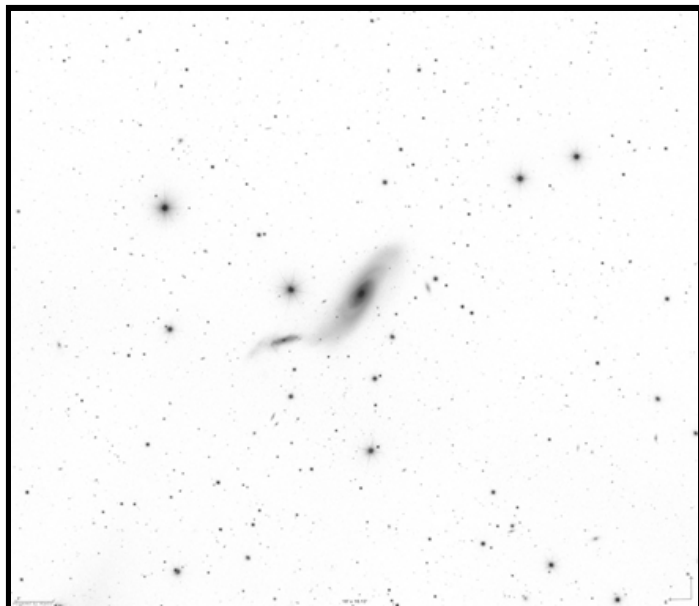
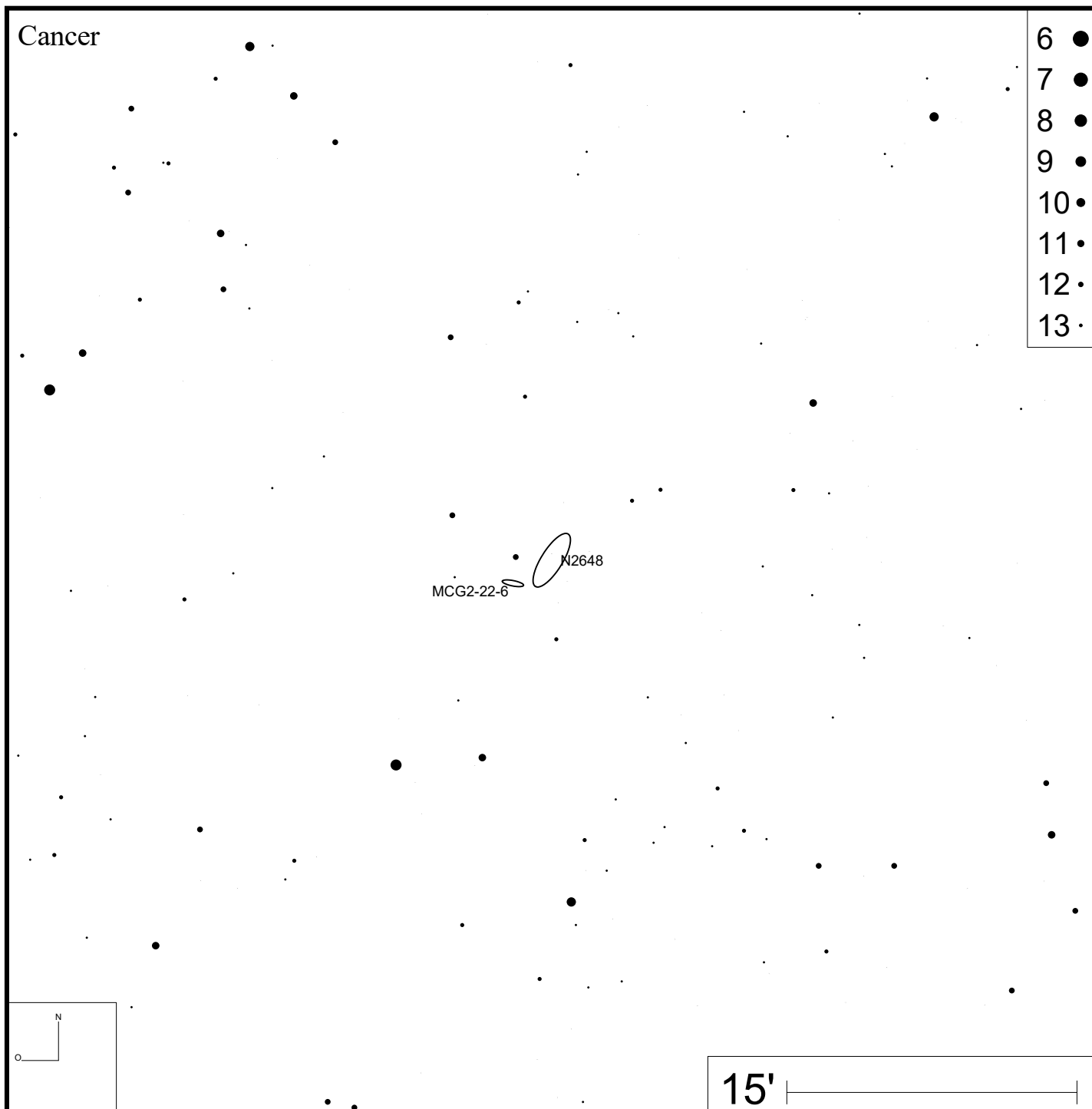
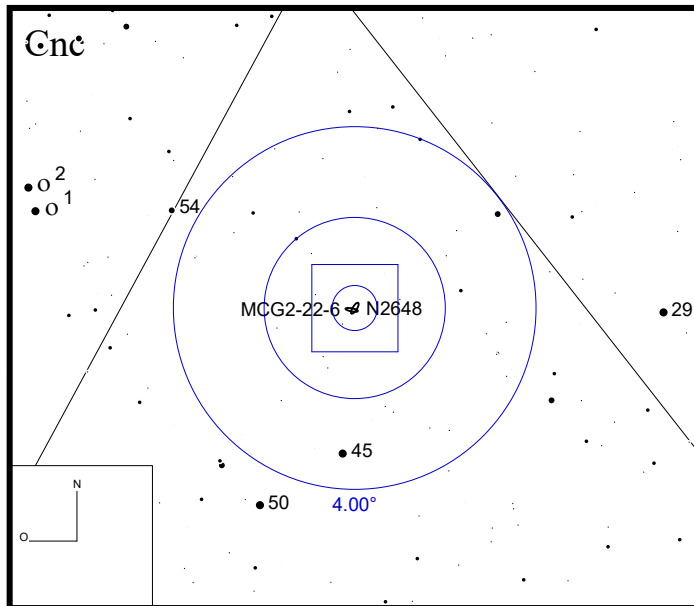


Bild: DSS



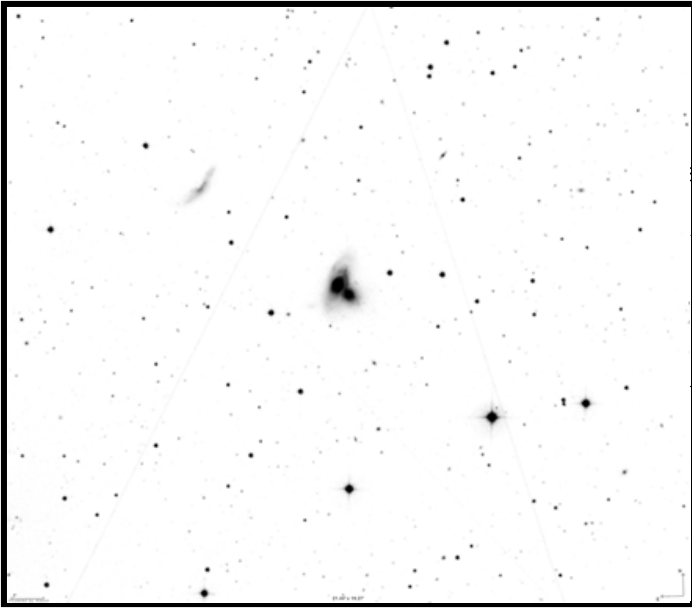
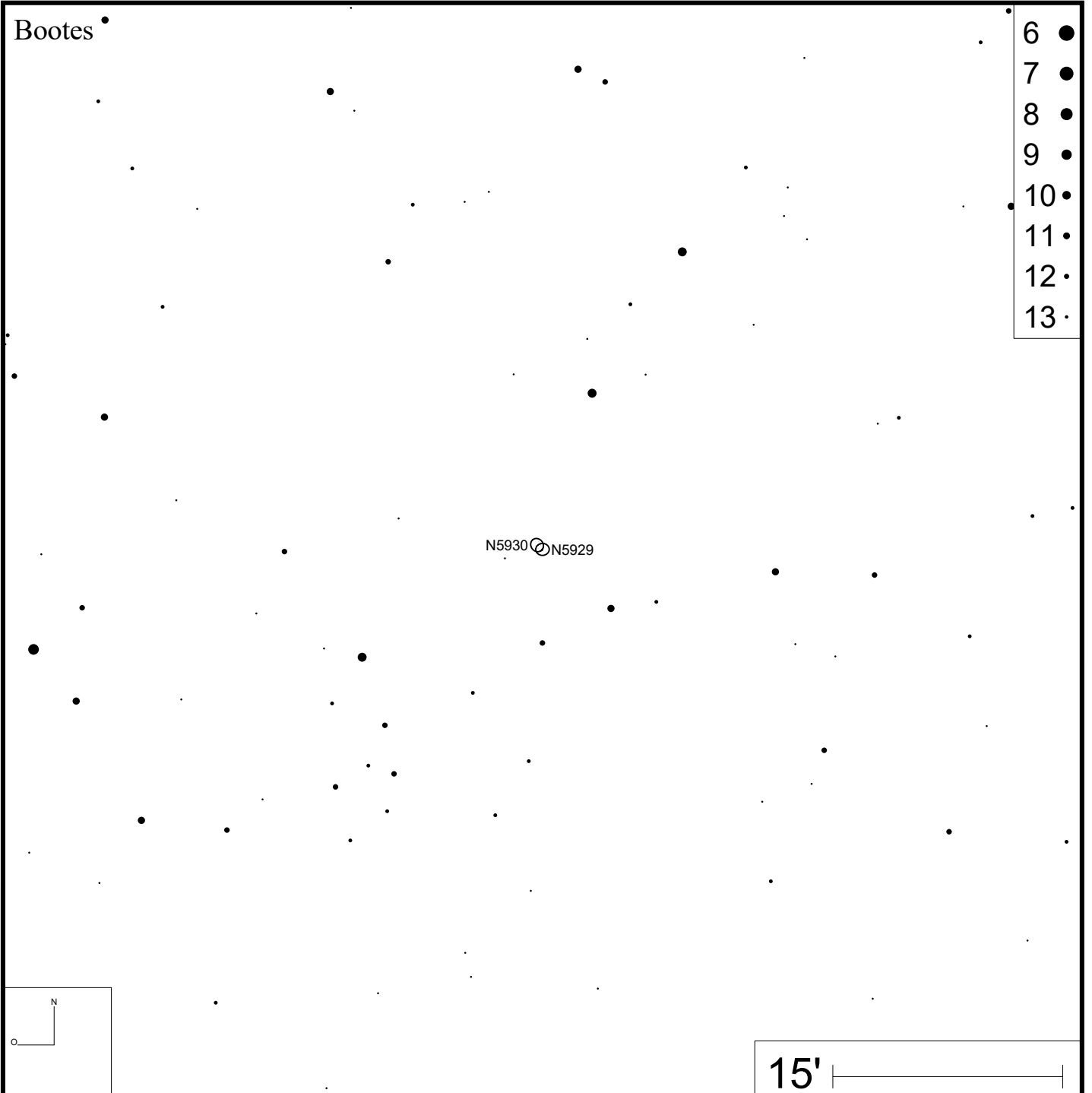
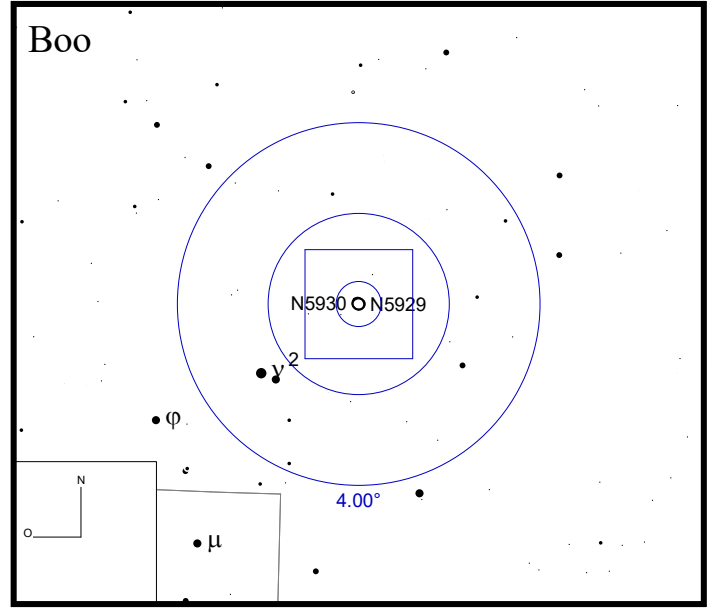


Bild: DSS



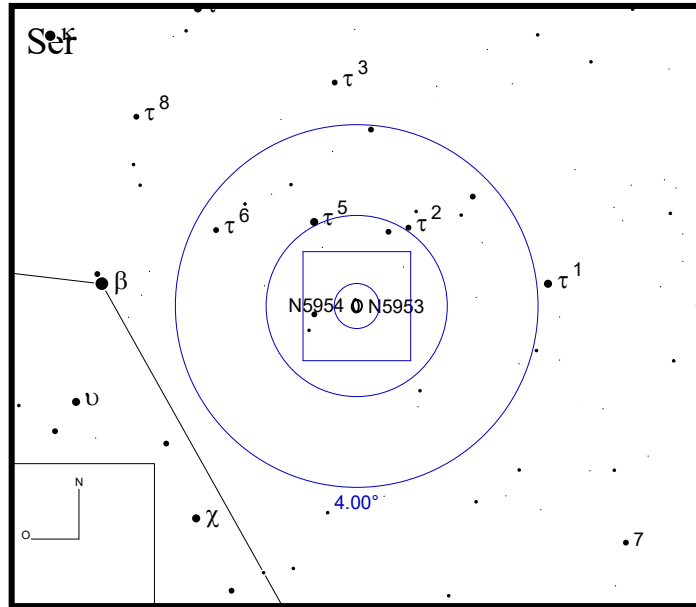
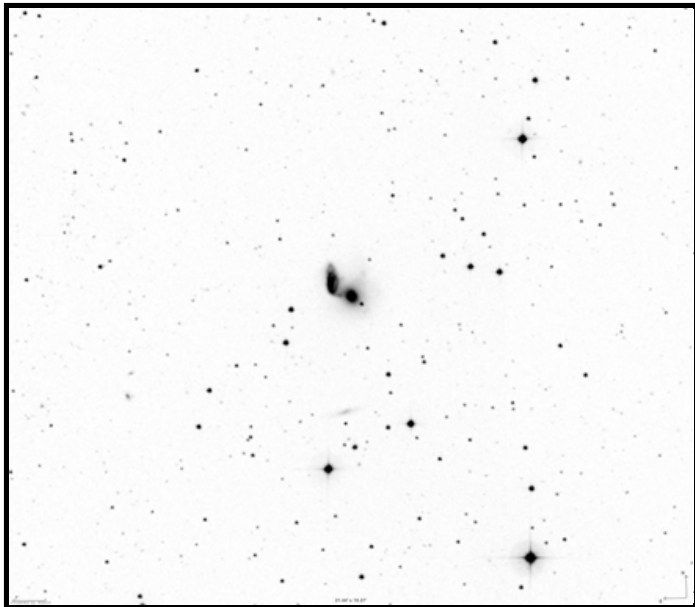
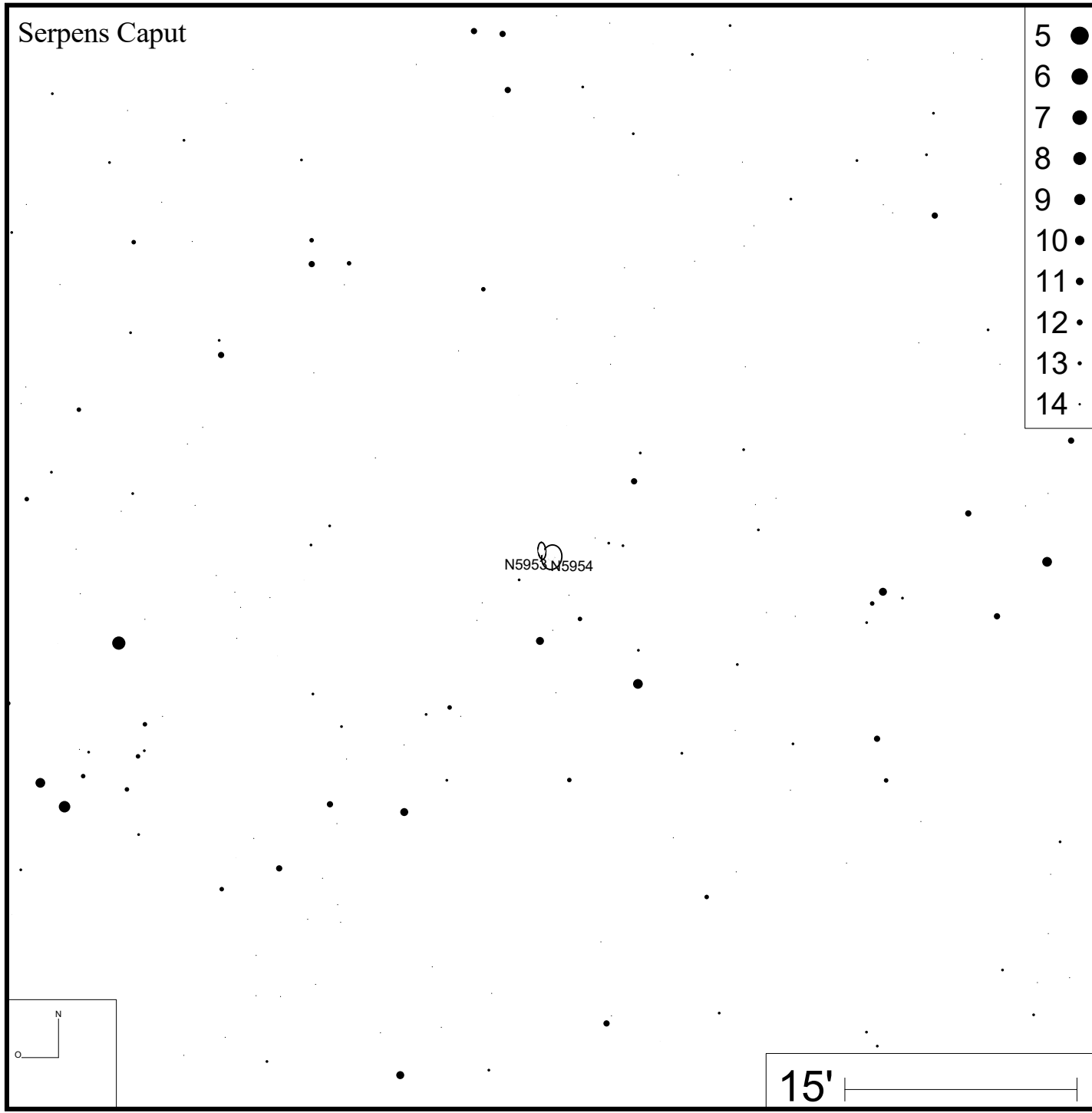


Bild: DSS



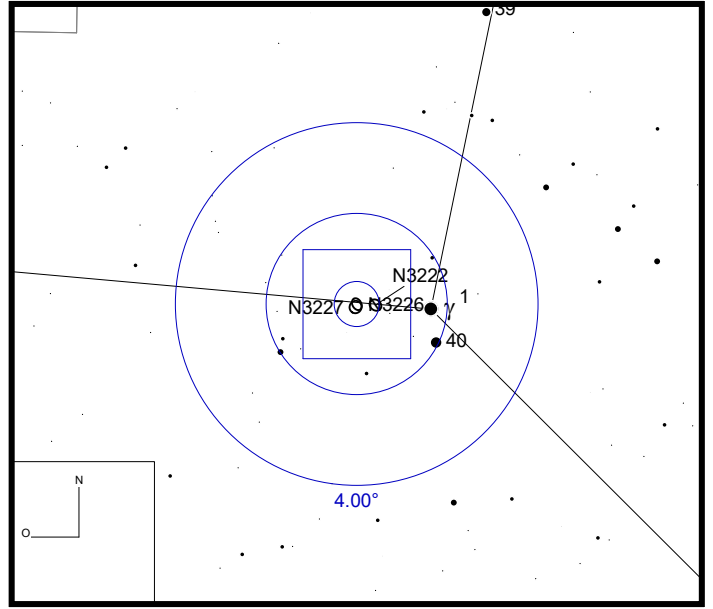
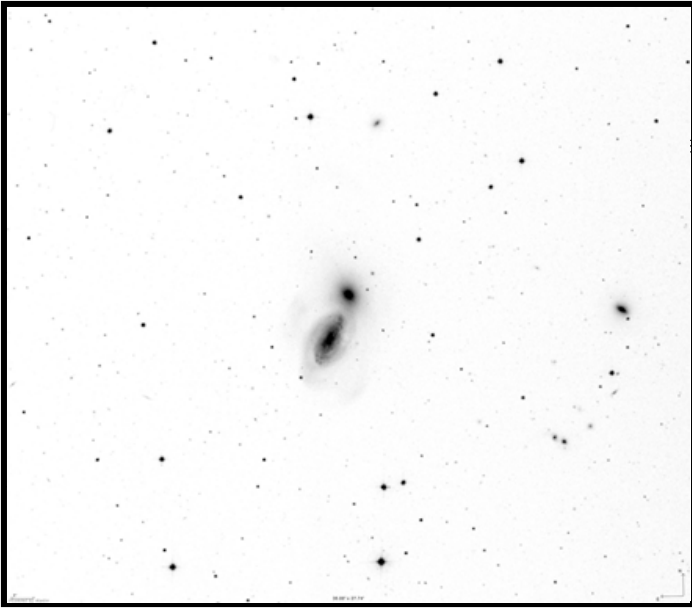
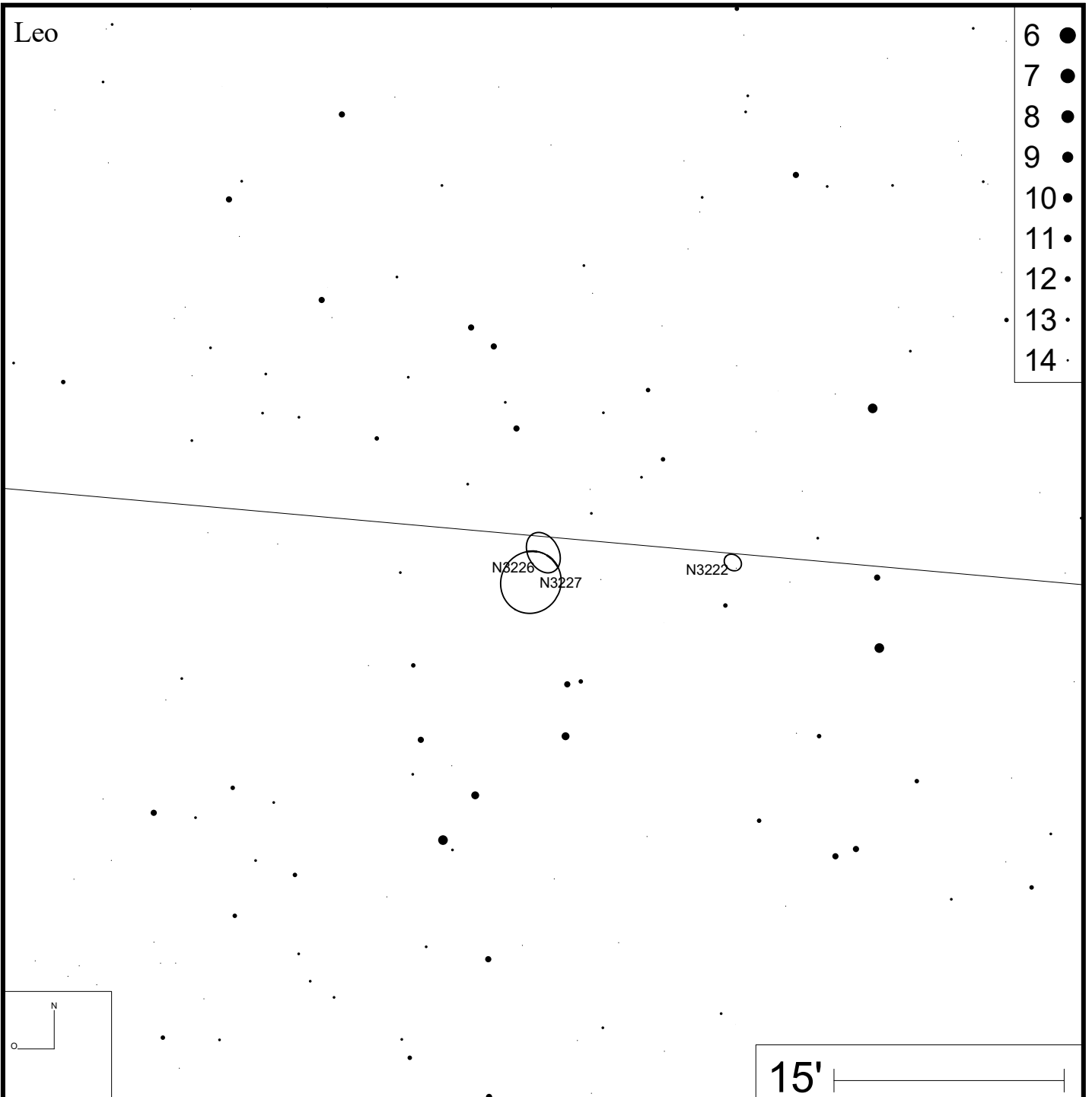


Bild: DSS



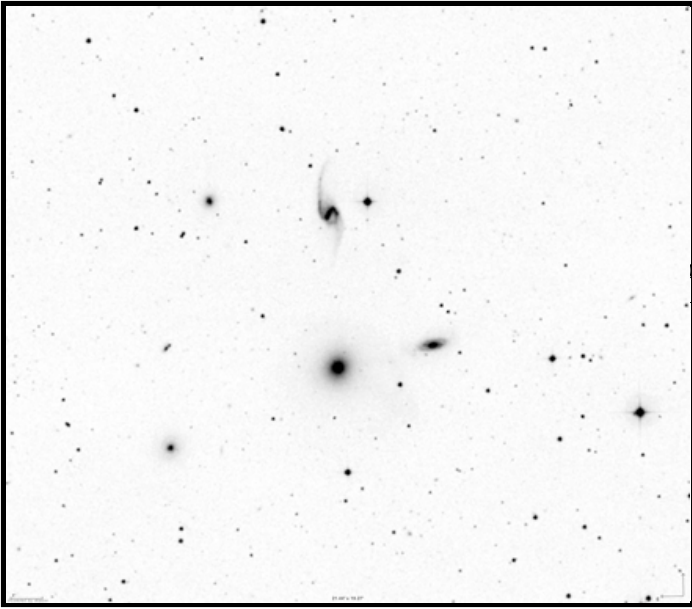
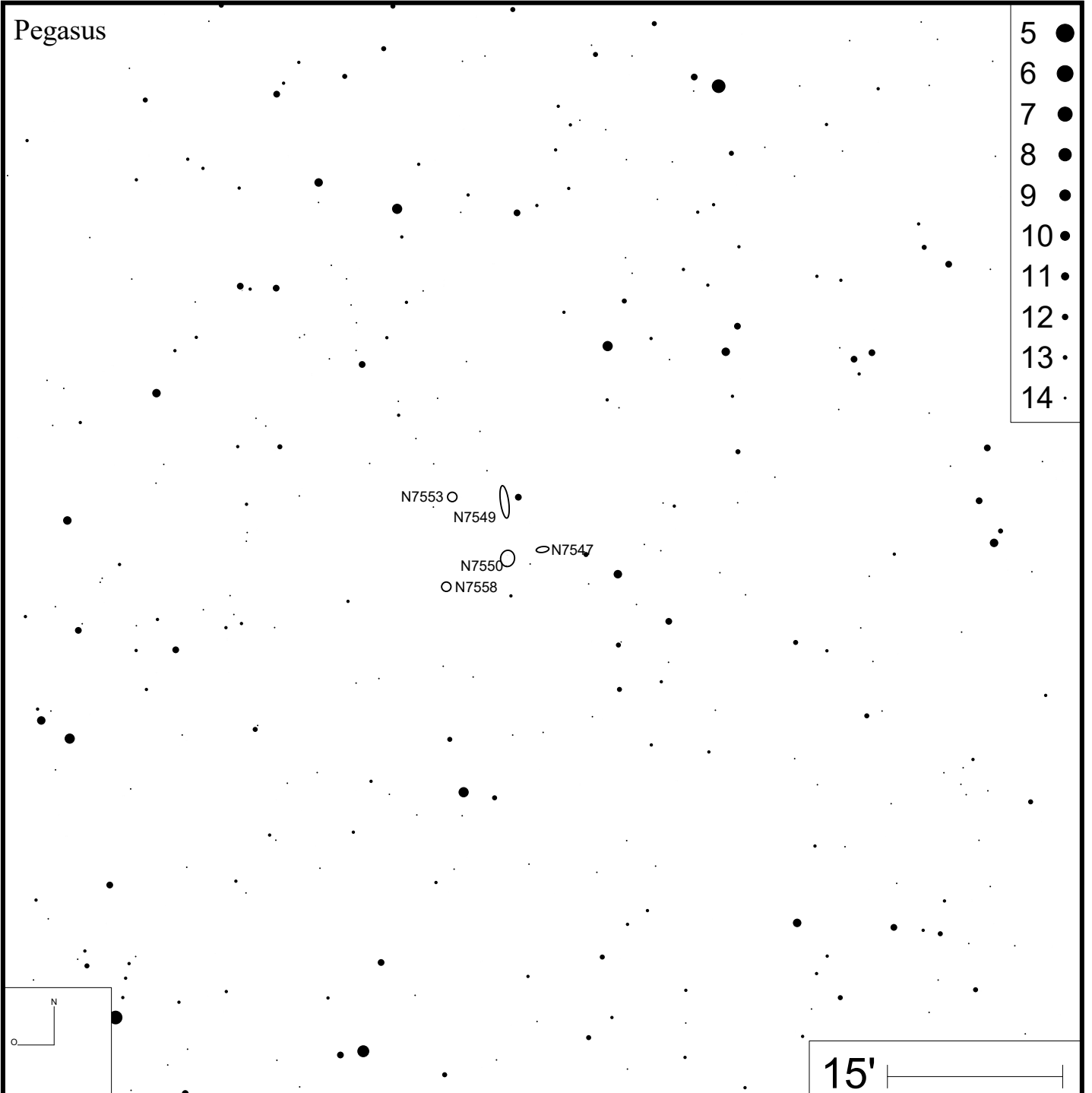
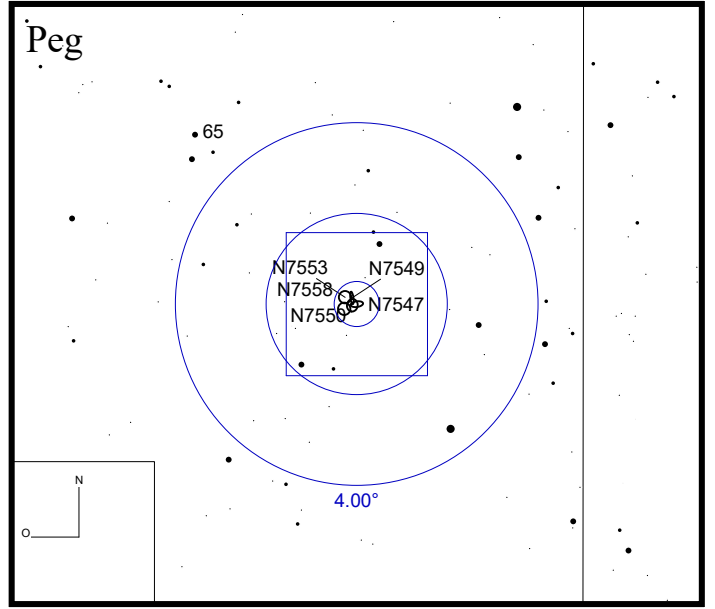


Bild: DSS



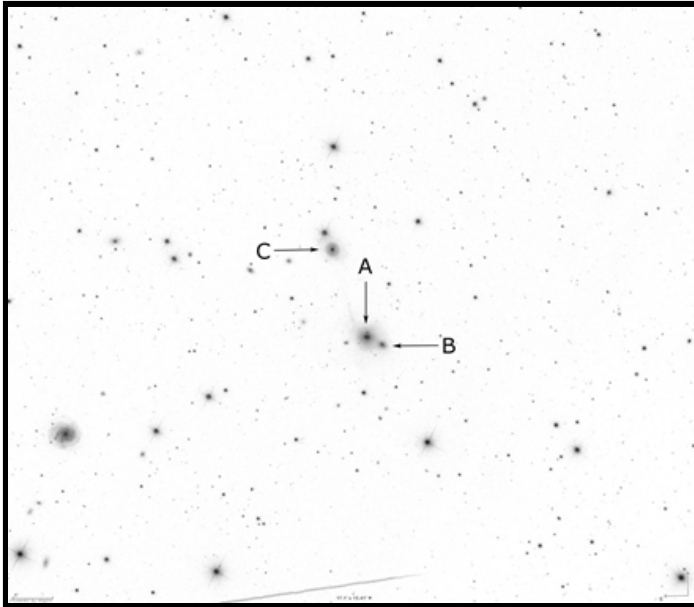
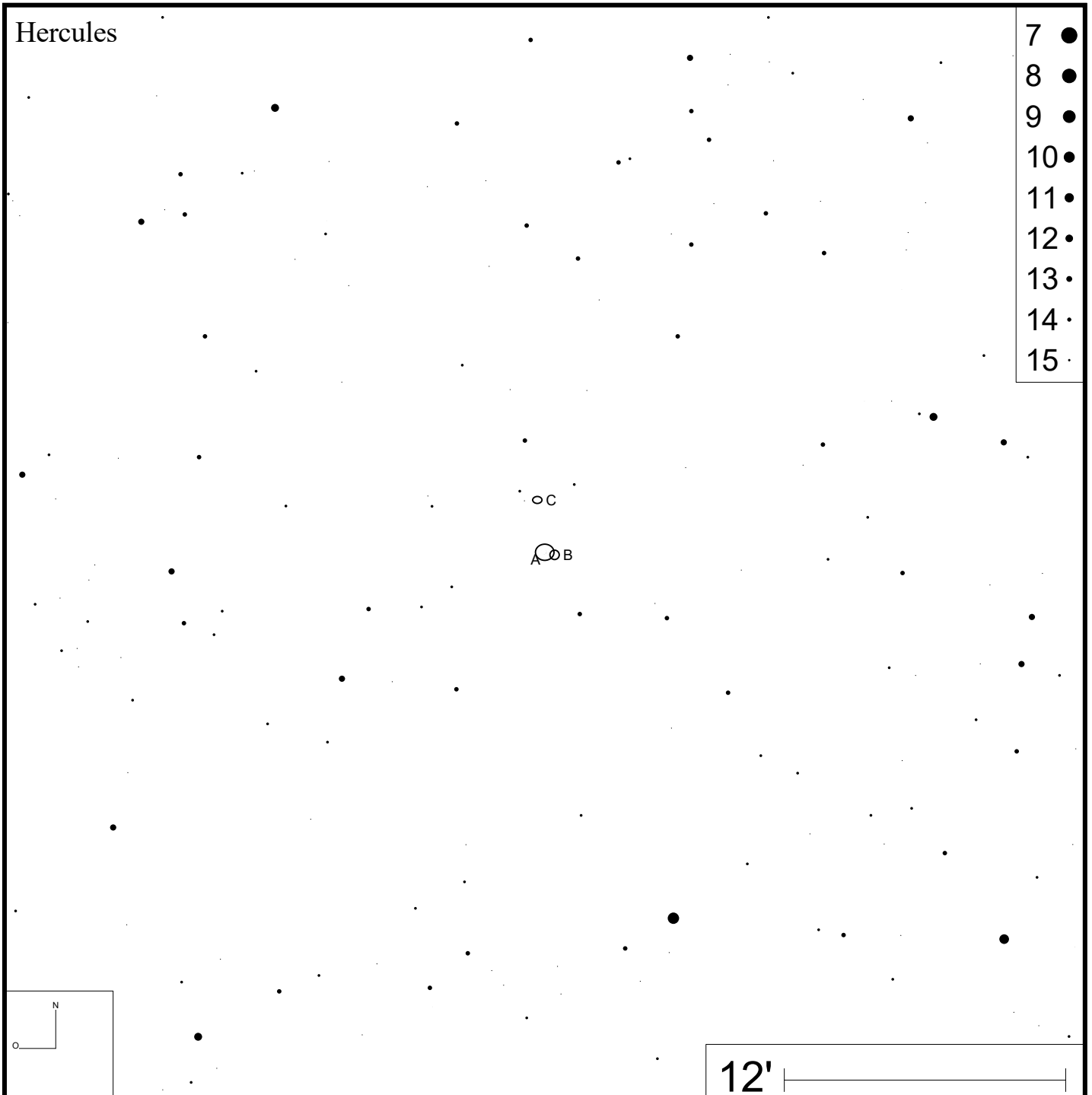
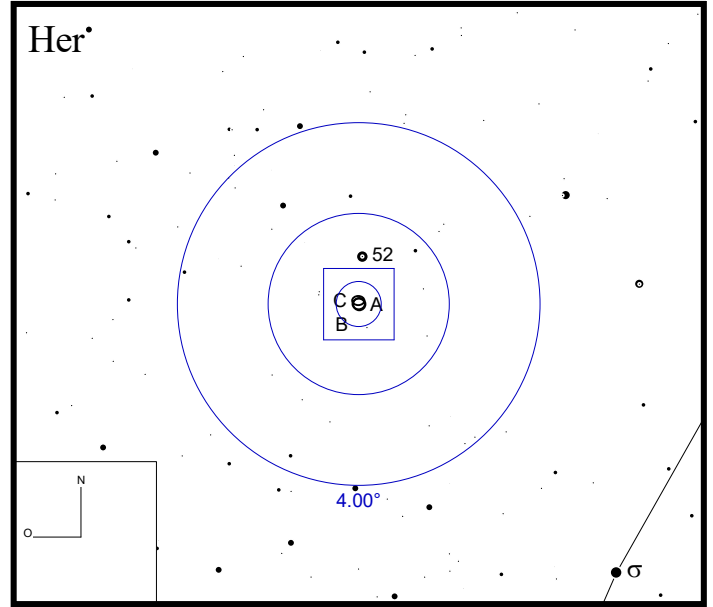


Bild: SDSS





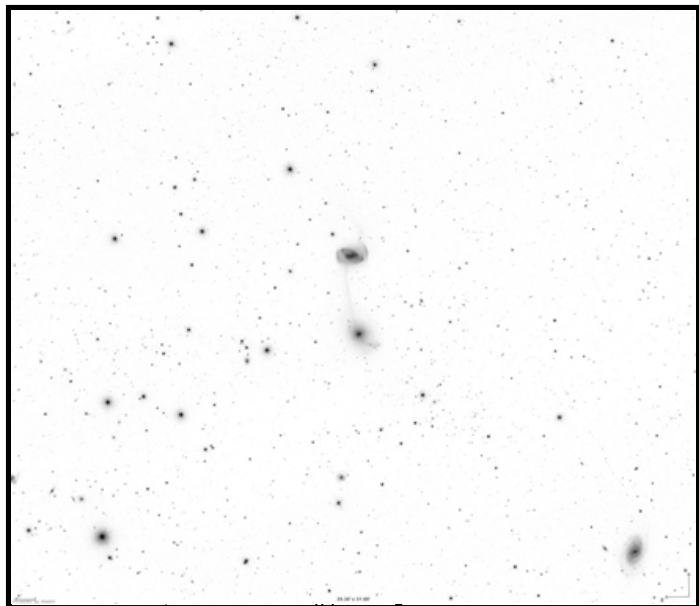
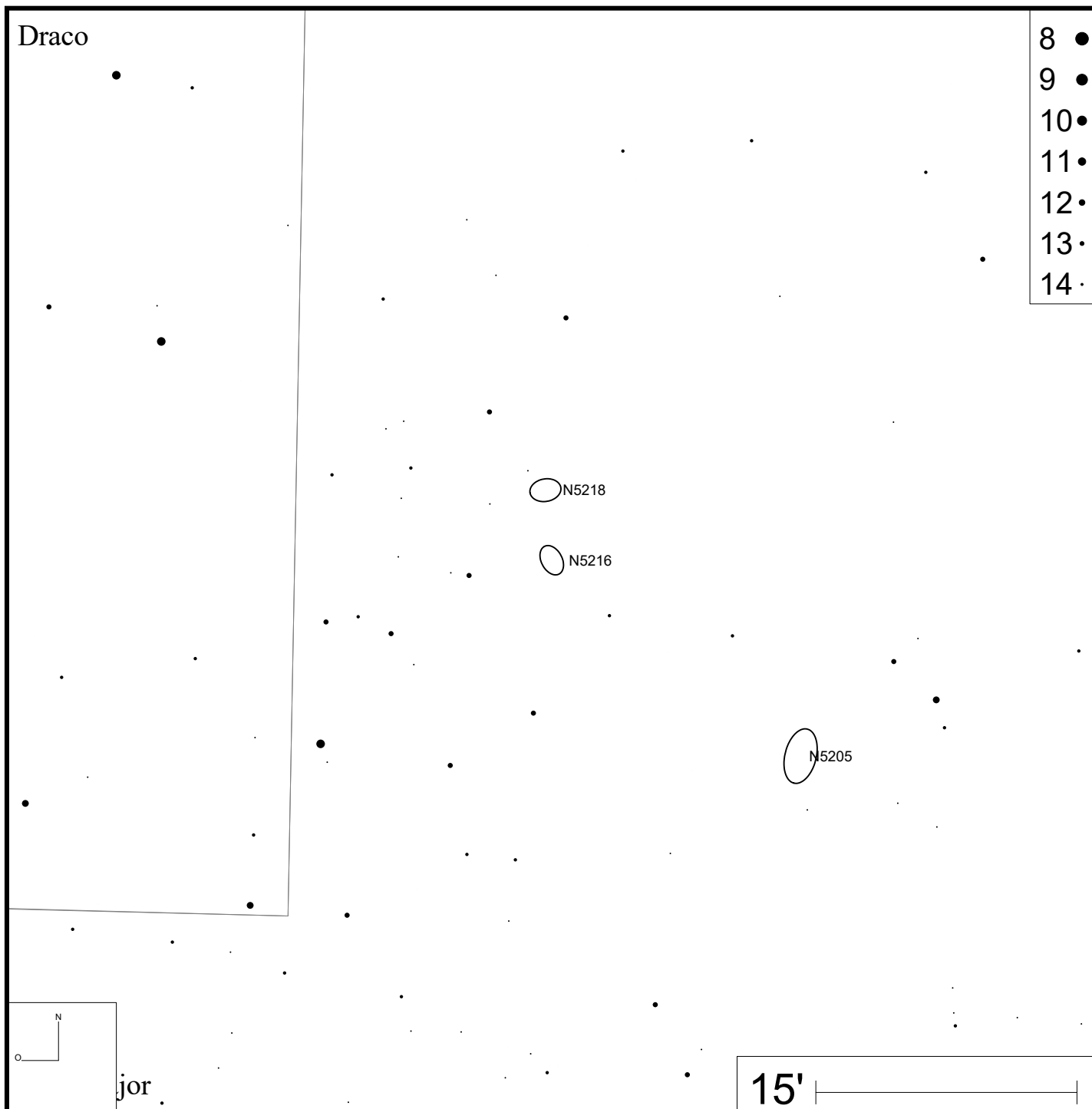
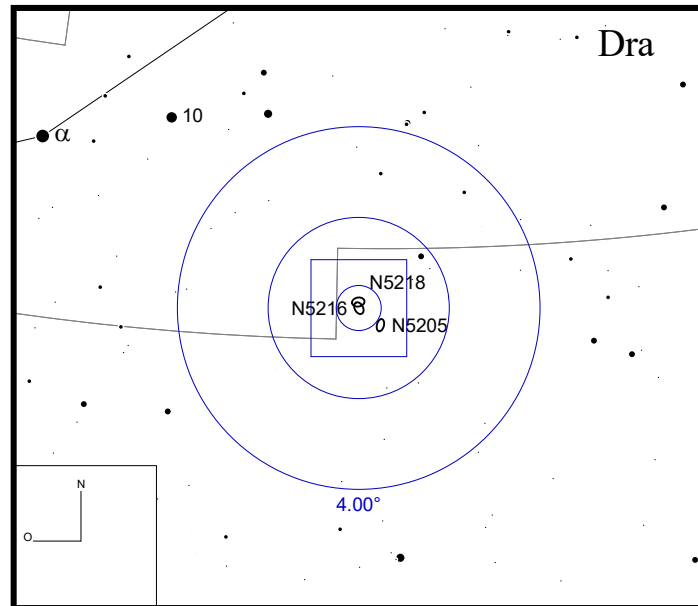


Bild: SDSS



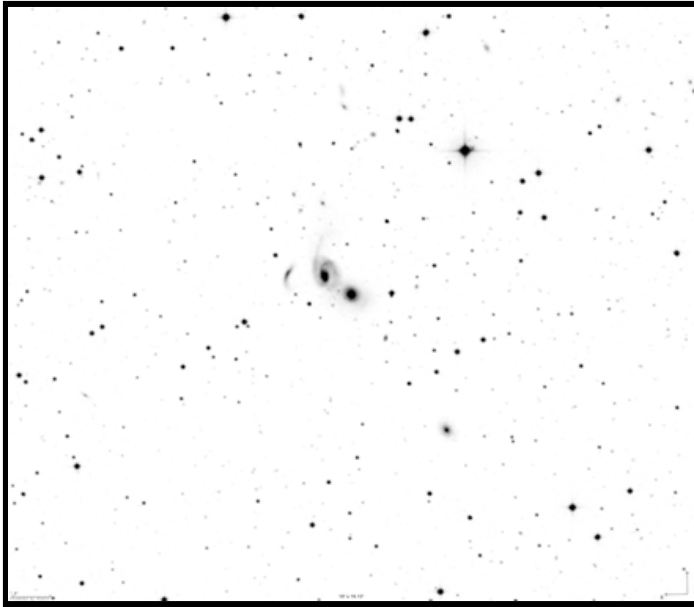
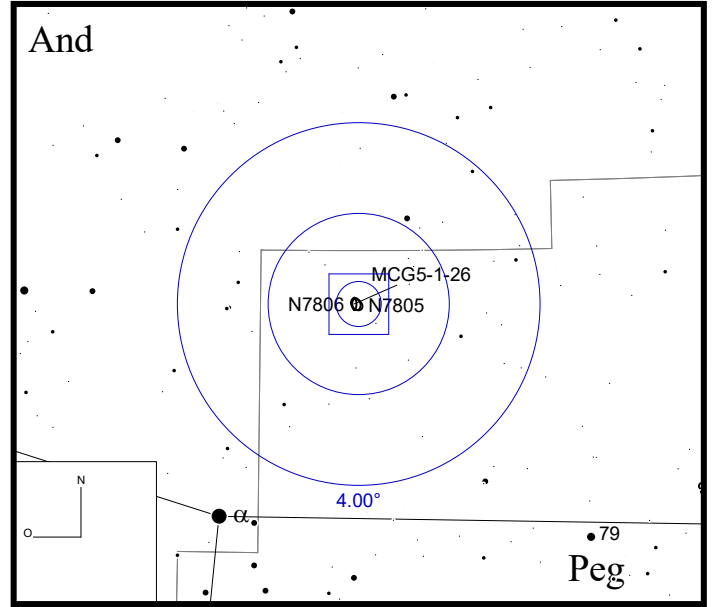
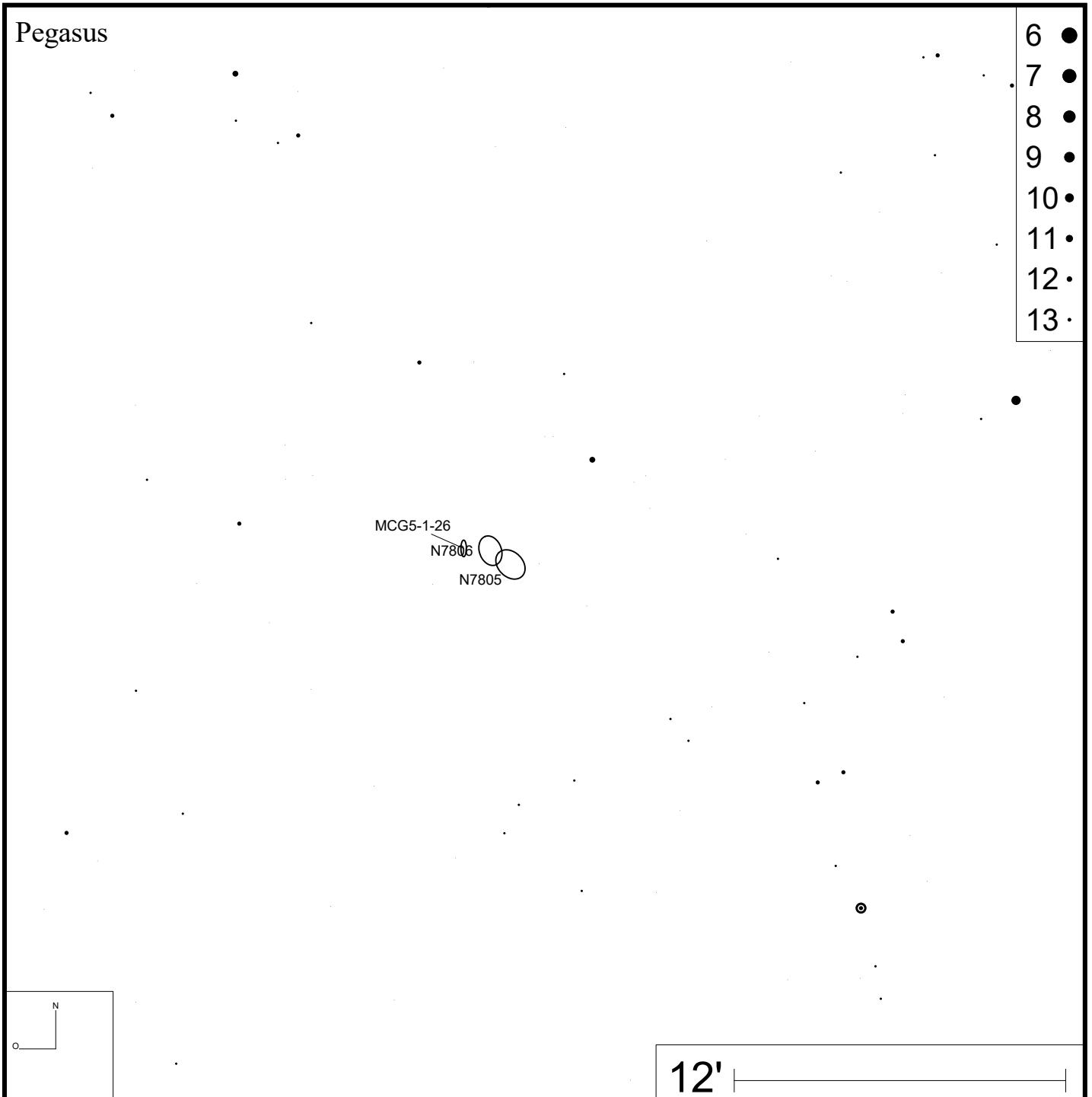


Bild: DSS



### Pegasus



- 6 ●
- 7 ●
- 8 ●
- 9 ●
- 10 ●
- 11 ●
- 12 ●
- 13 ●

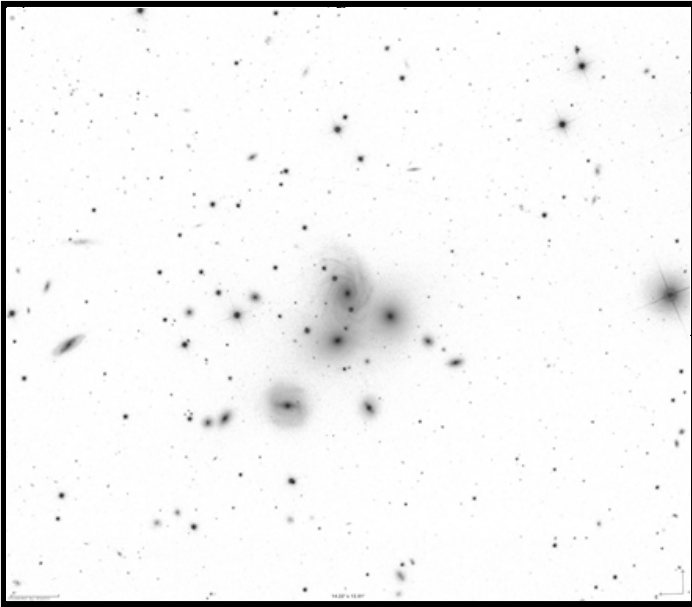
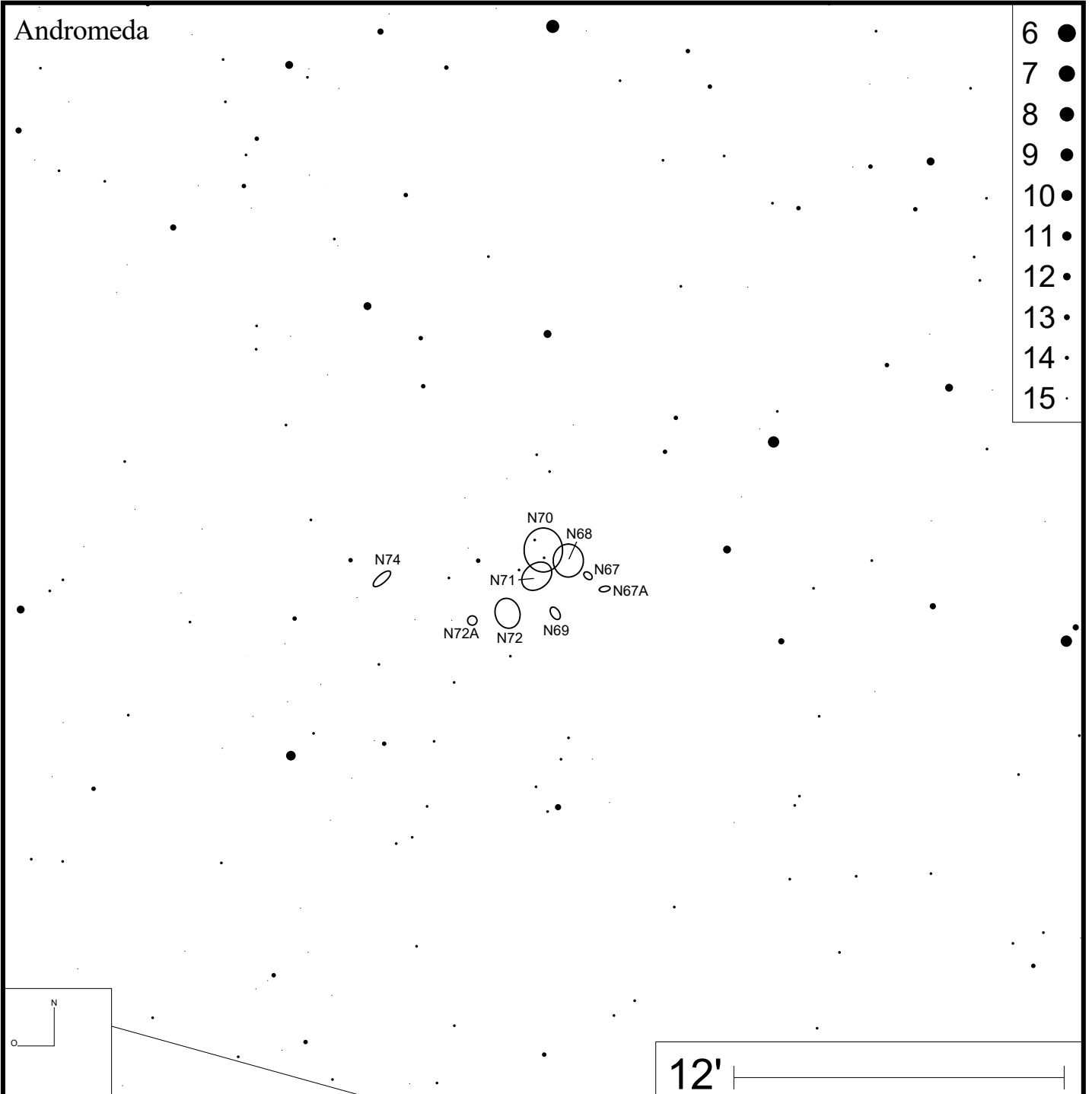
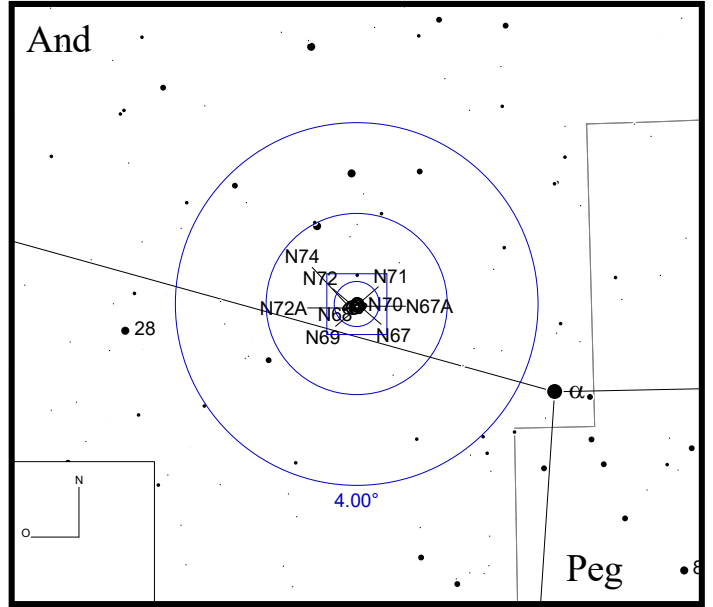


Bild: SDSS



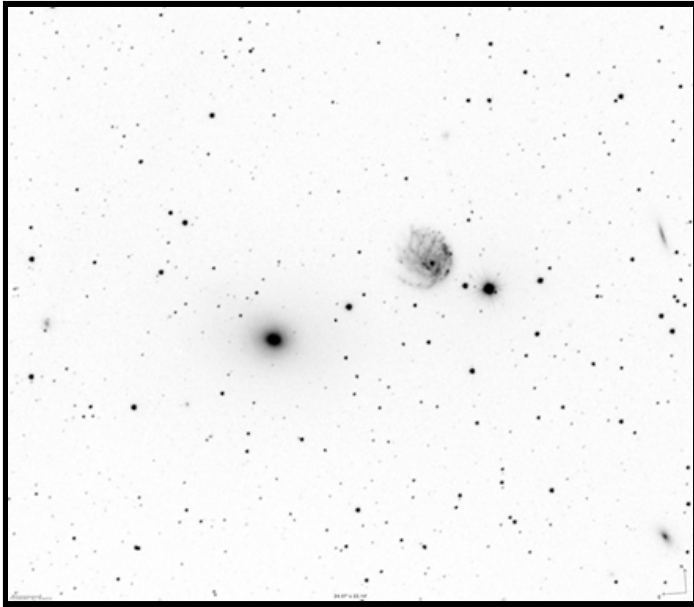
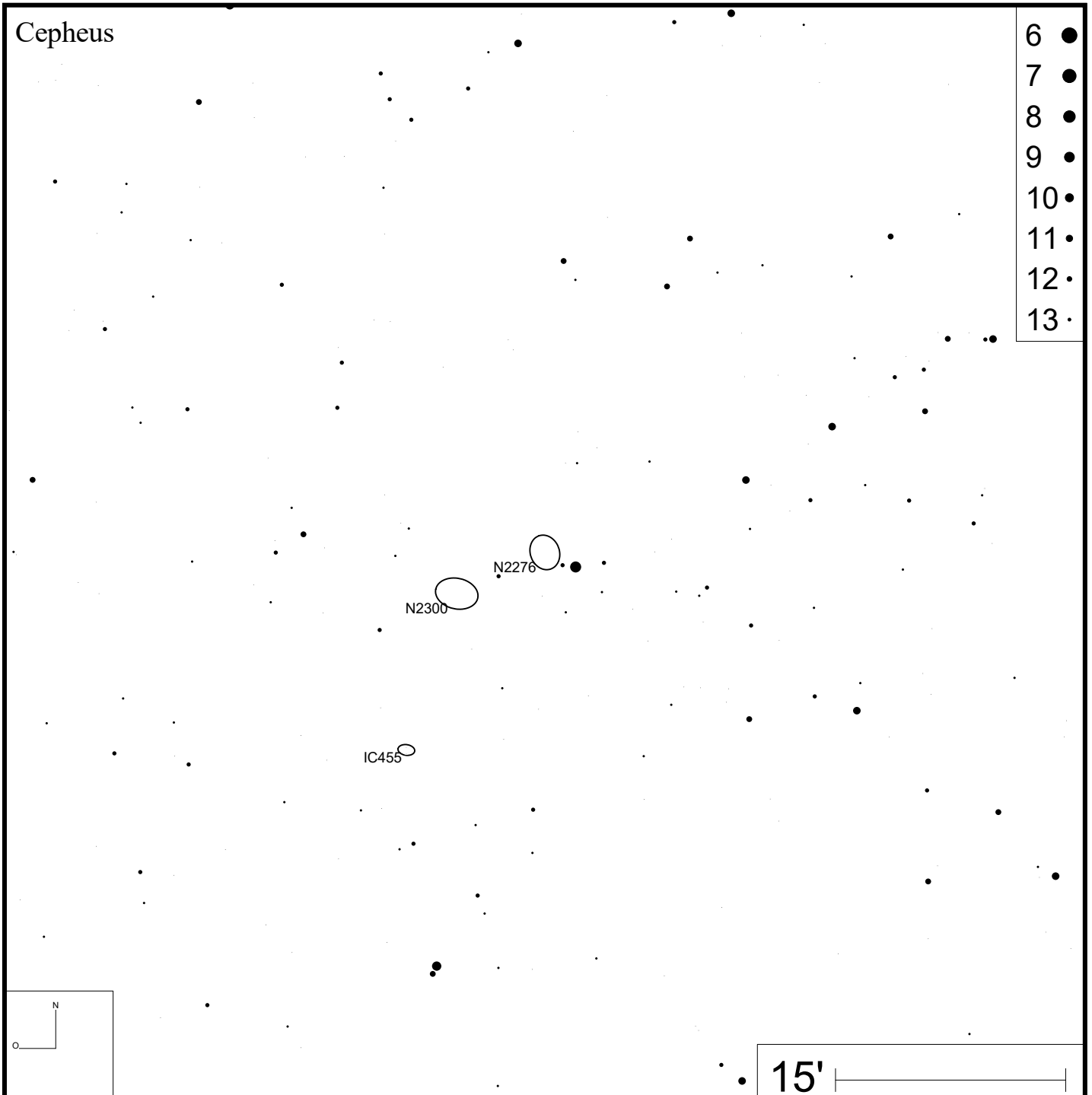
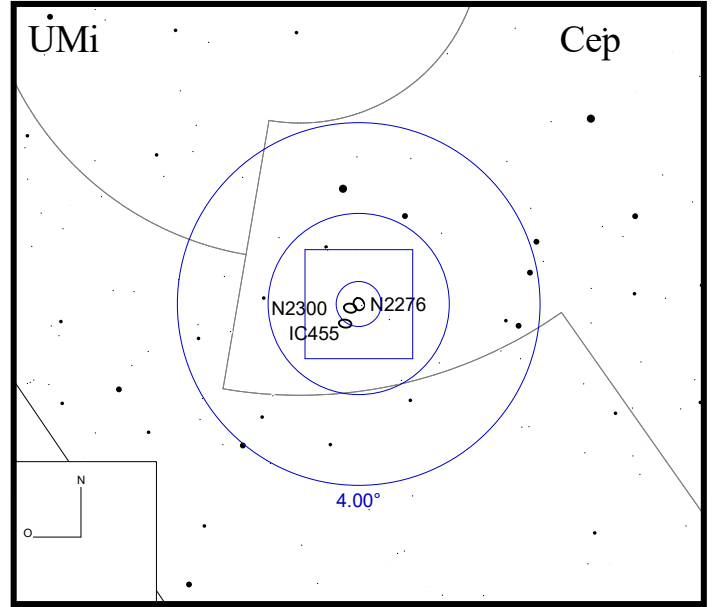


Bild: DSS



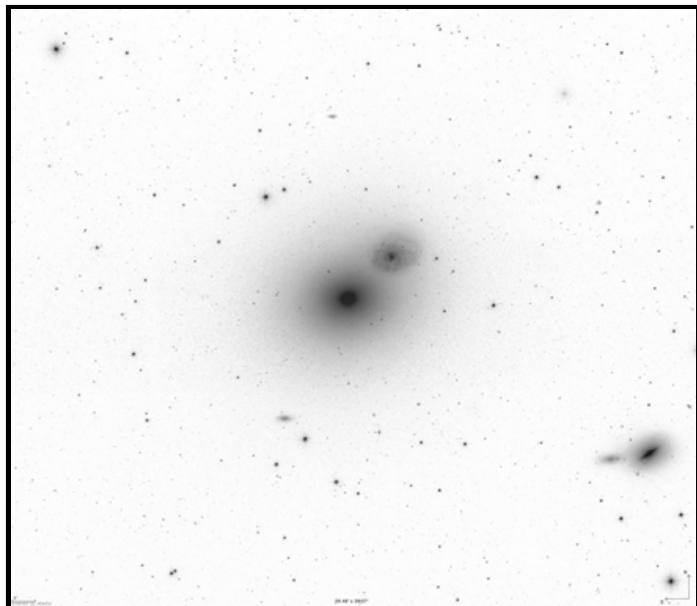
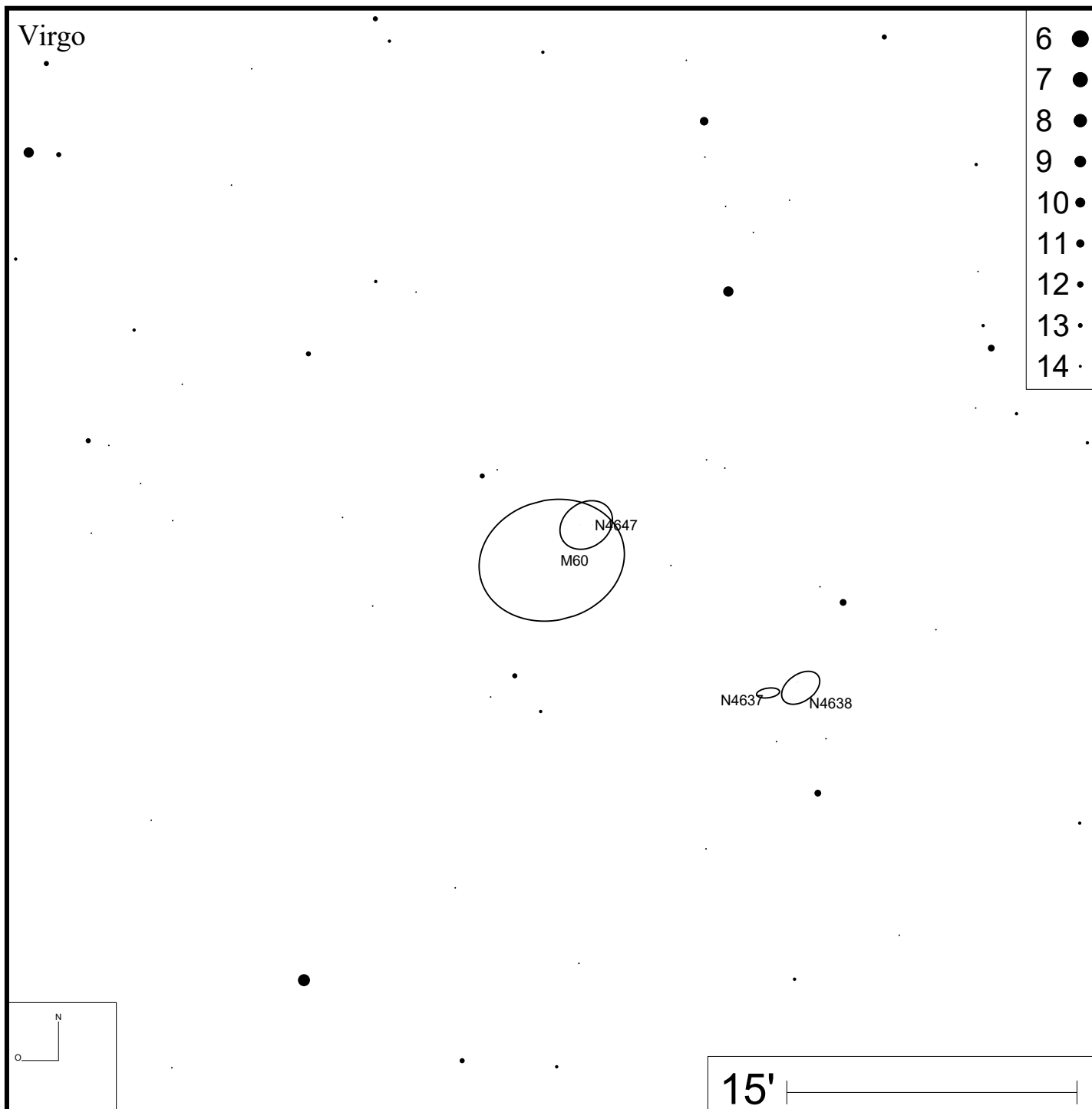
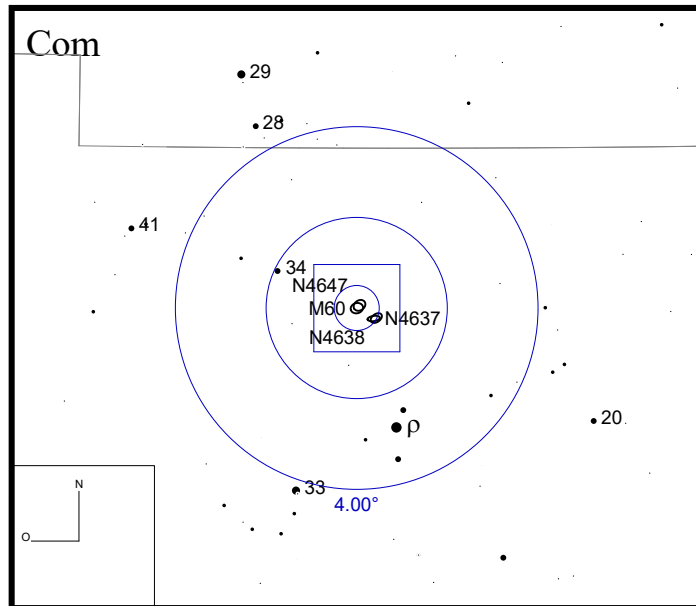


Bild: DSS



Arp 117 (IC 982 & IC 983)

RA 14h10m04s DEC +17°44'02"

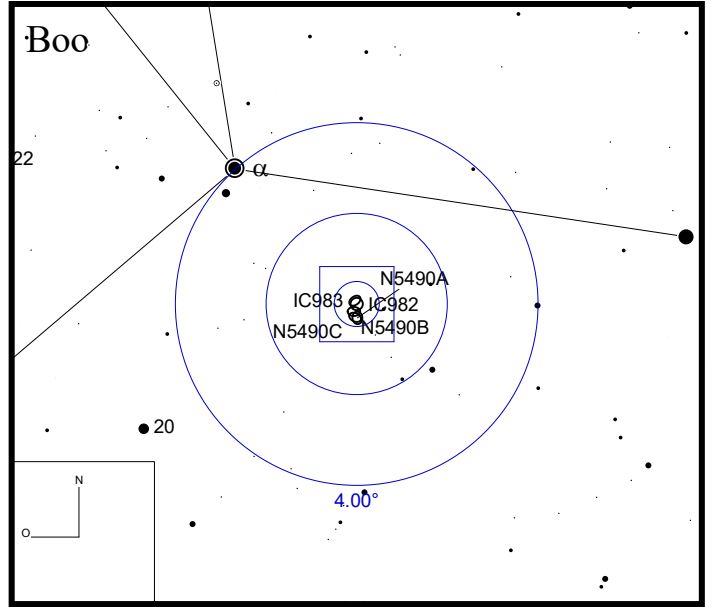
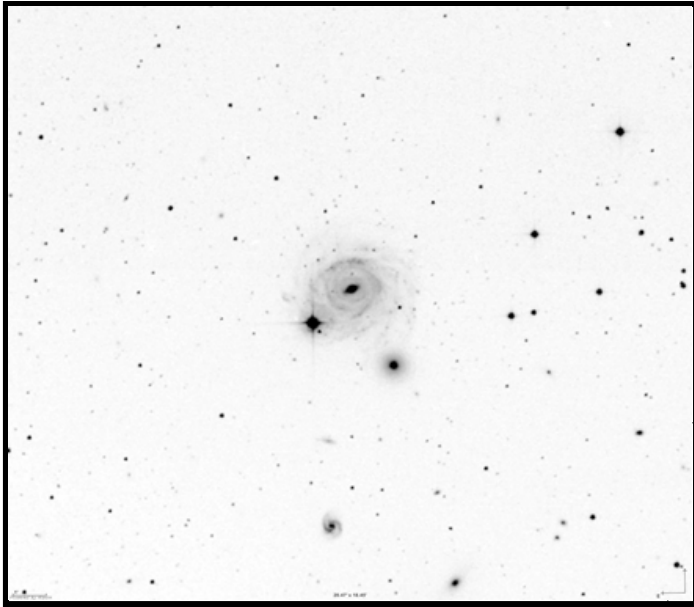
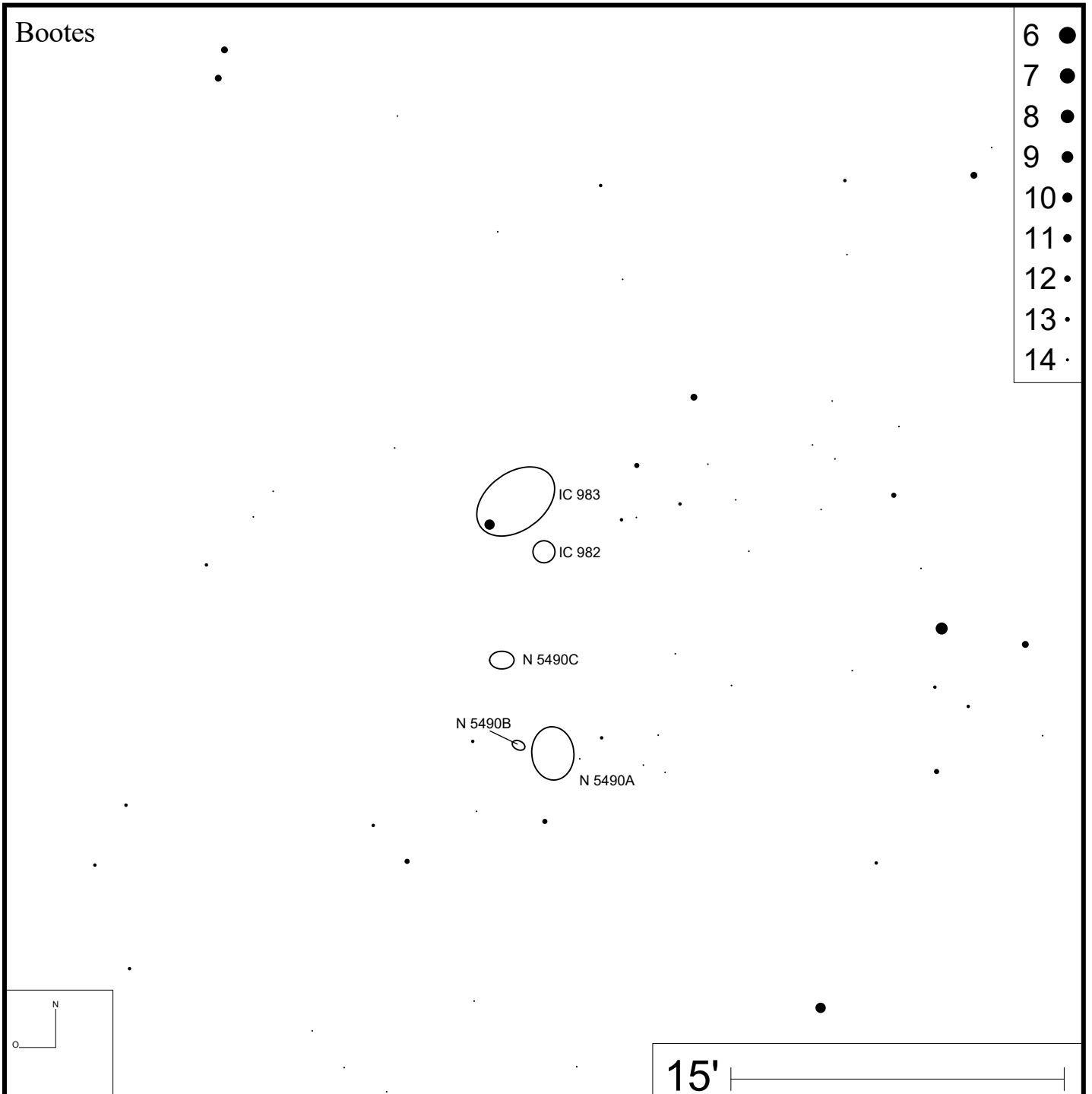


Bild: DSS



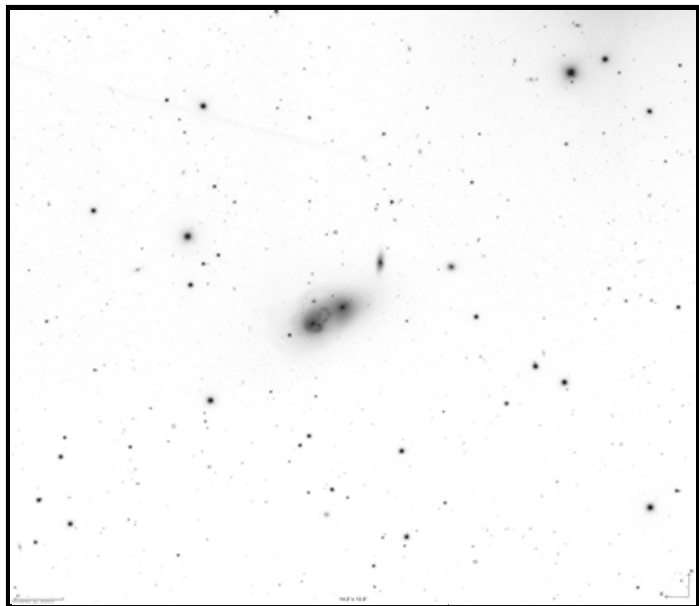
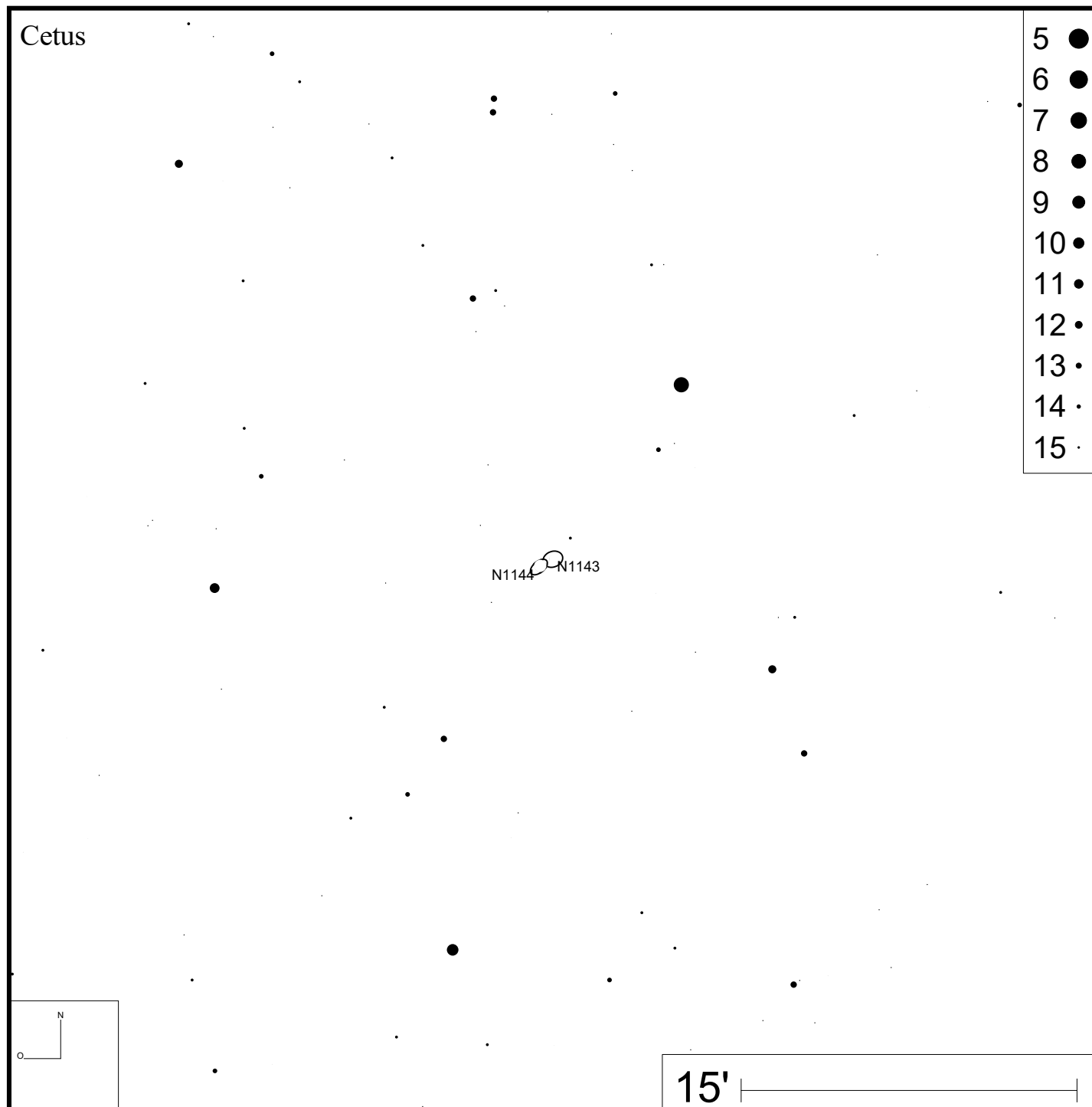
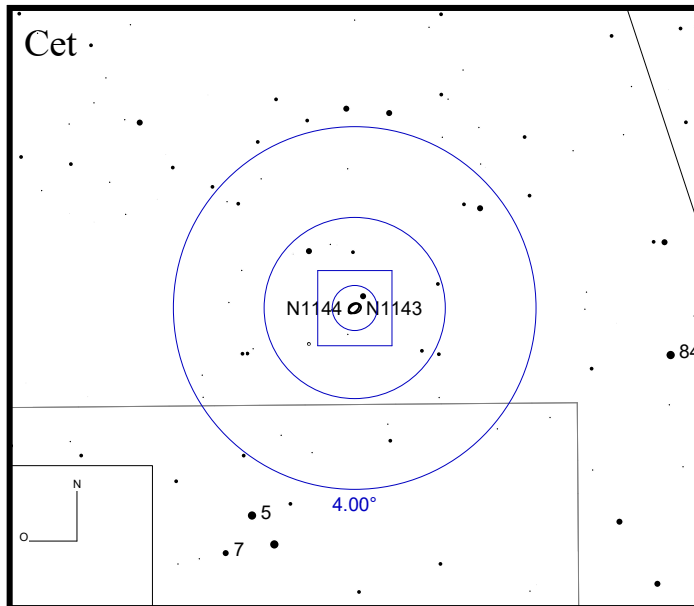


Bild: SDSS



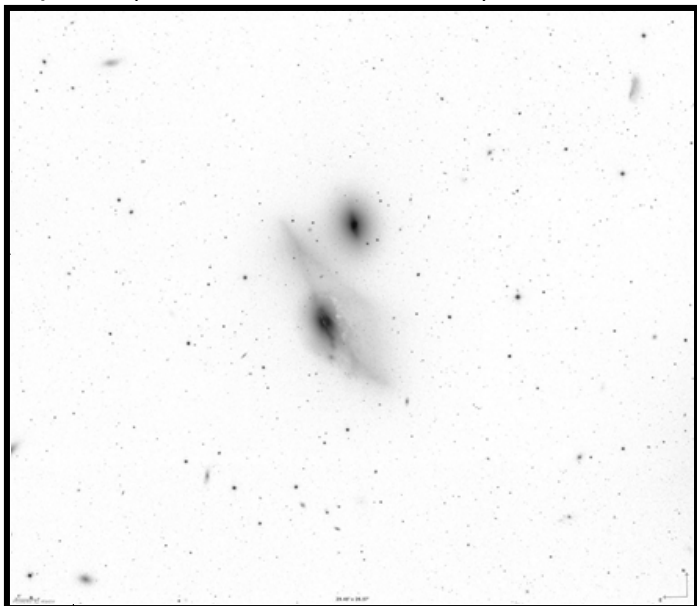
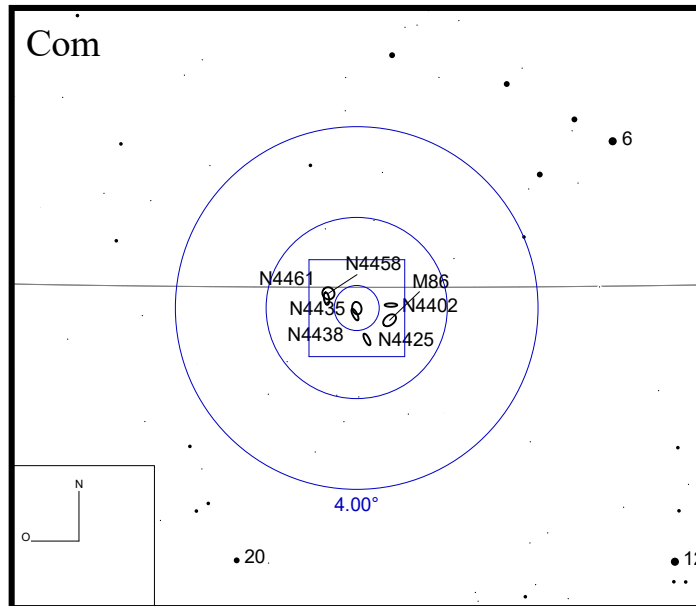
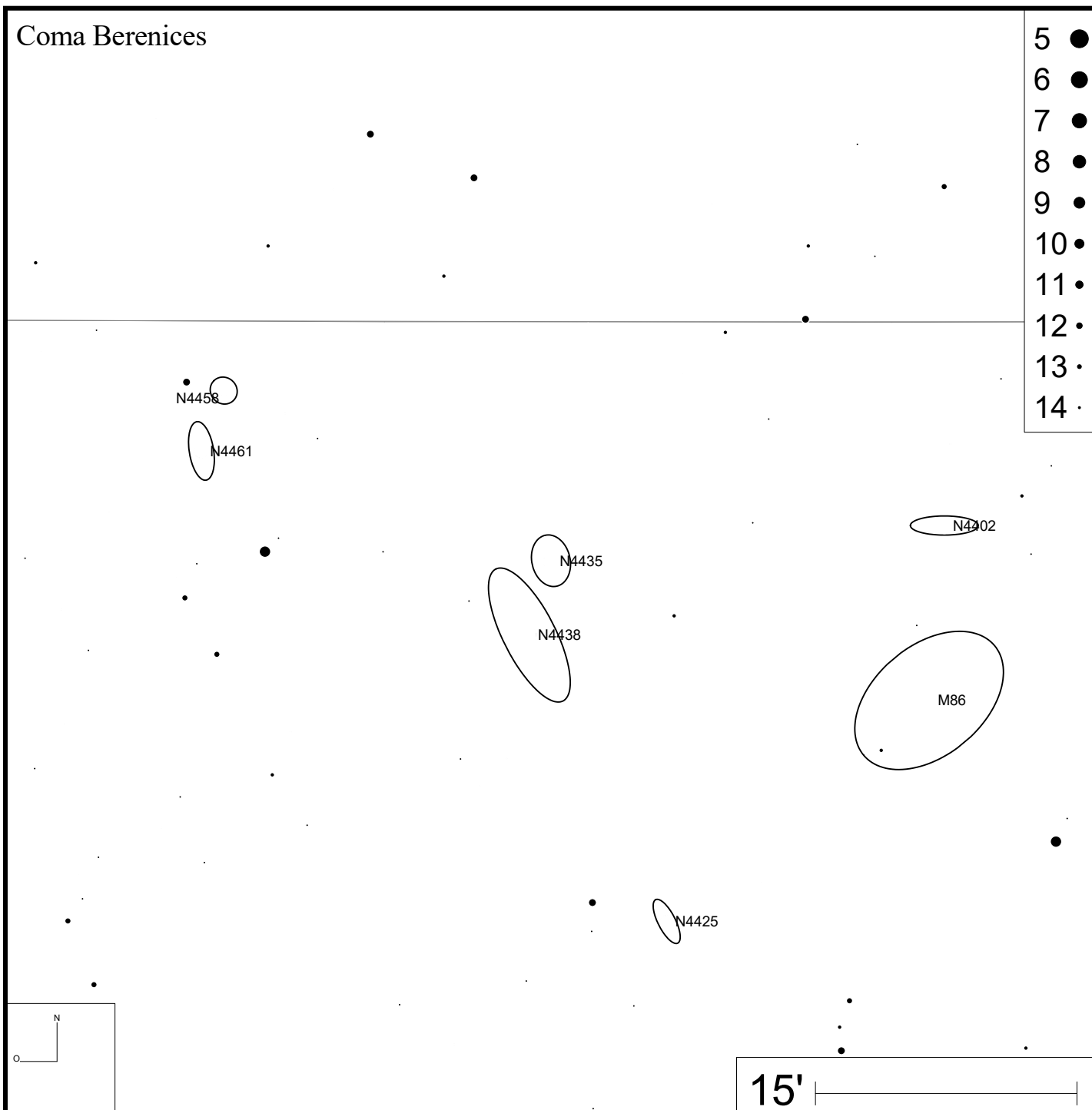


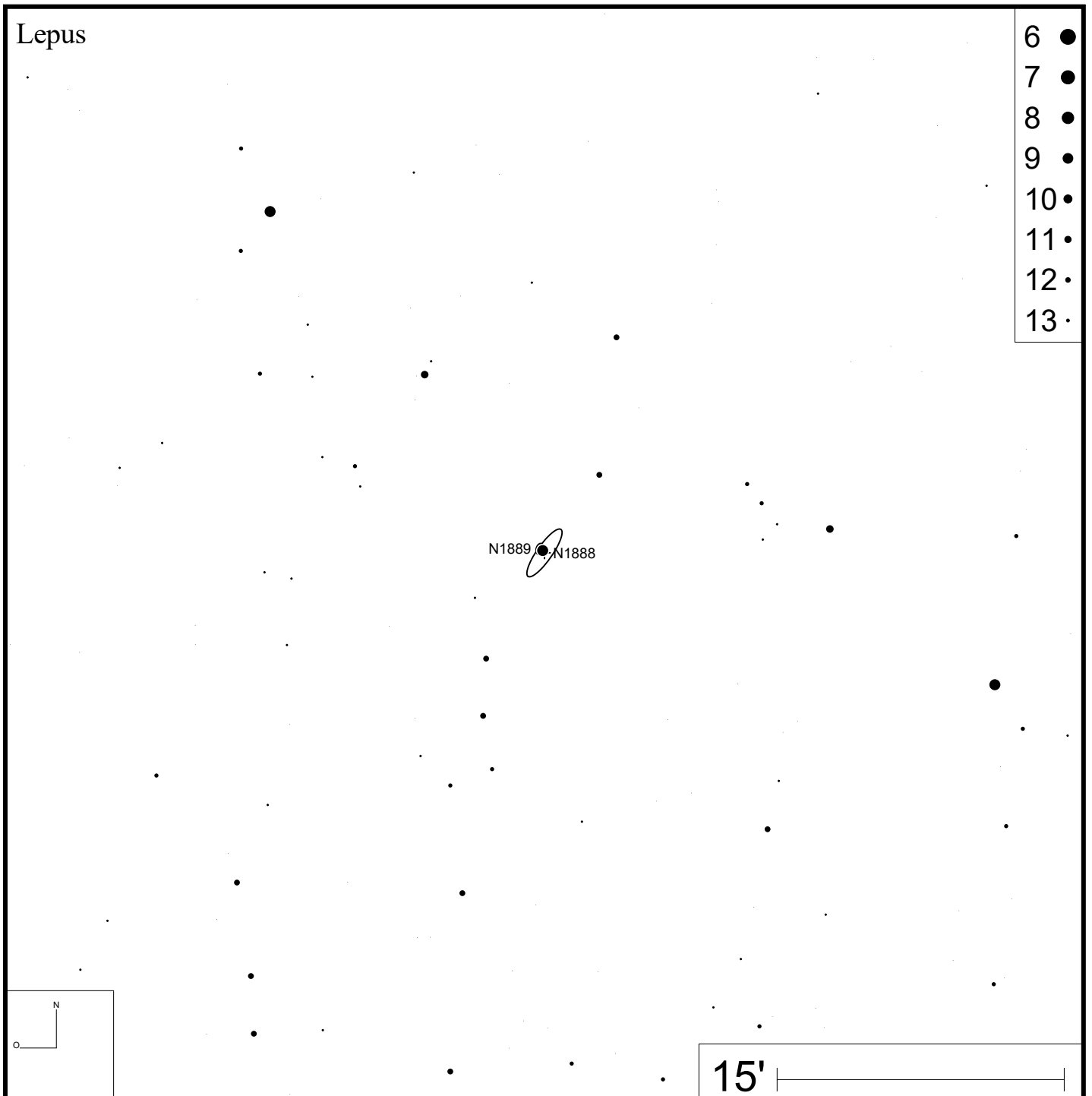
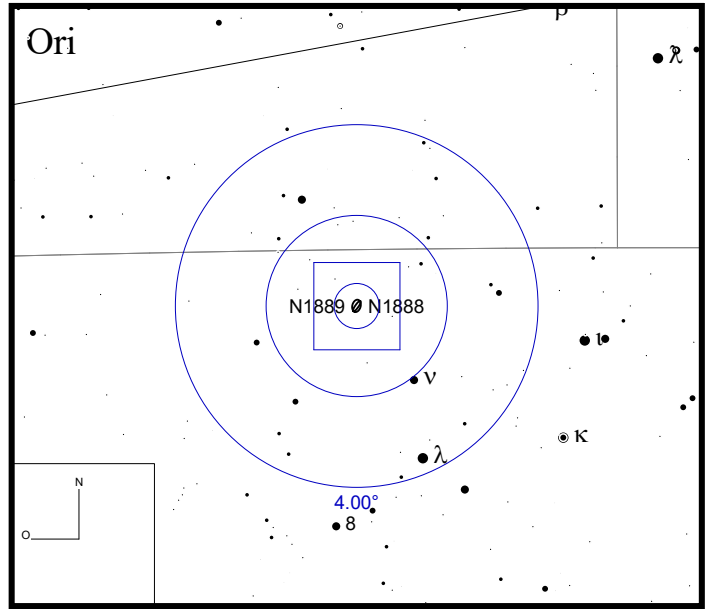
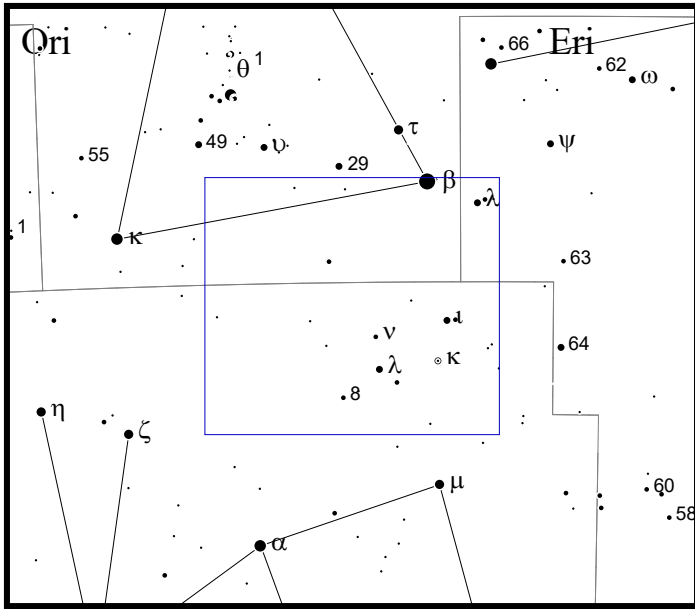
Bild: SDSS



### Coma Berenices







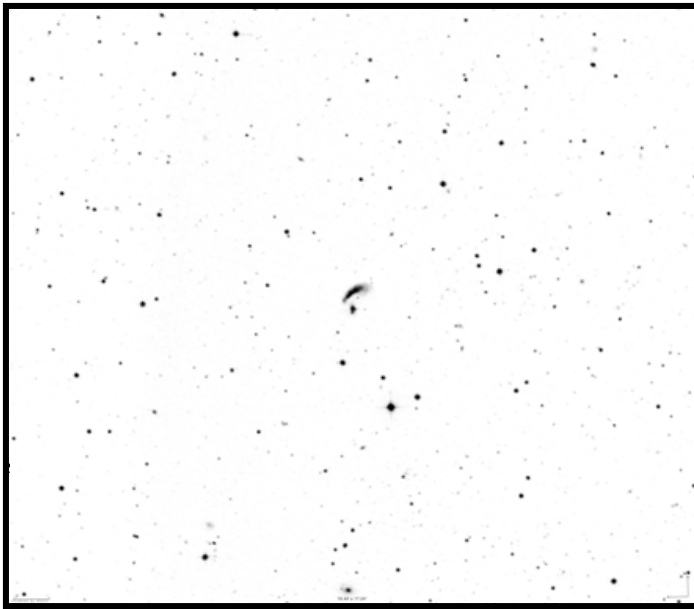
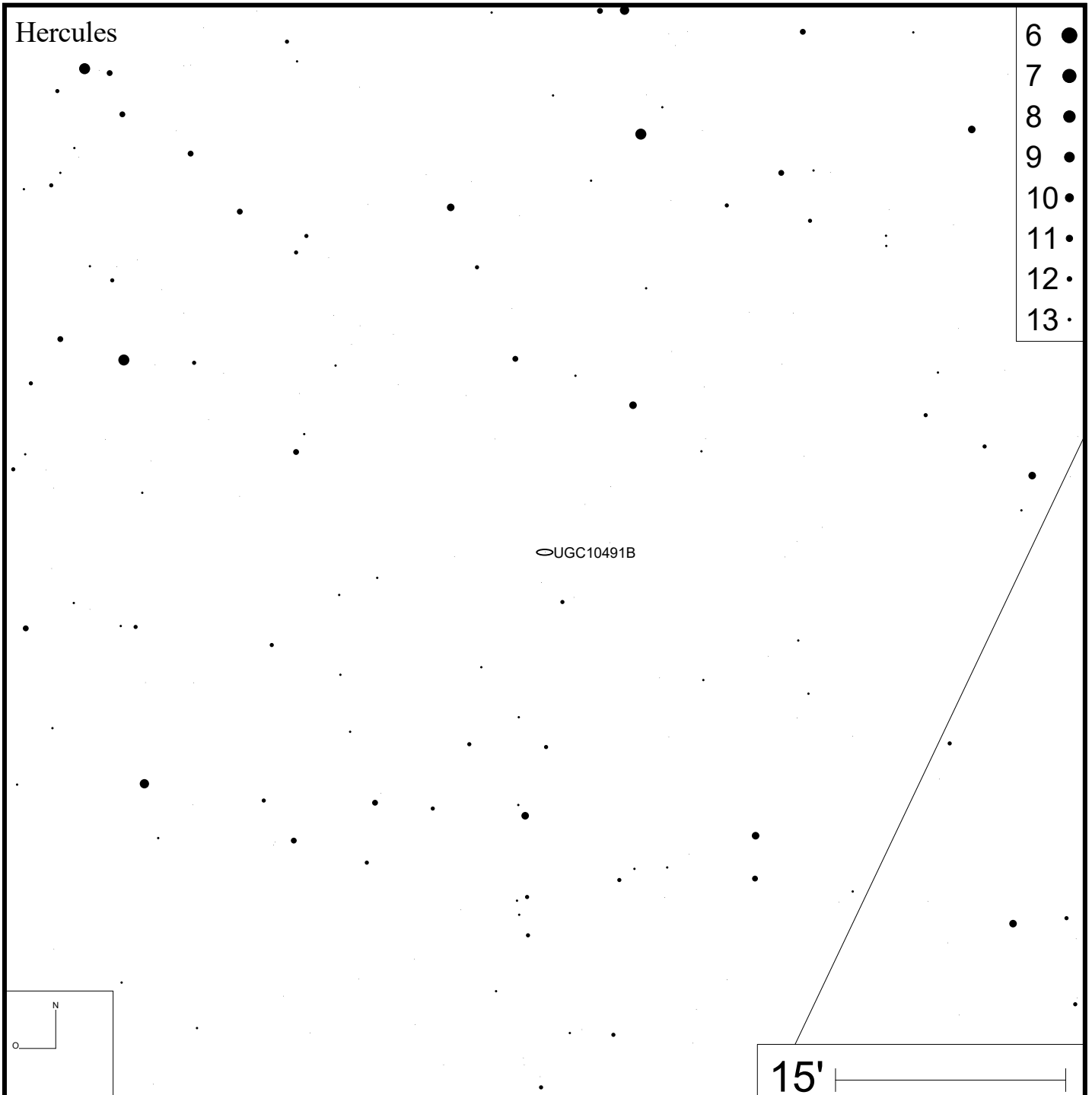
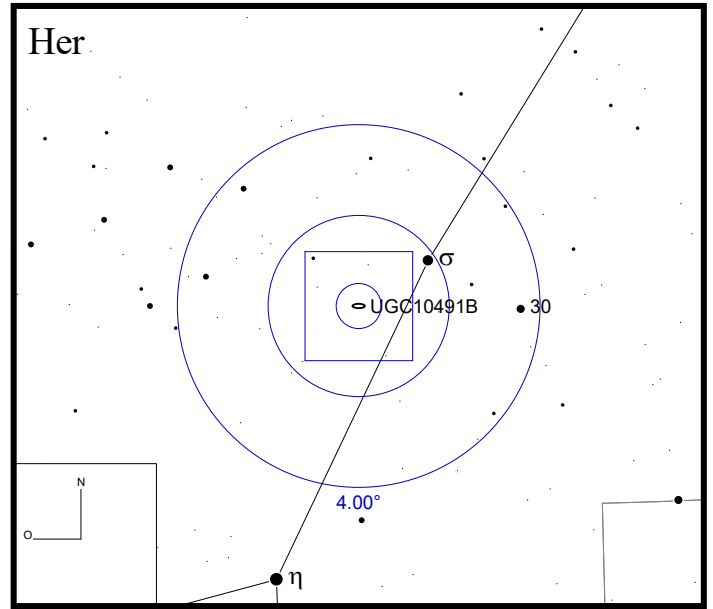


Bild: SDSS



- 6 ●
- 7 ●
- 8 ●
- 9 ●
- 10 ●
- 11 ●
- 12 ●
- 13 ●

15'

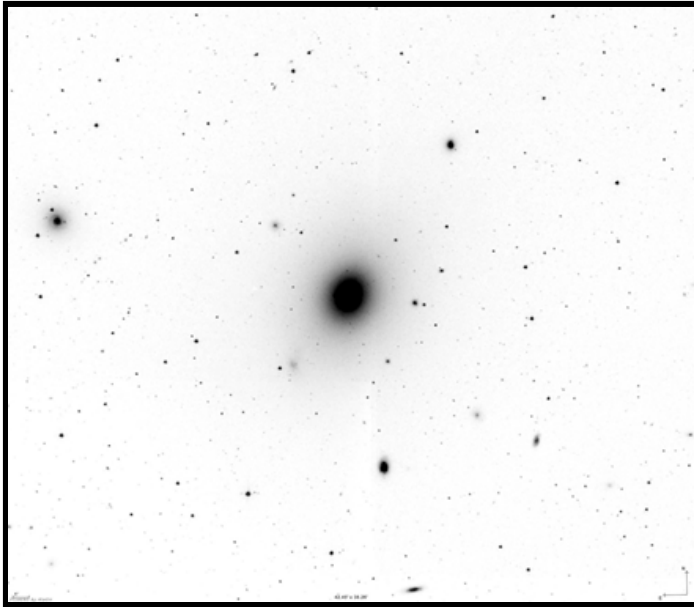
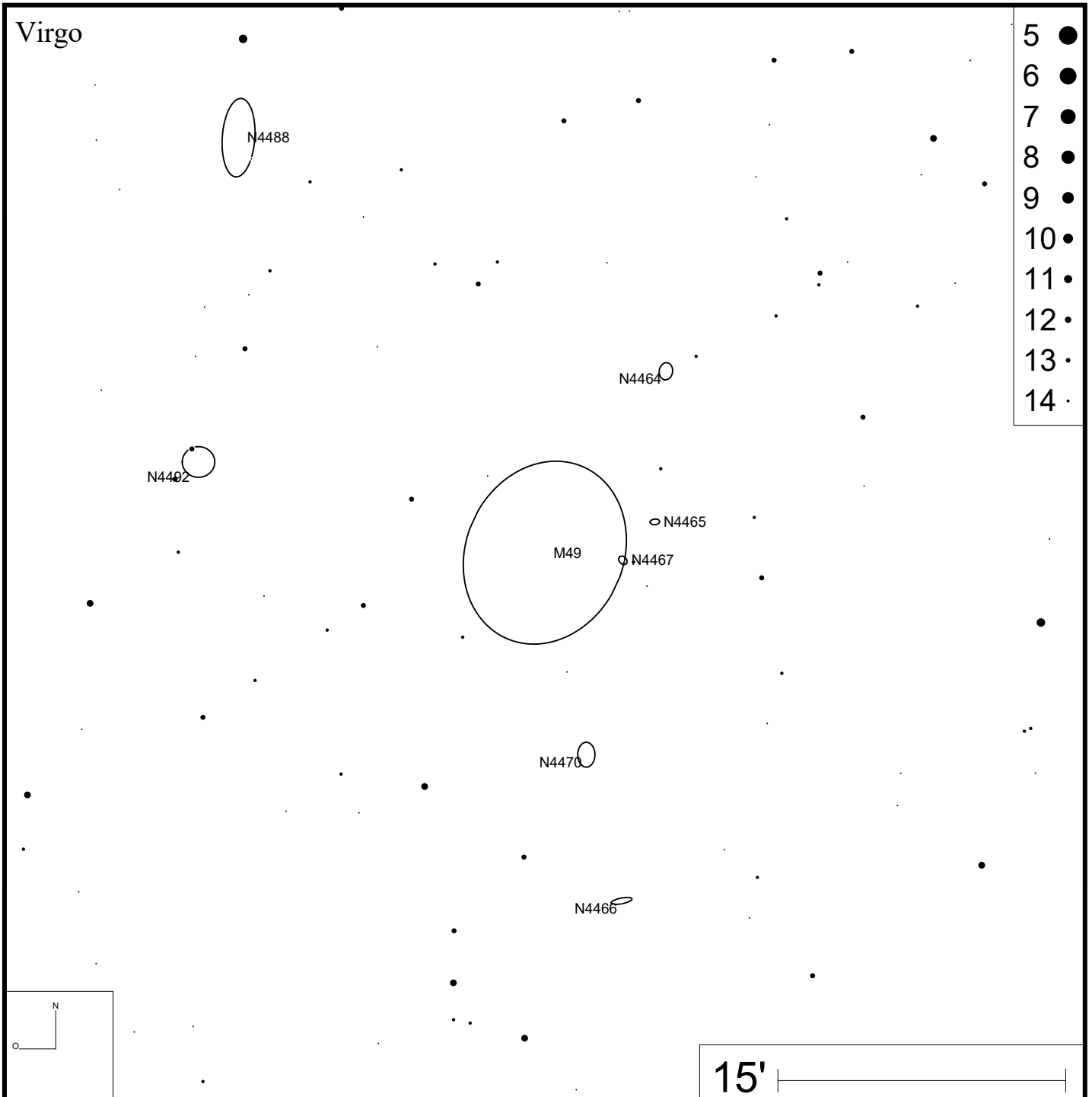
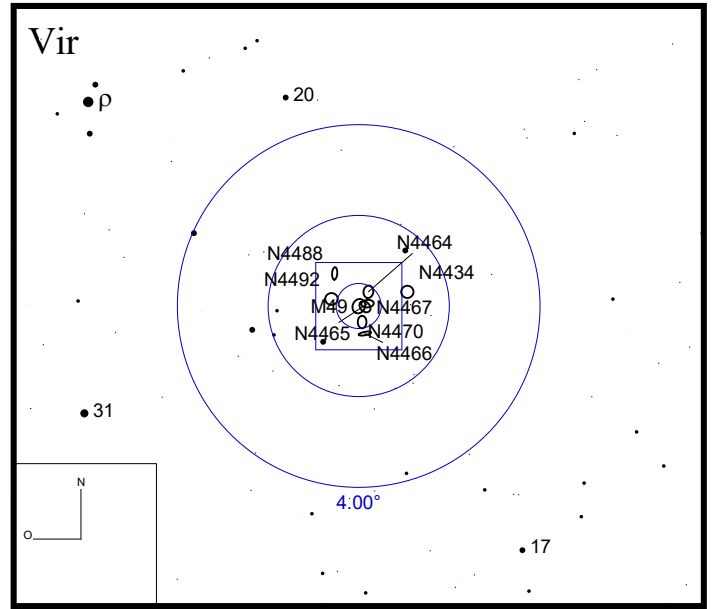


Bild: DSS



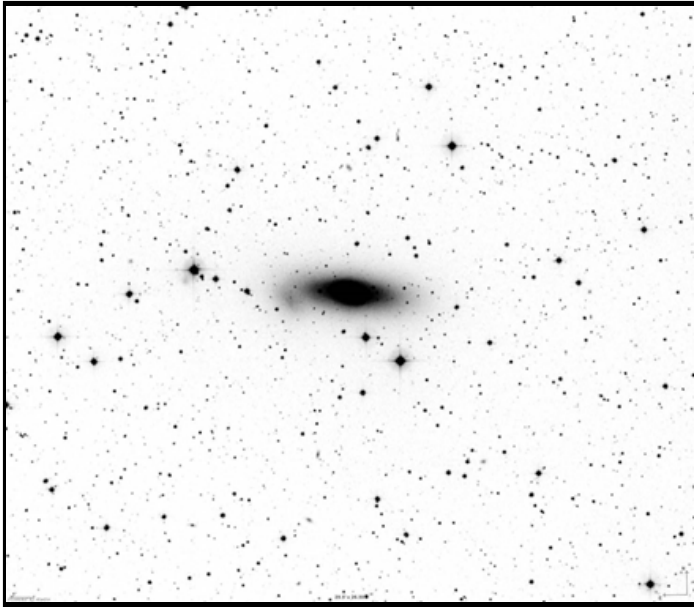
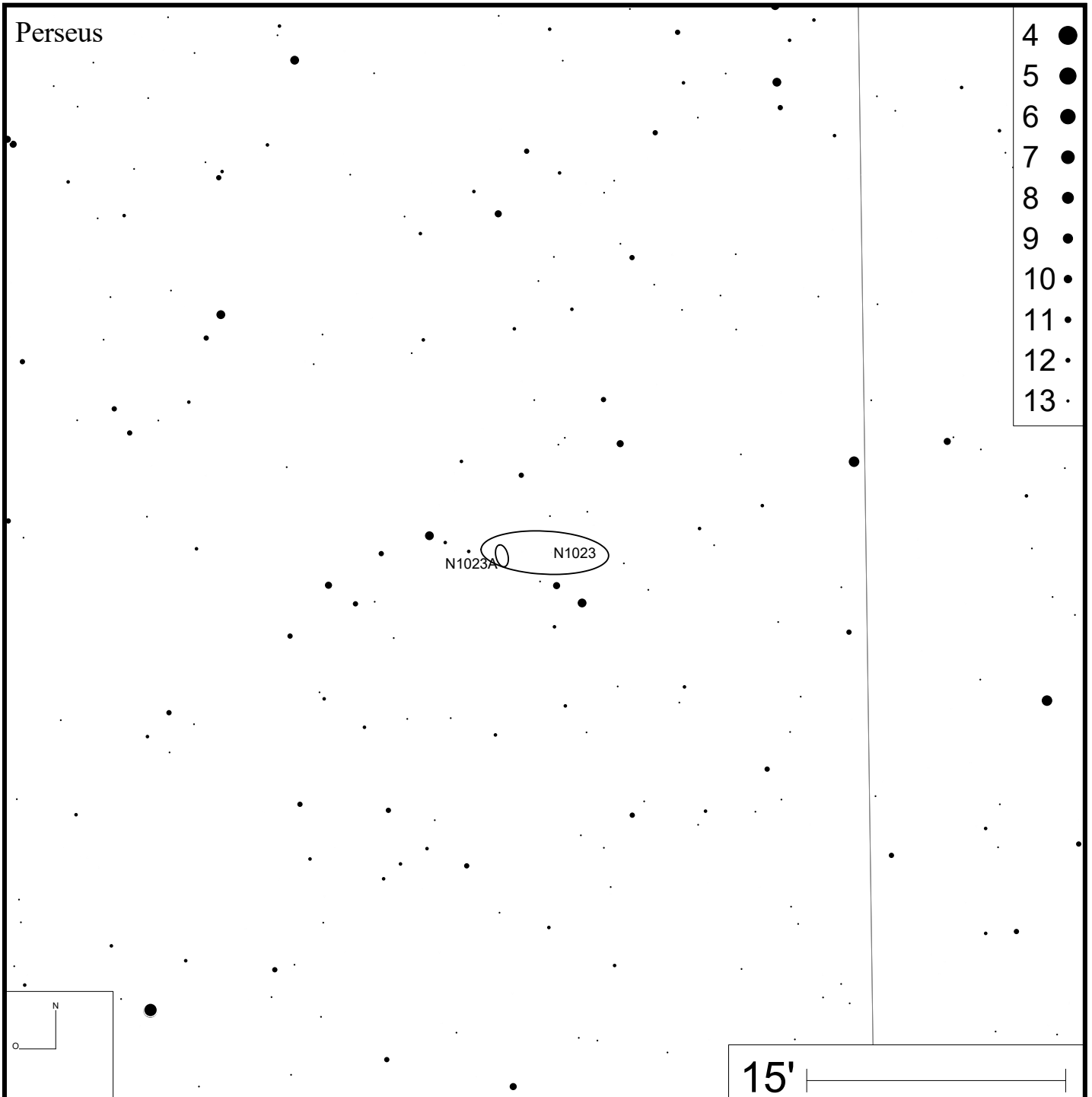
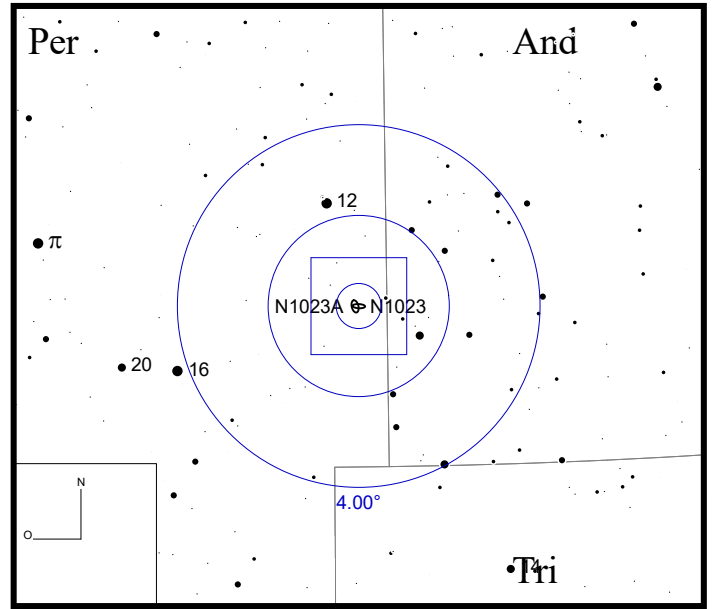


Bild: DSS



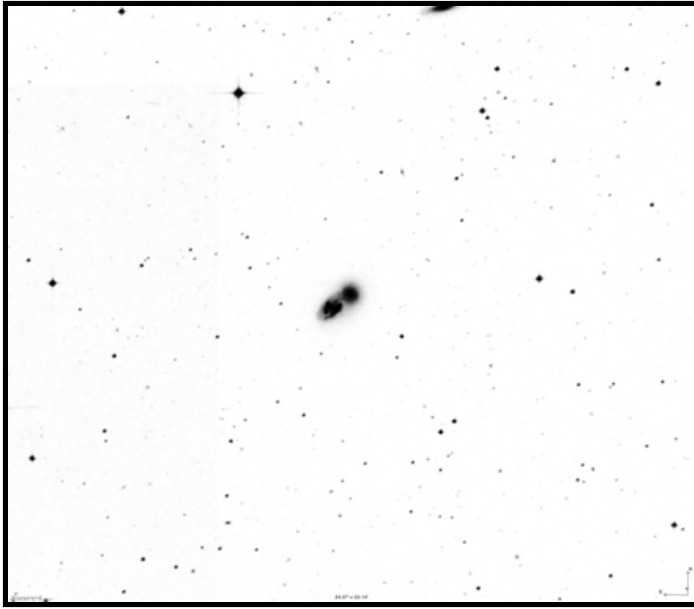
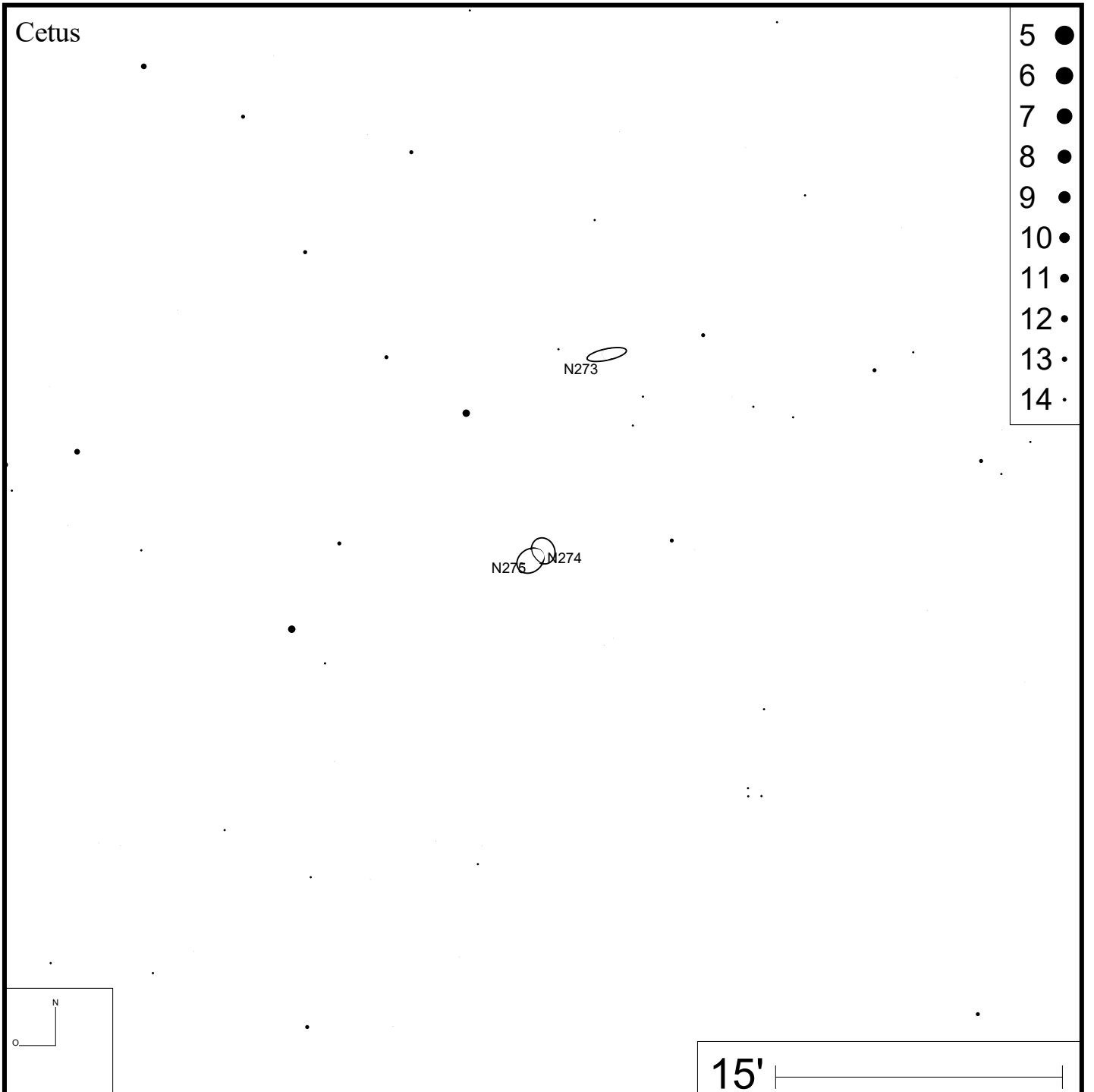
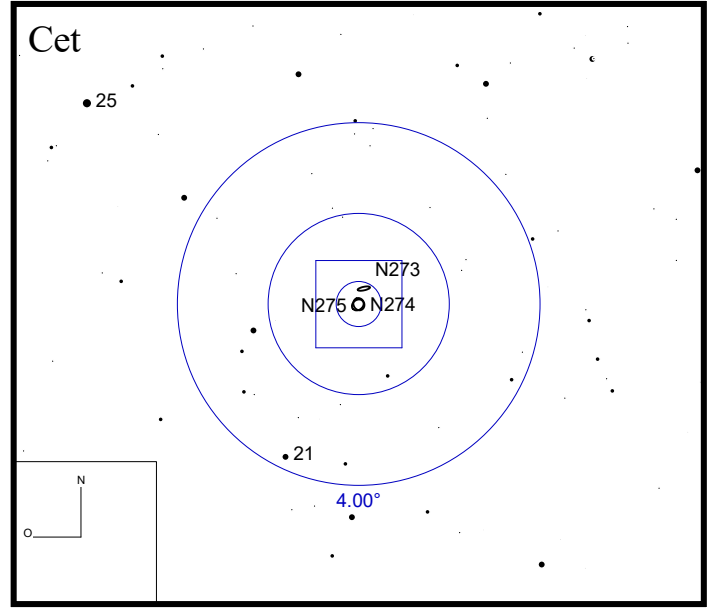


Bild: DSS



- 5 ●
- 6 ●
- 7 ●
- 8 ●
- 9 ●
- 10 ●
- 11 ●
- 12 ●
- 13 ●
- 14 ●

15'

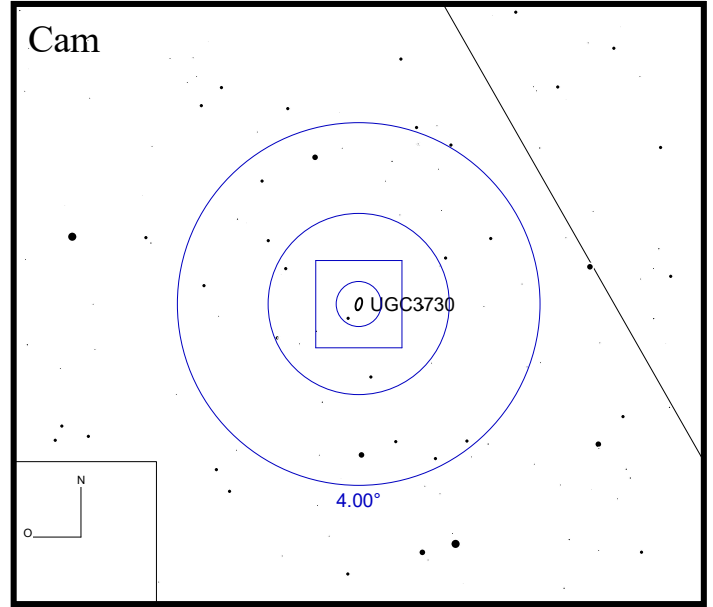
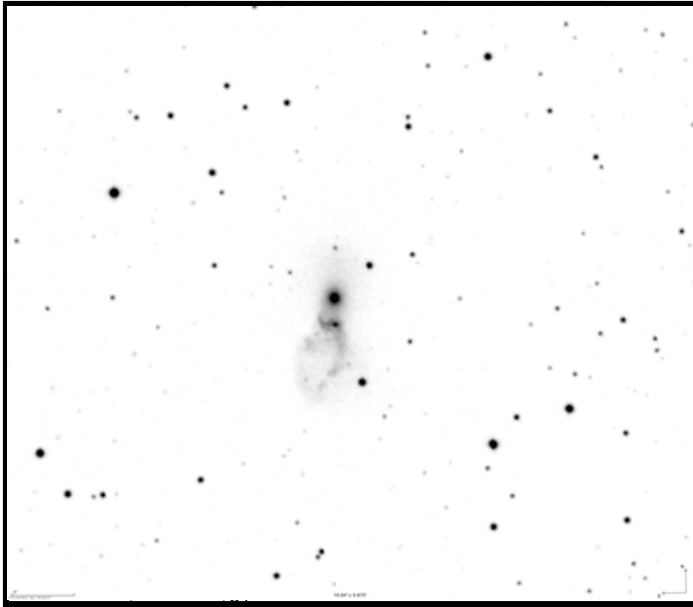
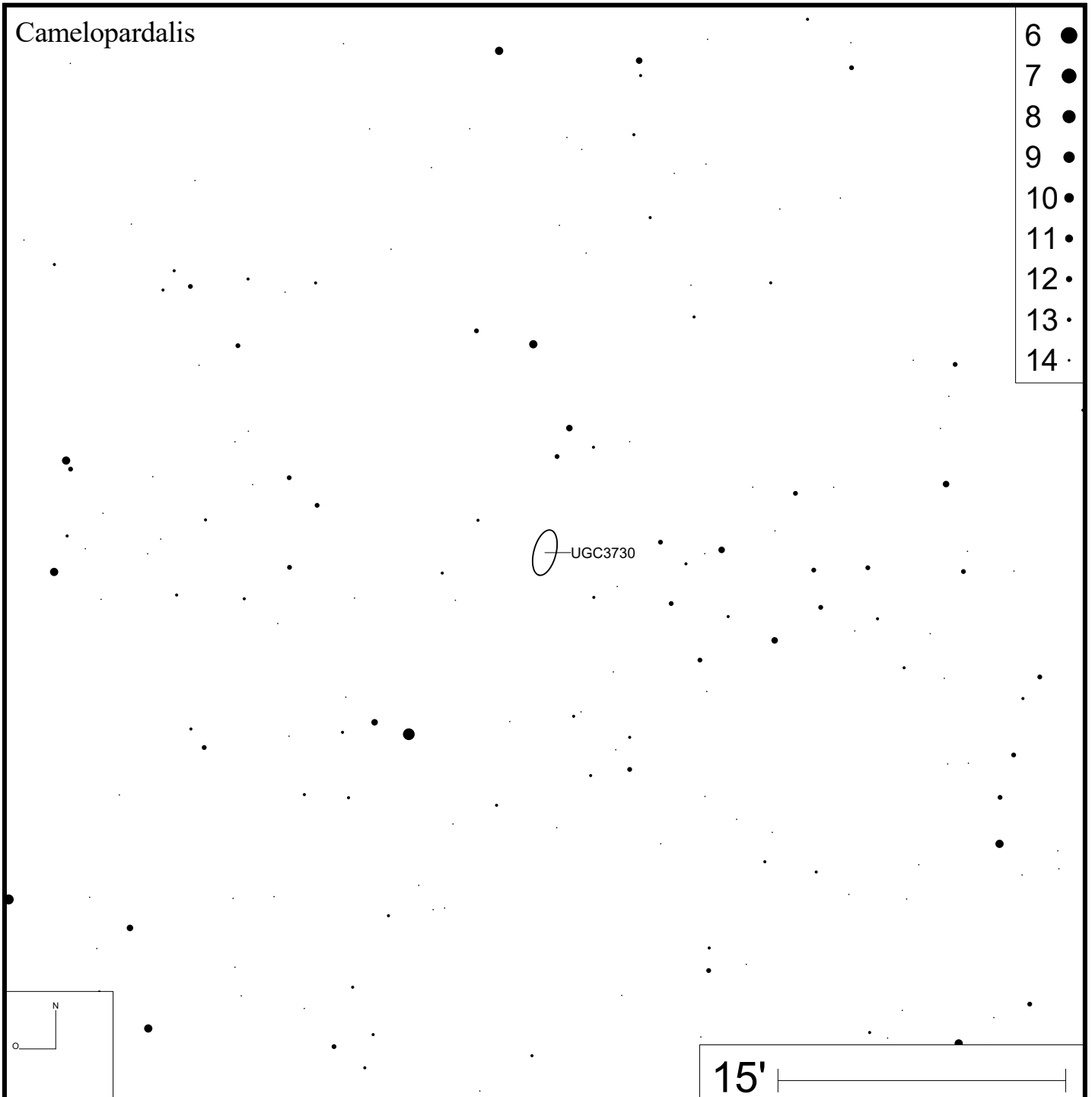


Bild: DSS



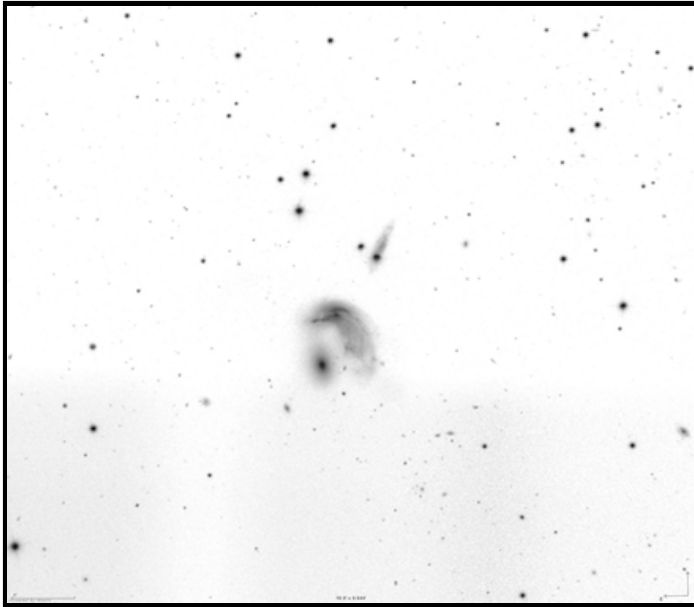
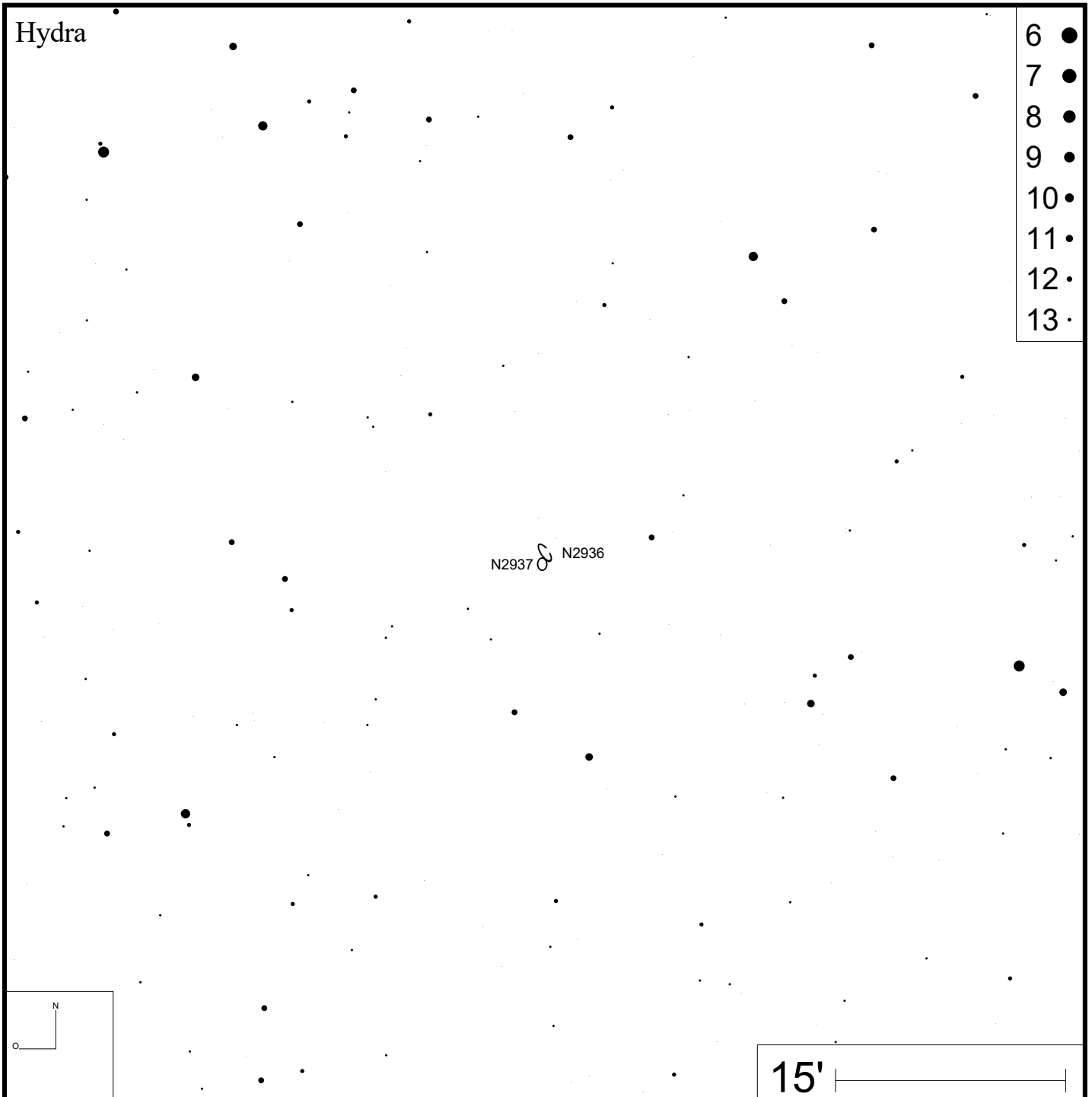
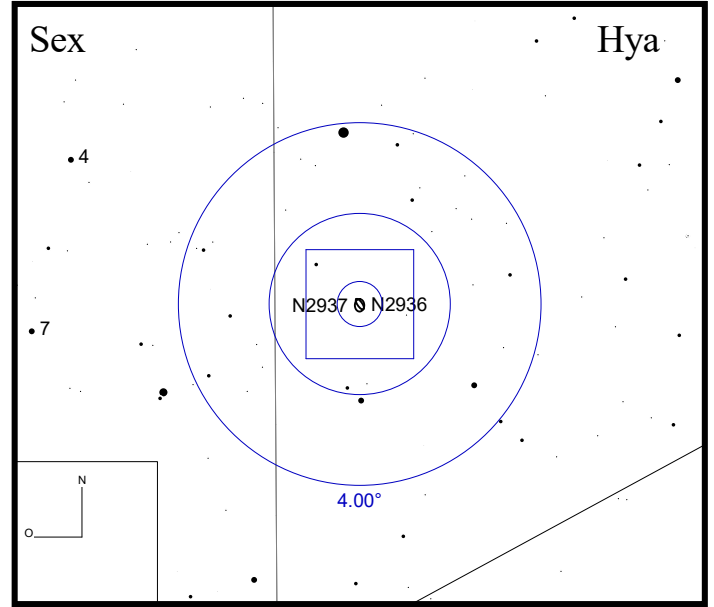


Bild: DSS



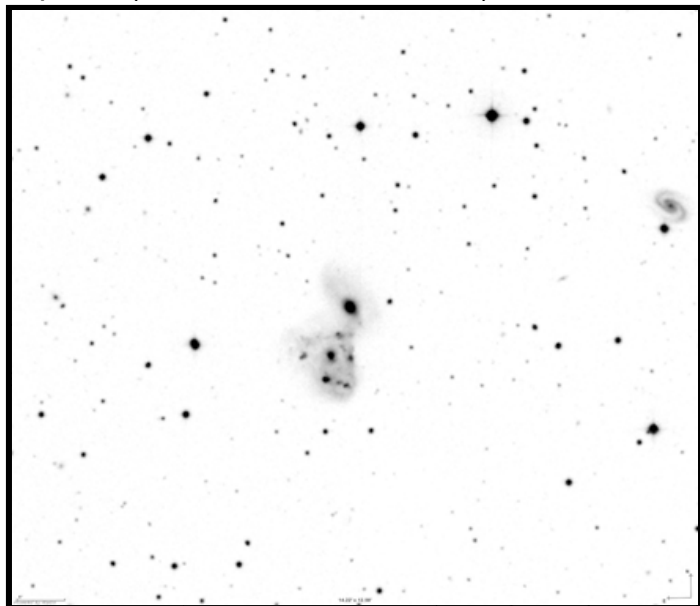
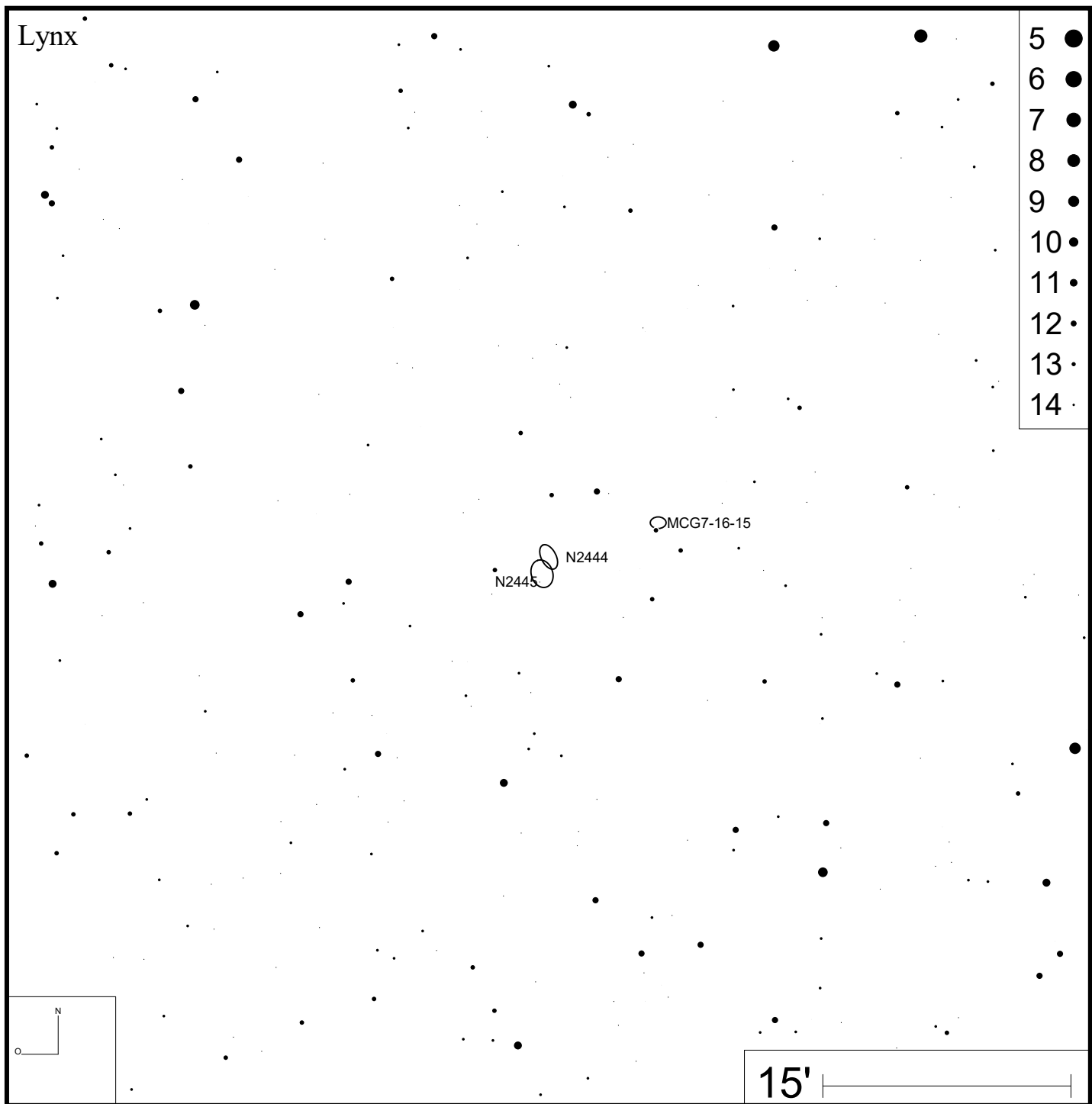
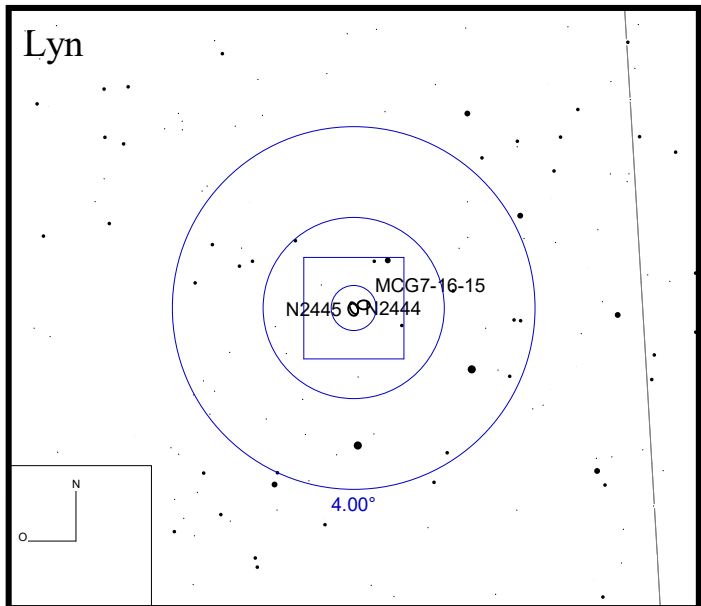


Bild: DSS





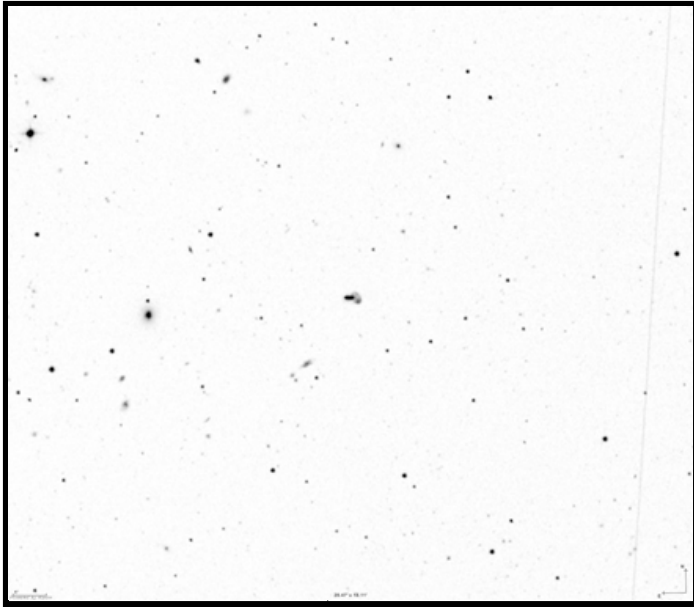
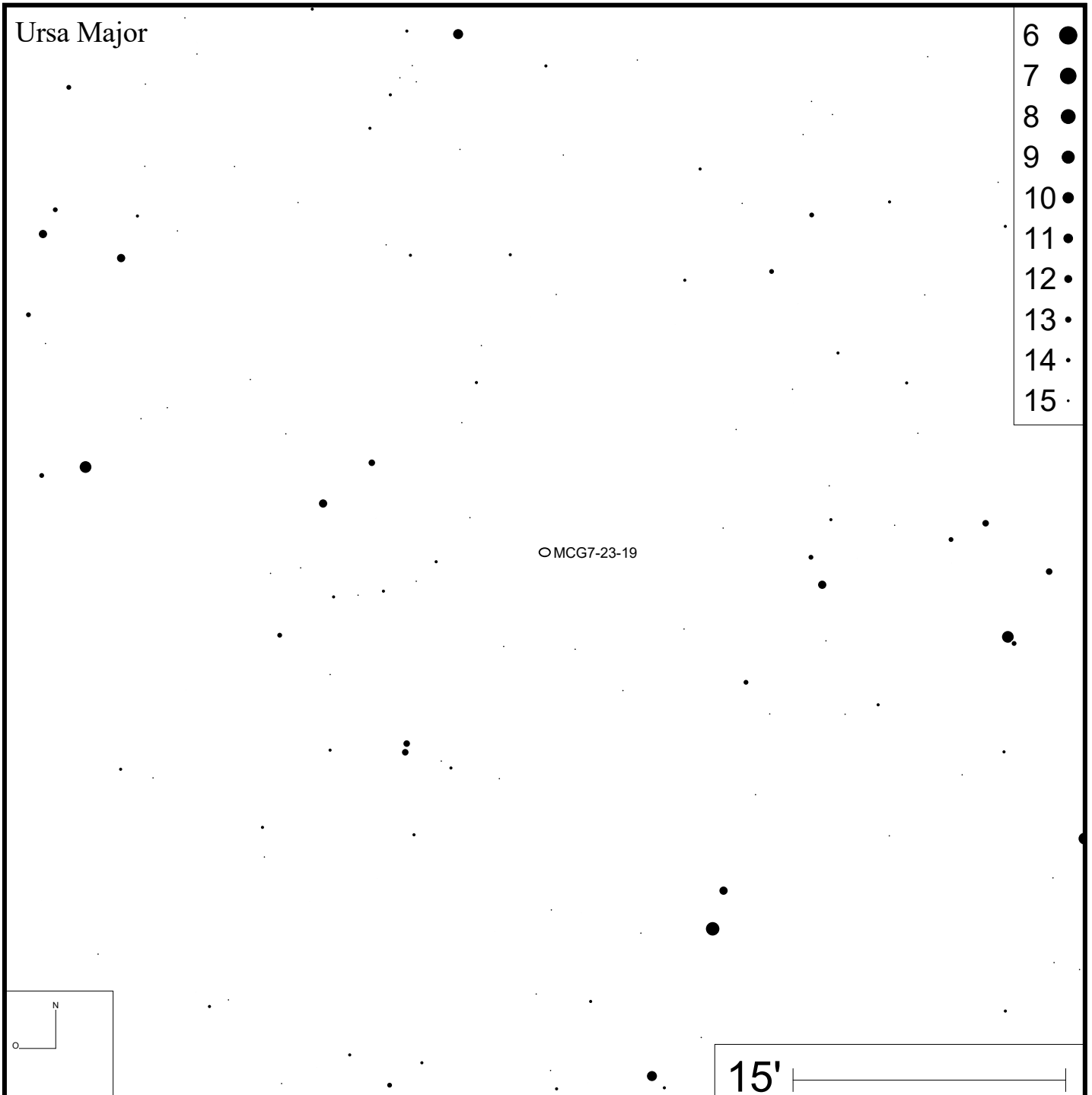
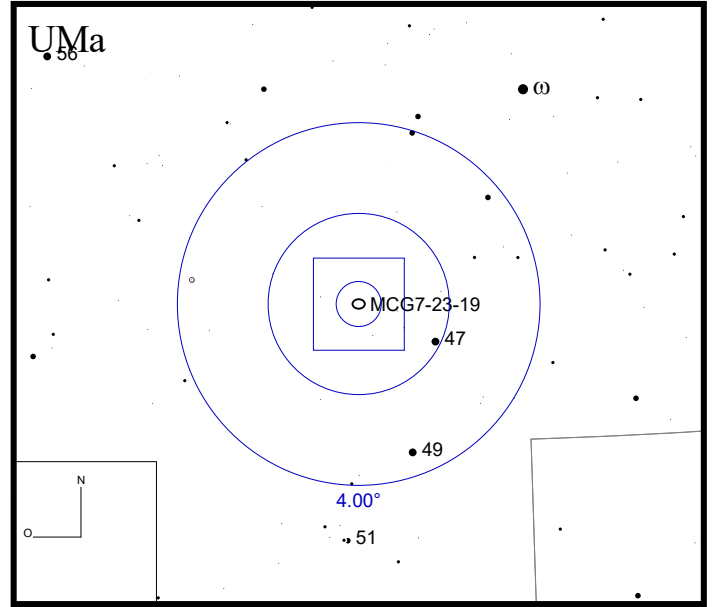


Bild: DSS



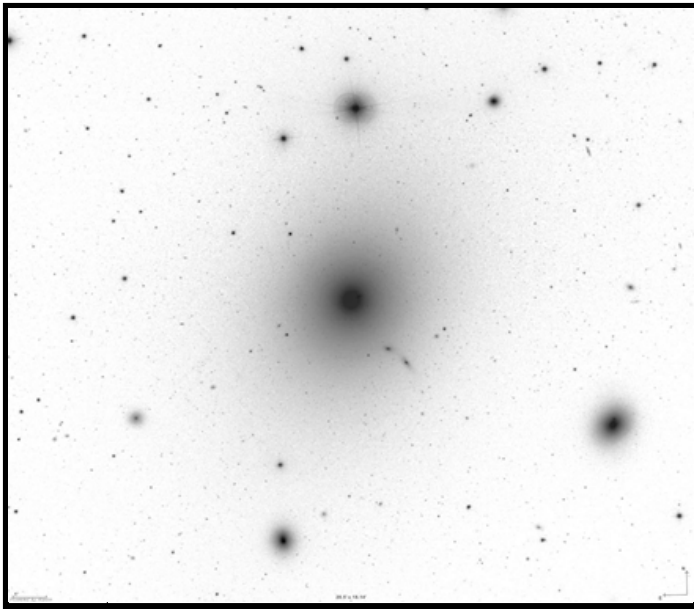
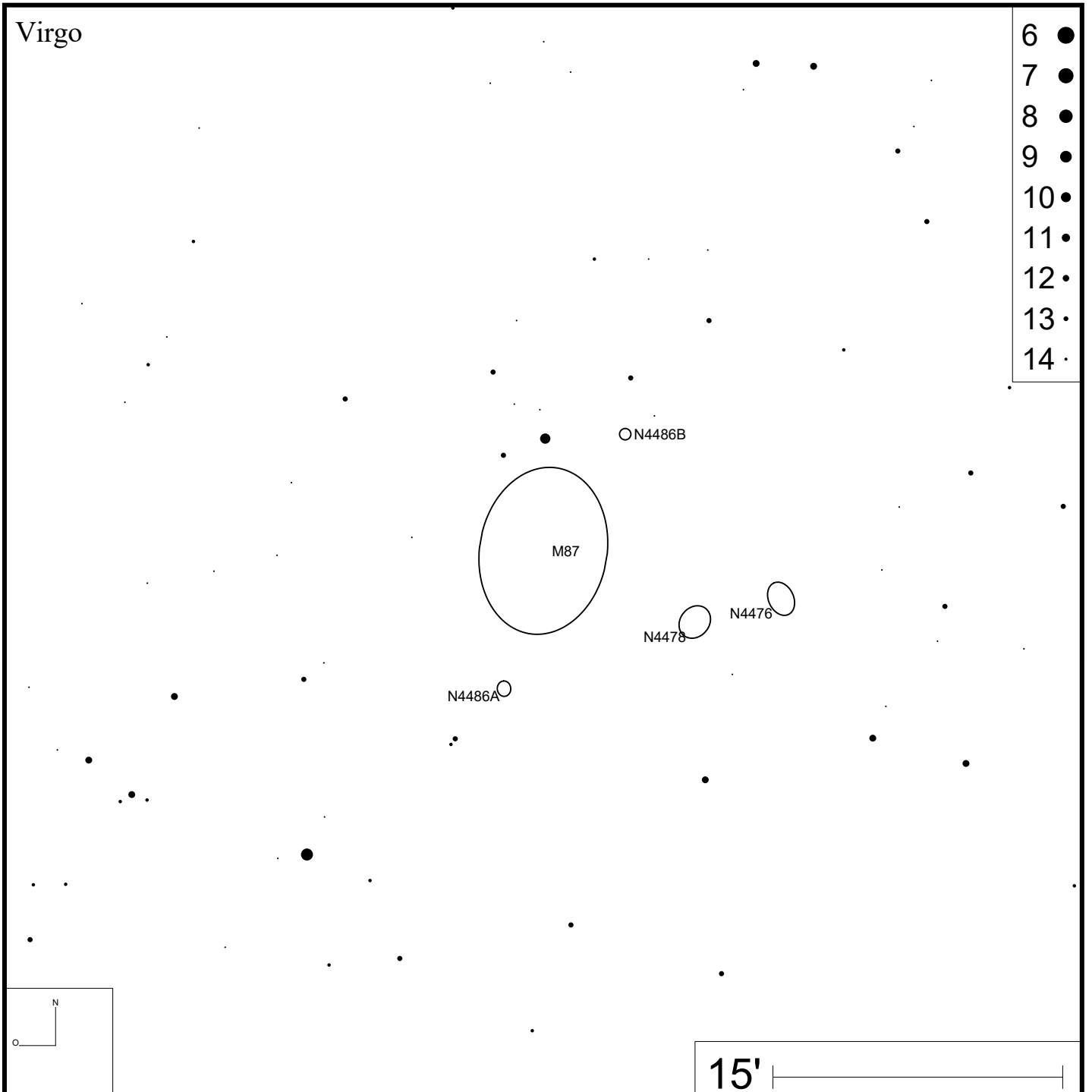
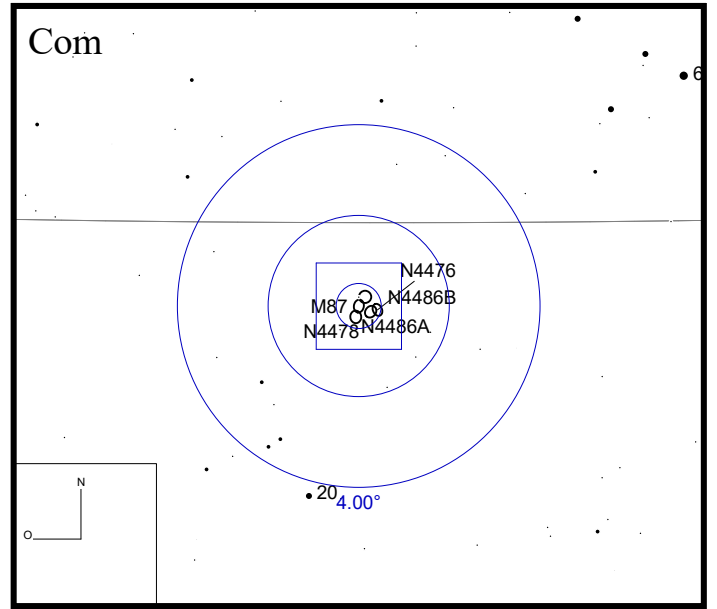


Bild: DSS



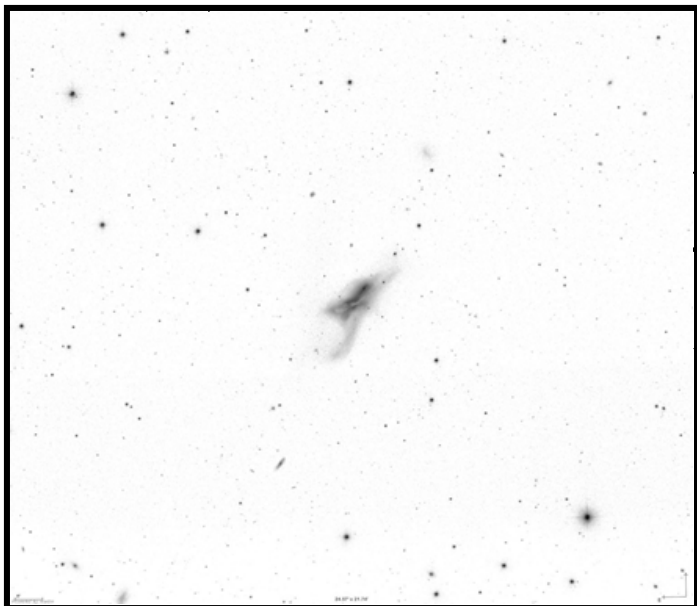
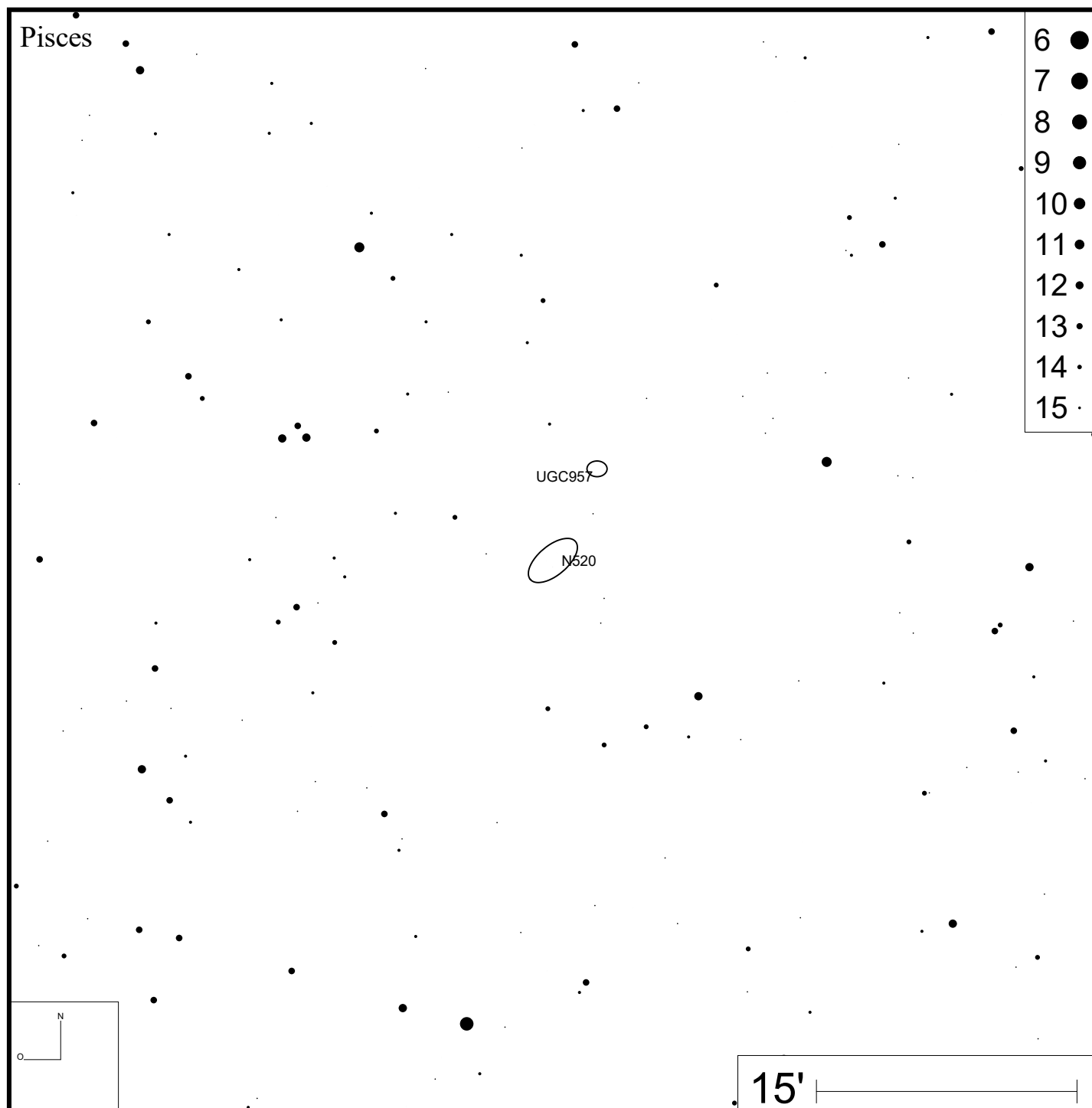
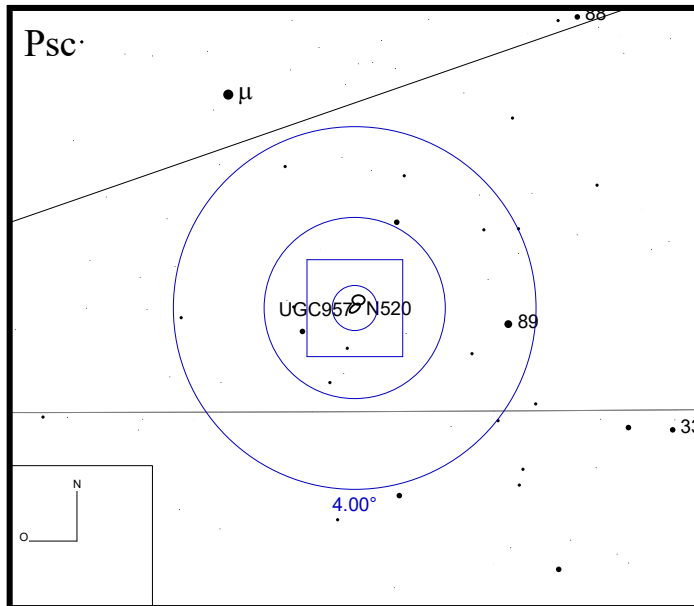


Bild: SDSS



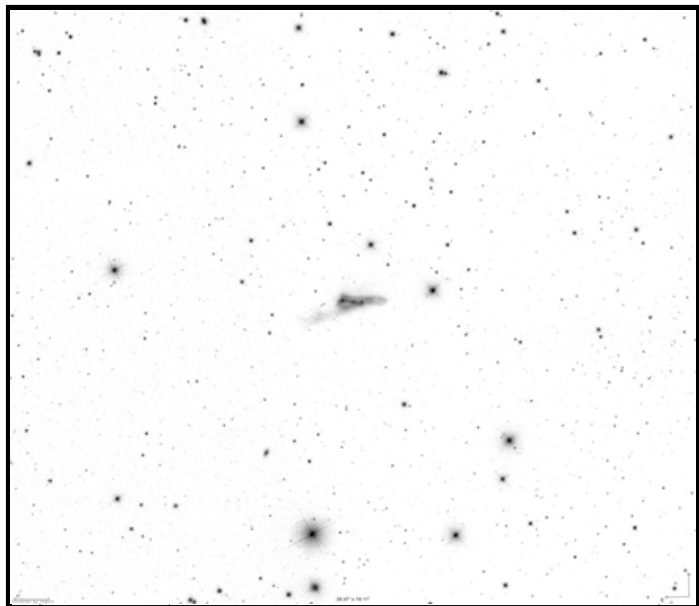
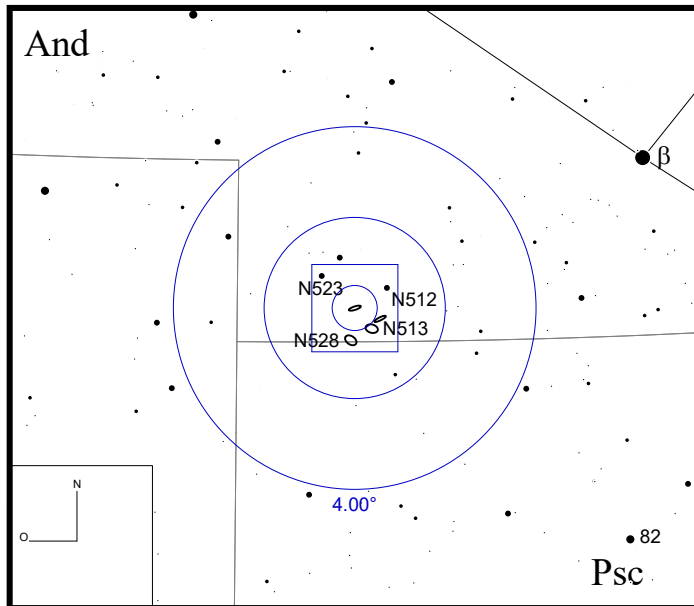
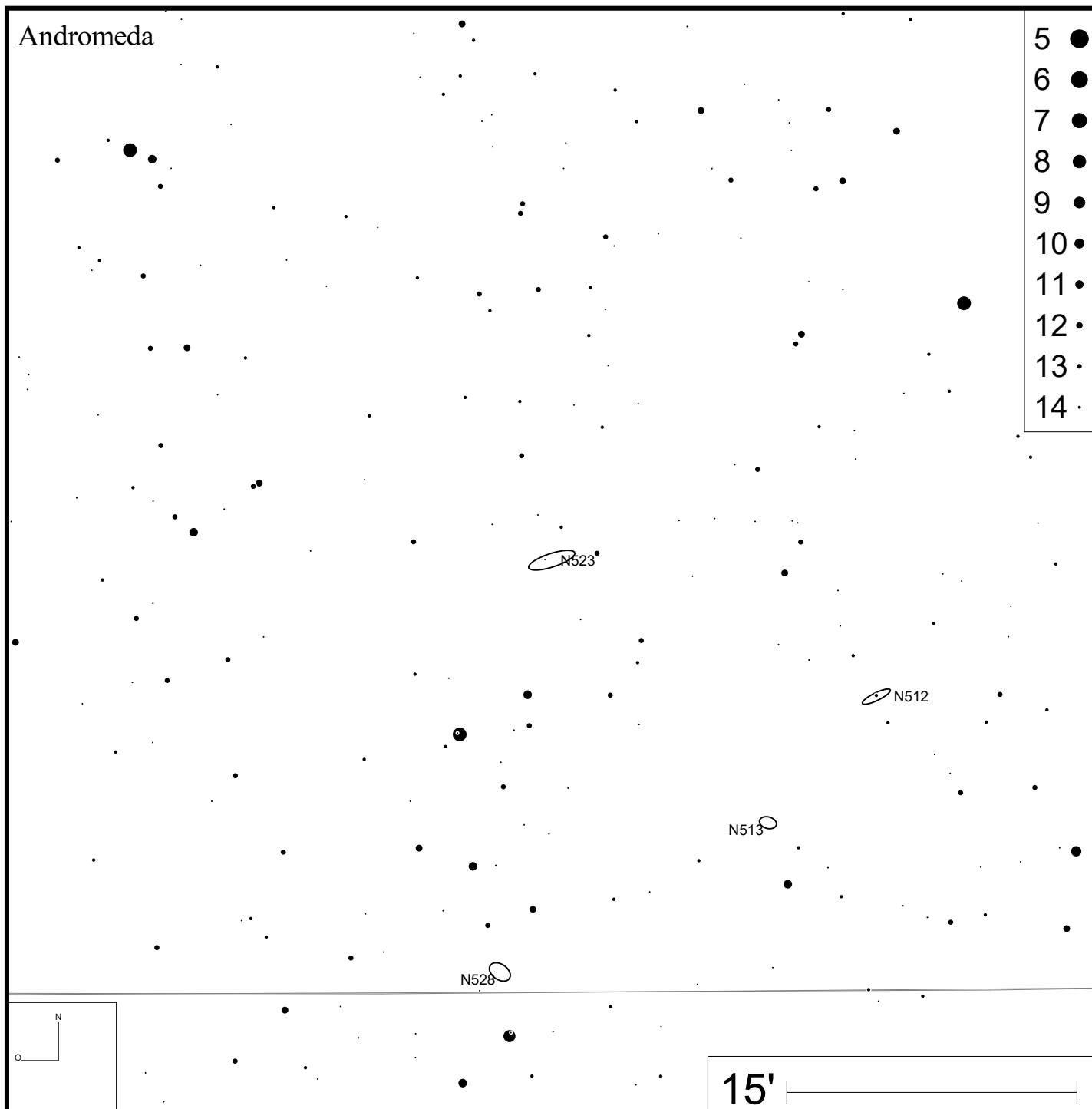


Bild: DSS



# Andromeda



- 5 ●
- 6 ●
- 7 ●
- 8 ●
- 9 ●
- 10 ●
- 11 ●
- 12 ●
- 13 ●
- 14 ●

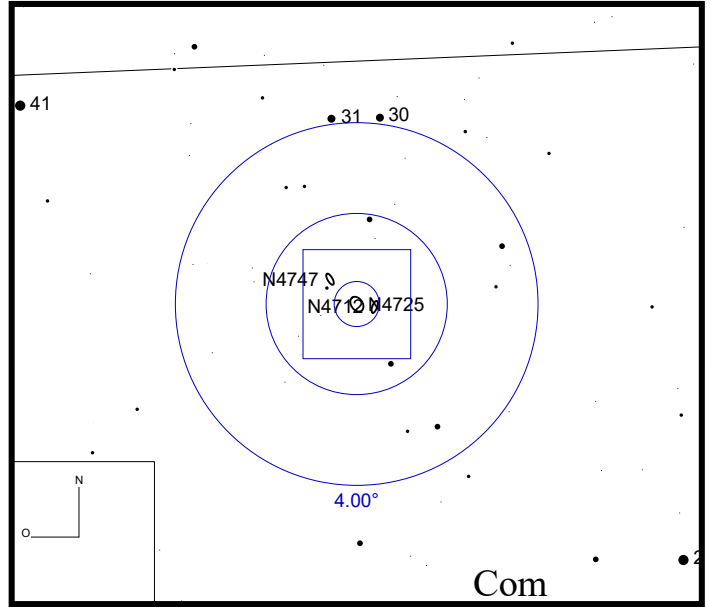
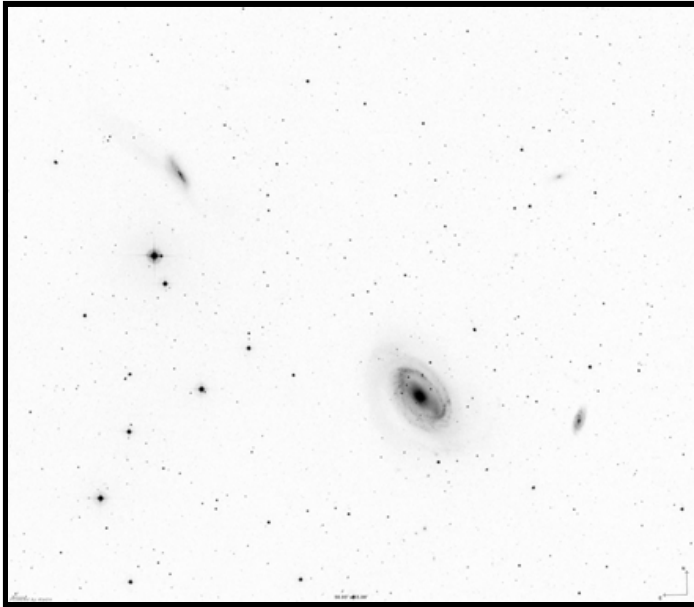
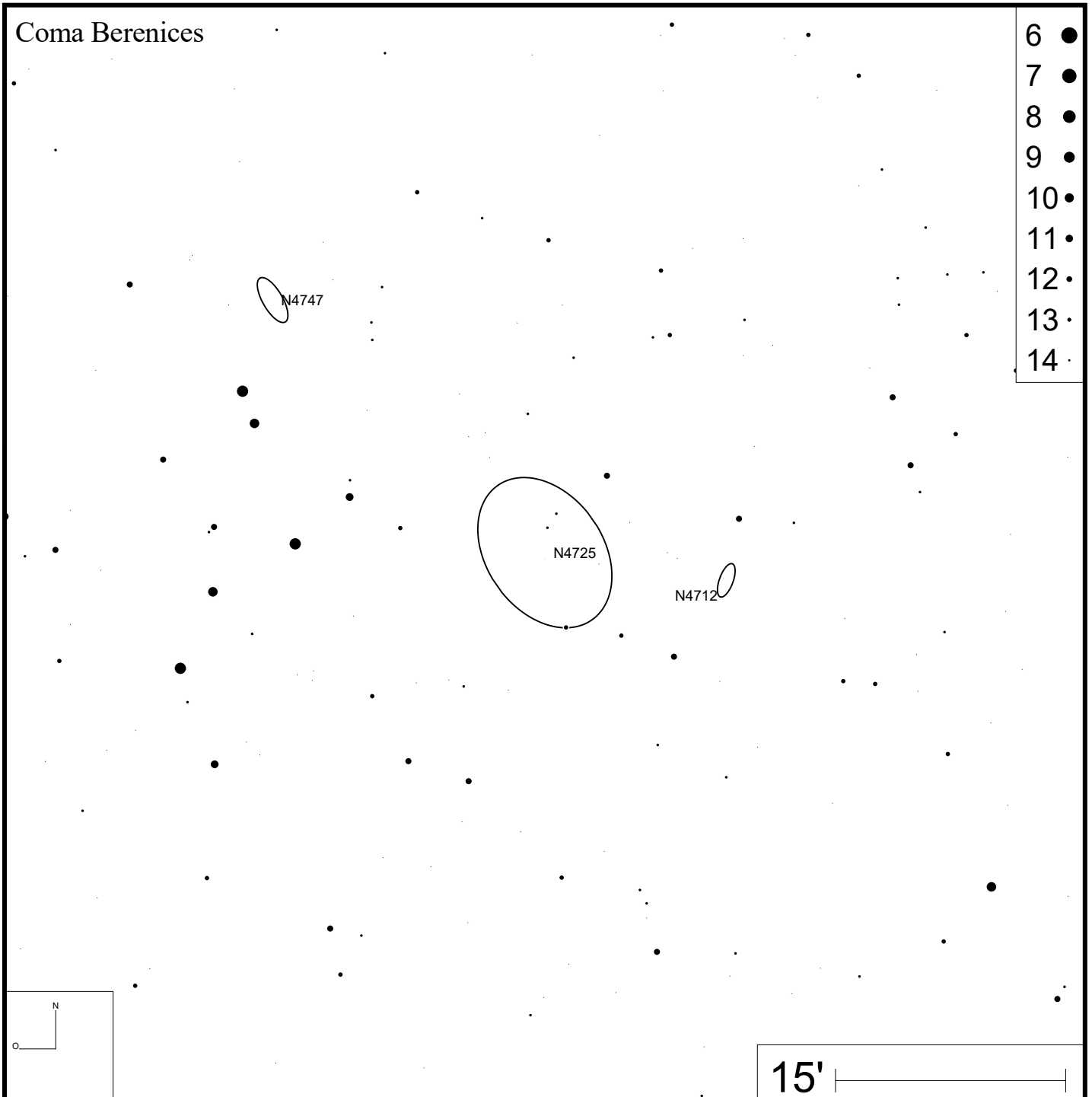


Bild: DSS



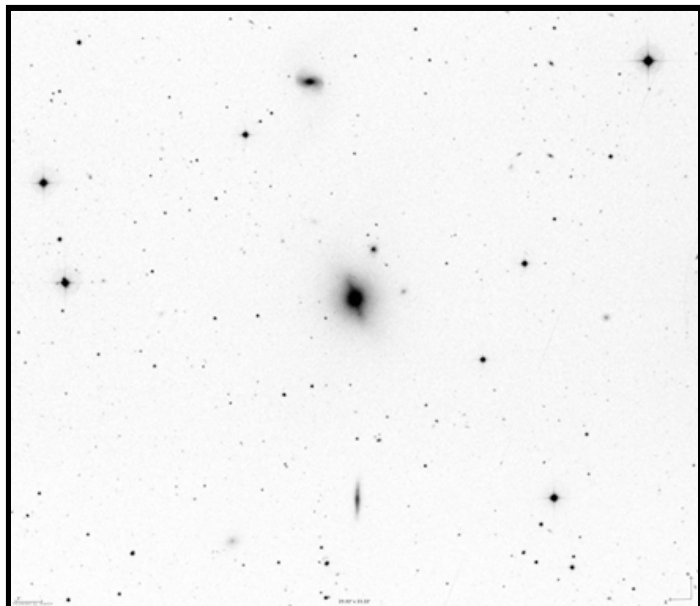
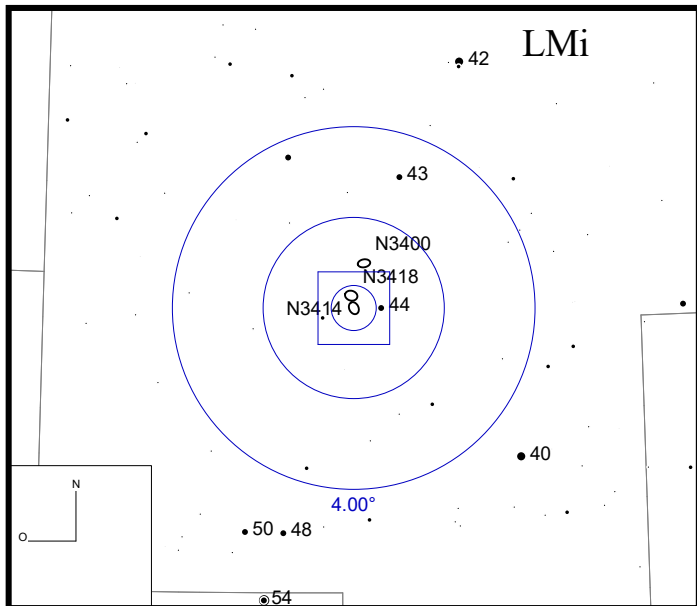
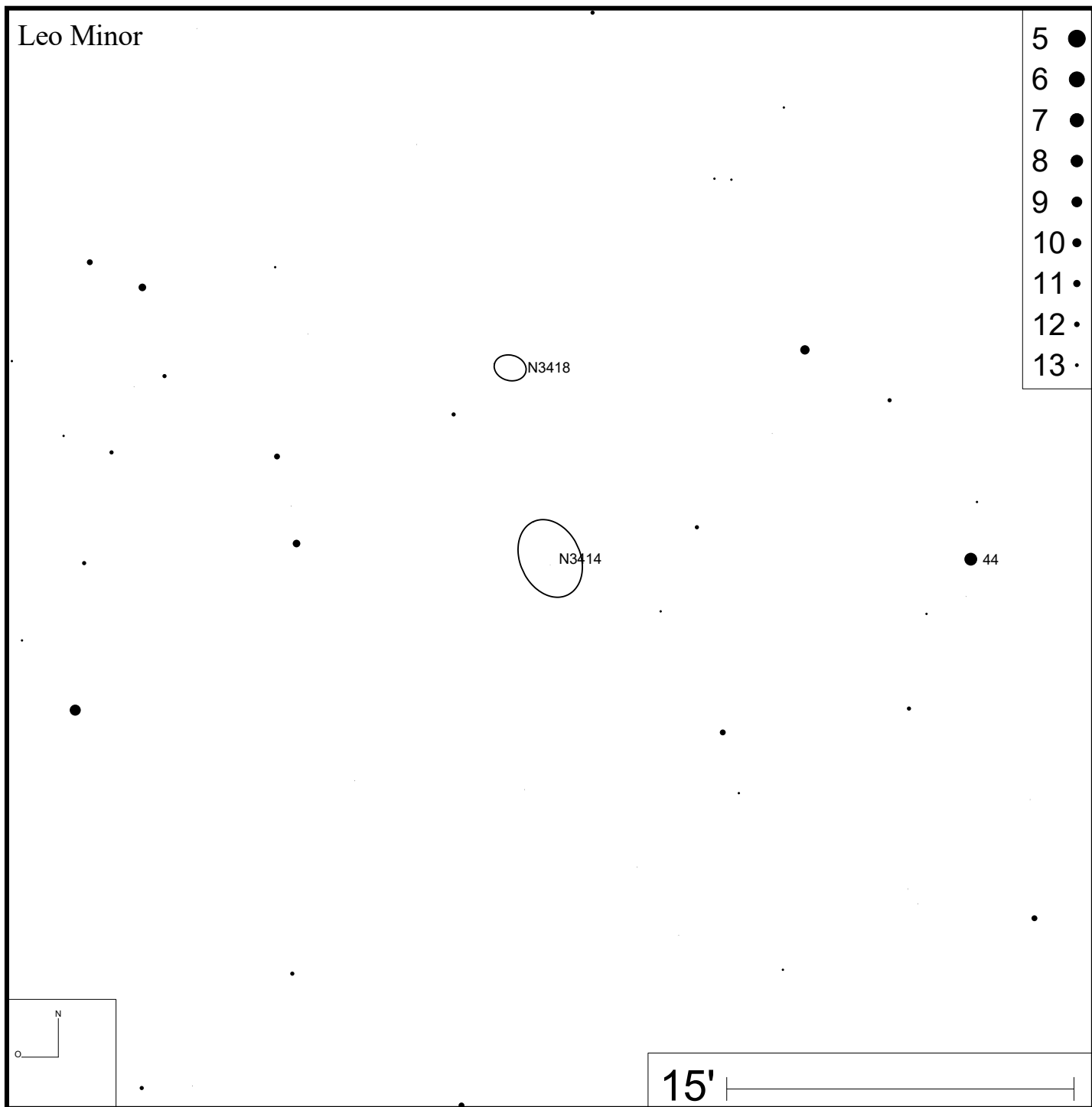


Bild: DSS



### Leo Minor



- 5 ●
- 6 ●
- 7 ●
- 8 ●
- 9 ●
- 10 ●
- 11 ●
- 12 ●
- 13 ●

15'

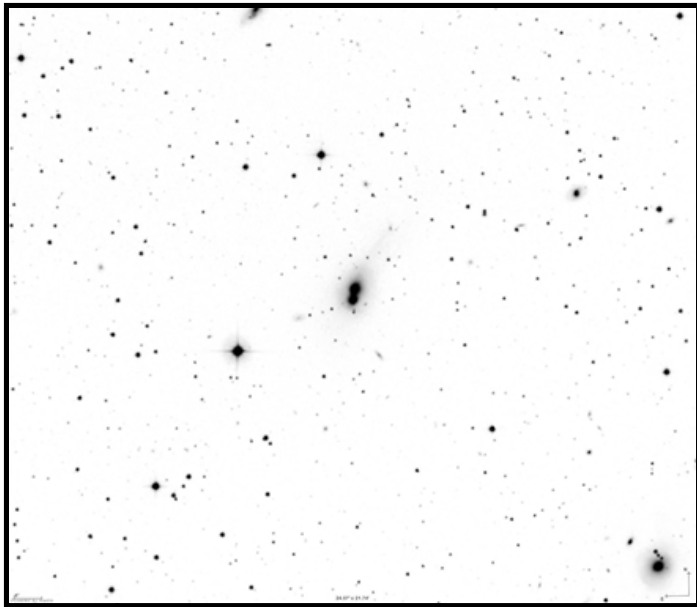
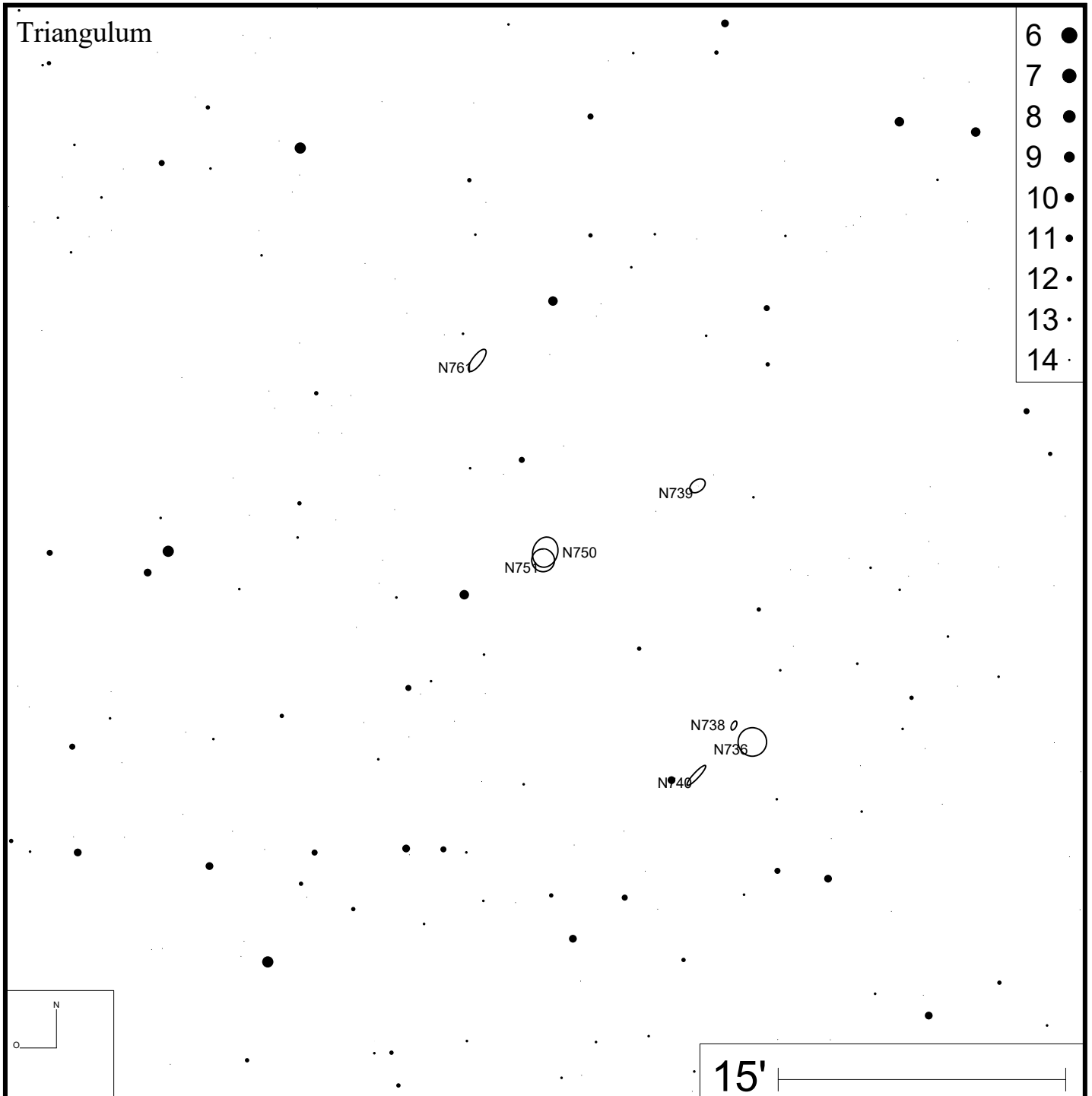
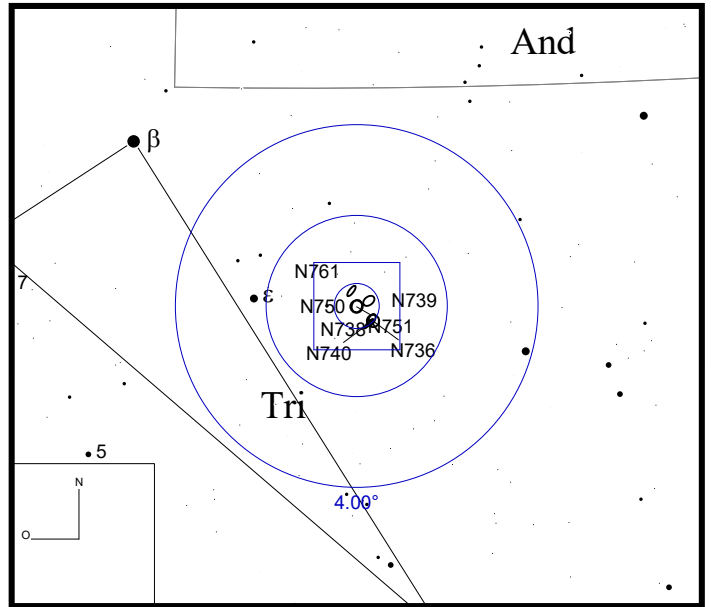


Bild: DSS



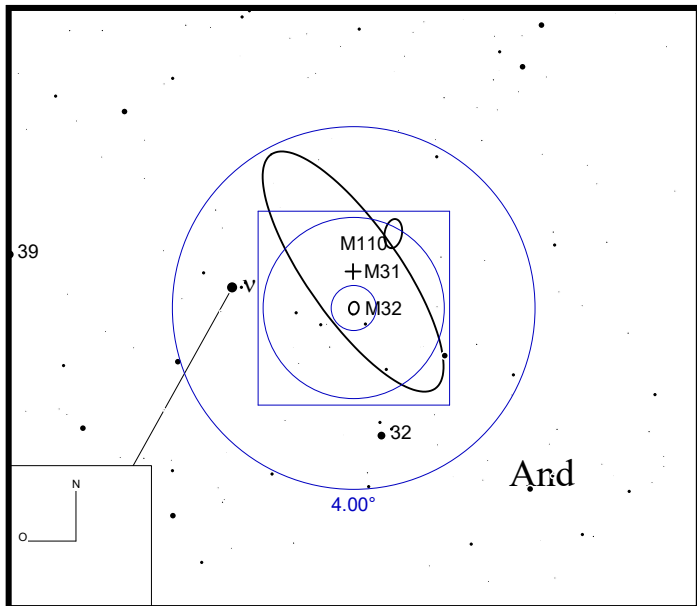
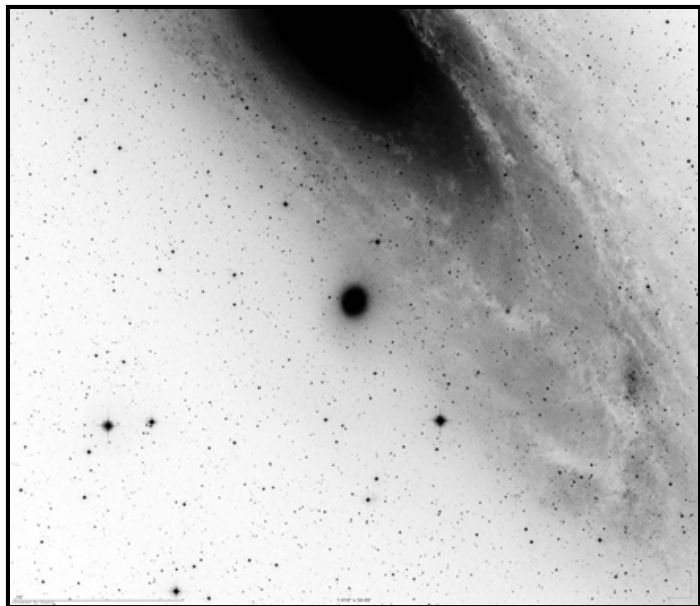
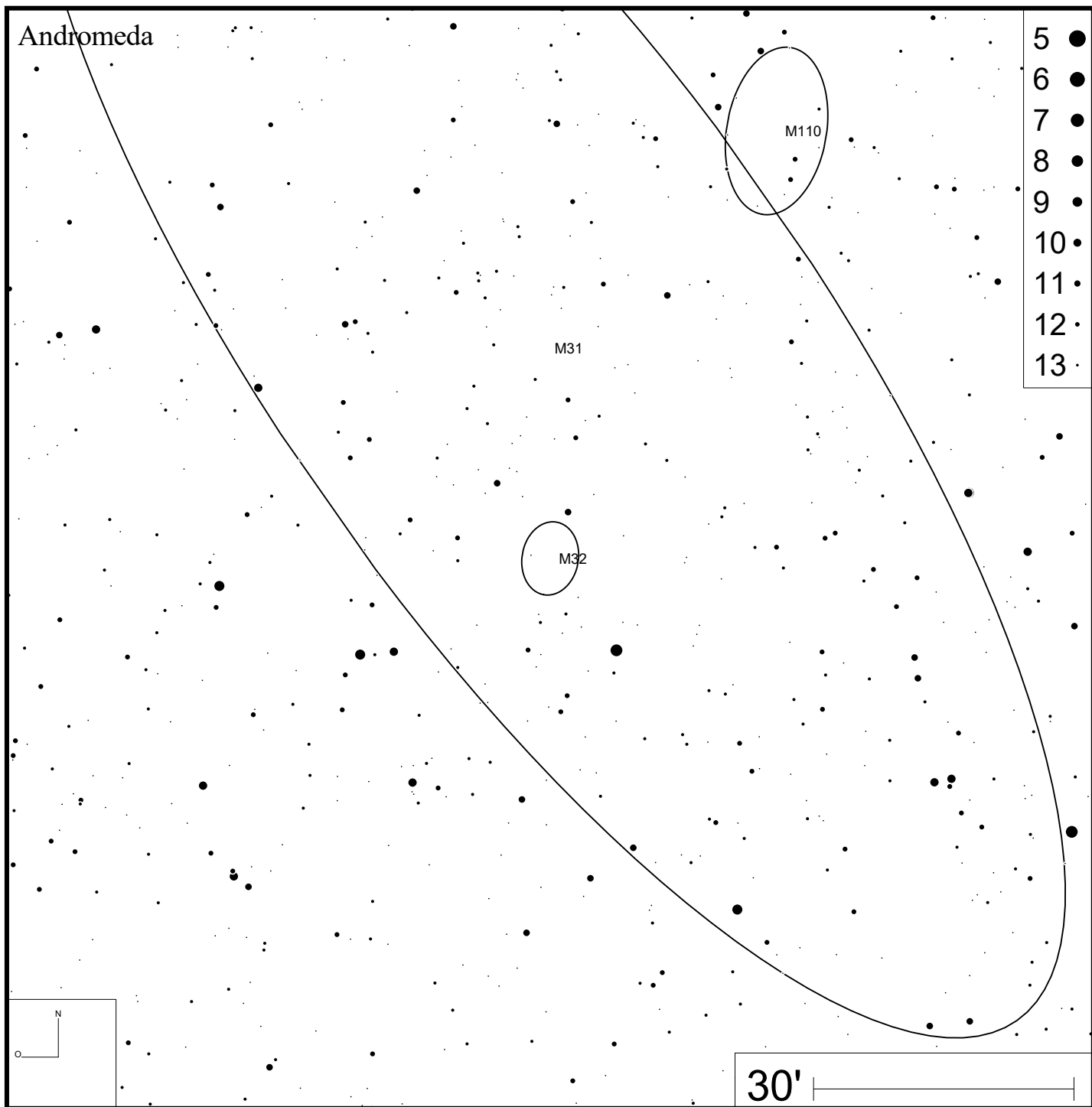


Bild: DSS





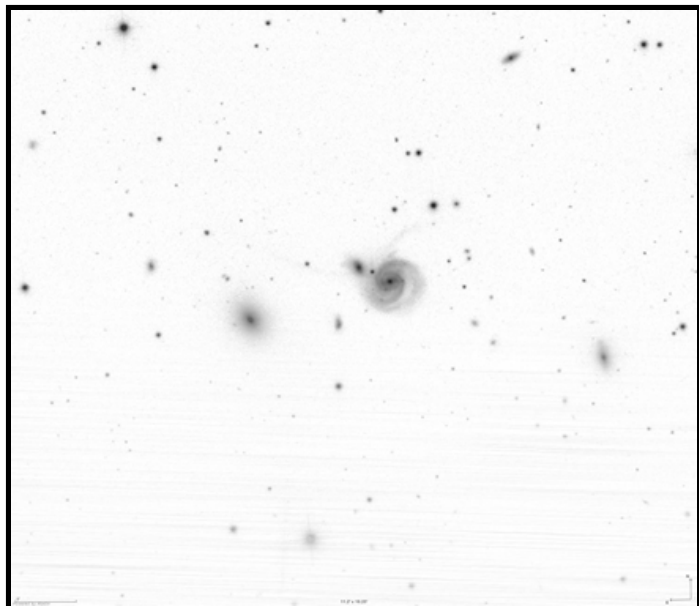
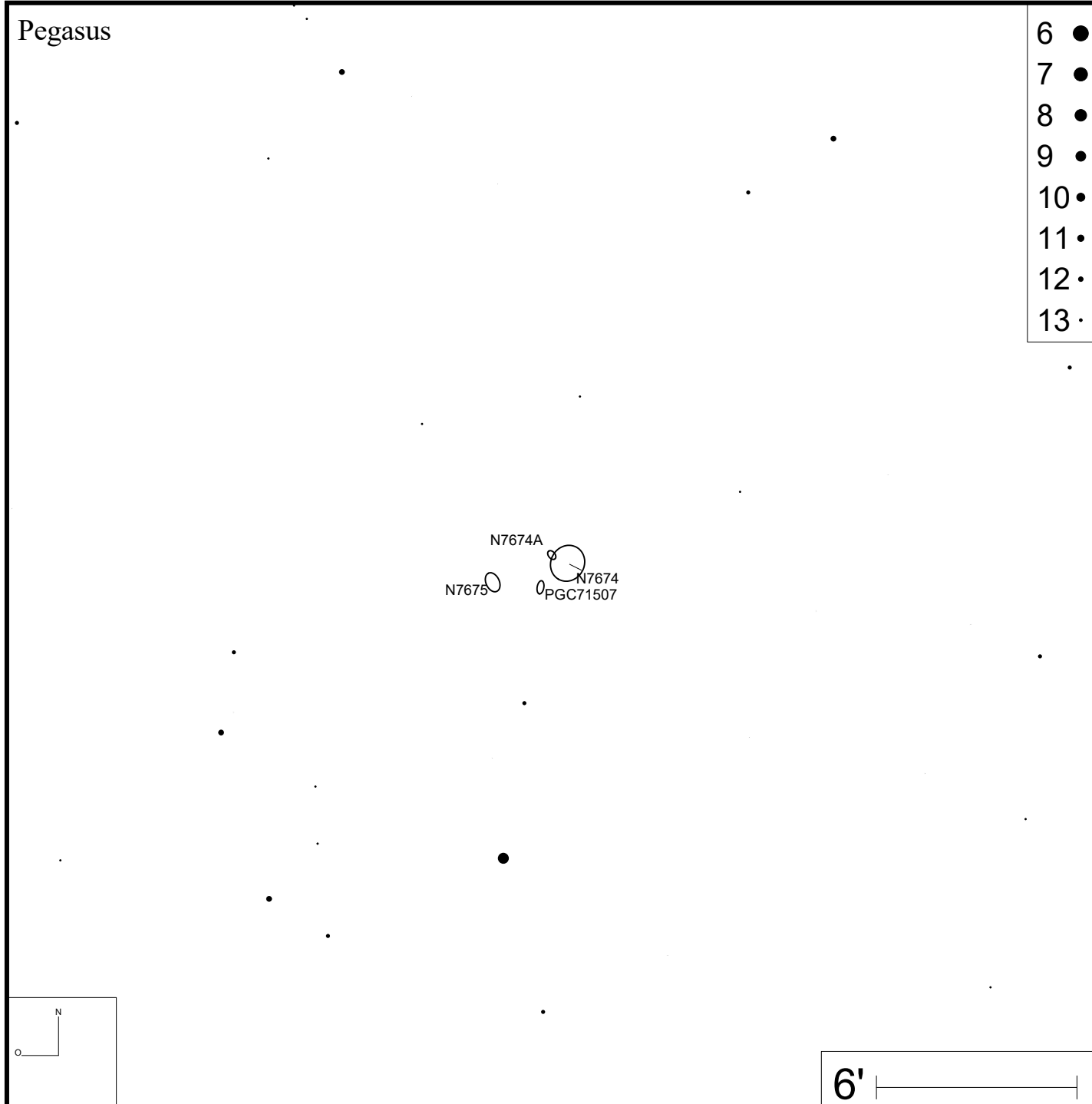
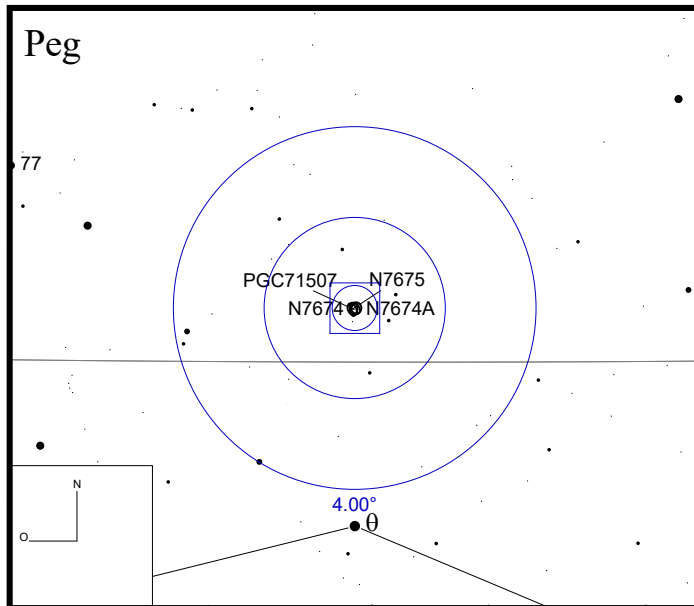


Bild: SDSS



- 6 ●
- 7 ●
- 8 ●
- 9 ●
- 10 ●
- 11 ●
- 12 ●
- 13 ●

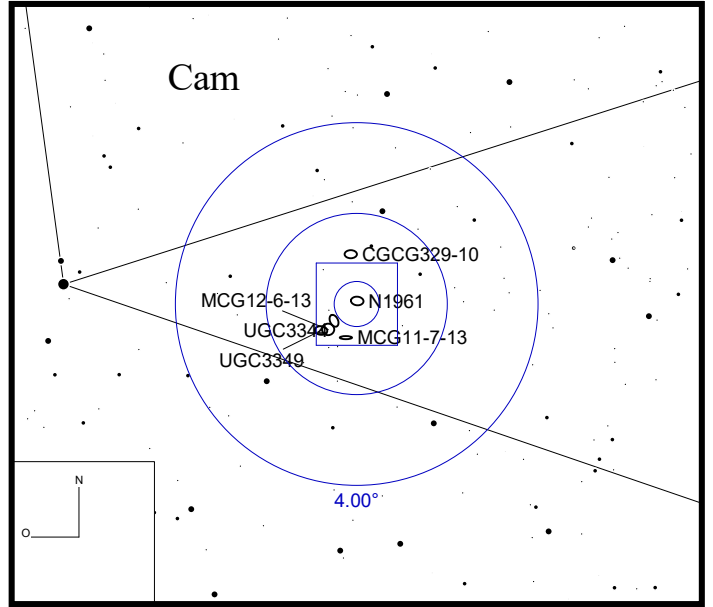
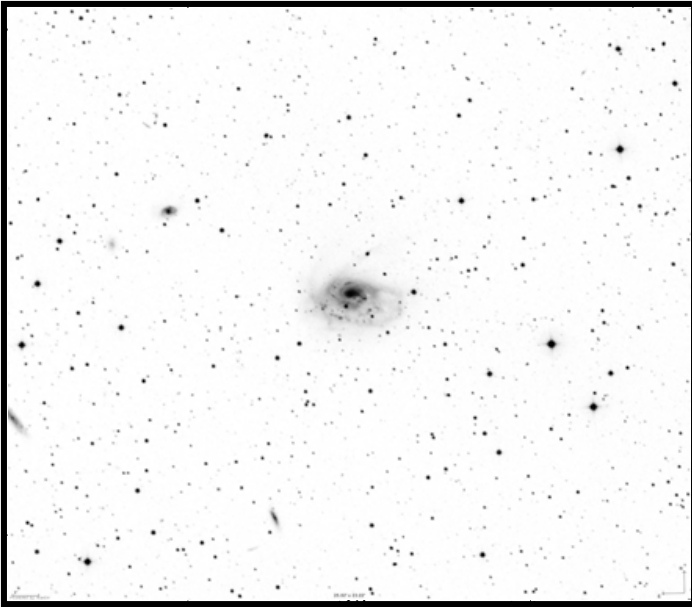
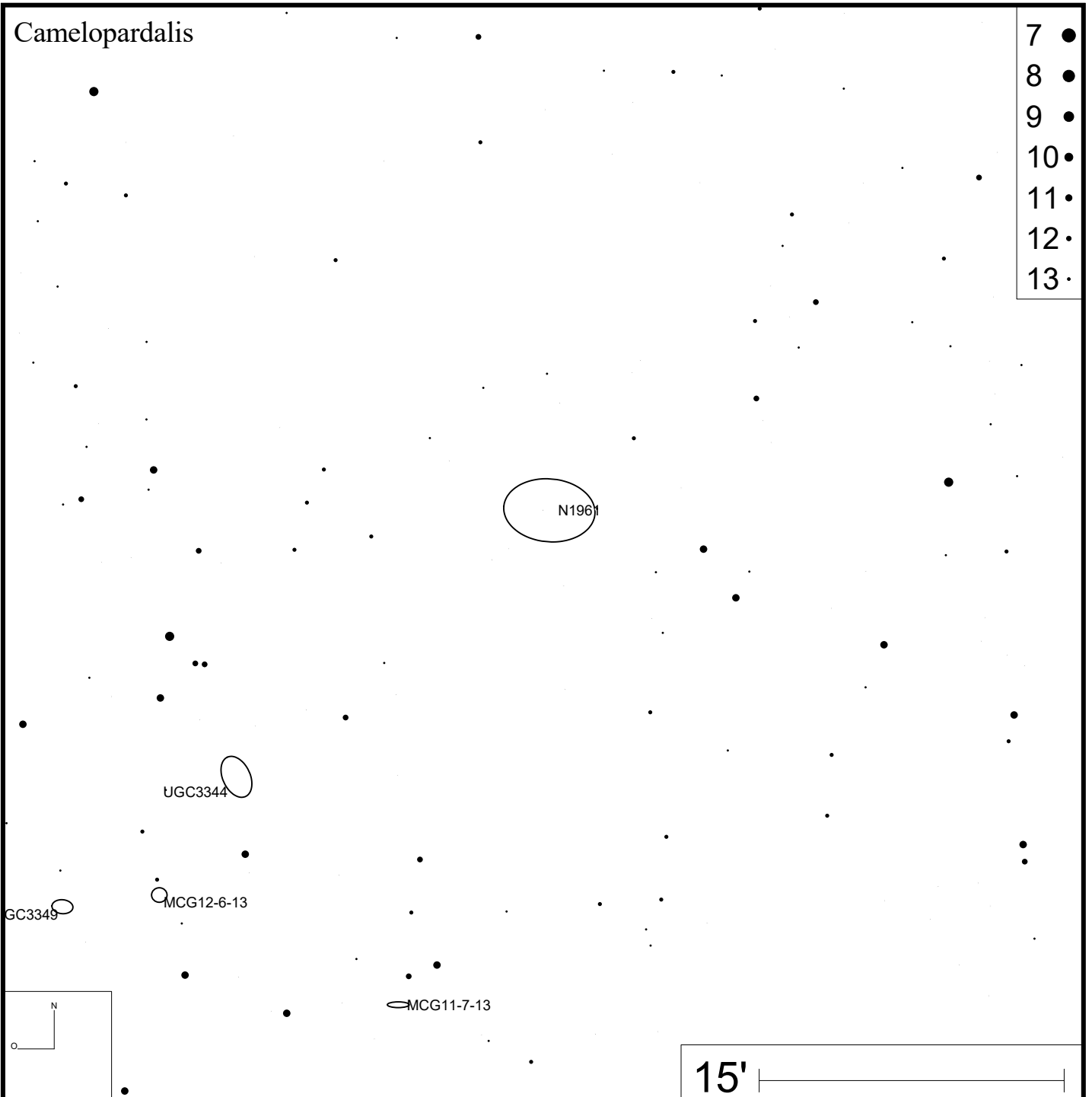


Bild: DSS



Arp 185 (NGC 6217)

RA 16h32m39s DEC +78°11'54"

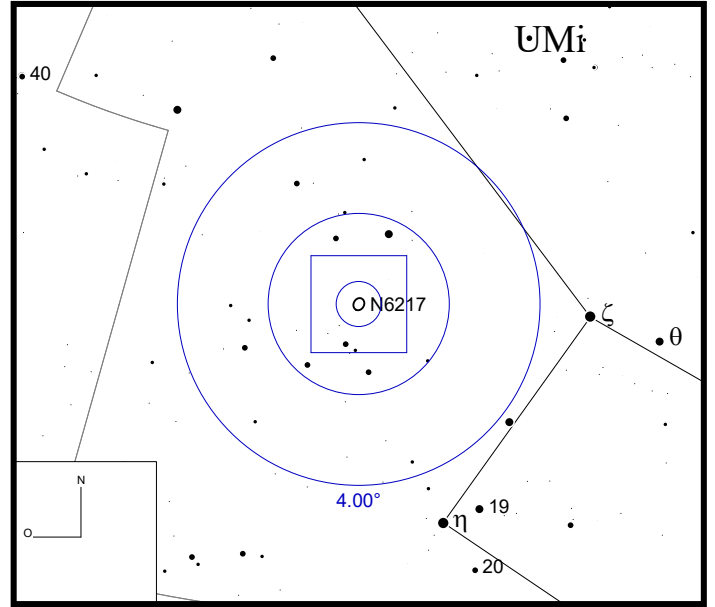
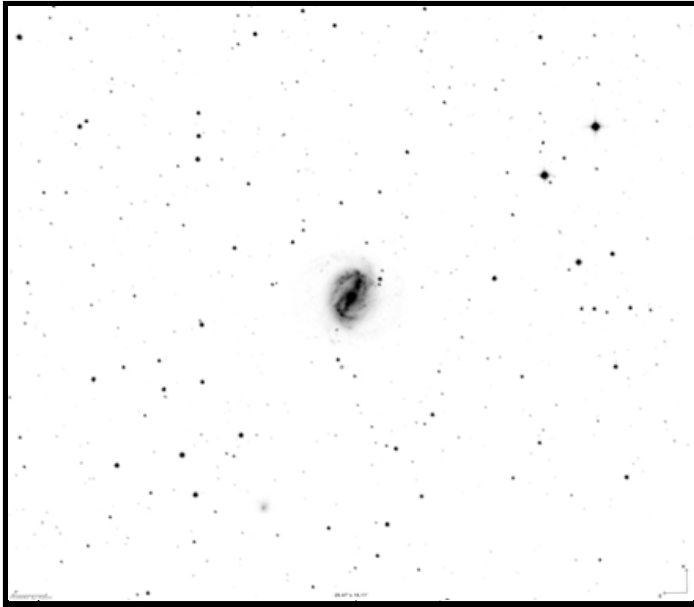
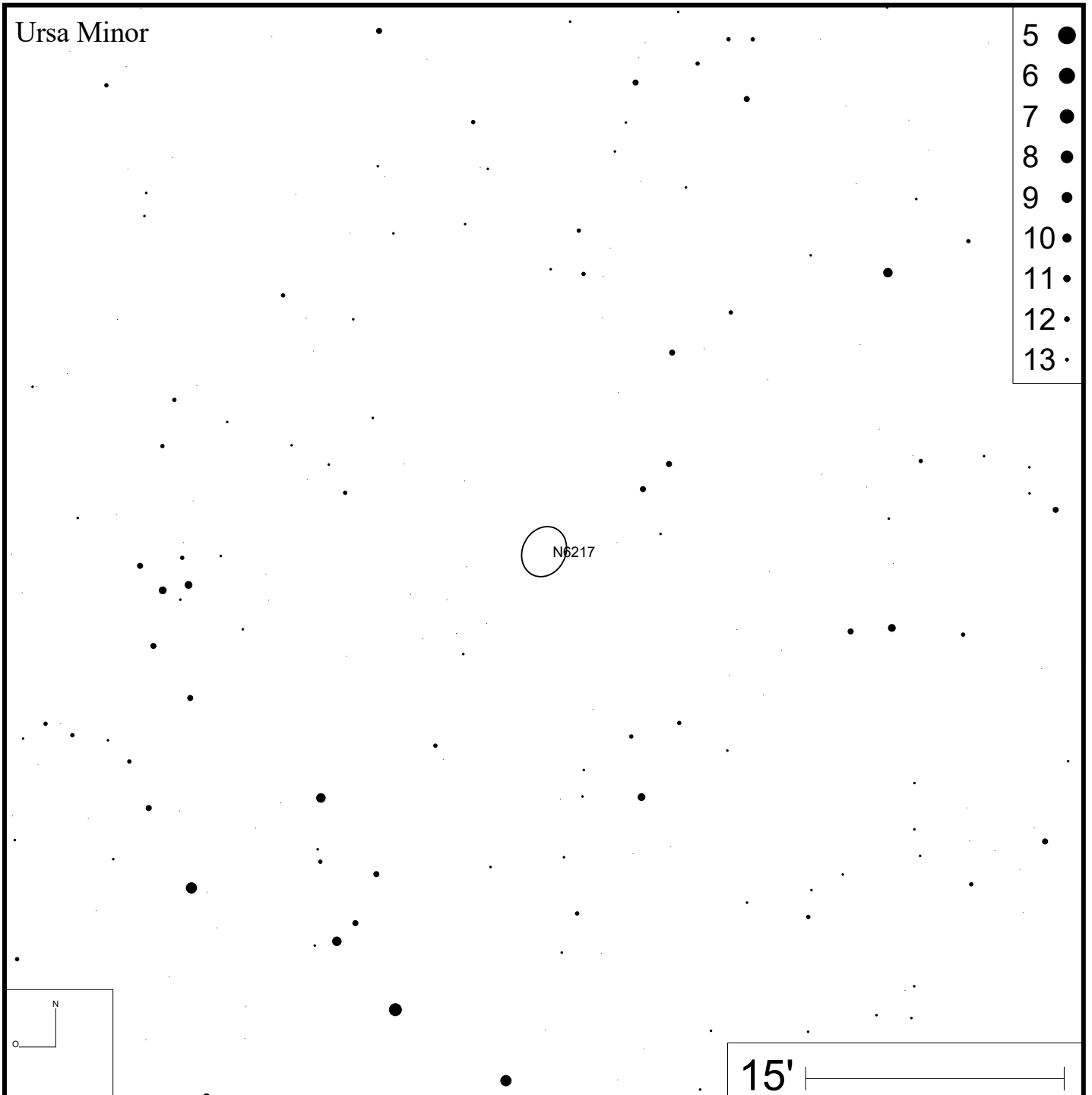


Bild: DSS

Ursa Minor



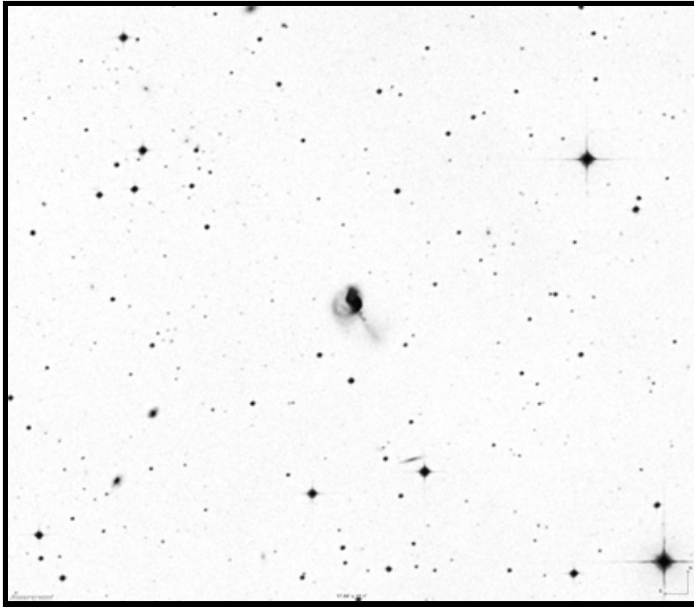
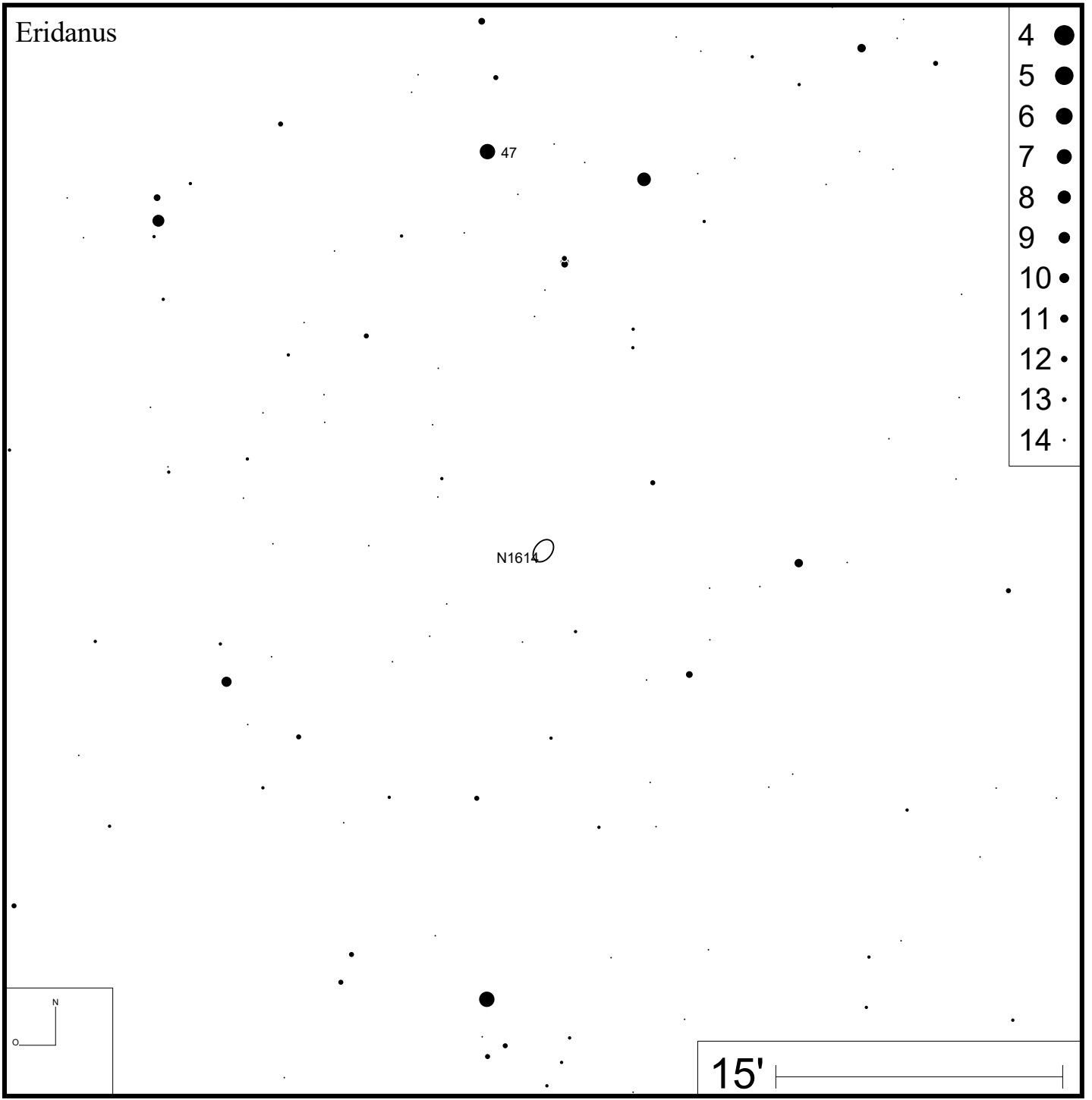
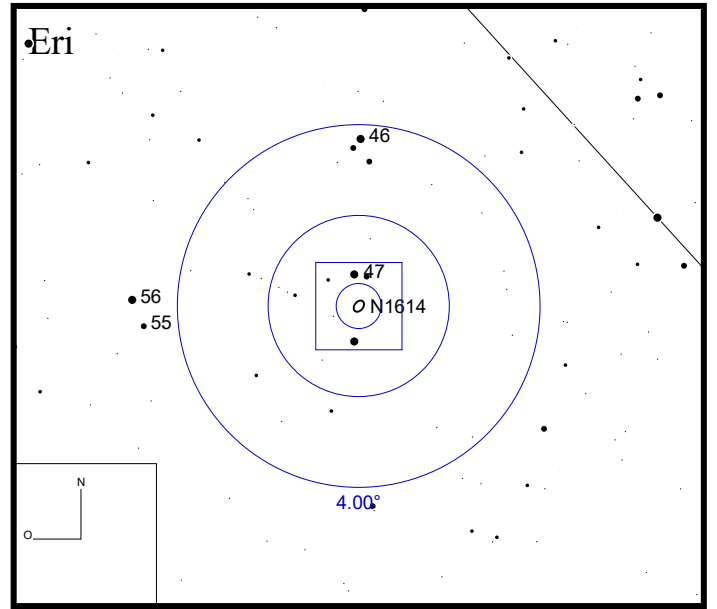


Bild: DSS



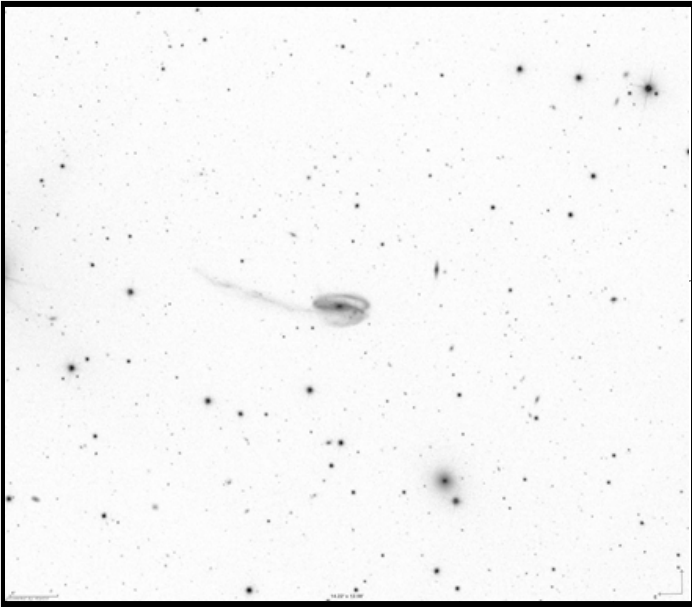
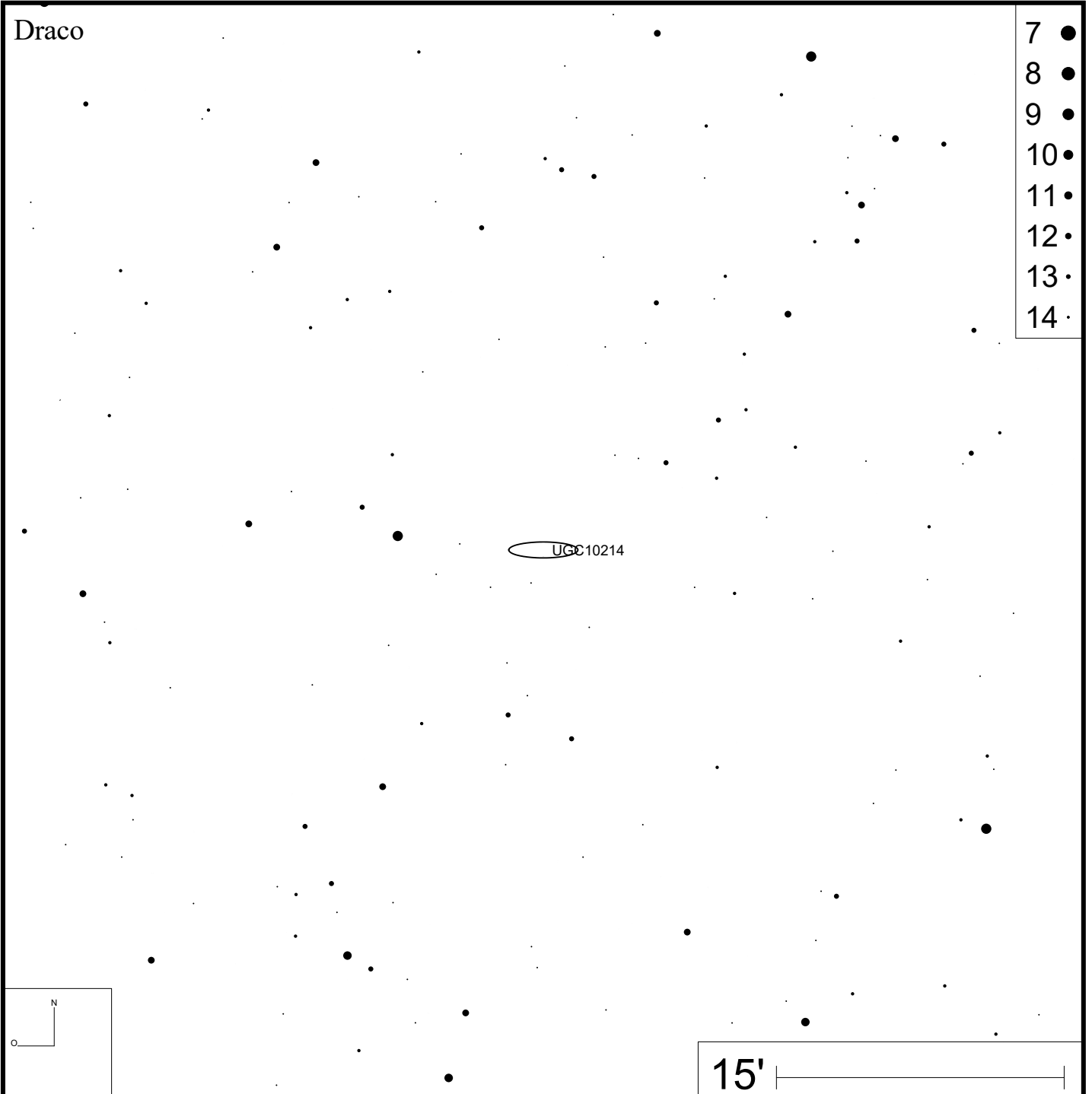
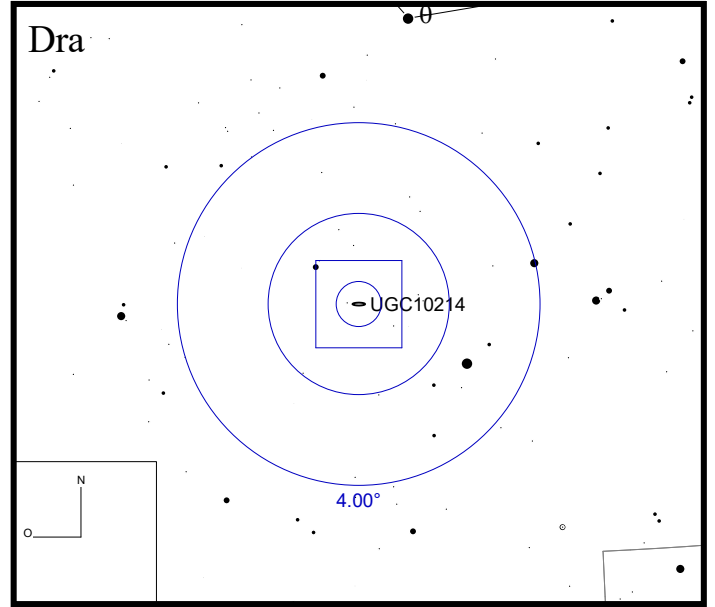


Bild: SDSS



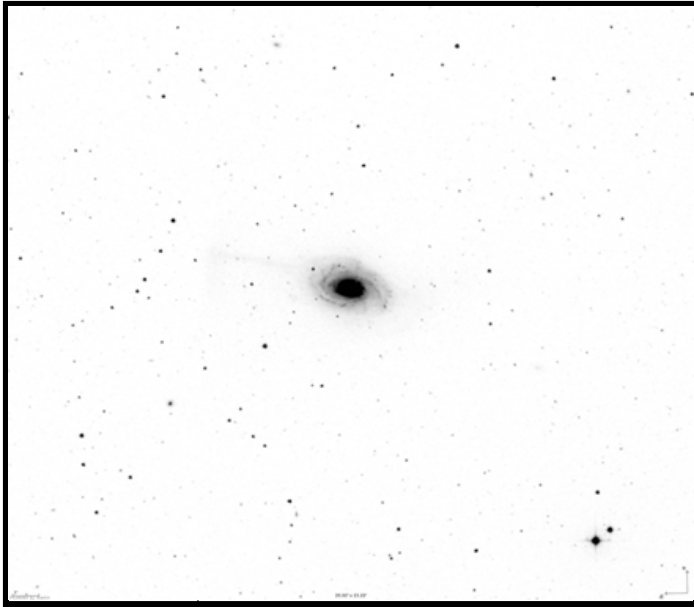
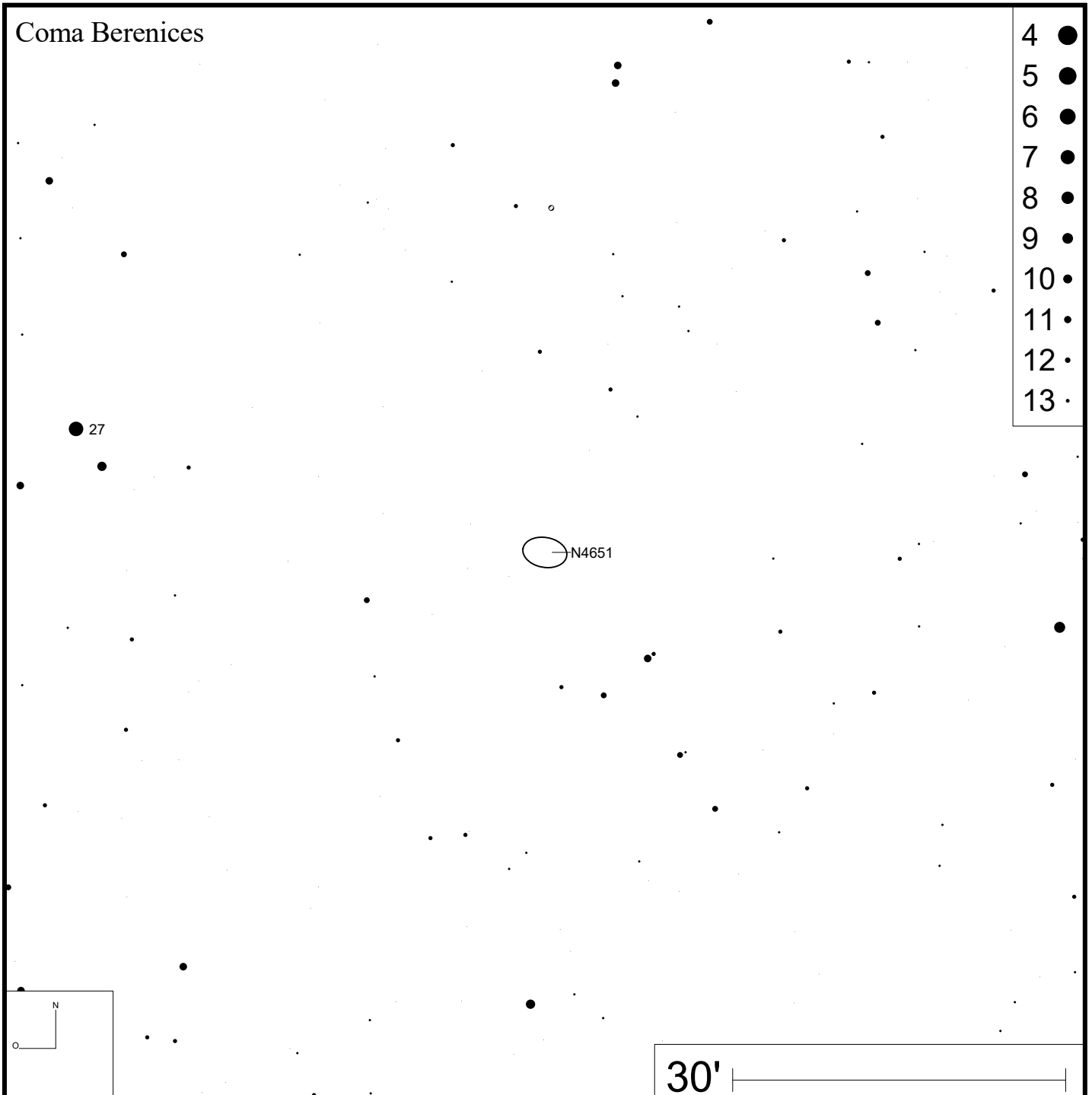
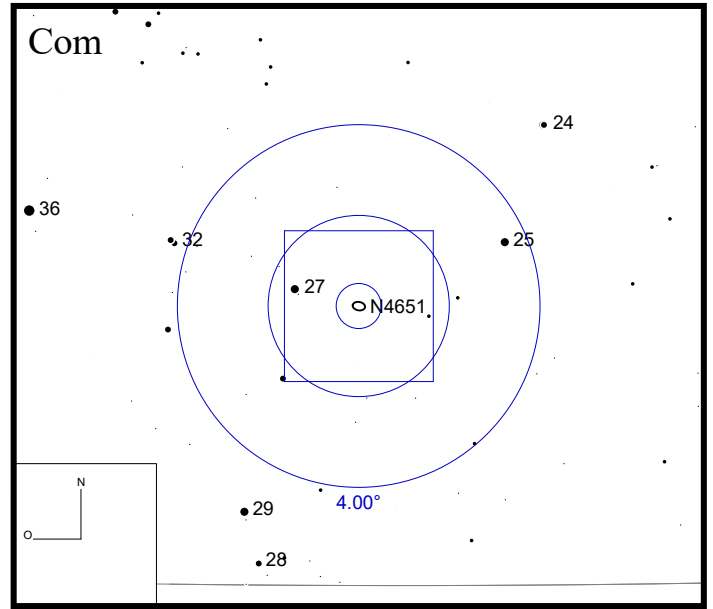


Bild: DSS



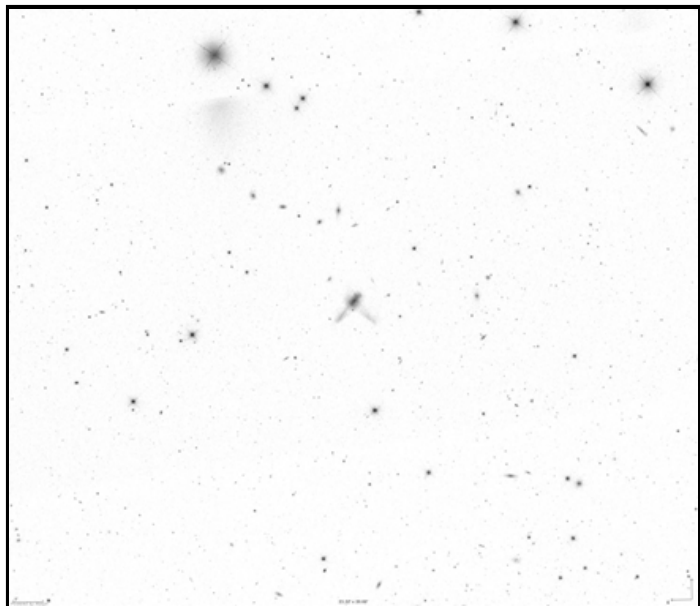
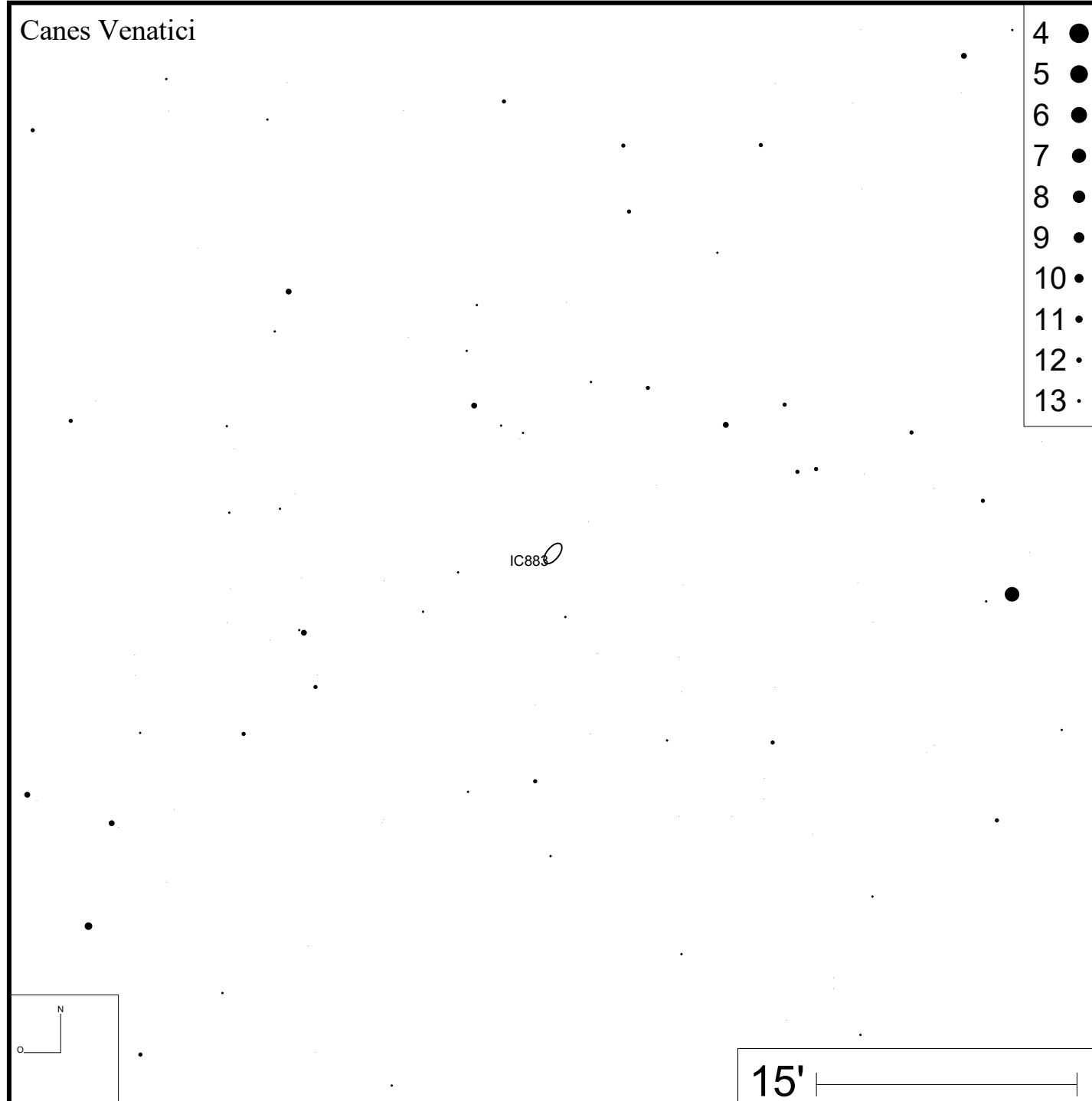
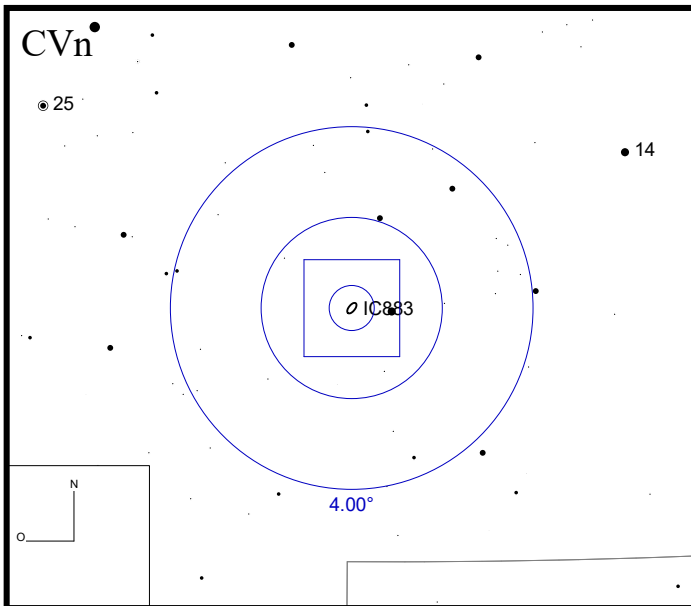


Bild: SDSS



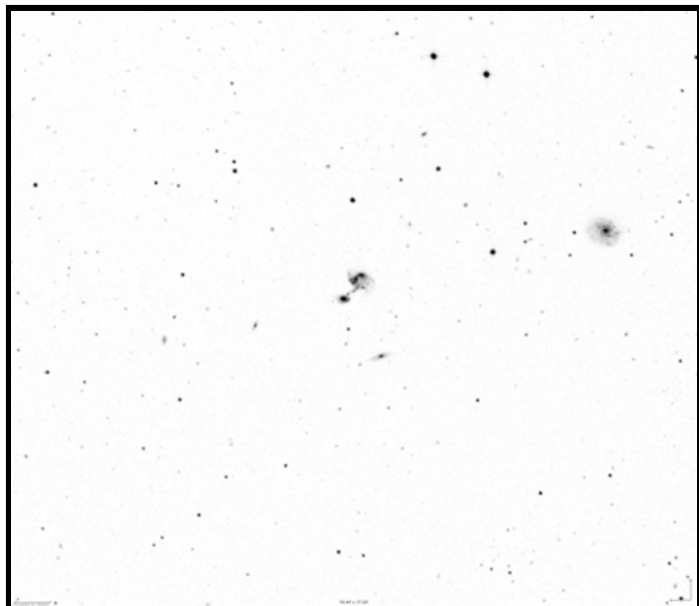
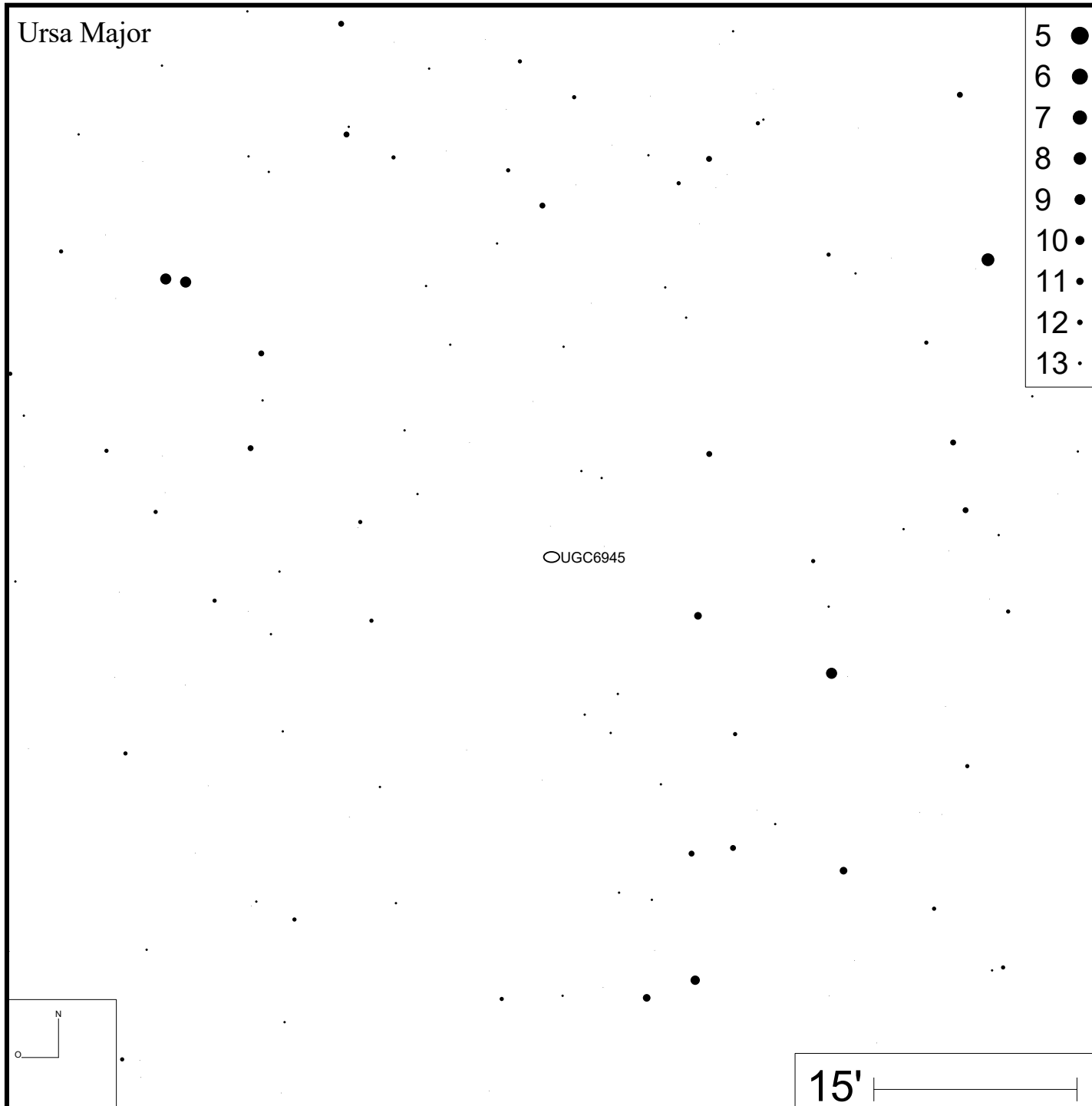
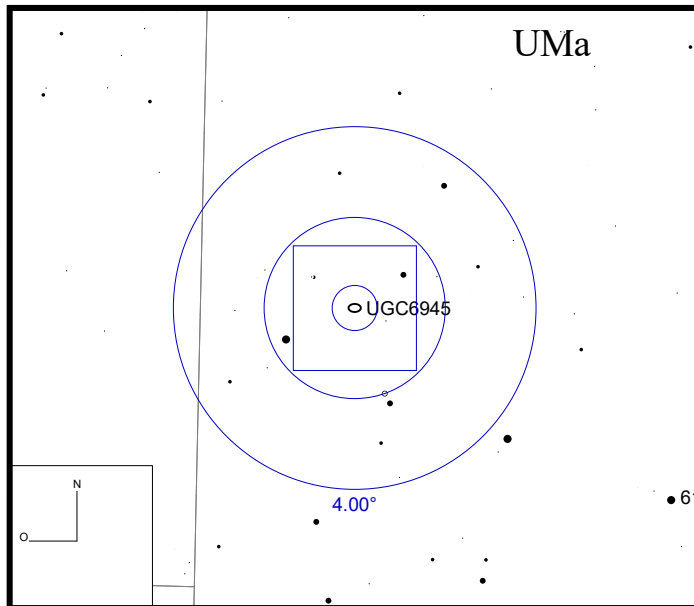


Bild: PanSTARRS





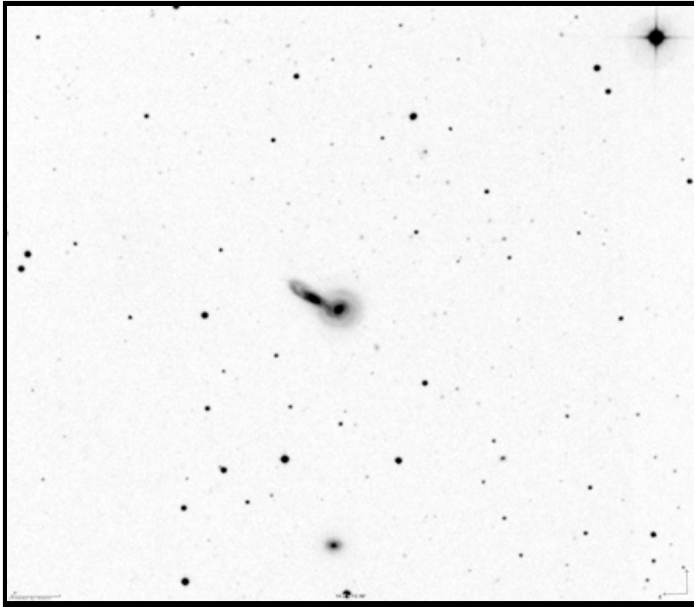
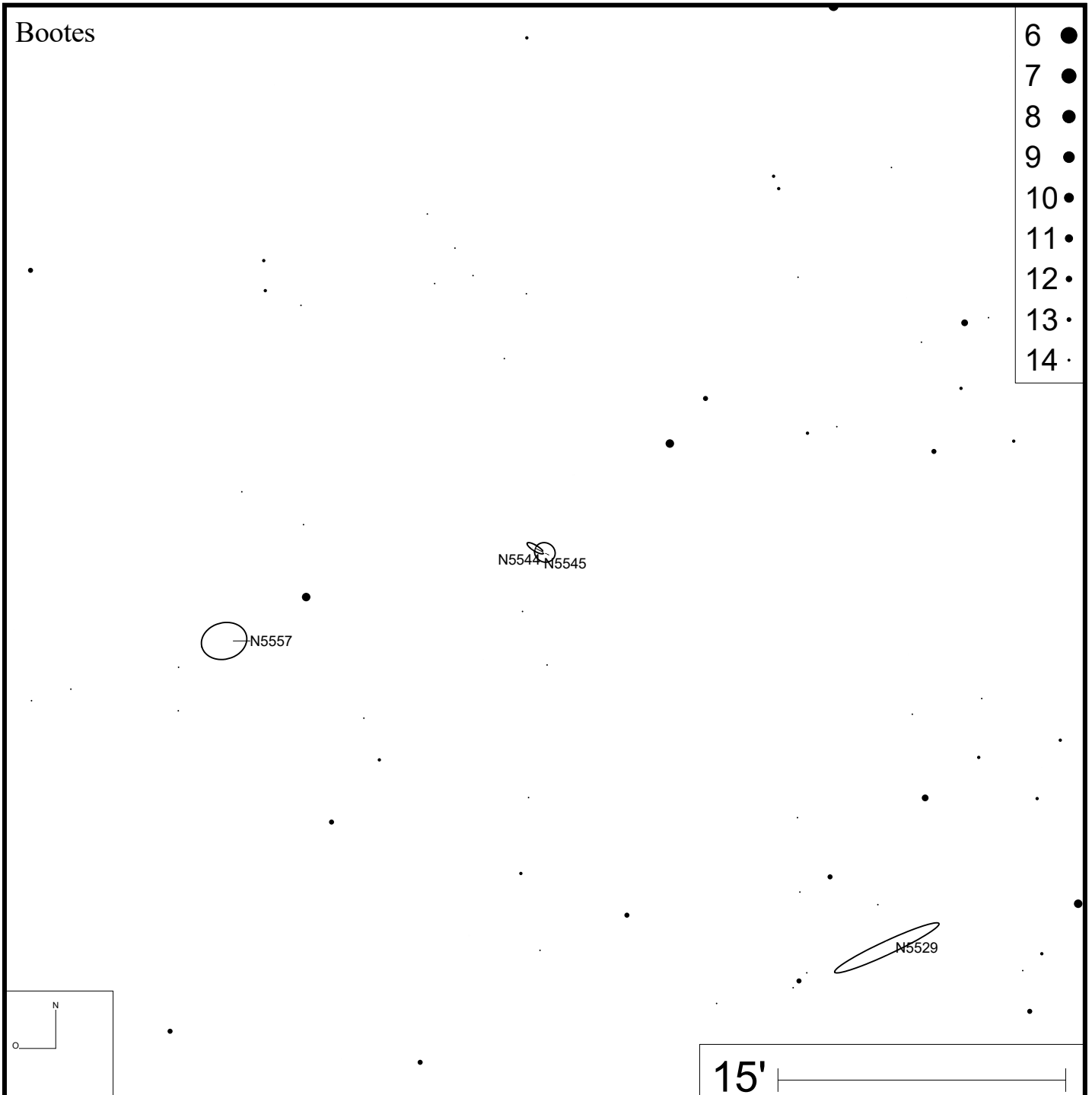
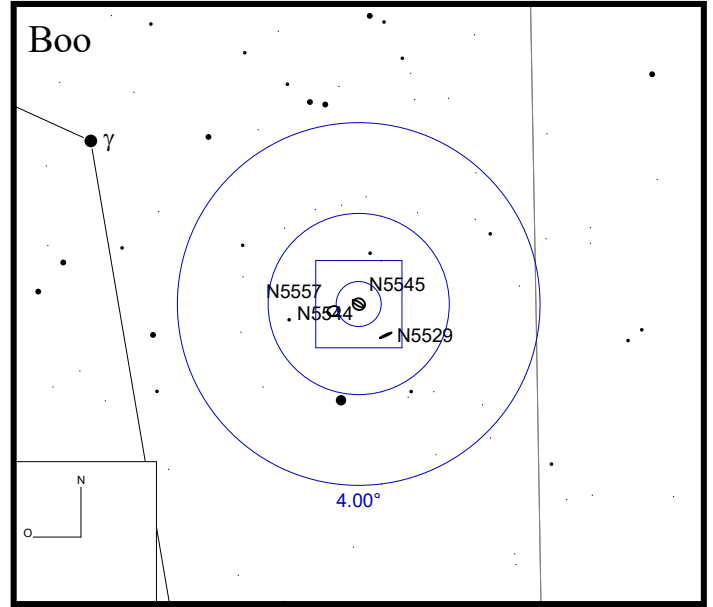


Bild: DSS



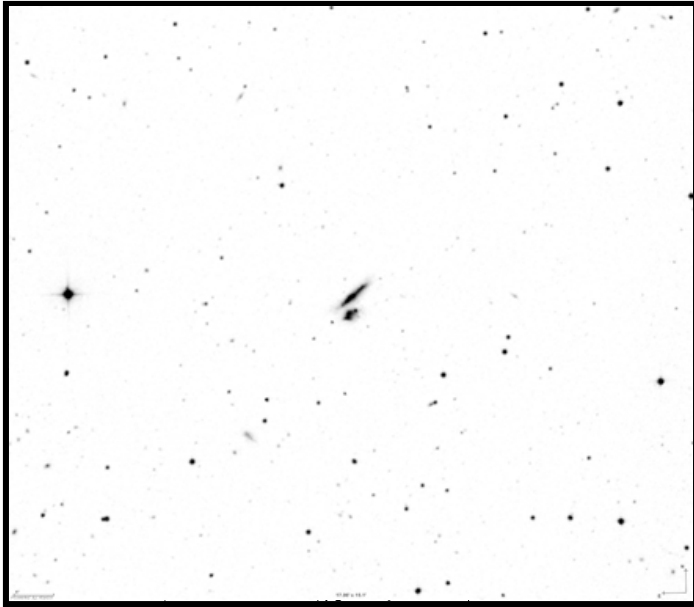
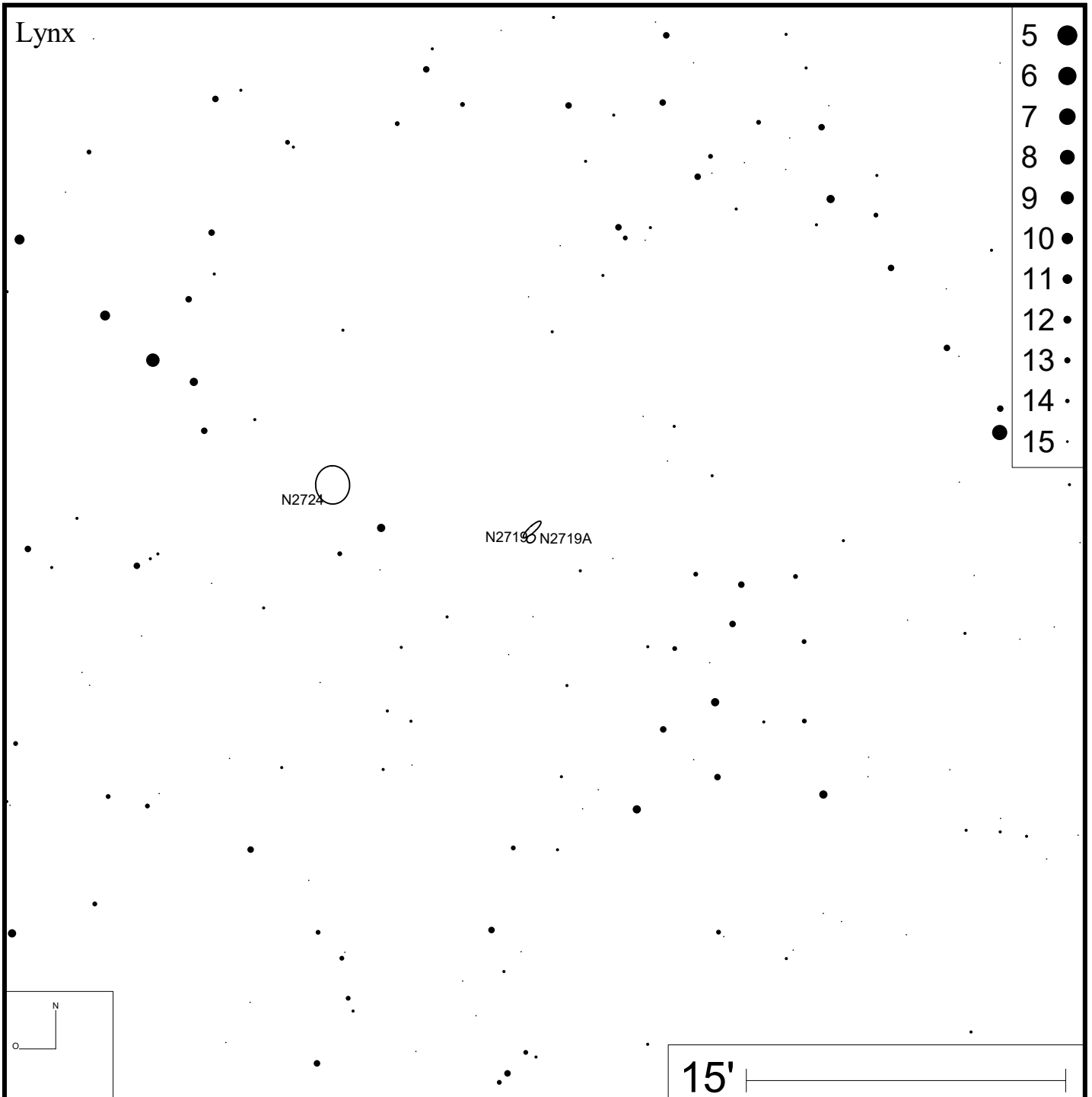
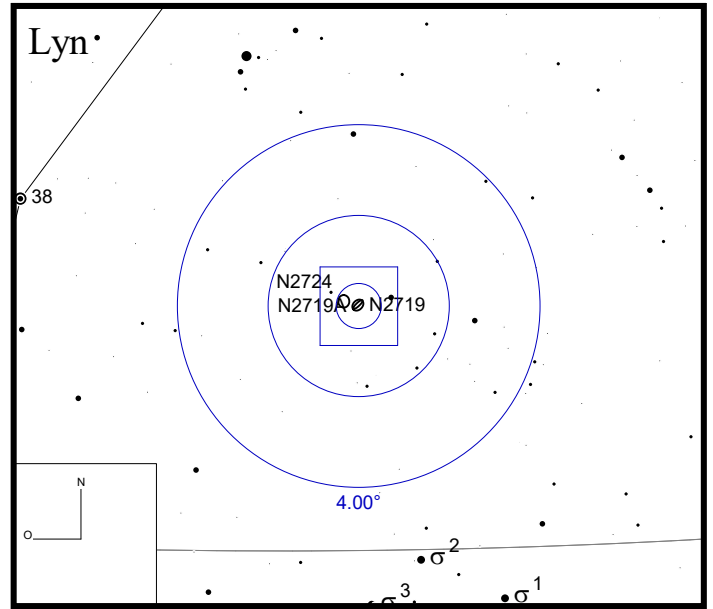


Bild: DSS



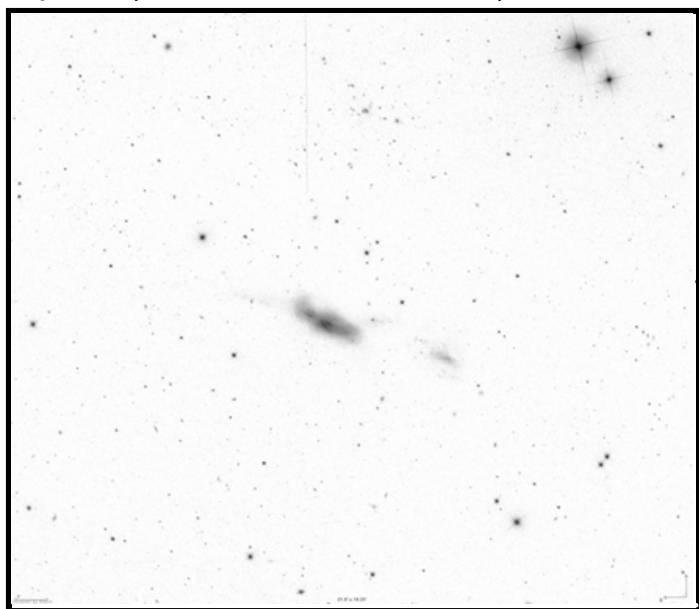
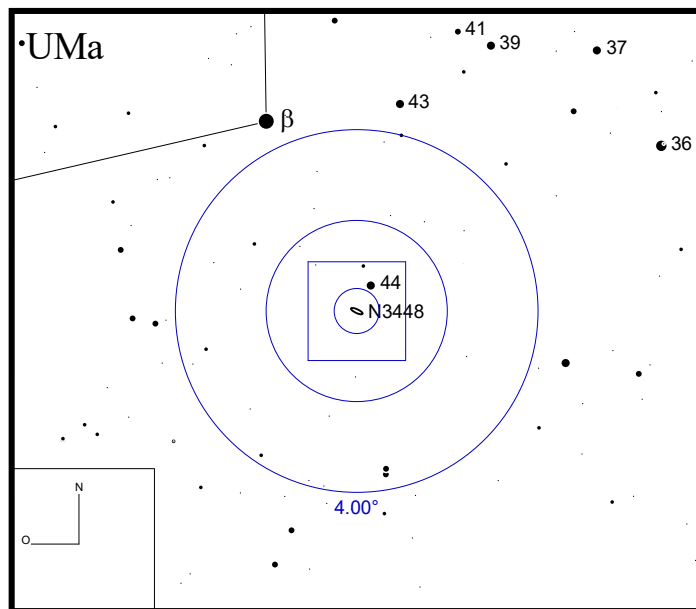
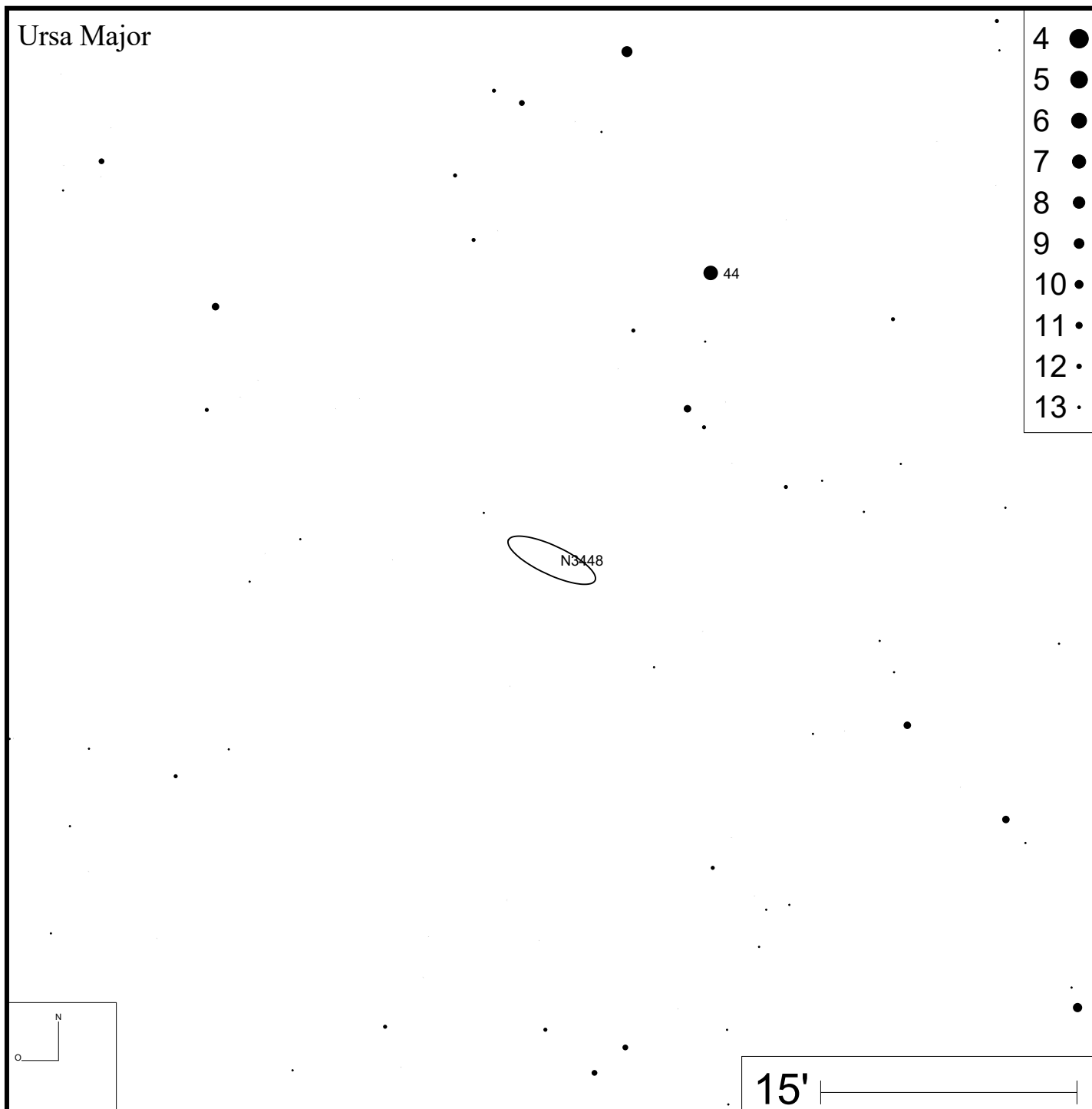


Bild: SDSS



# Ursa Major



- 4 ●
- 5 ●
- 6 ●
- 7 ●
- 8 ●
- 9 ●
- 10 ●
- 11 ●
- 12 ●
- 13 ●

Arp 206 (NGC 3432)

RA 10h52m31s DEC +36°37'08"

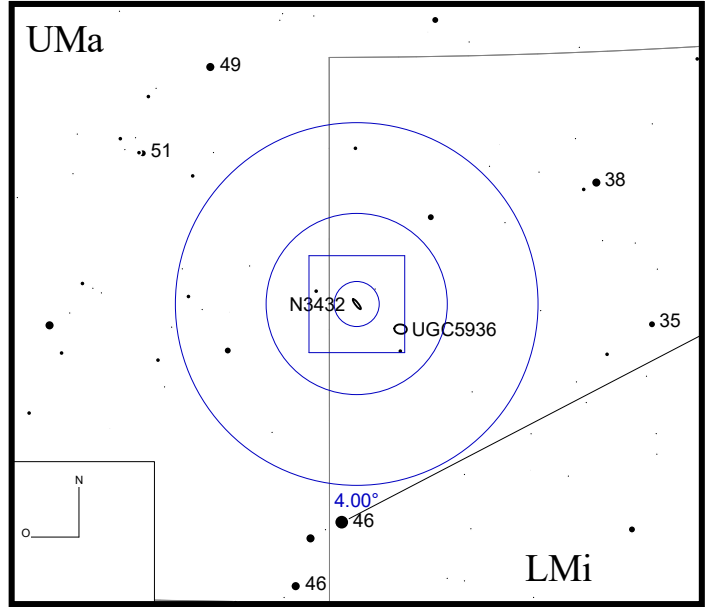
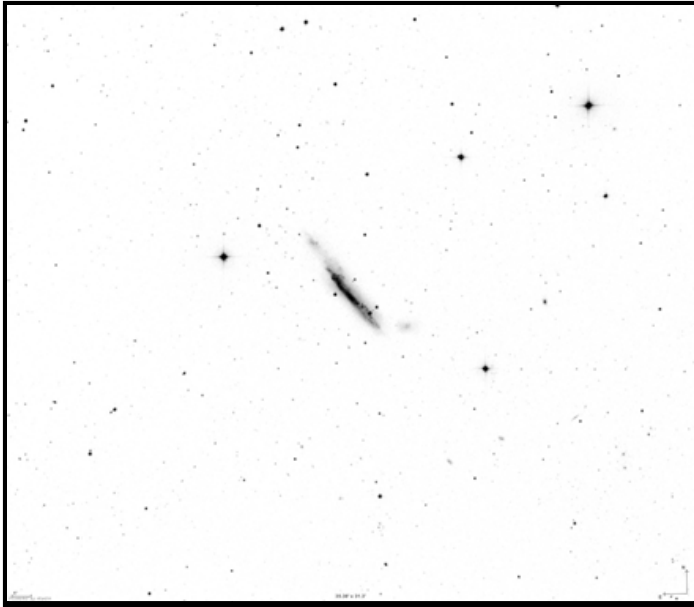
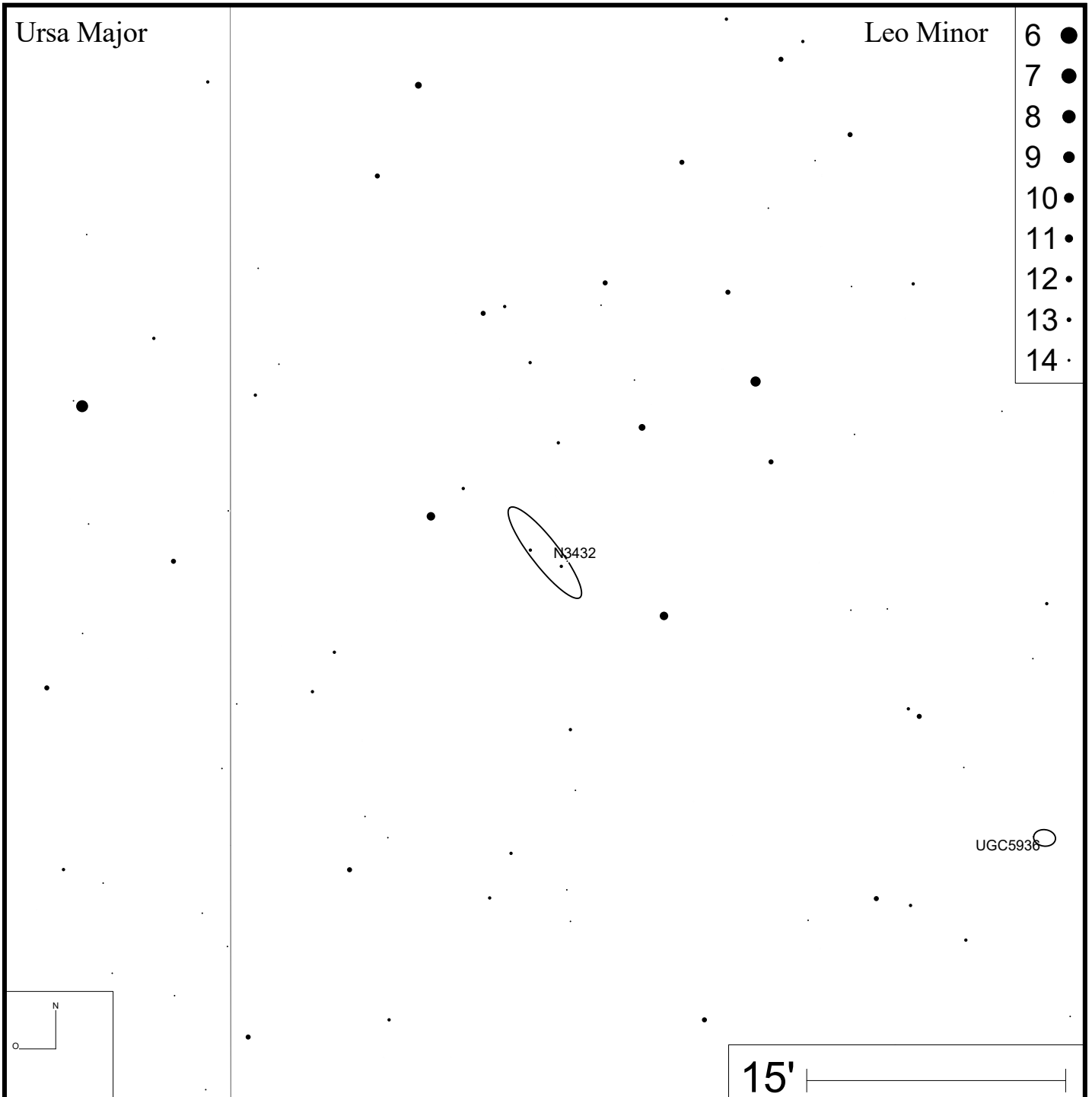


Bild: DSS



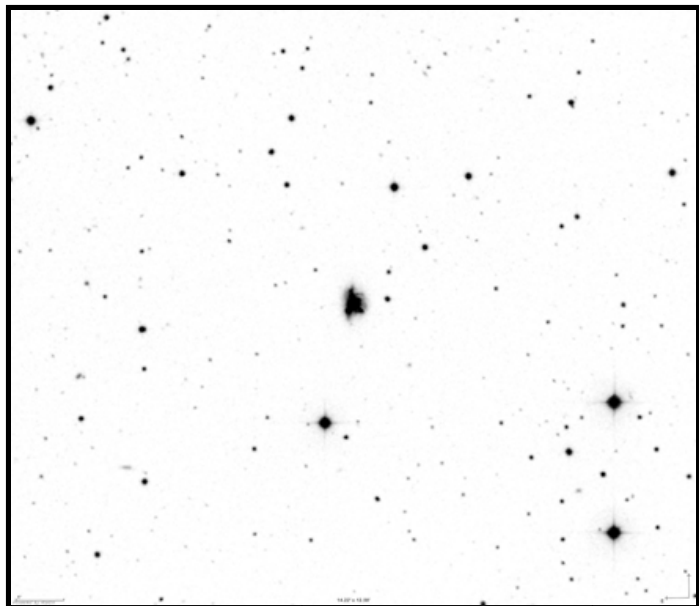
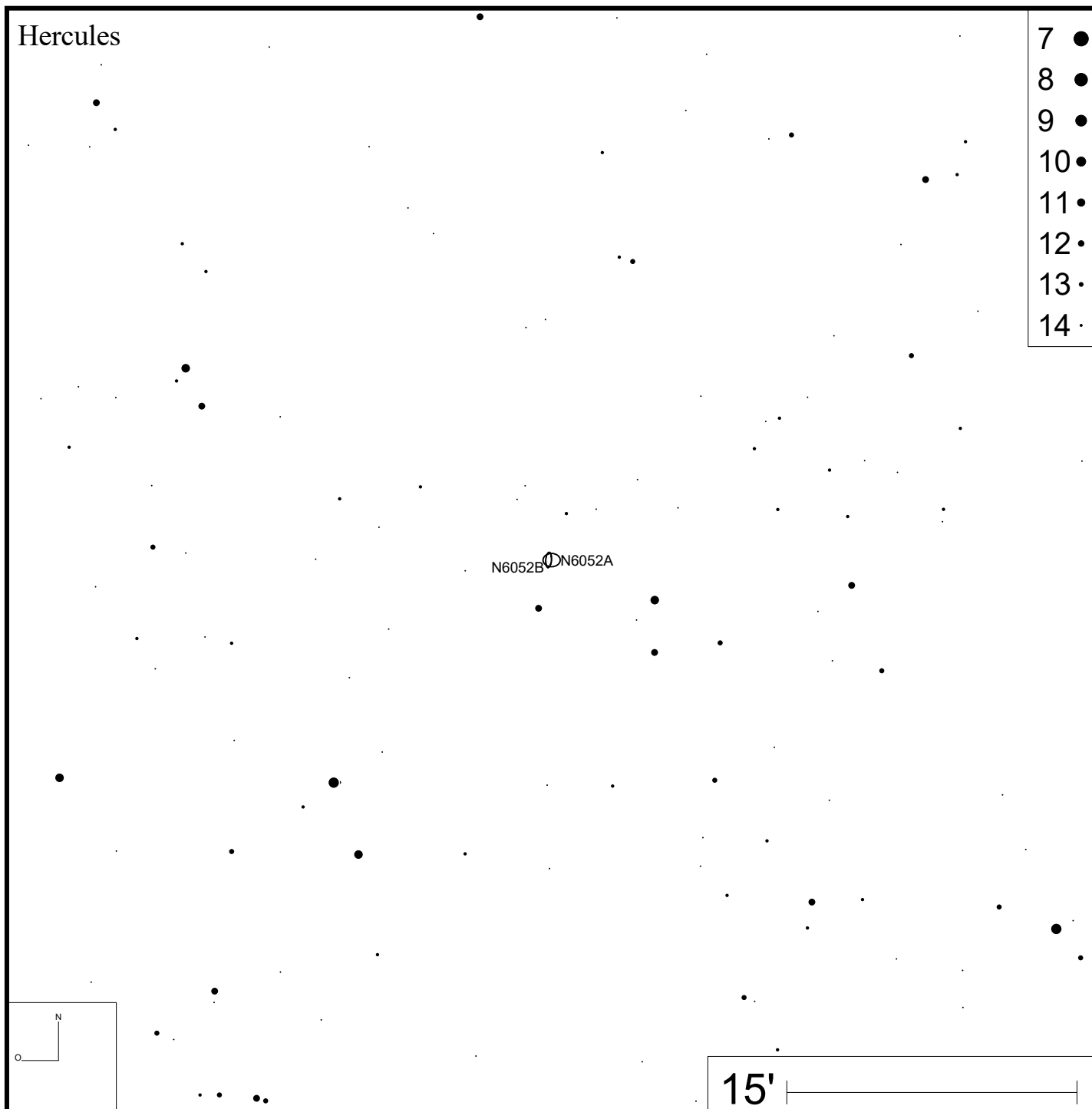
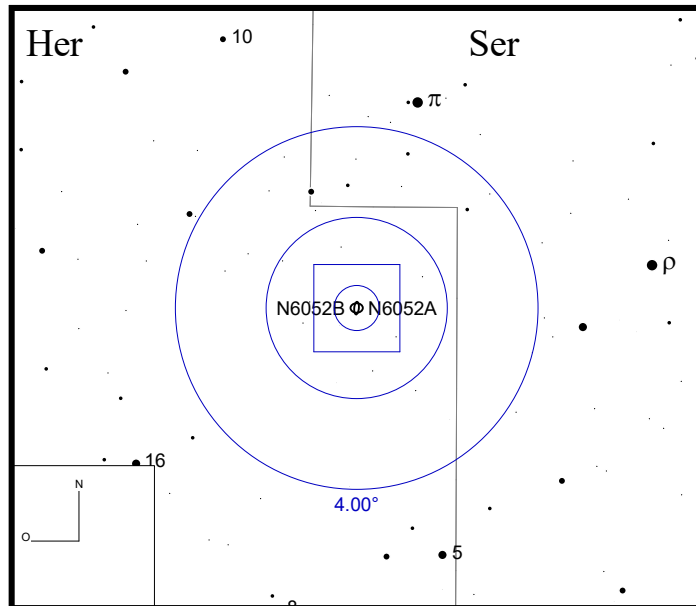


Bild: DSS



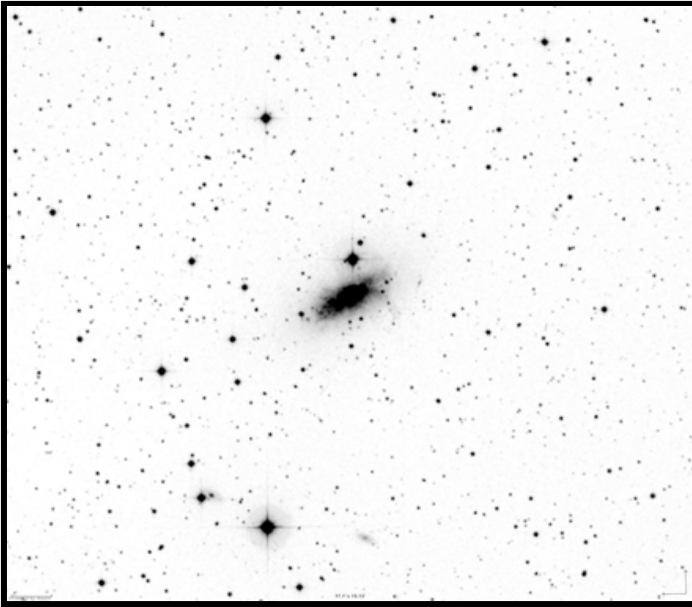
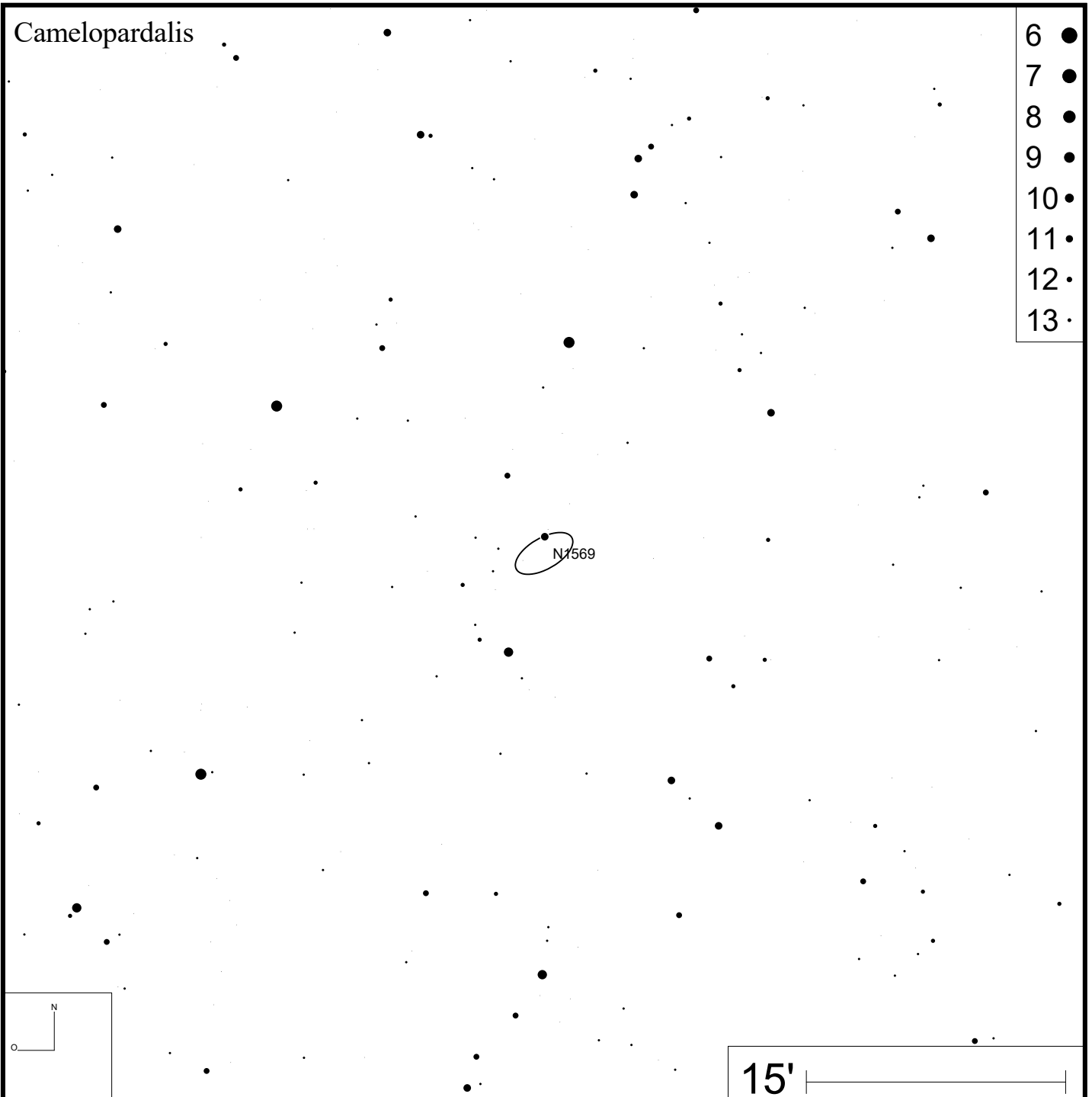
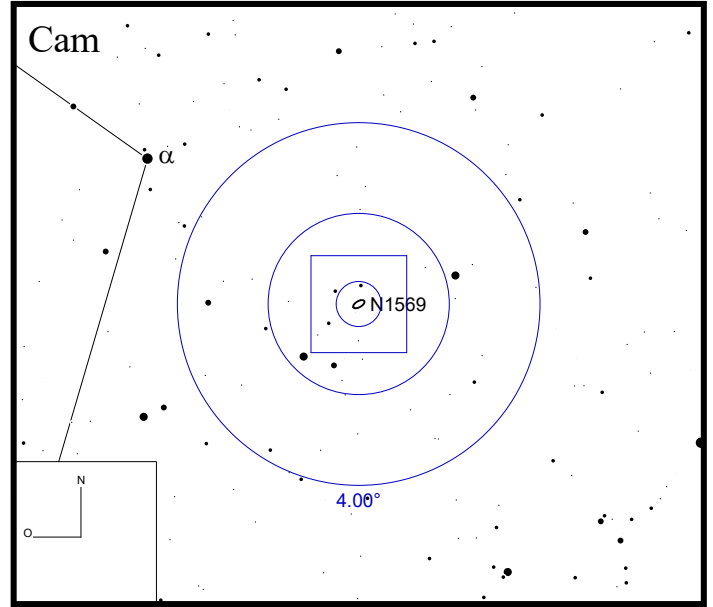


Bild: DSS



- 6 ●
- 7 ●
- 8 ●
- 9 ●
- 10 ●
- 11 ●
- 12 ●
- 13 ●

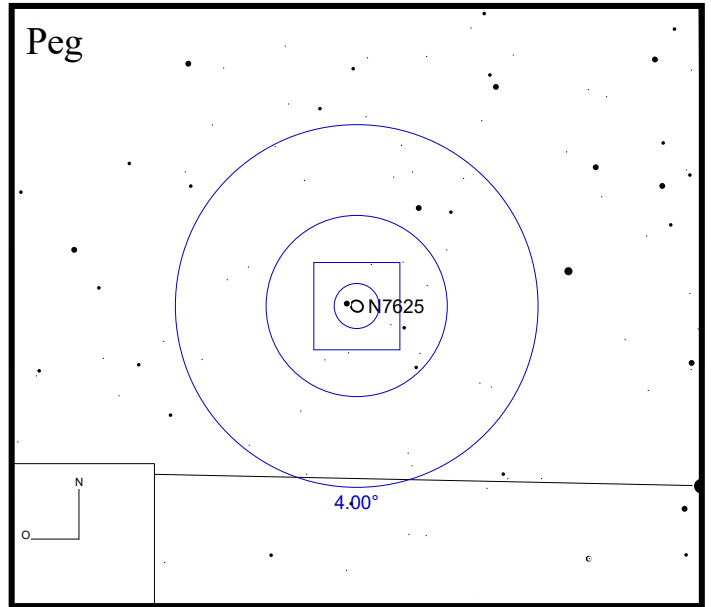
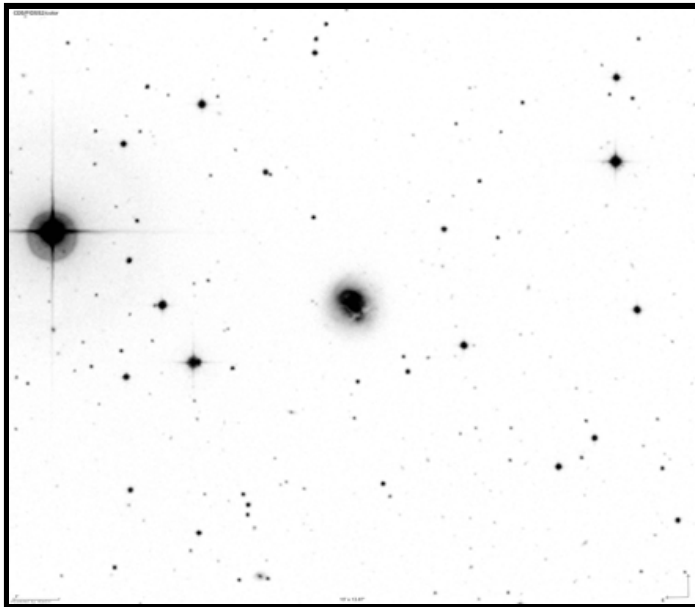
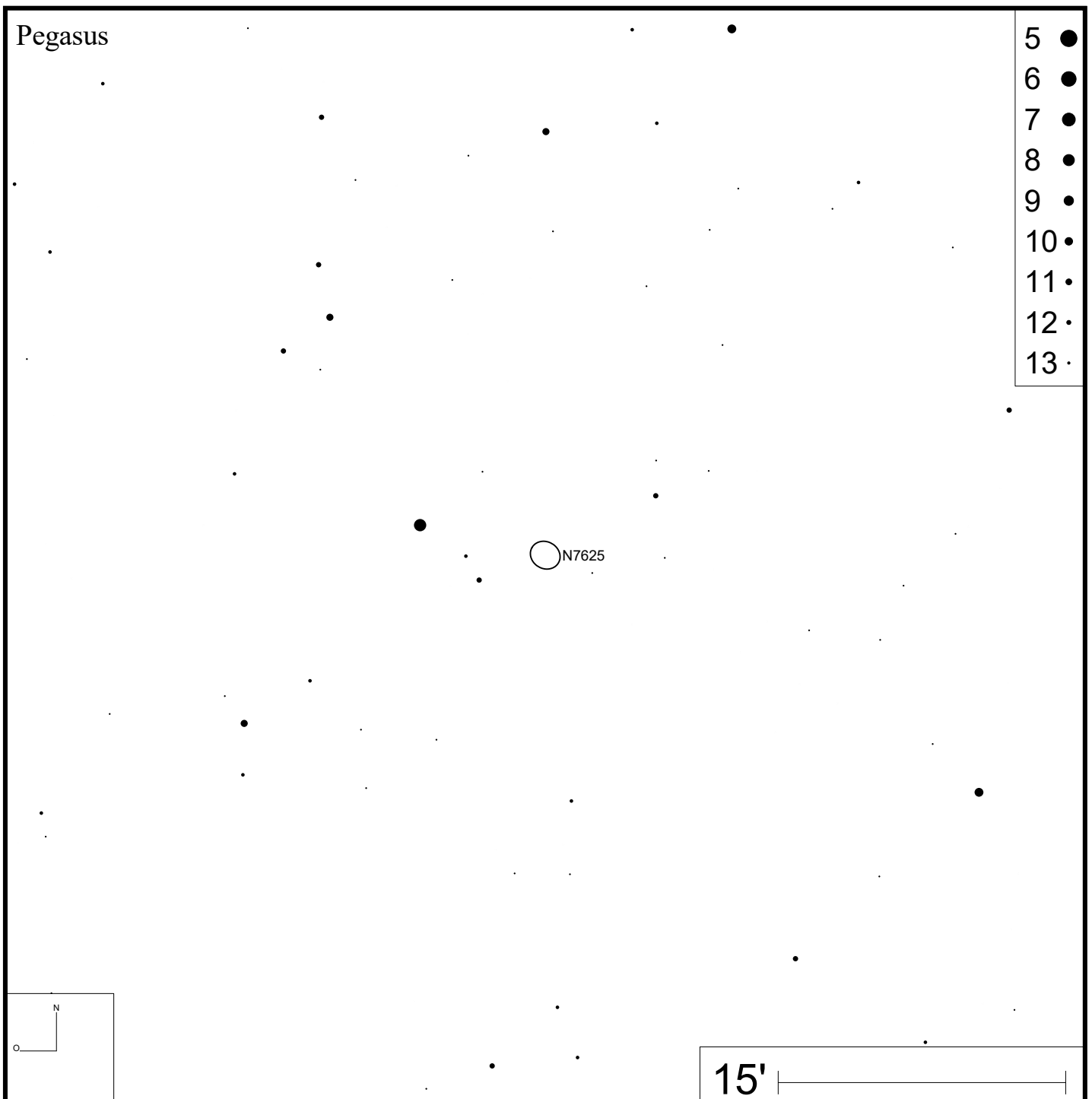


Bild: DSS



- 5 ●
- 6 ●
- 7 ●
- 8 ●
- 9 ●
- 10 ●
- 11 ●
- 12 ●
- 13 ●

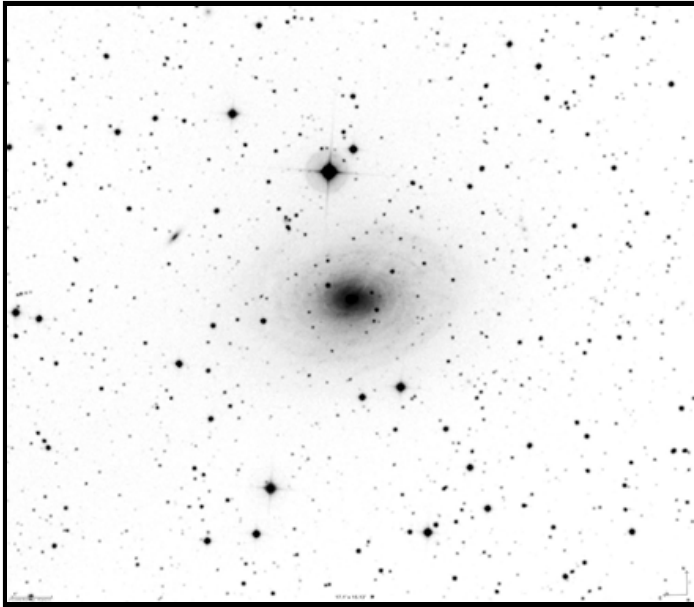
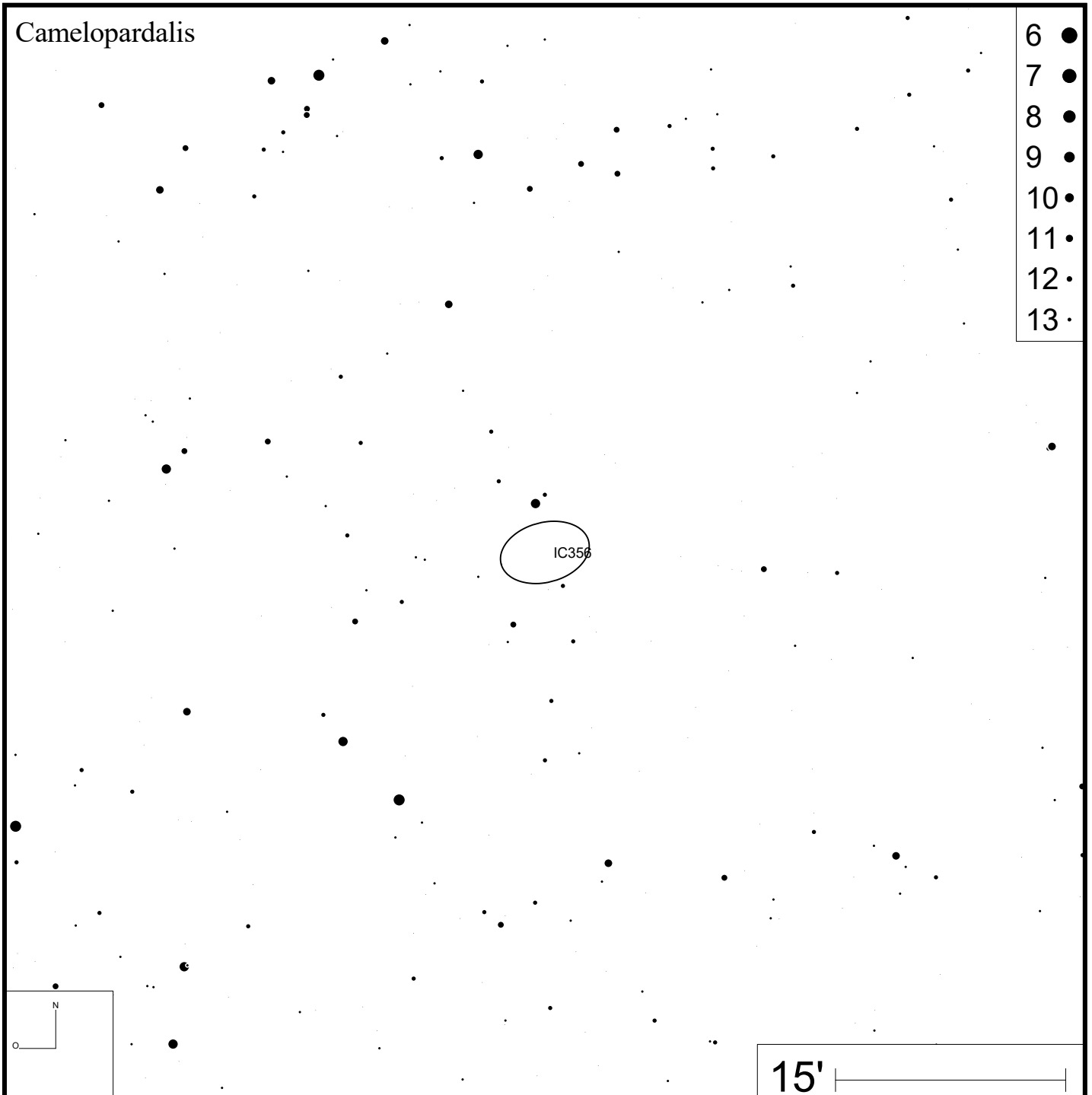
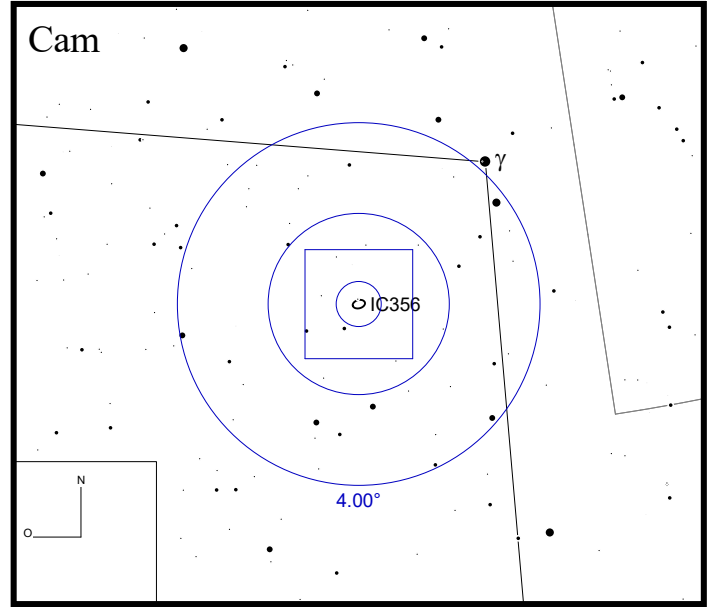


Bild: DSS



- 6 ●
- 7 ●
- 8 ●
- 9 ●
- 10 ●
- 11 ●
- 12 ●
- 13 ●

15'



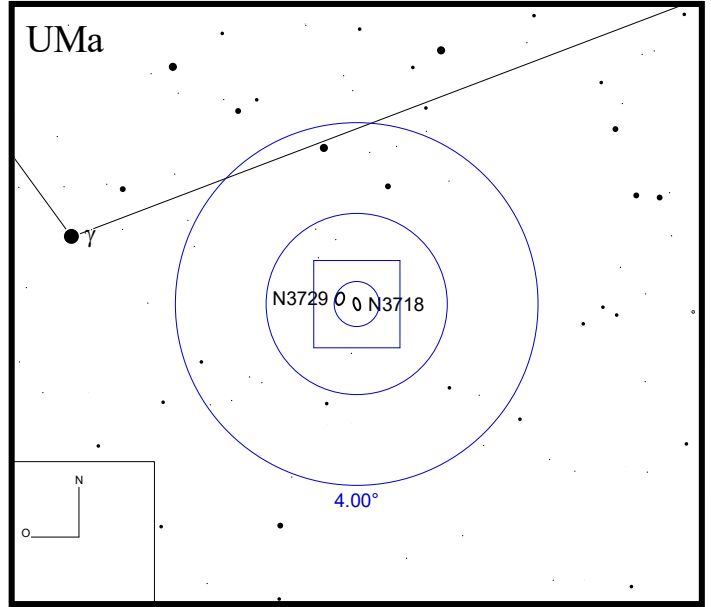
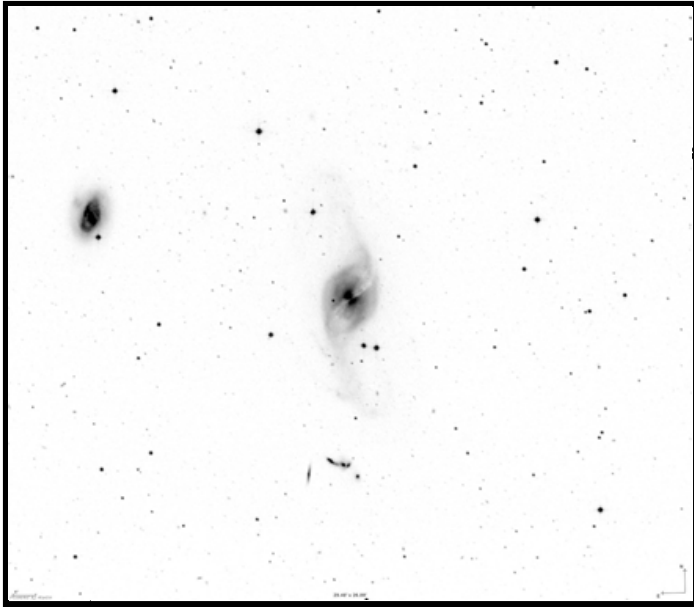
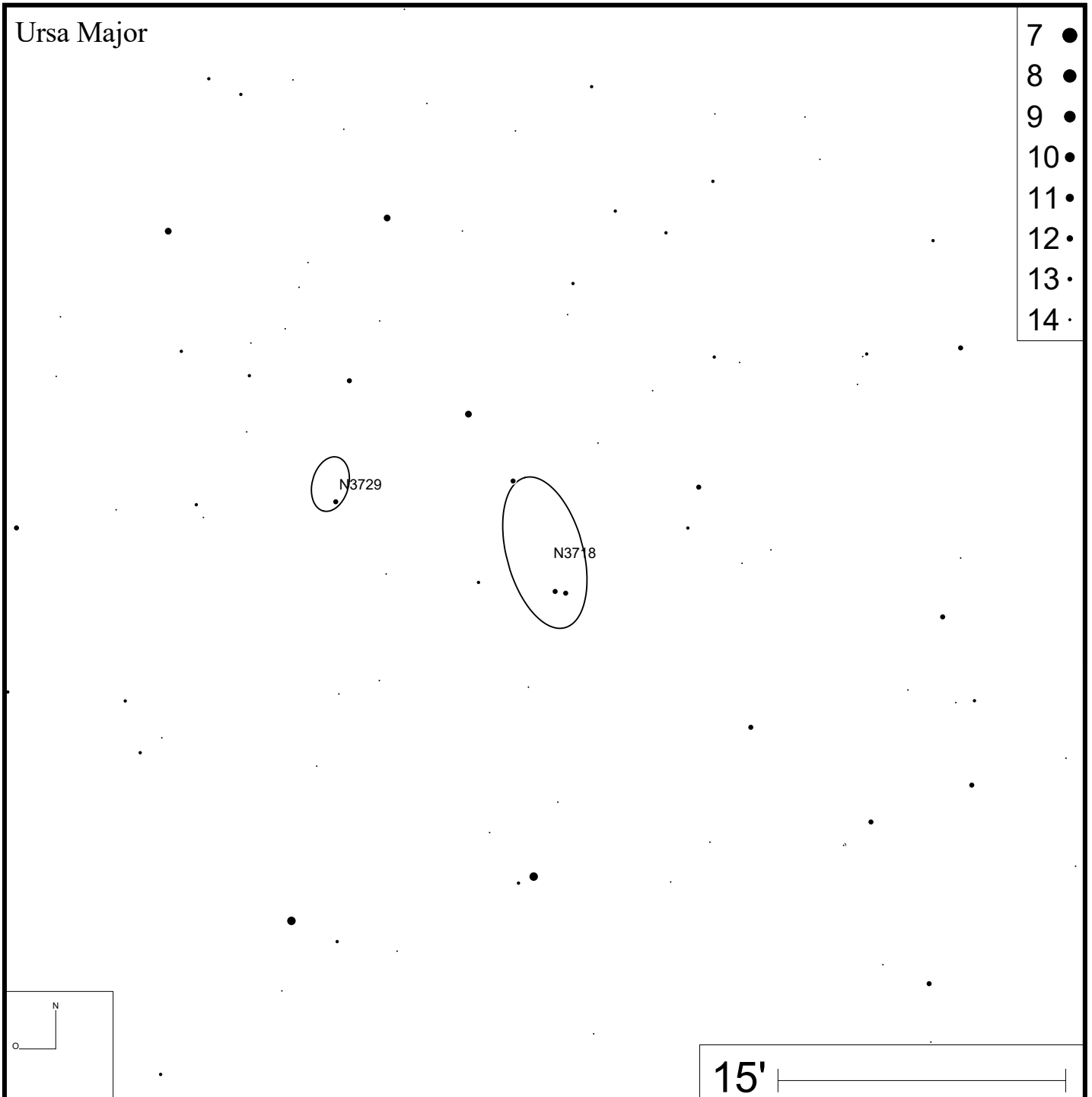


Bild: DSS



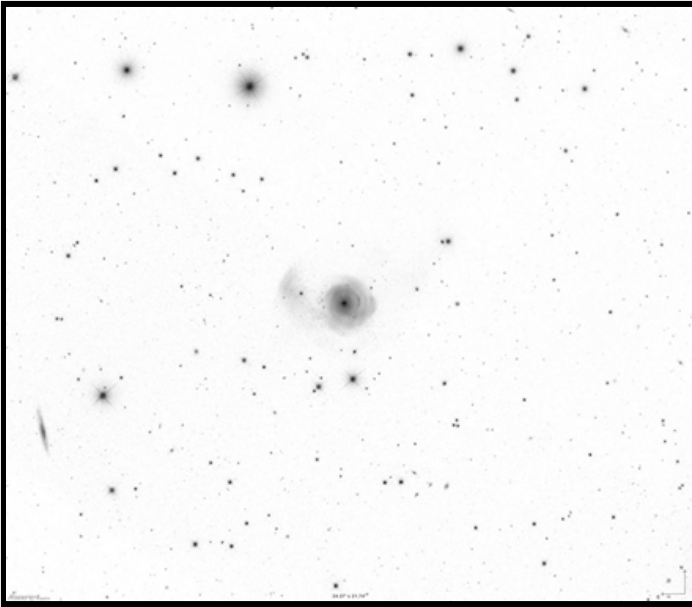
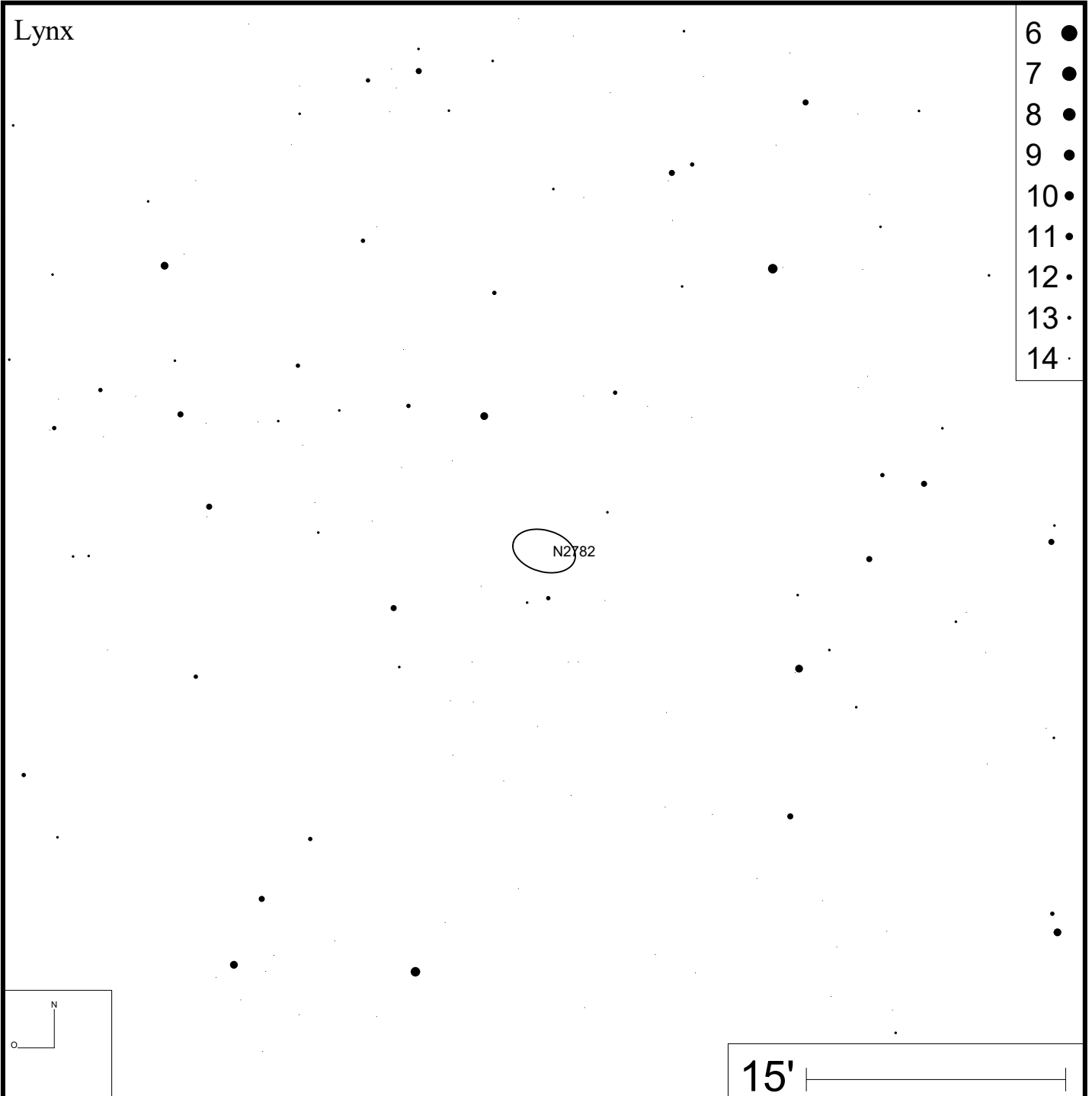
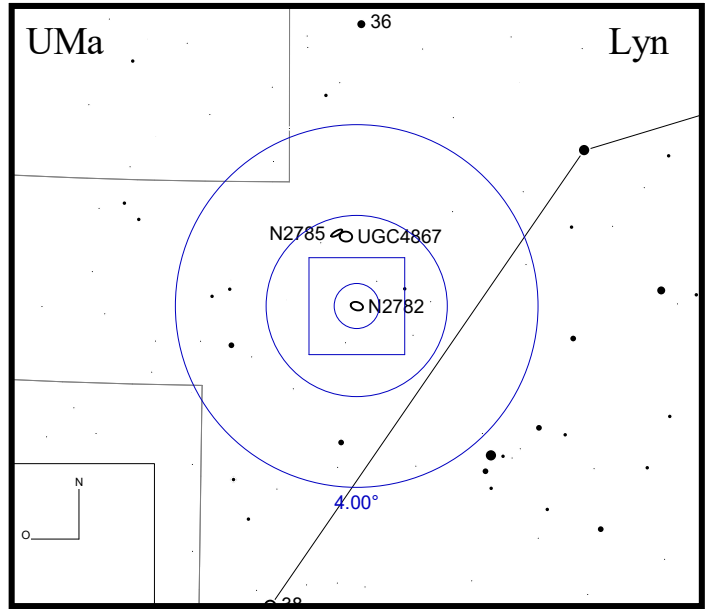


Bild: SDSS



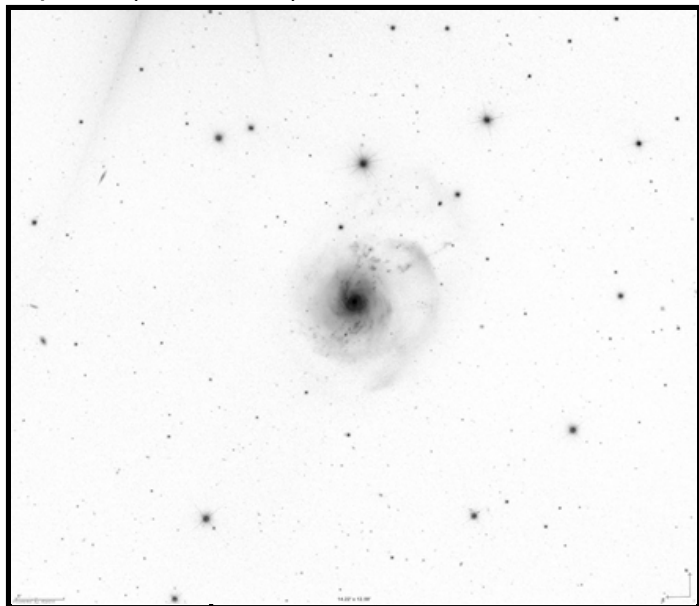
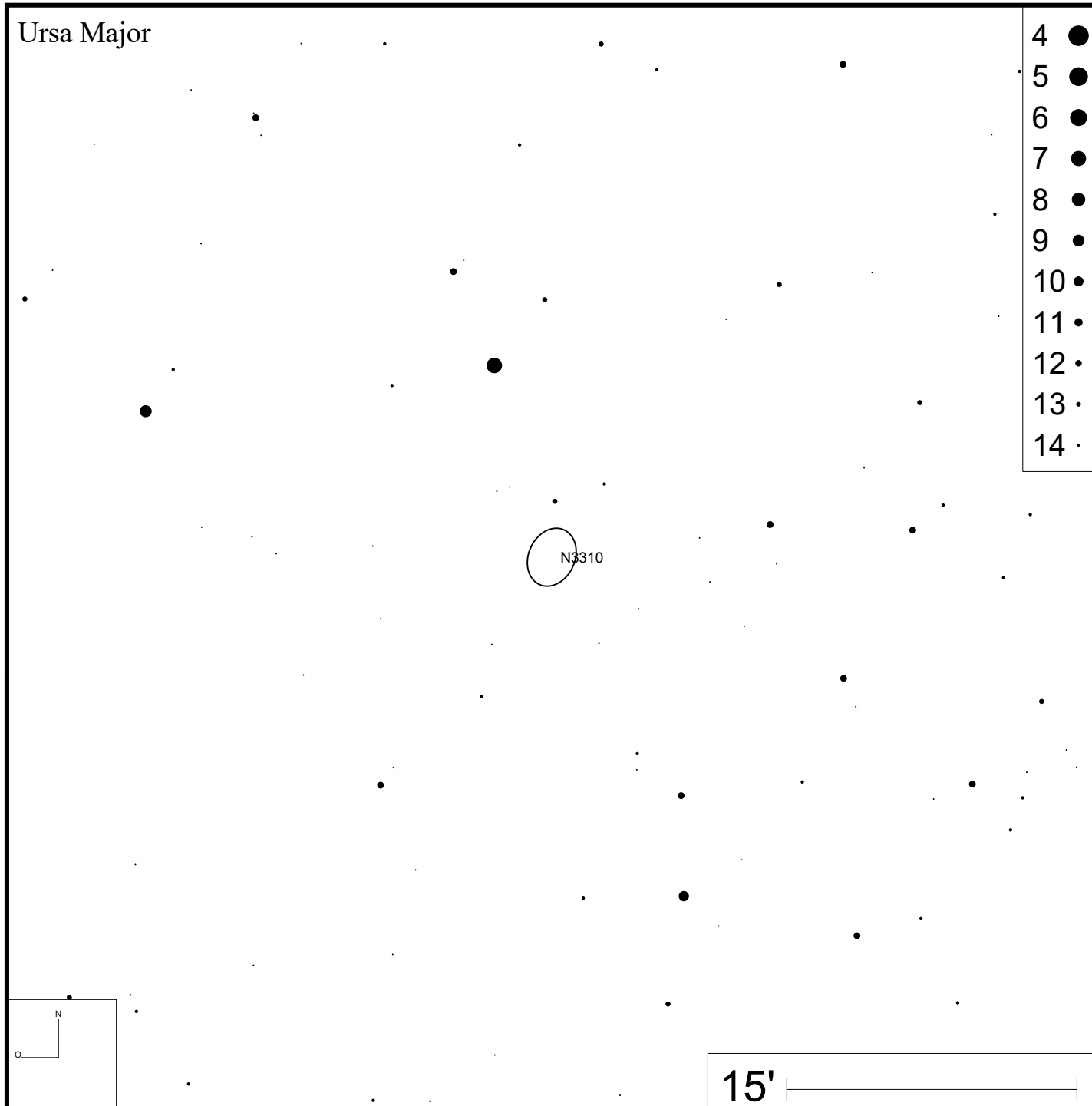
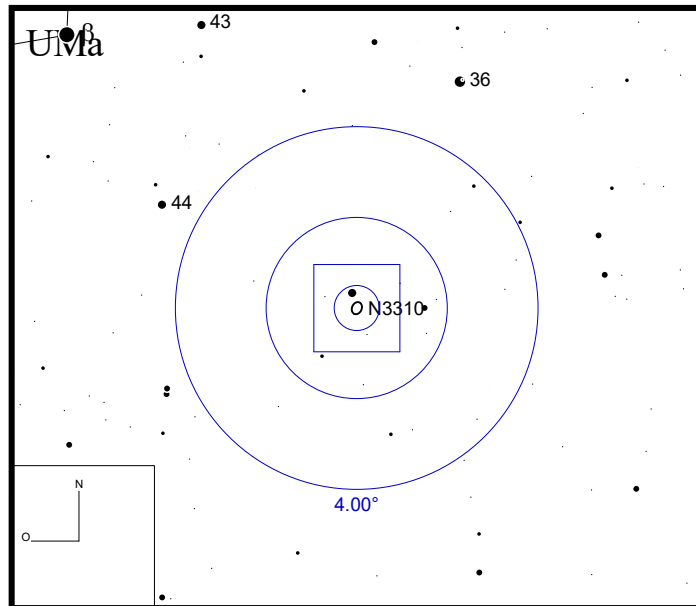


Bild: SDSS



Arp 220 (IC 1127)

RA 15h34m57s DEC +23°30'12"

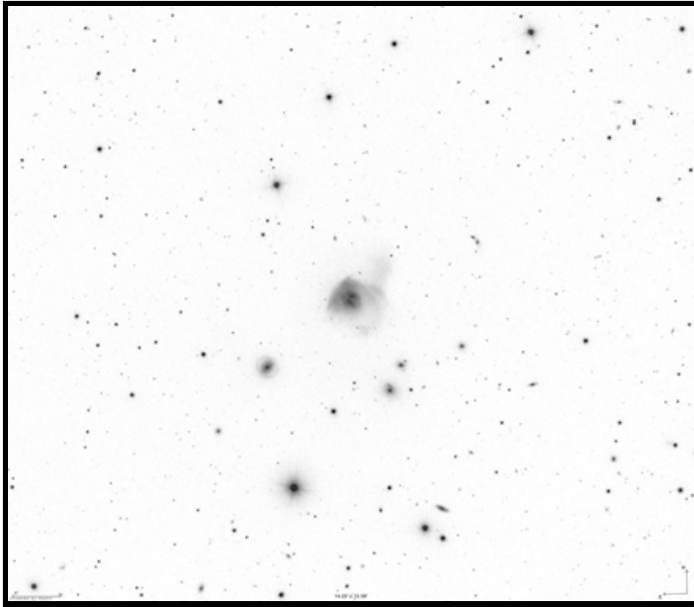
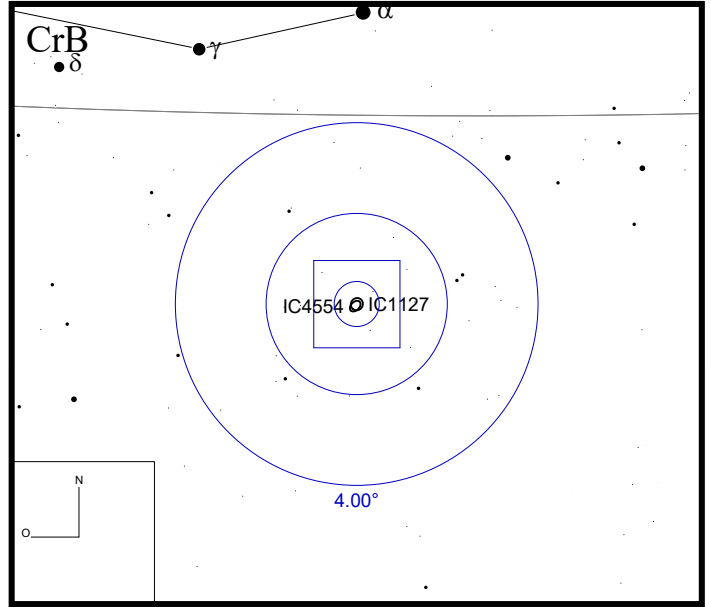
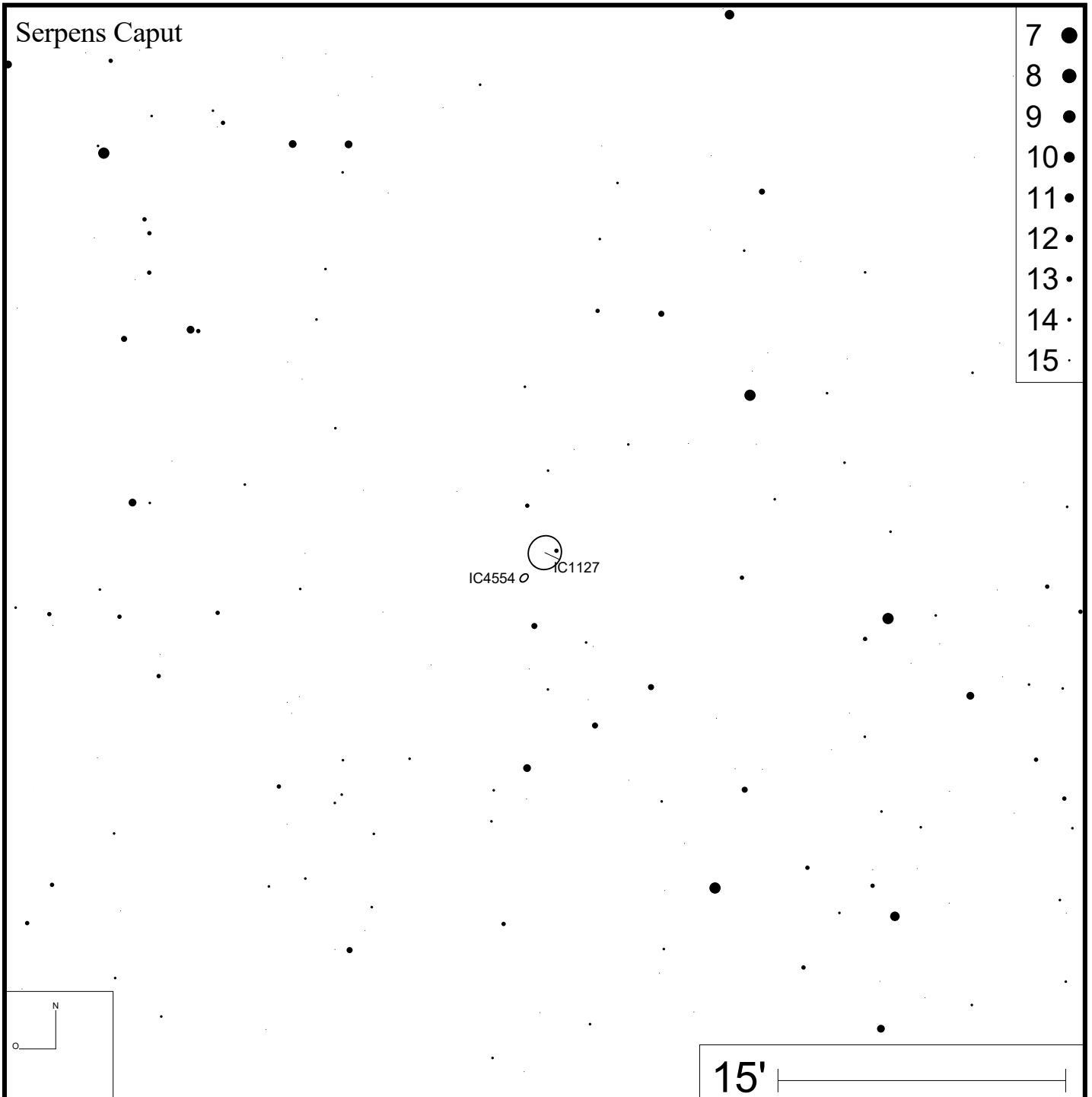


Bild: SDSS



Serpens Caput



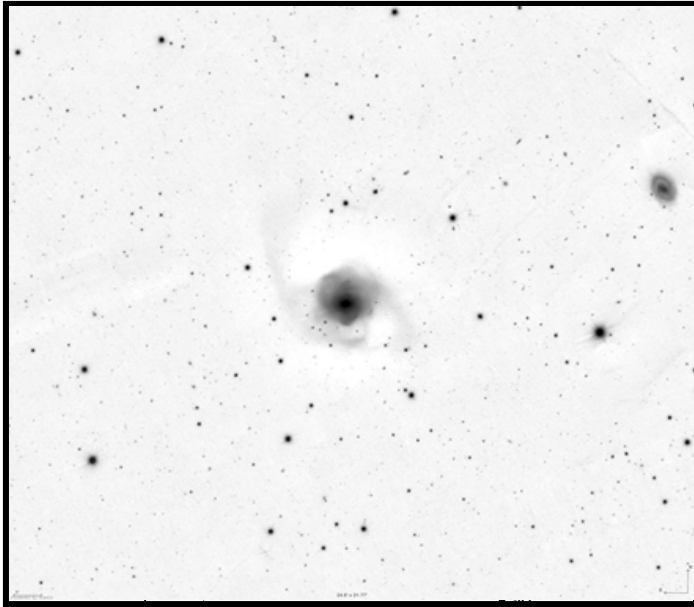
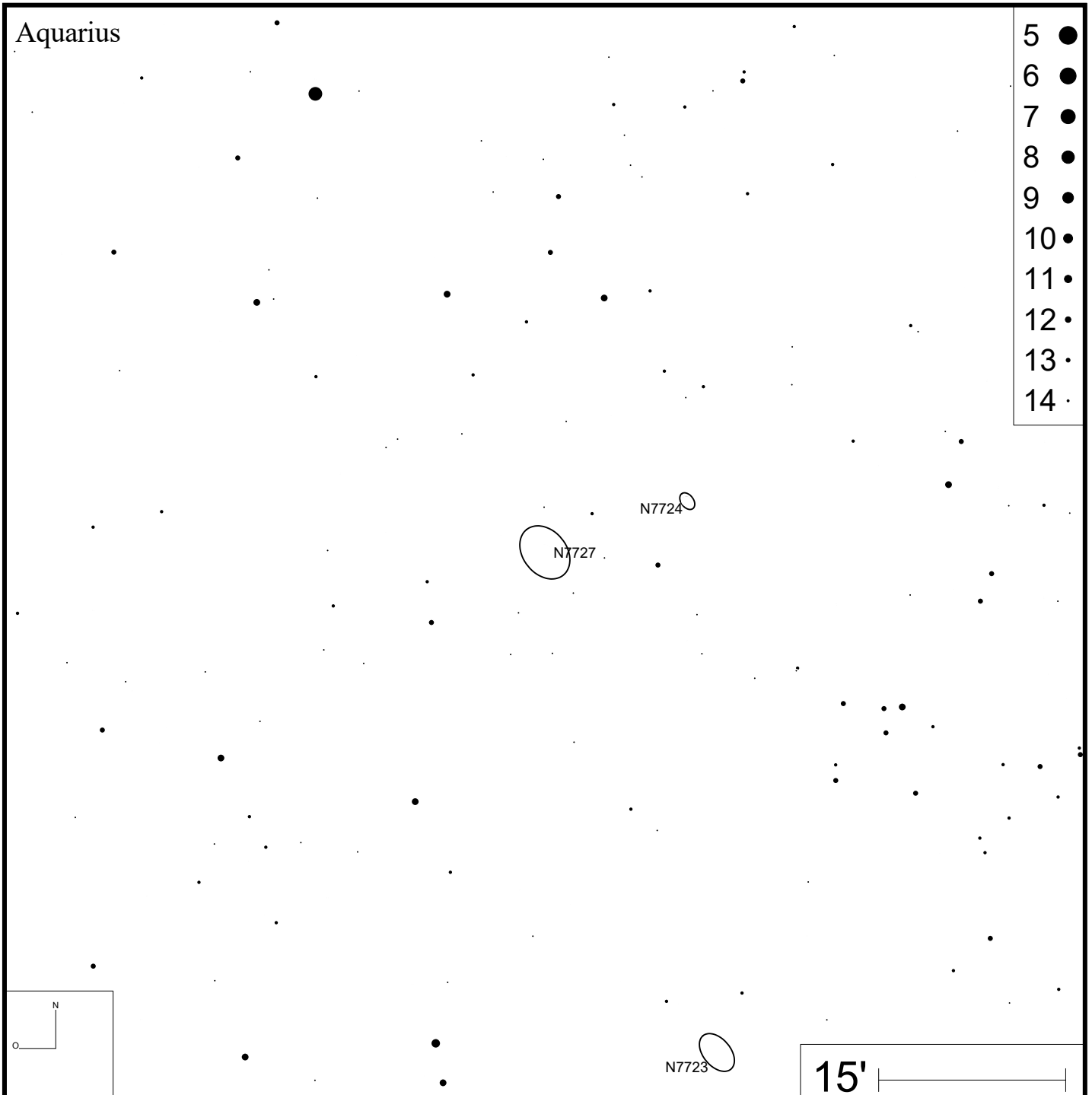
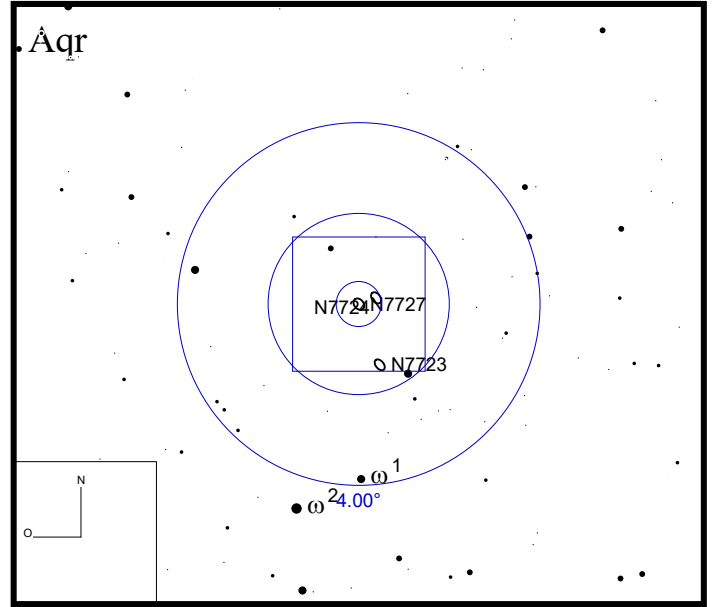


Bild: PanSTARRS



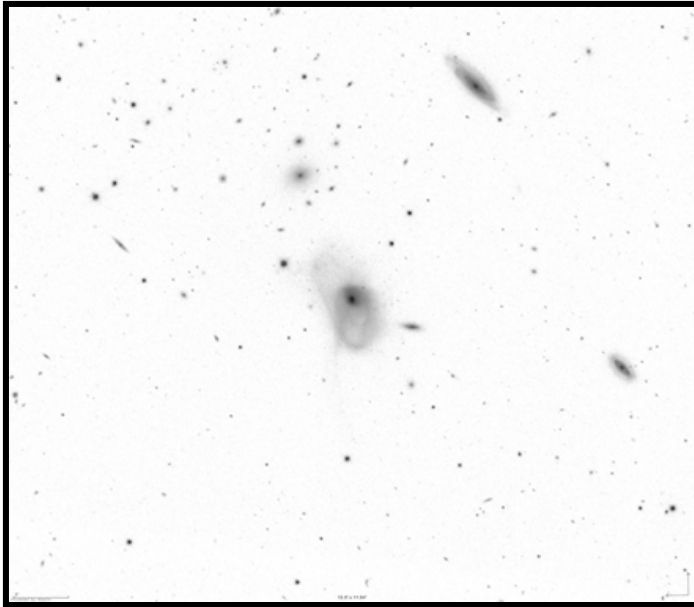
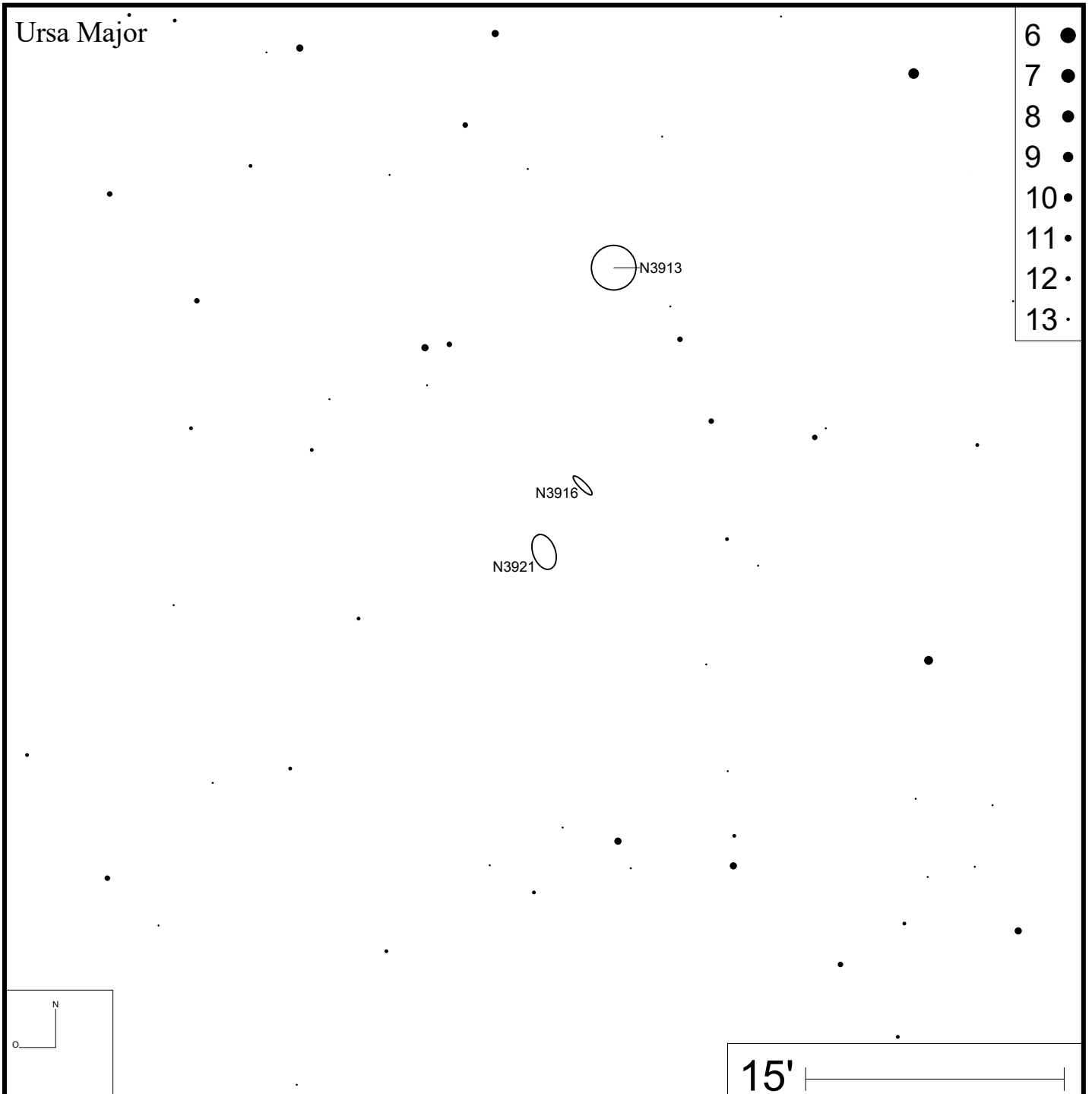
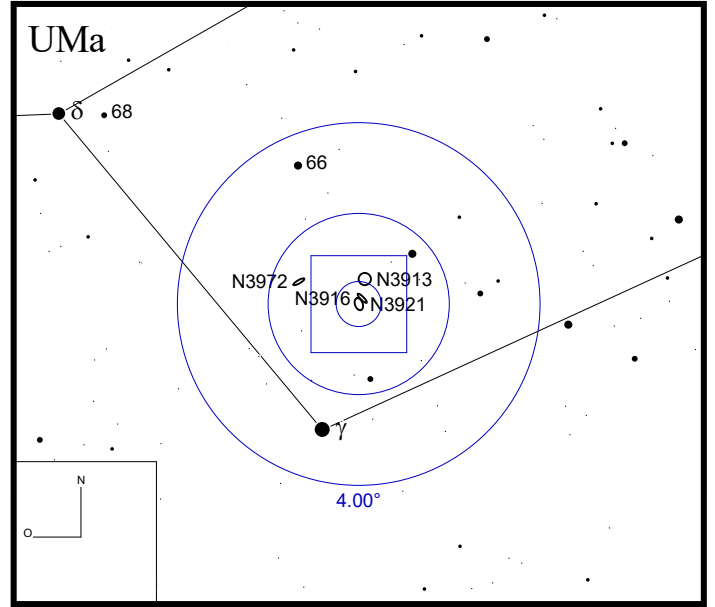


Bild: SDSS



Arp 225 (NGC 2655)

RA 08h55m38s DEC +78°13'23"

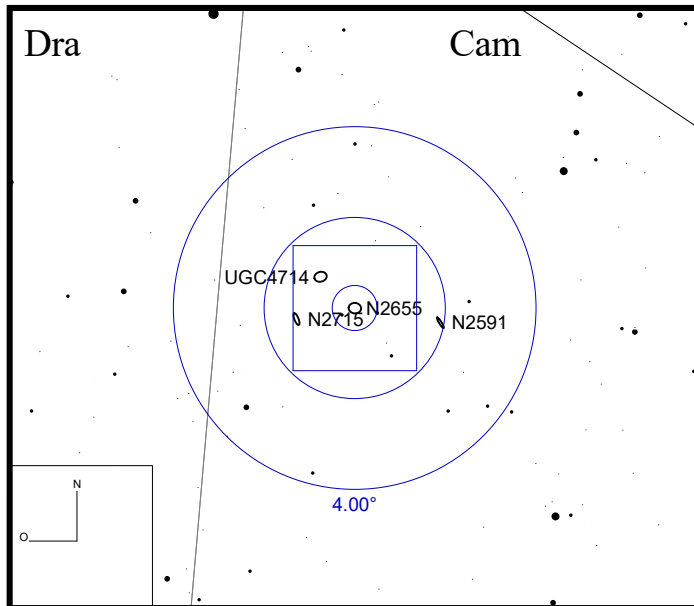
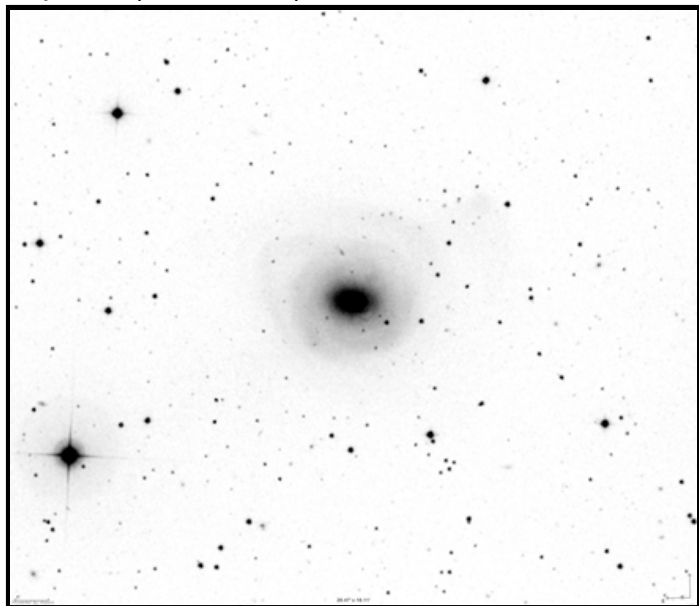
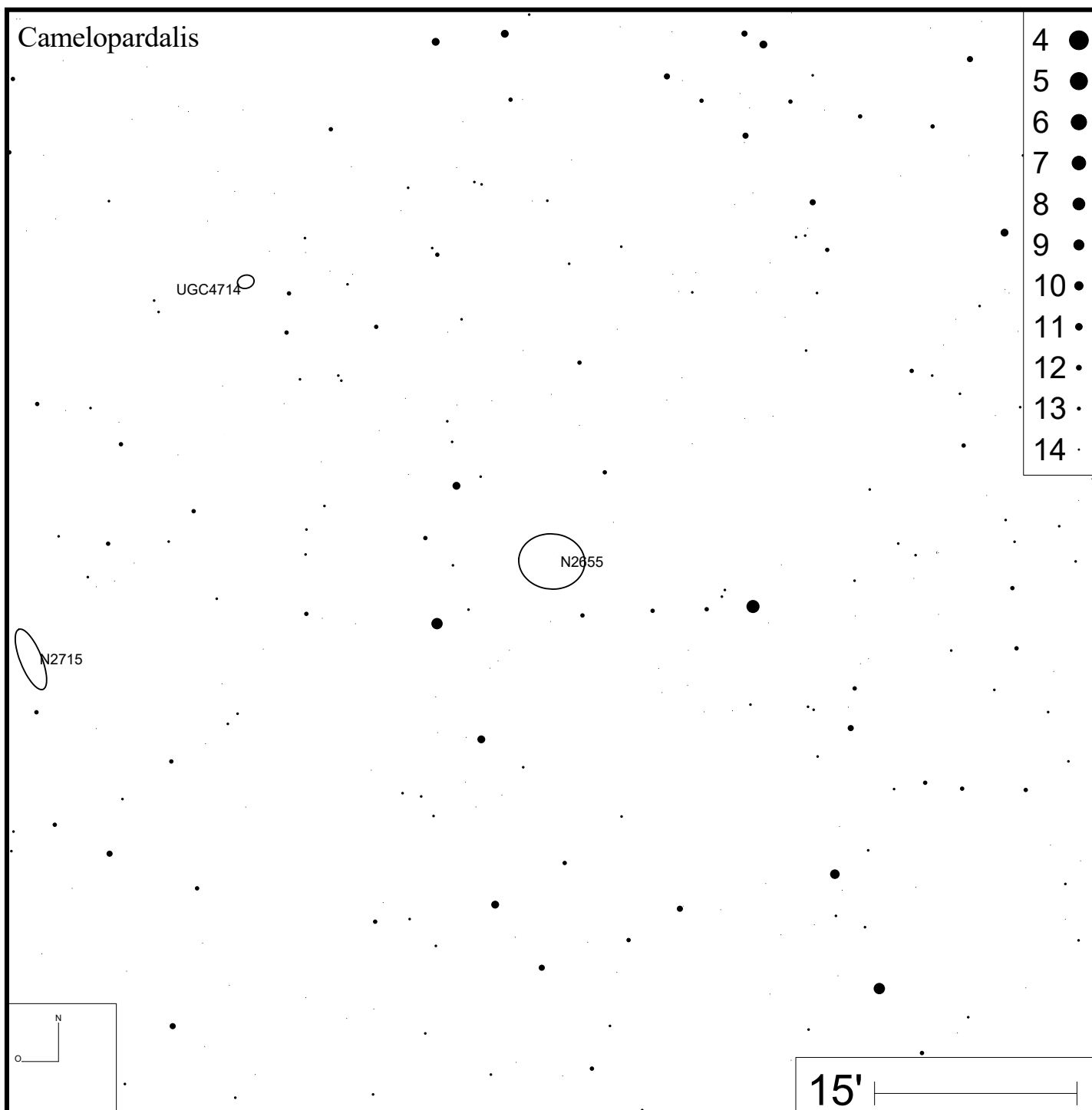


Bild: DSS



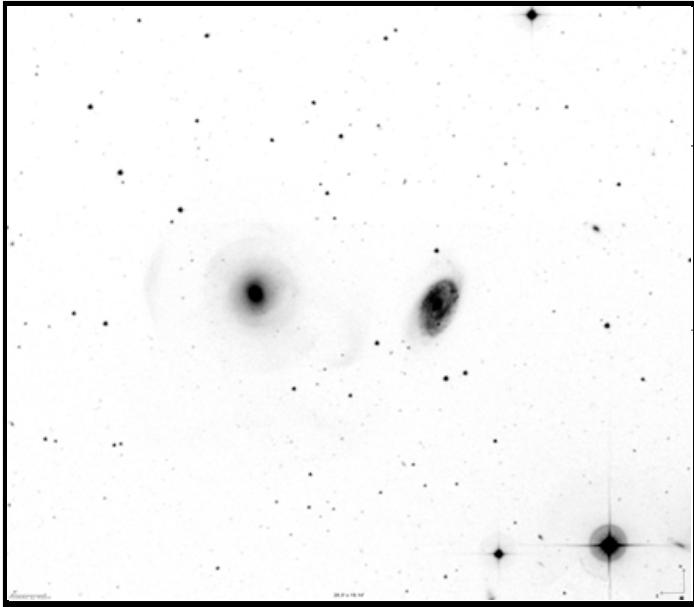
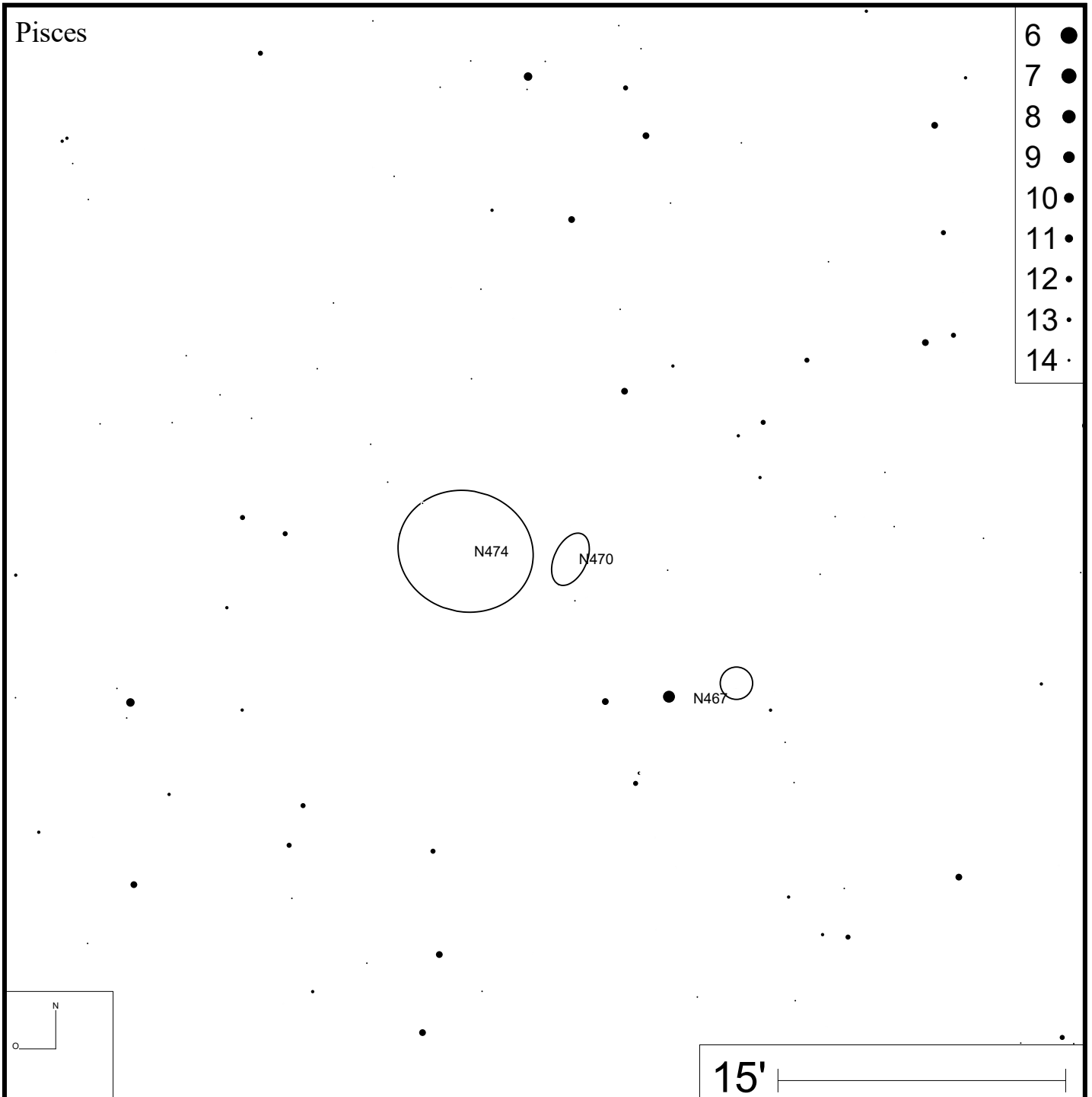
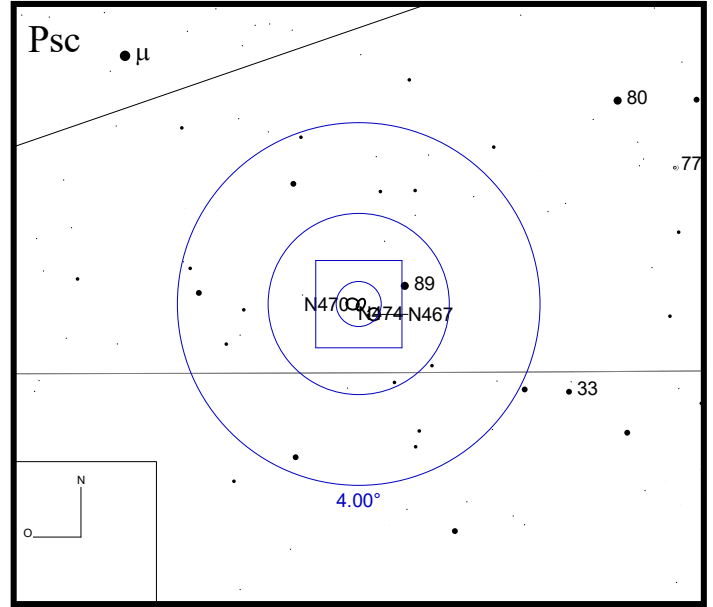


Bild: DSS





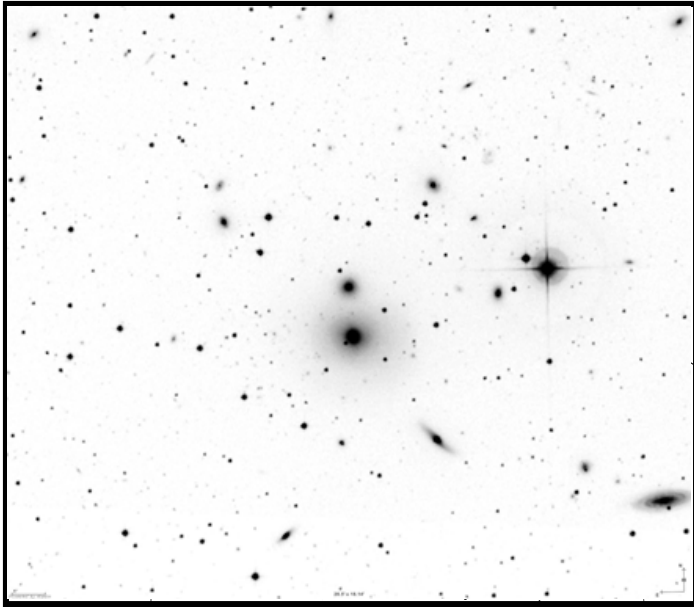
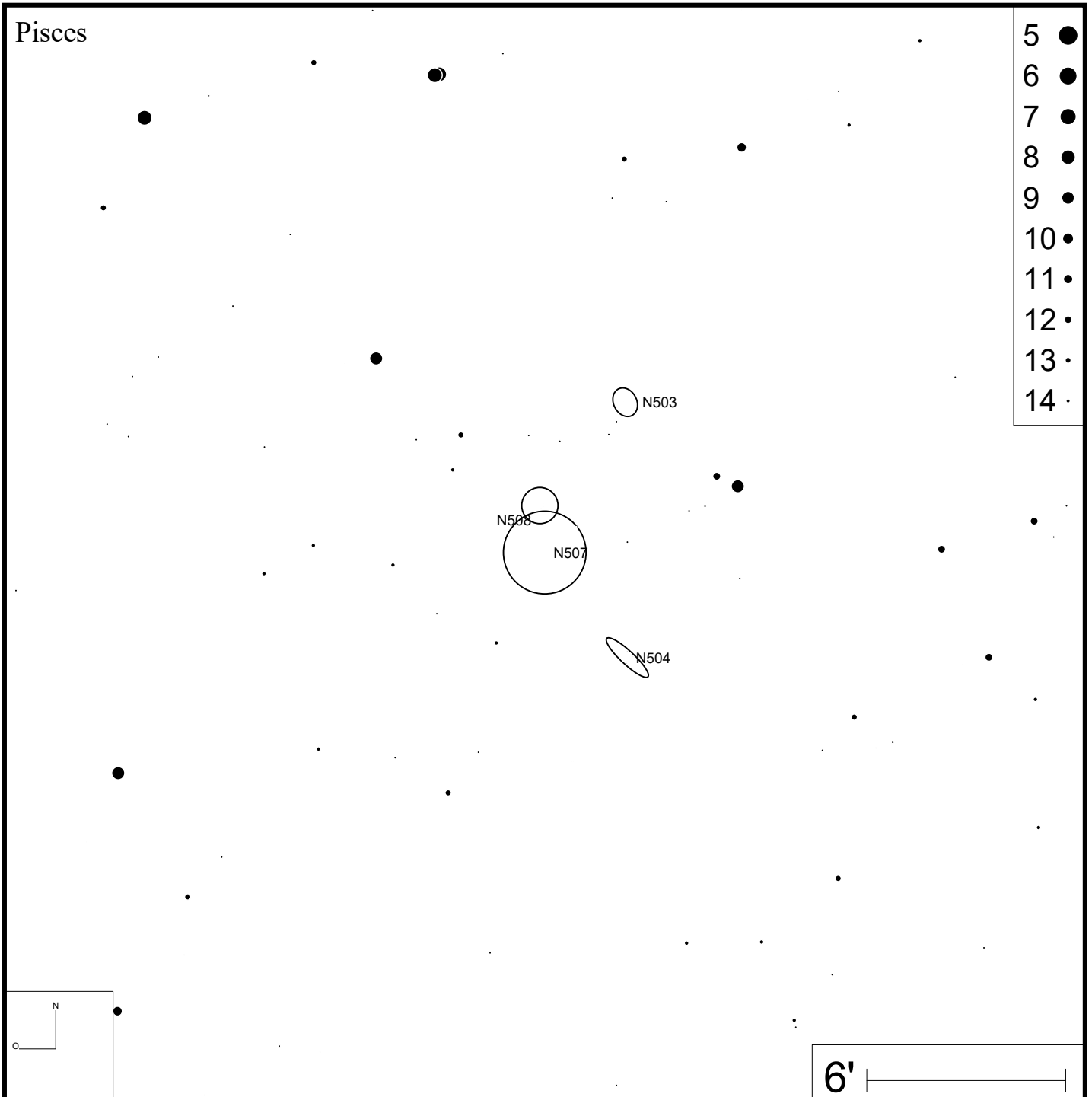
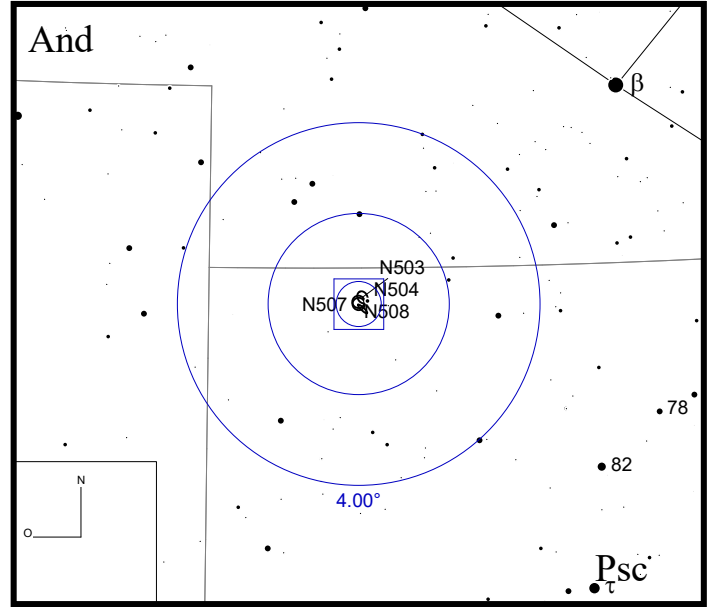


Bild: DSS



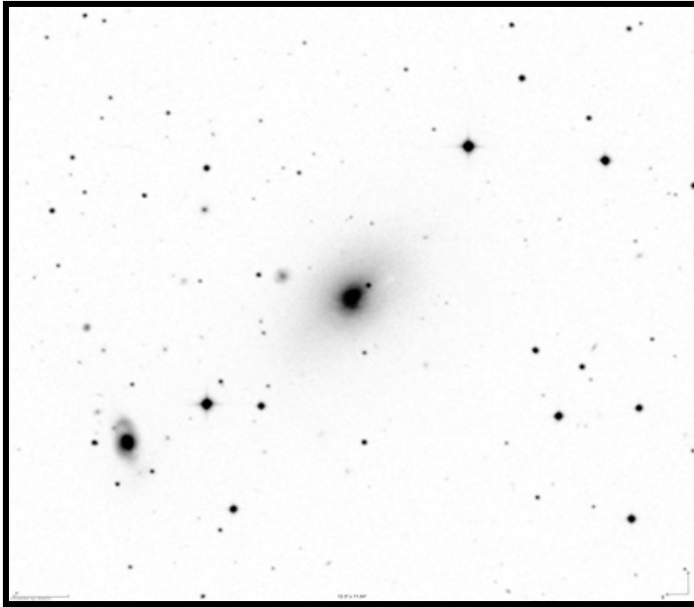
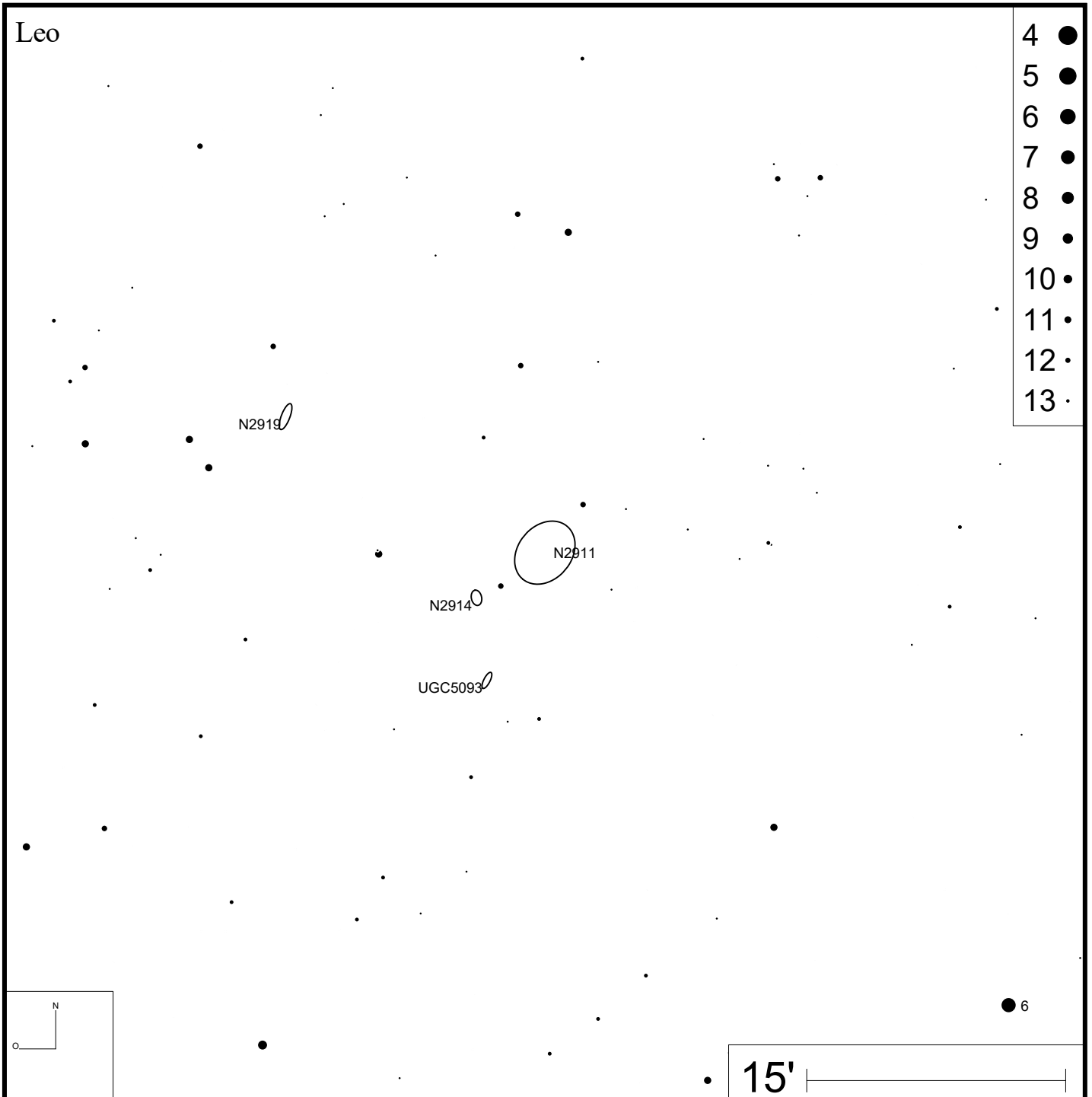
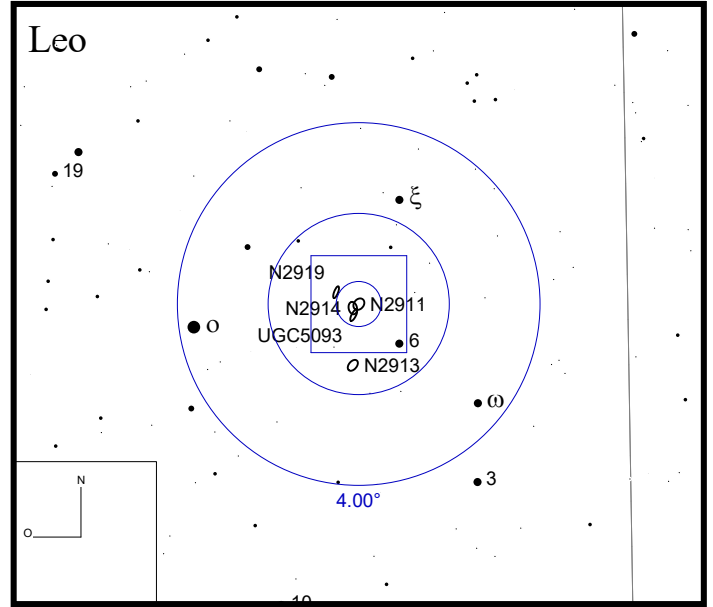


Bild: SDSS



Arp 234 (NGC 3738)

RA 11h35m48s DEC +54°31'24"

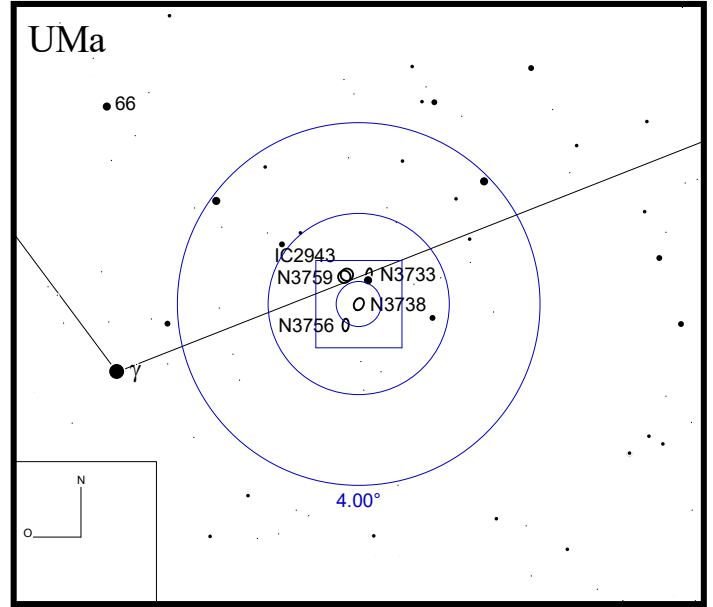
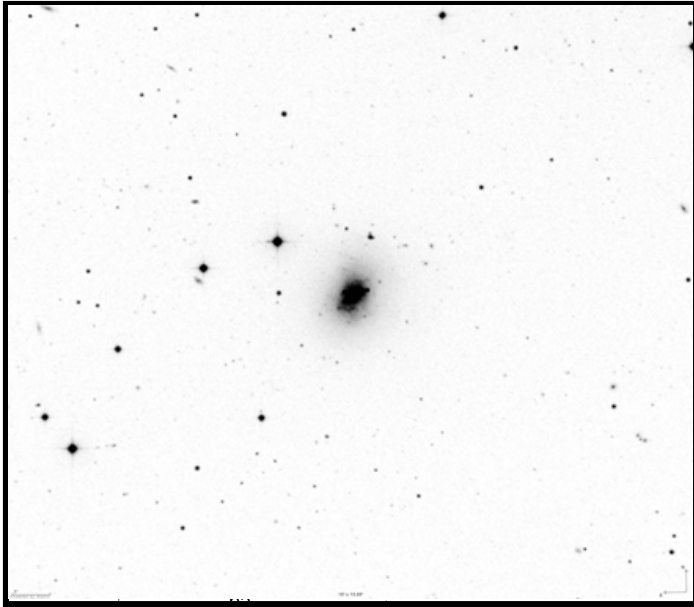
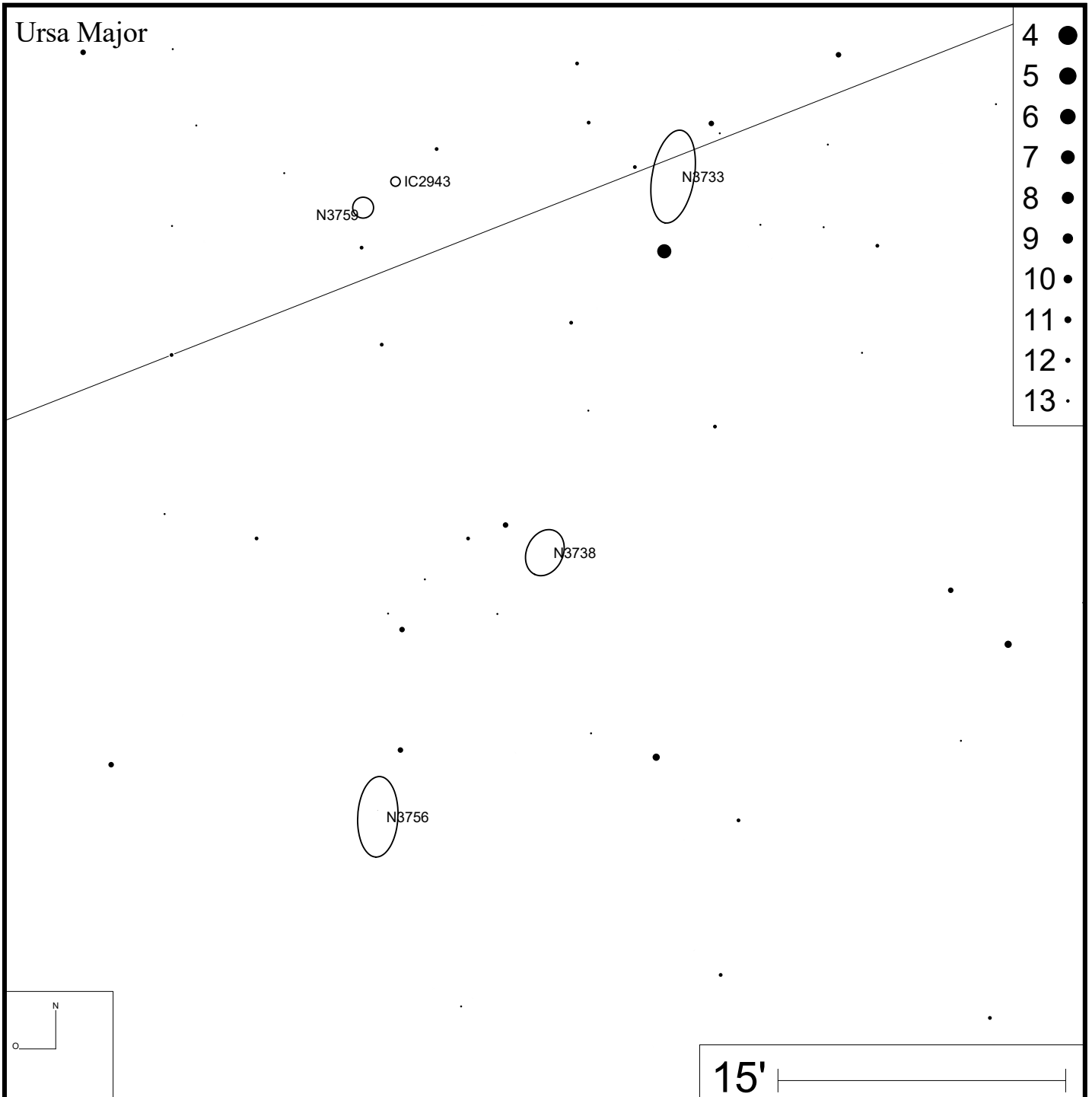


Bild: DSS



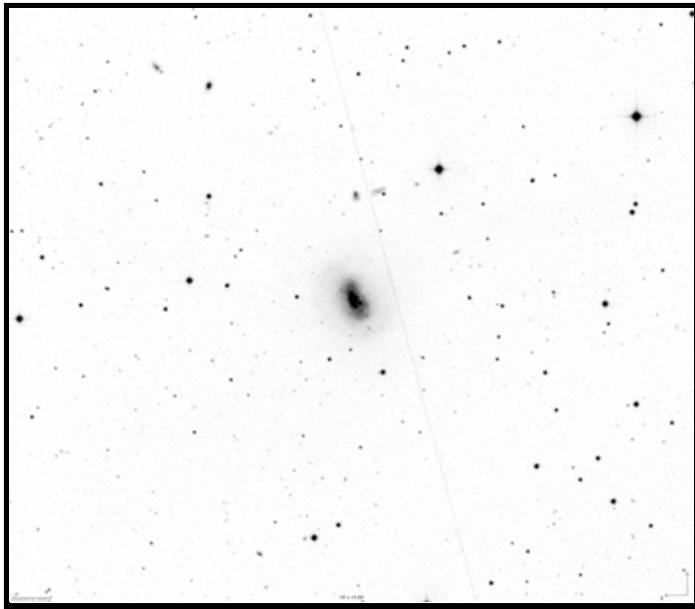
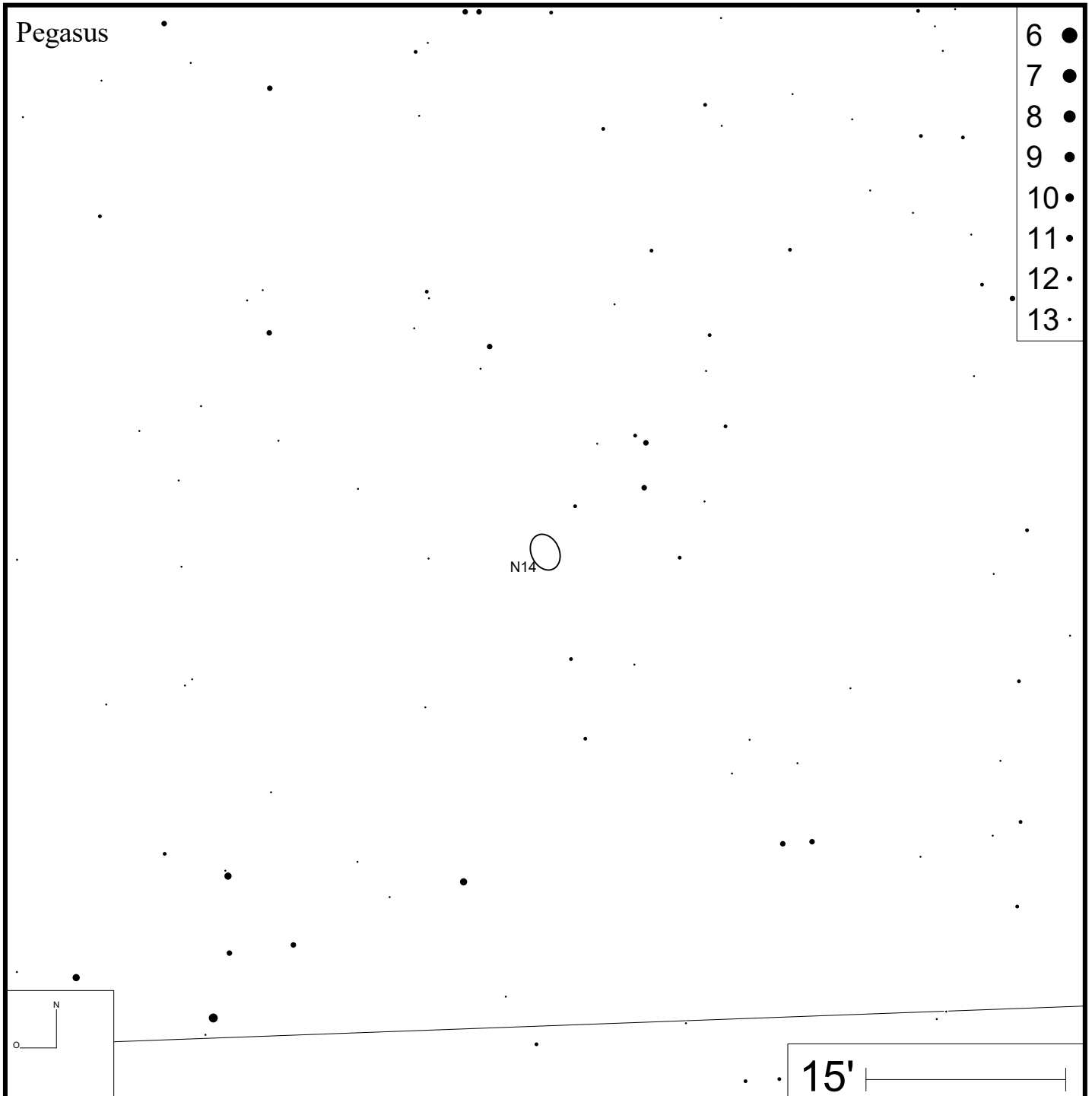
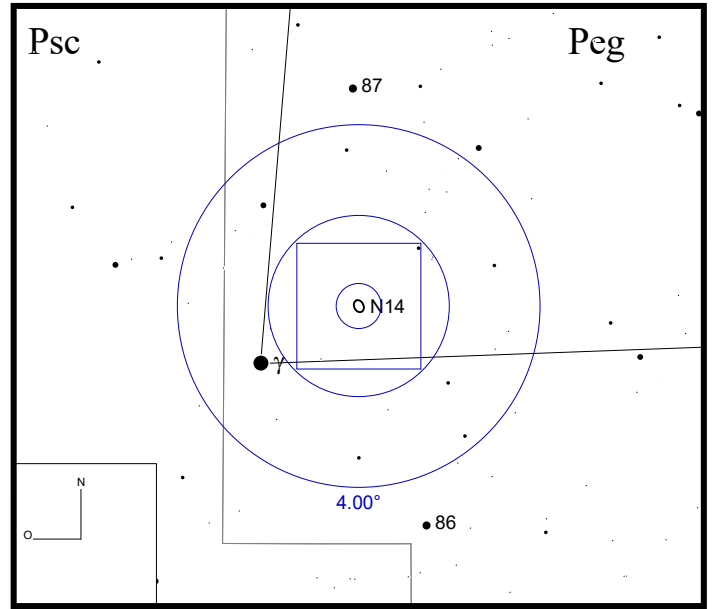


Bild: DSS



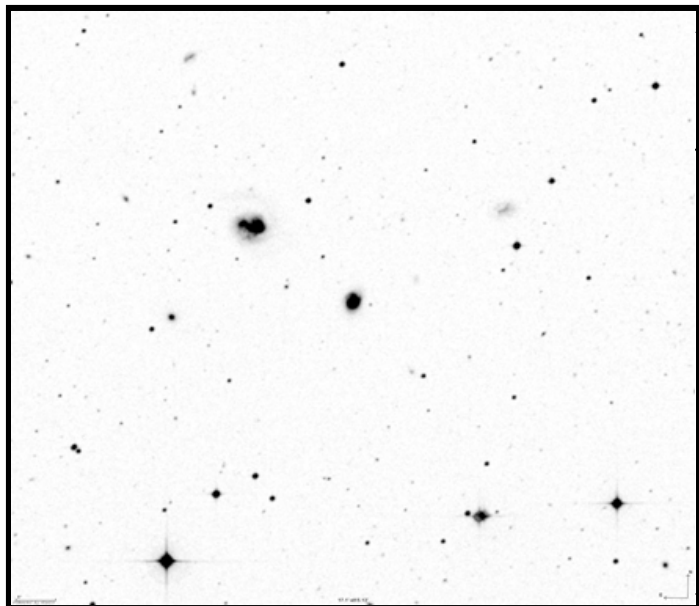
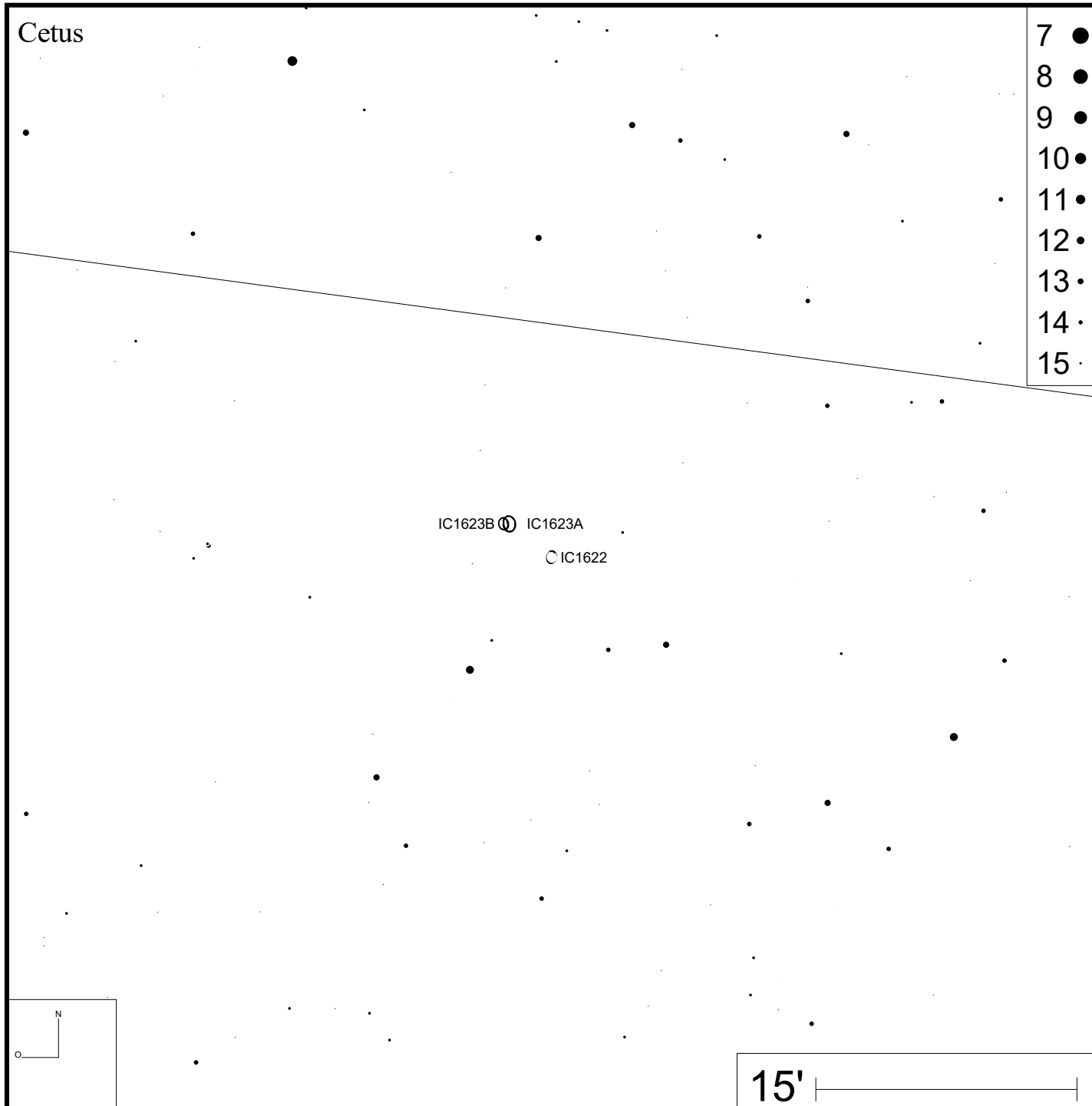
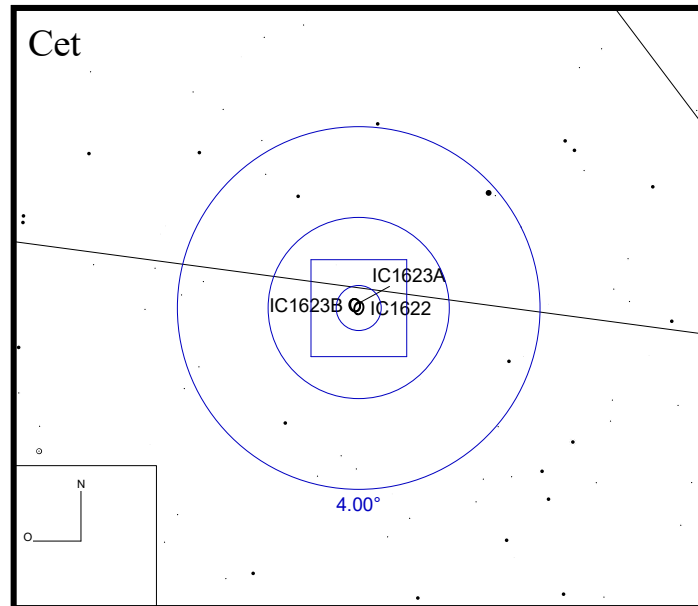


Bild: DSS



- 7 ●
- 8 ●
- 9 ●
- 10 ●
- 11 ●
- 12 ●
- 13 ●
- 14 ●
- 15 ●

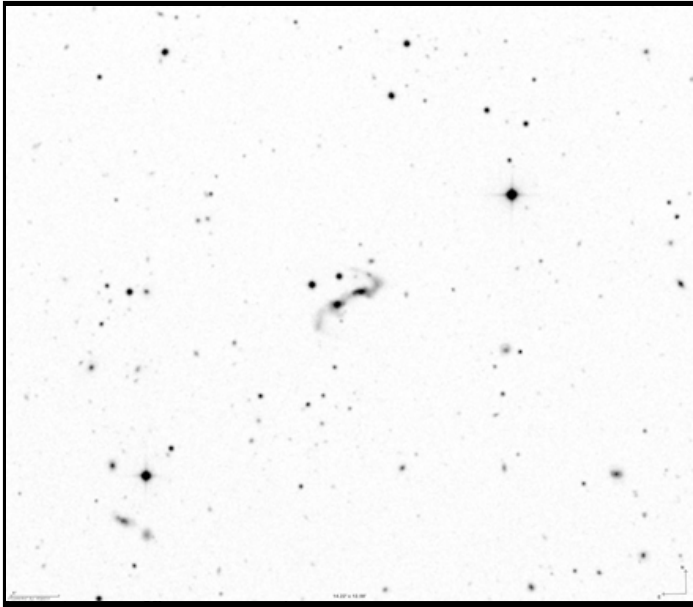
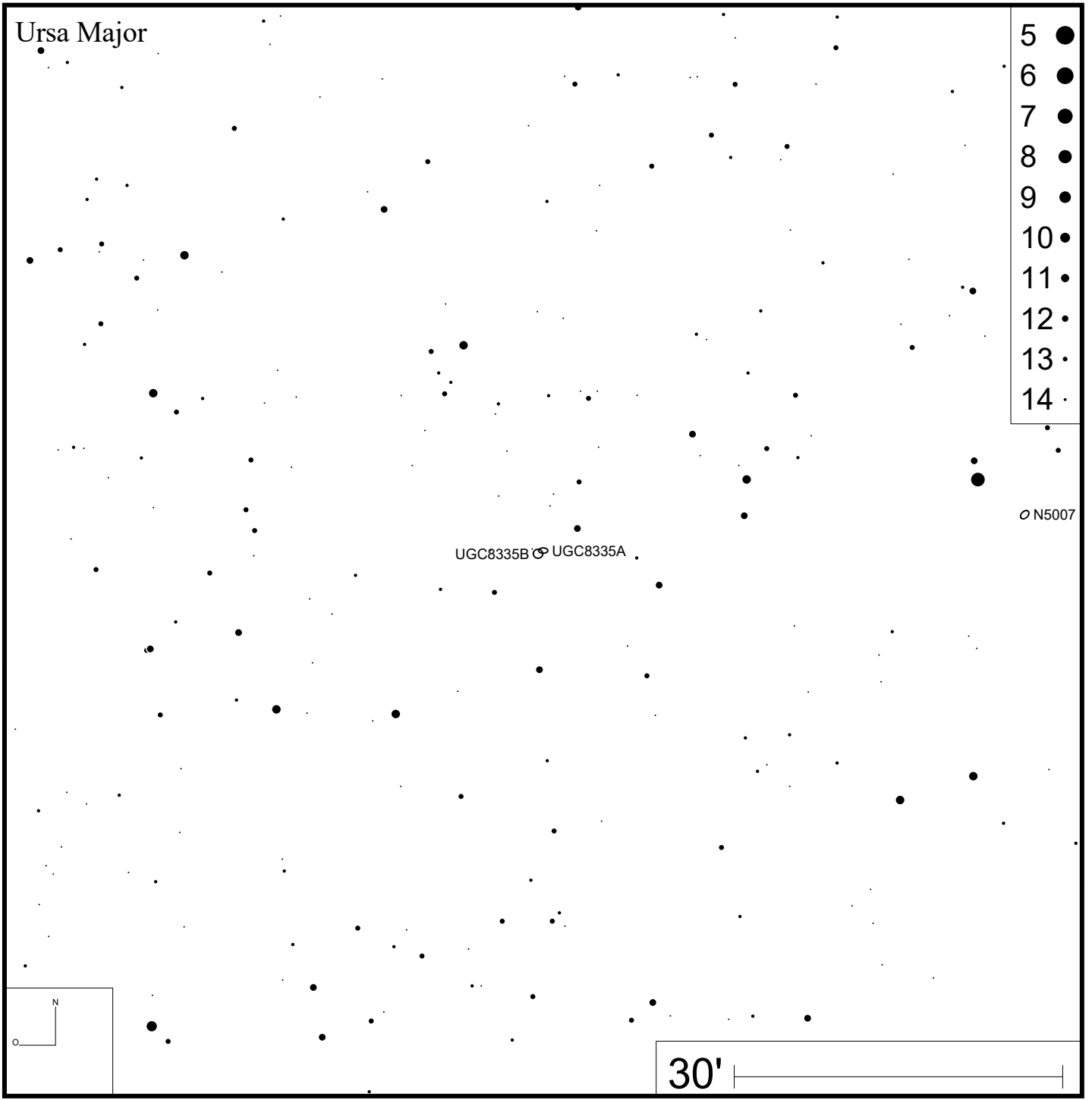
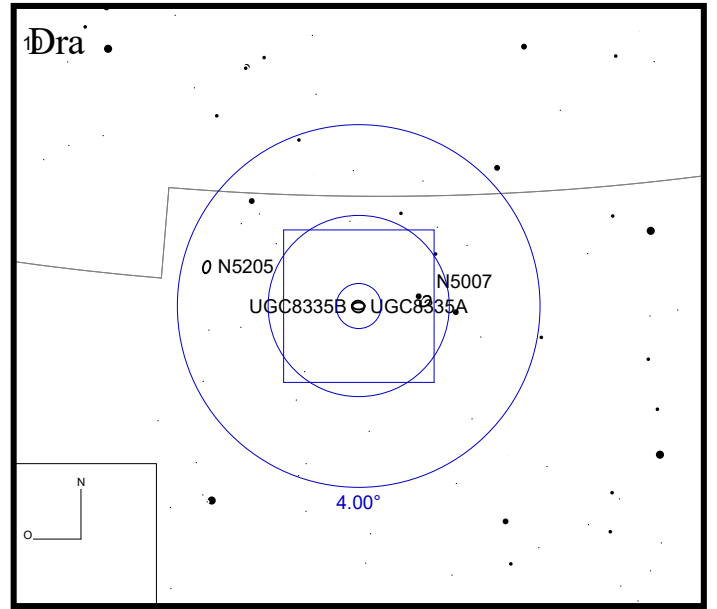


Bild: DSS



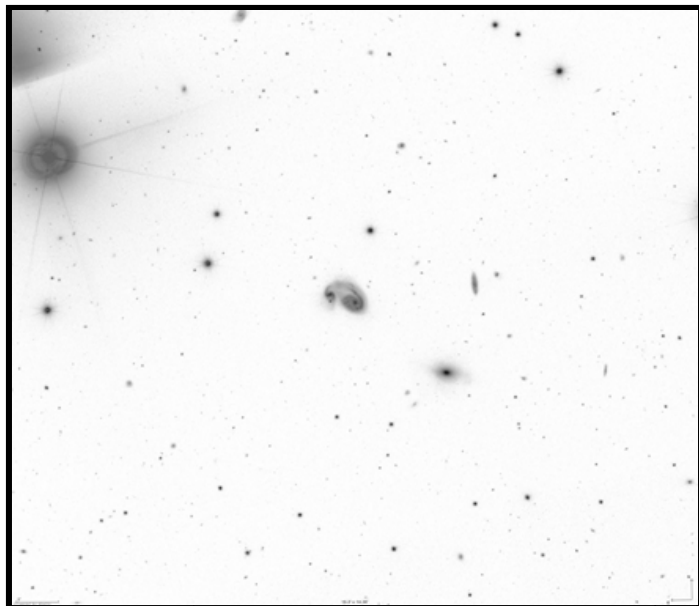
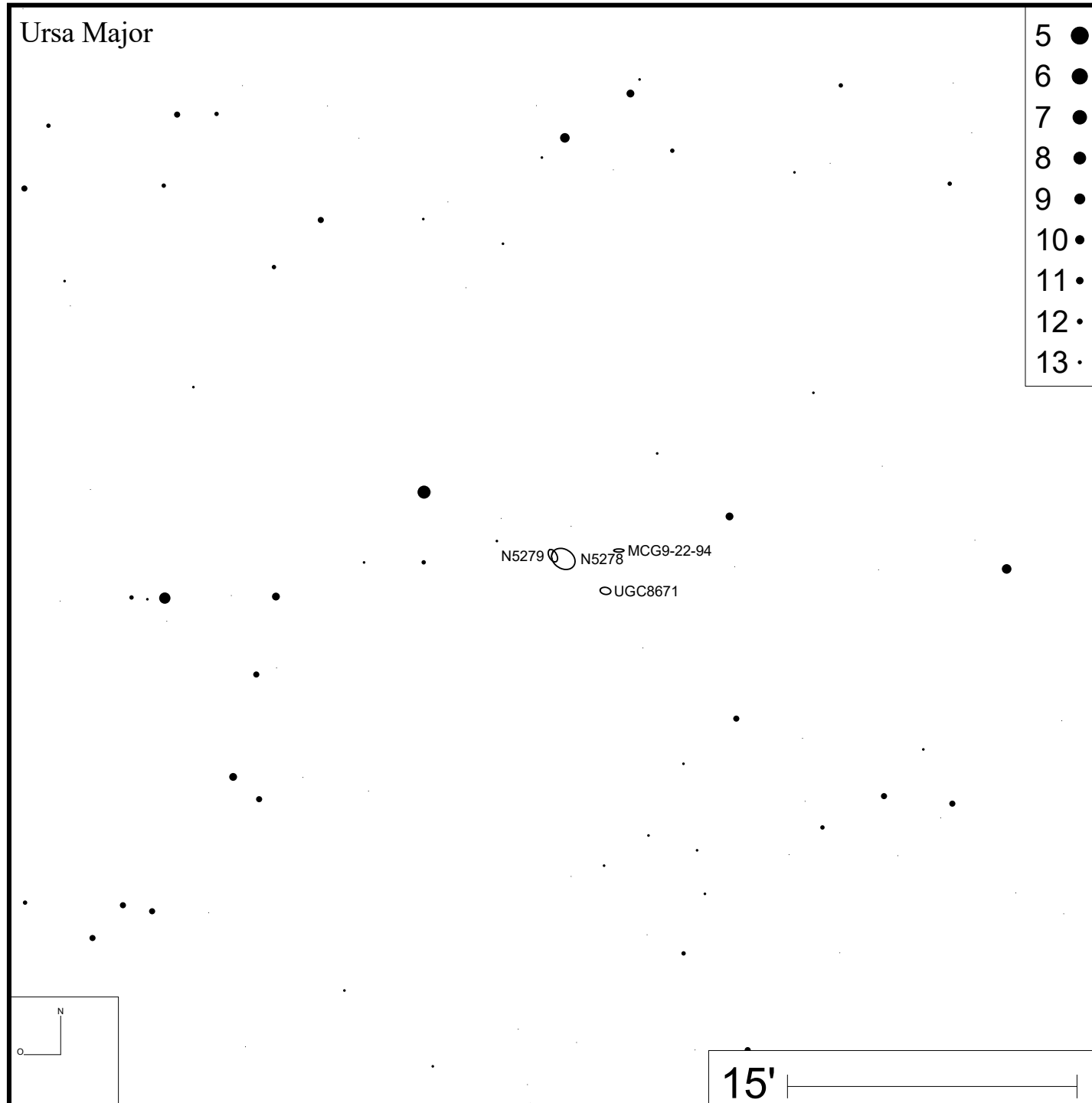
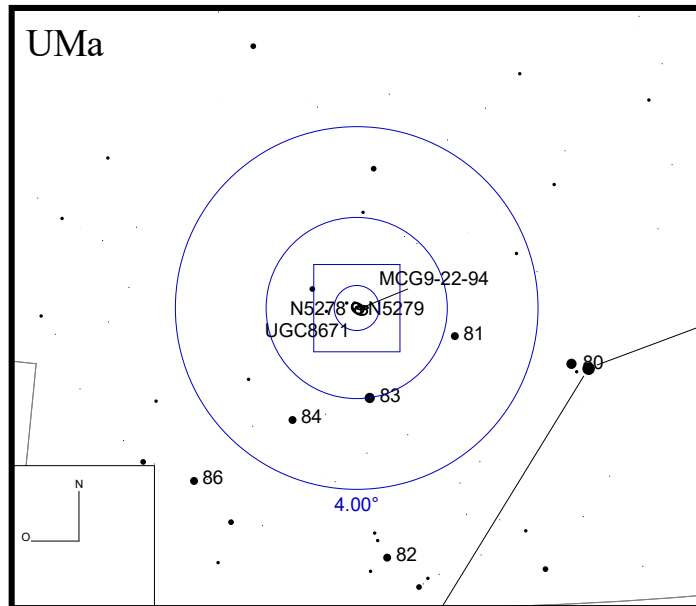


Bild: SDSS



Arp 240 (NGC 5257 & NGC 5258)

RA 13h39m52s DEC +00°50'23"

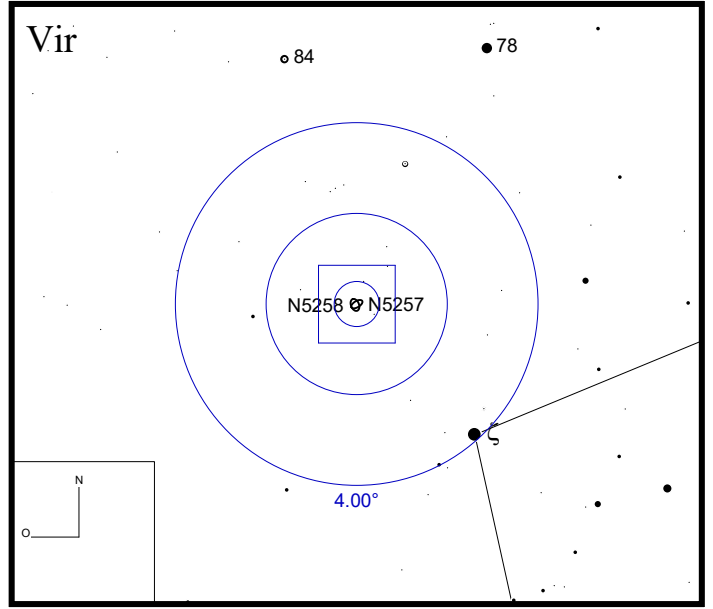
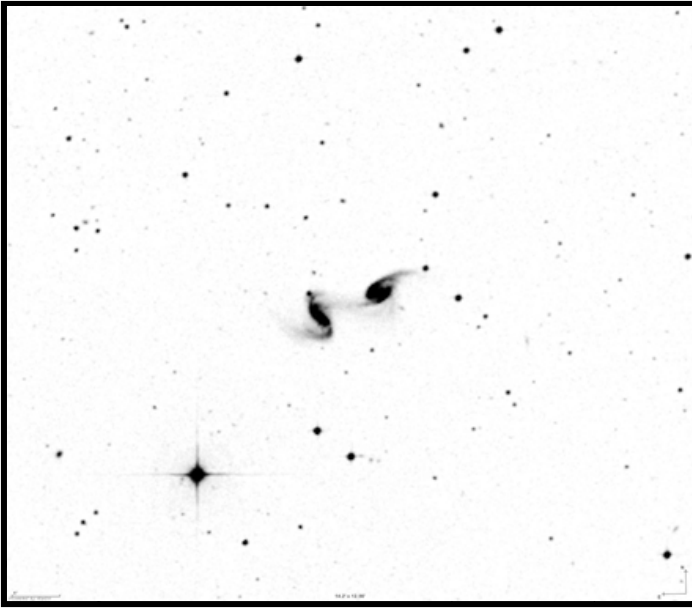
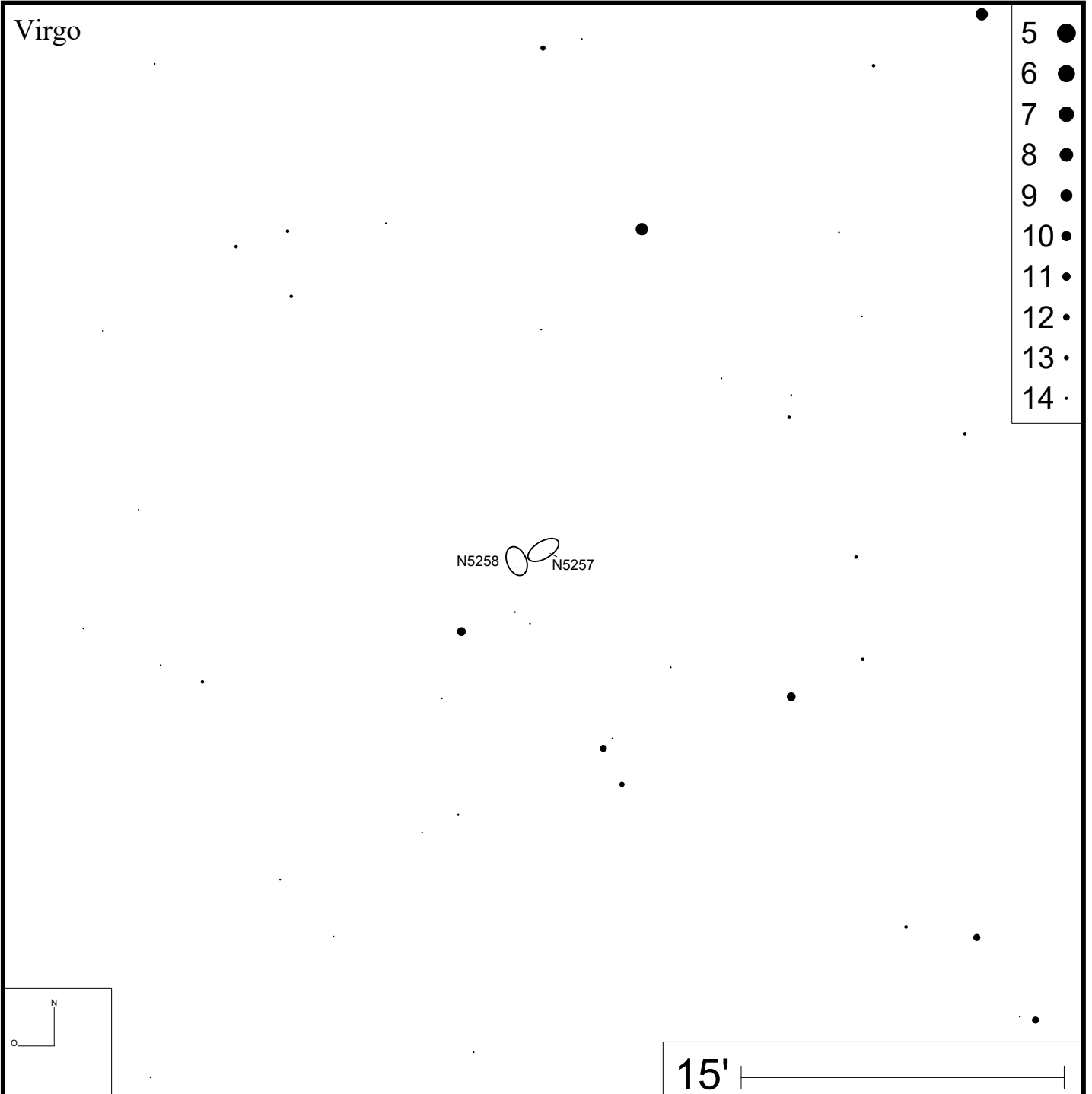


Bild: DSS





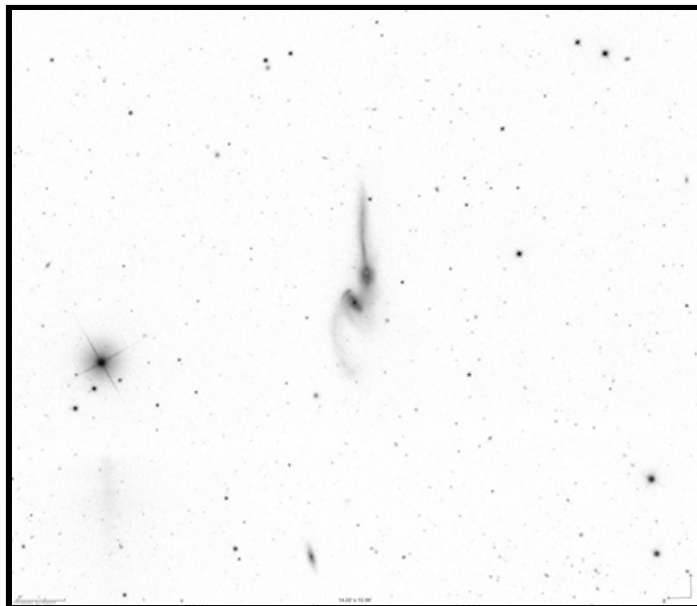
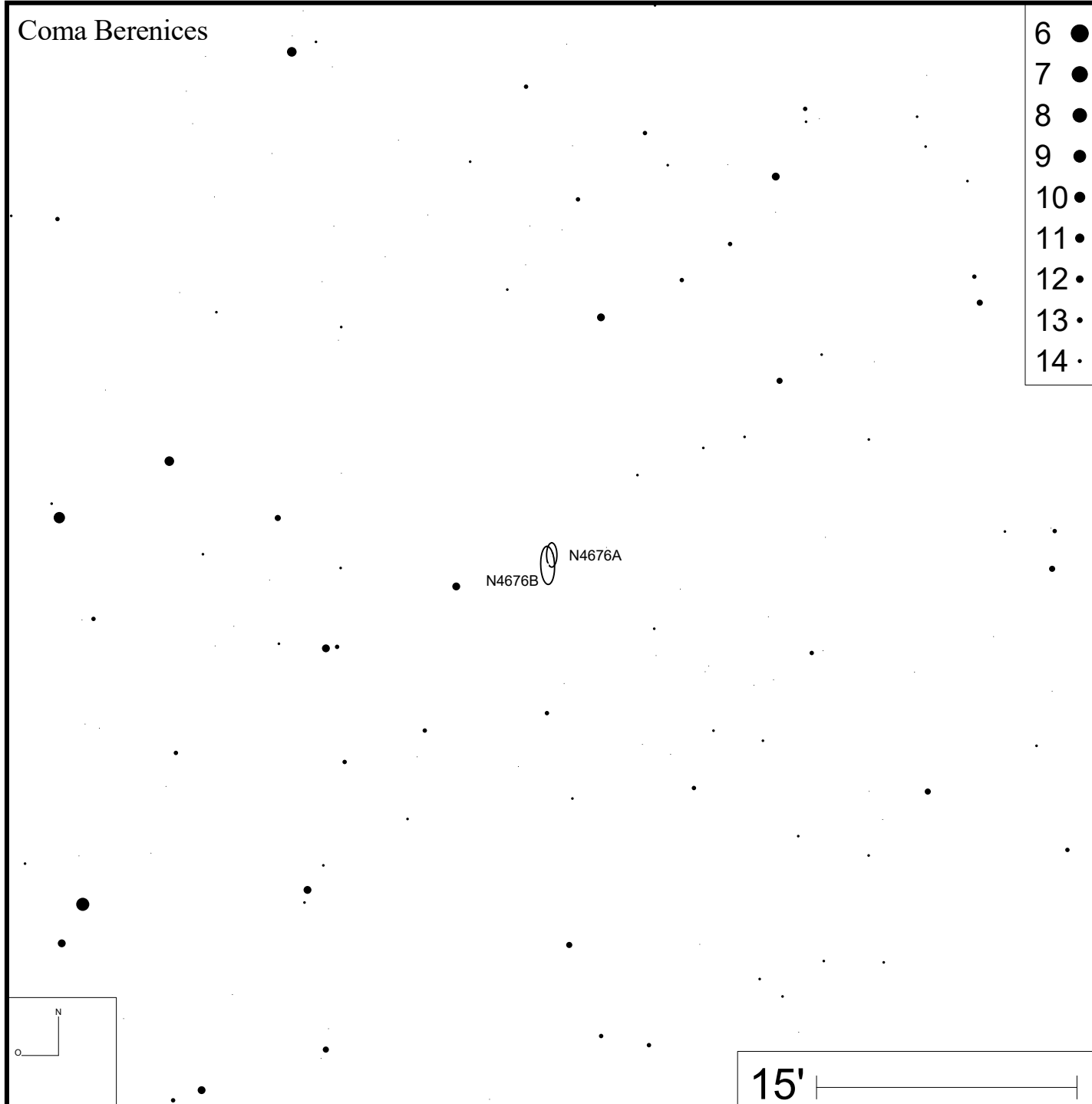
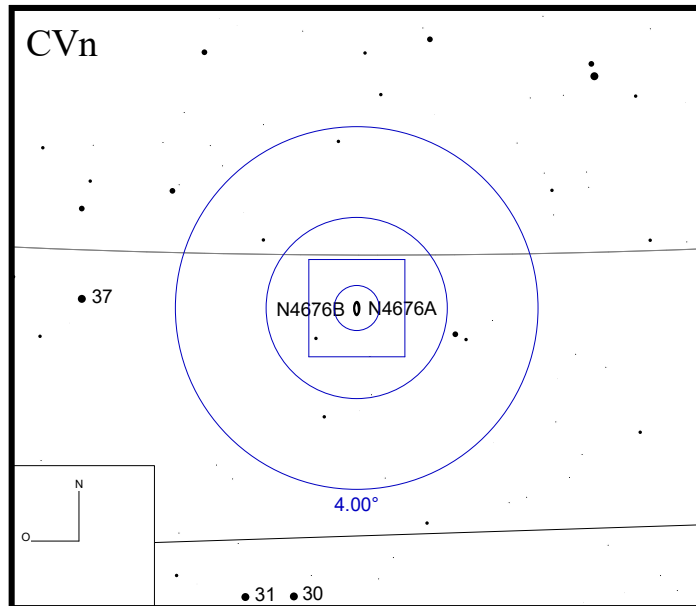


Bild: DSS



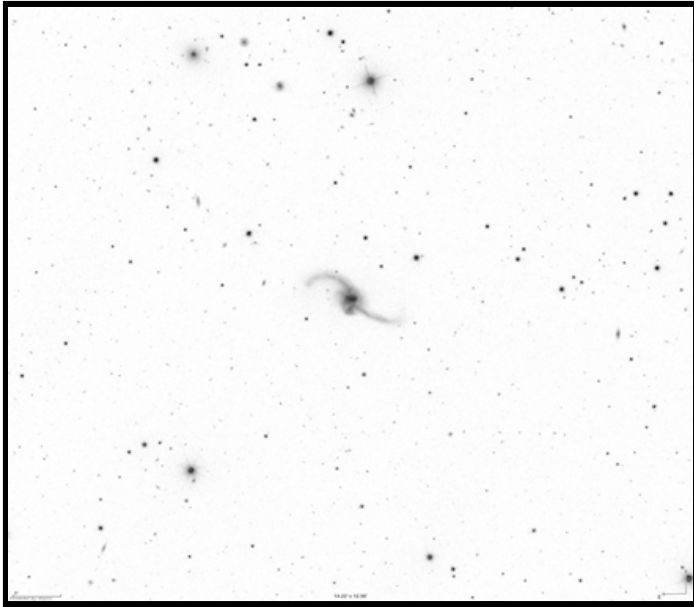
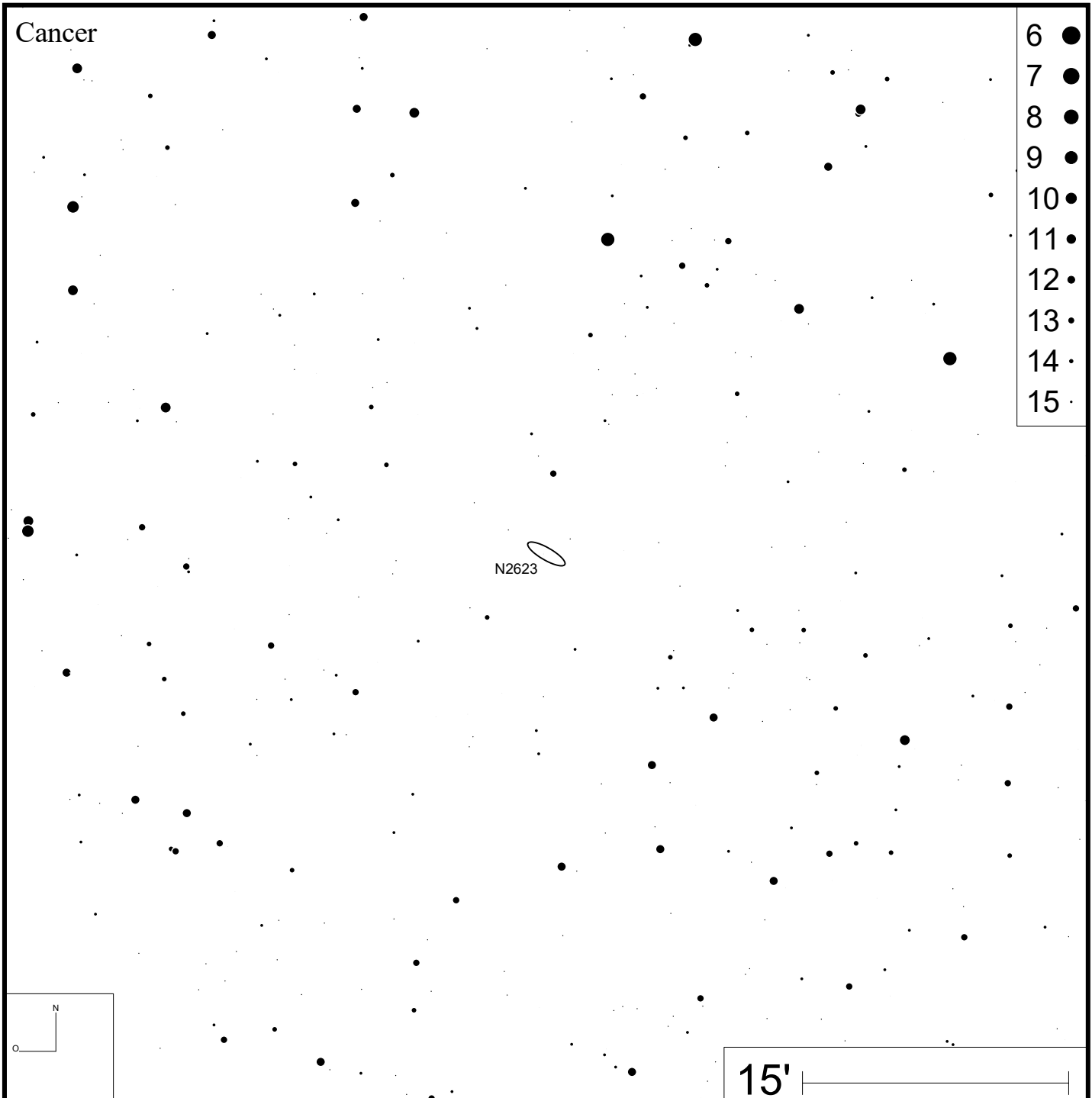
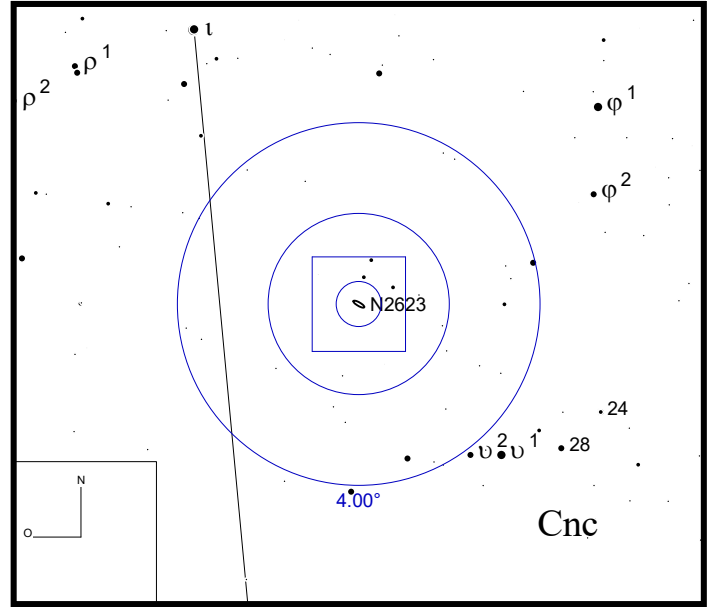


Bild: SDSS



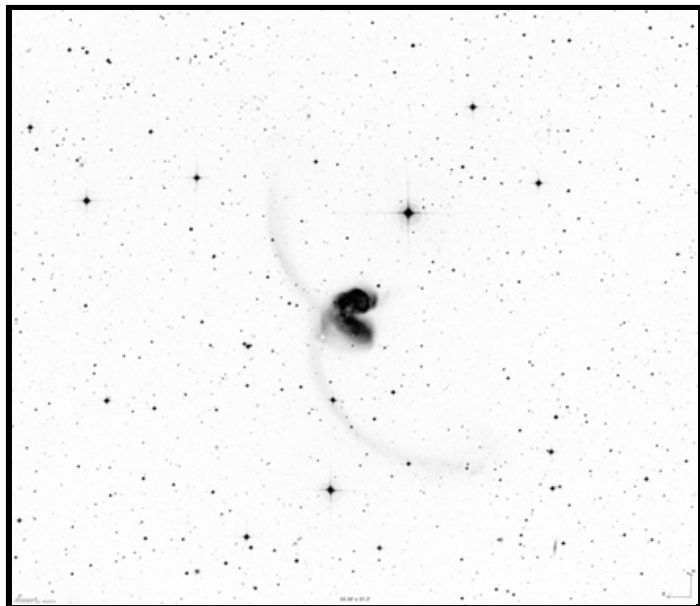
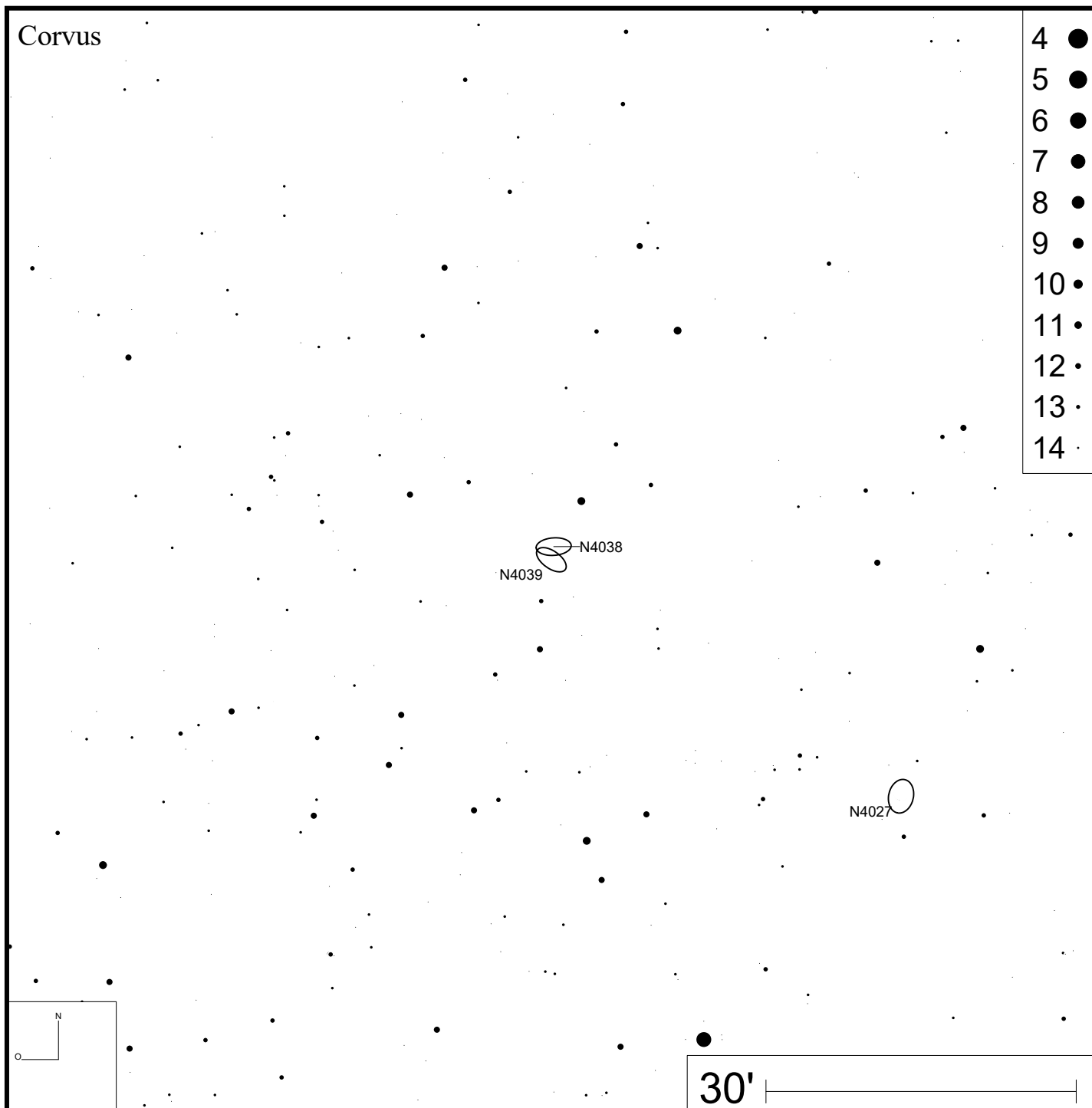
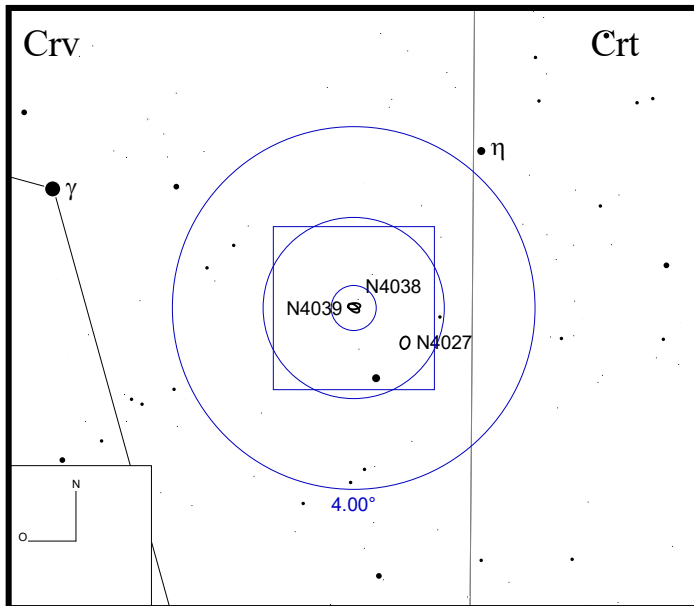


Bild: DSS



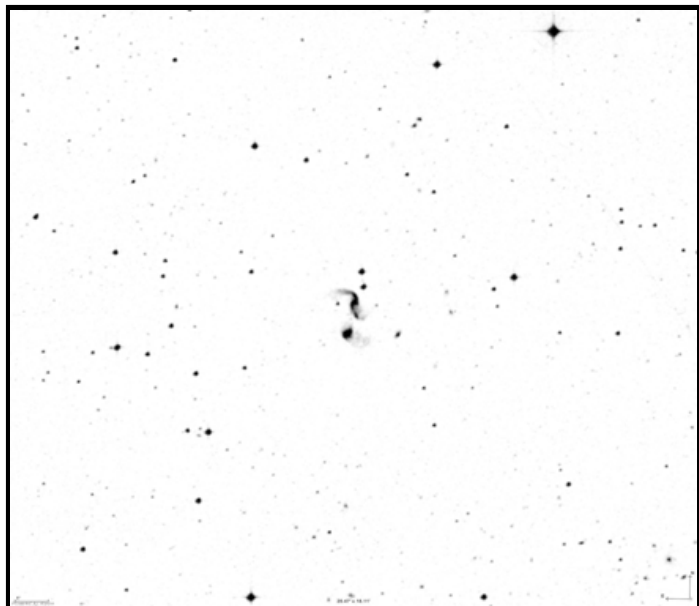
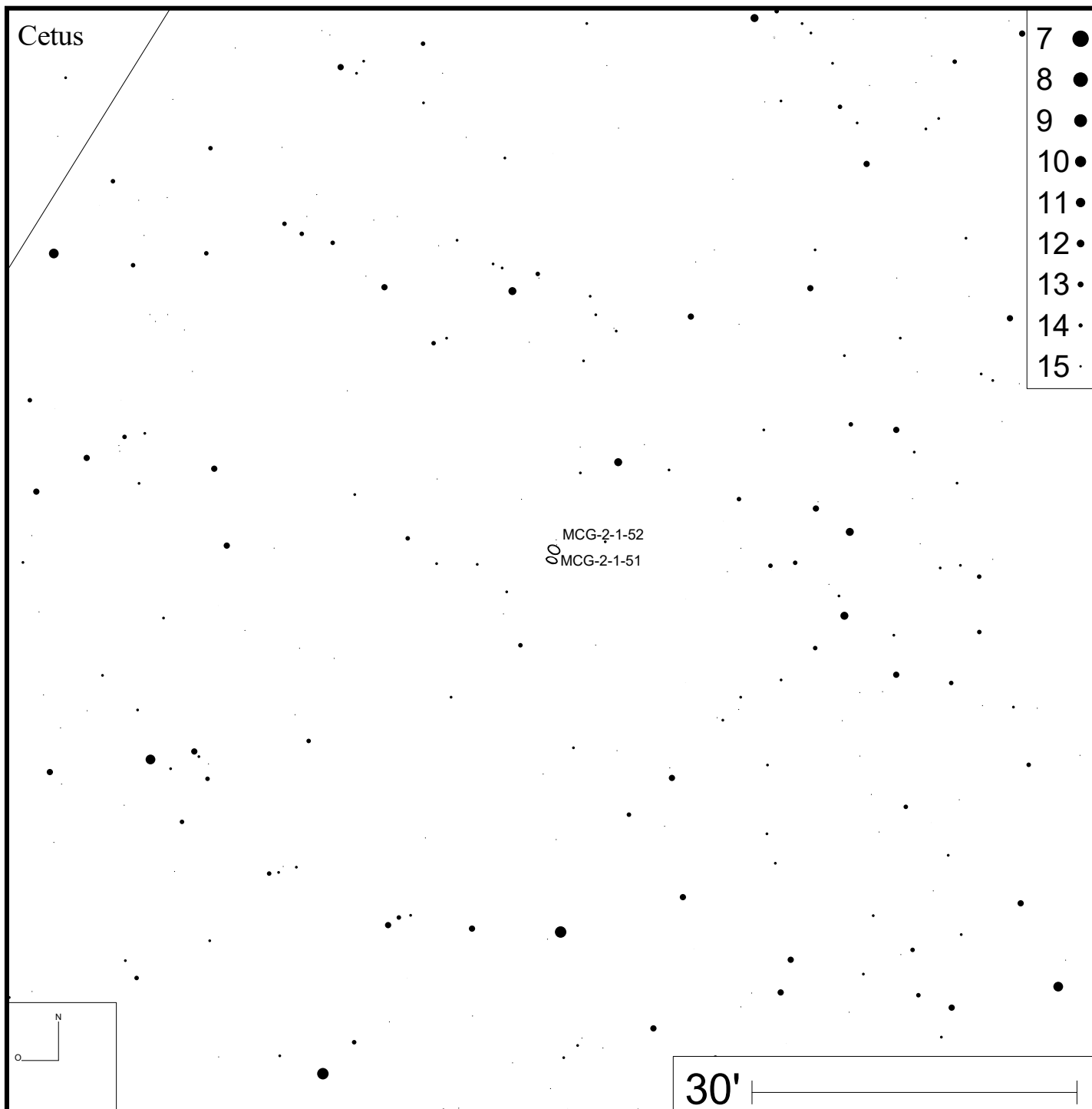
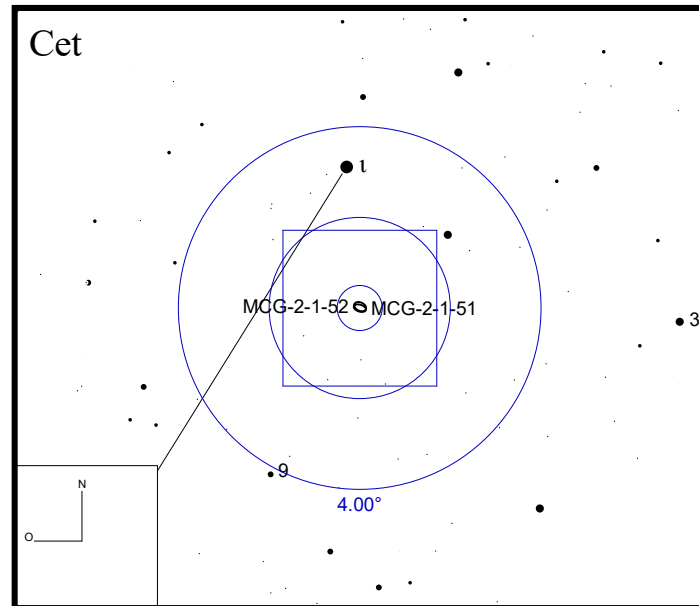


Bild: DSS



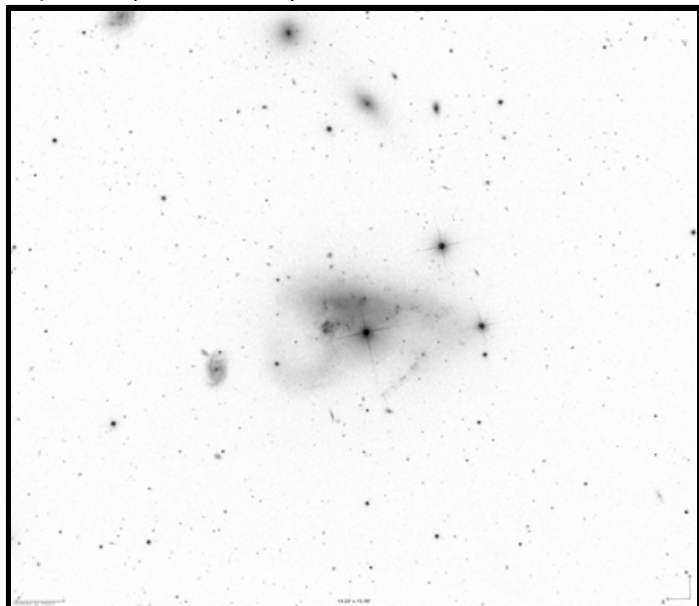
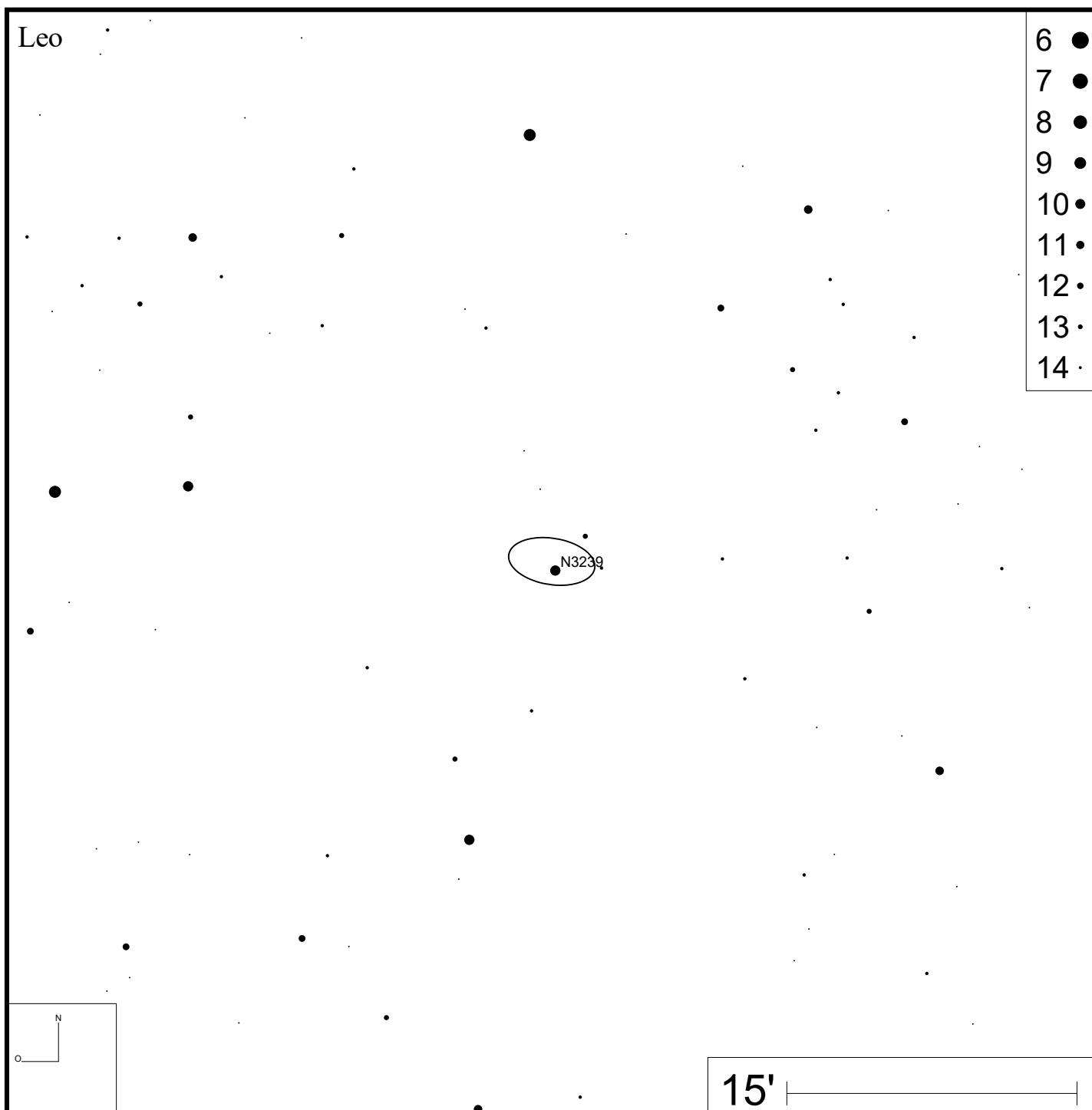
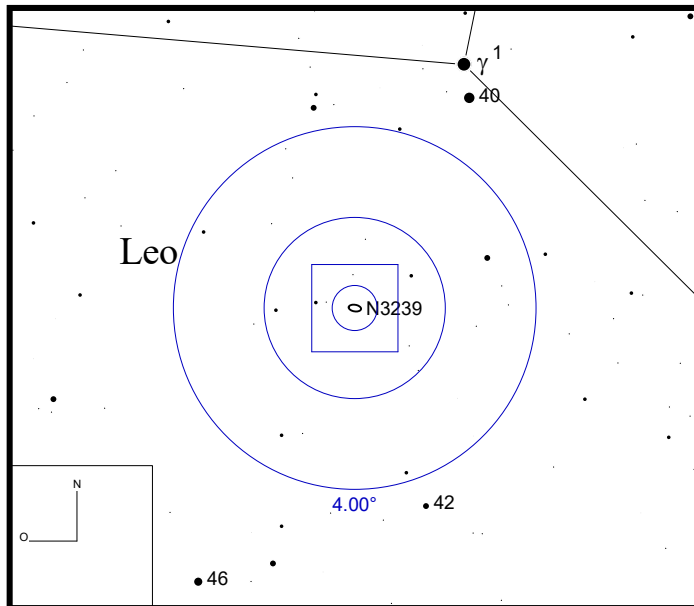


Bild: DSS



Arp 266 (NGC 4861)

RA 12h59m02s DEC +34°51'34"

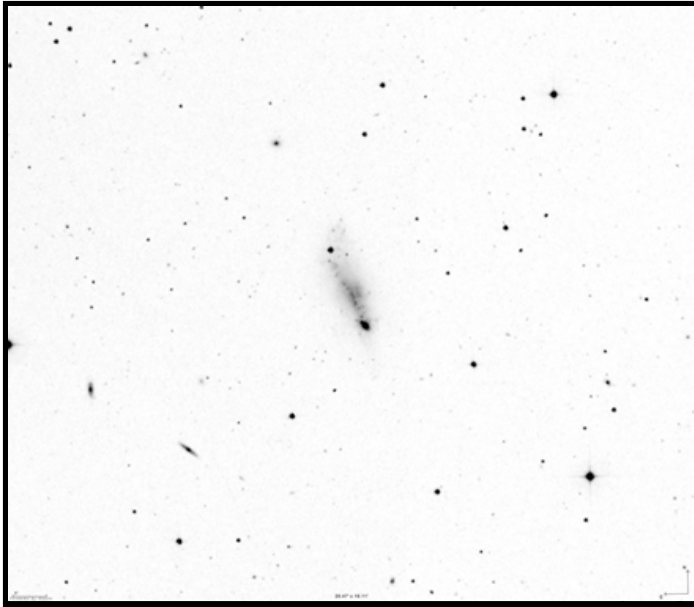
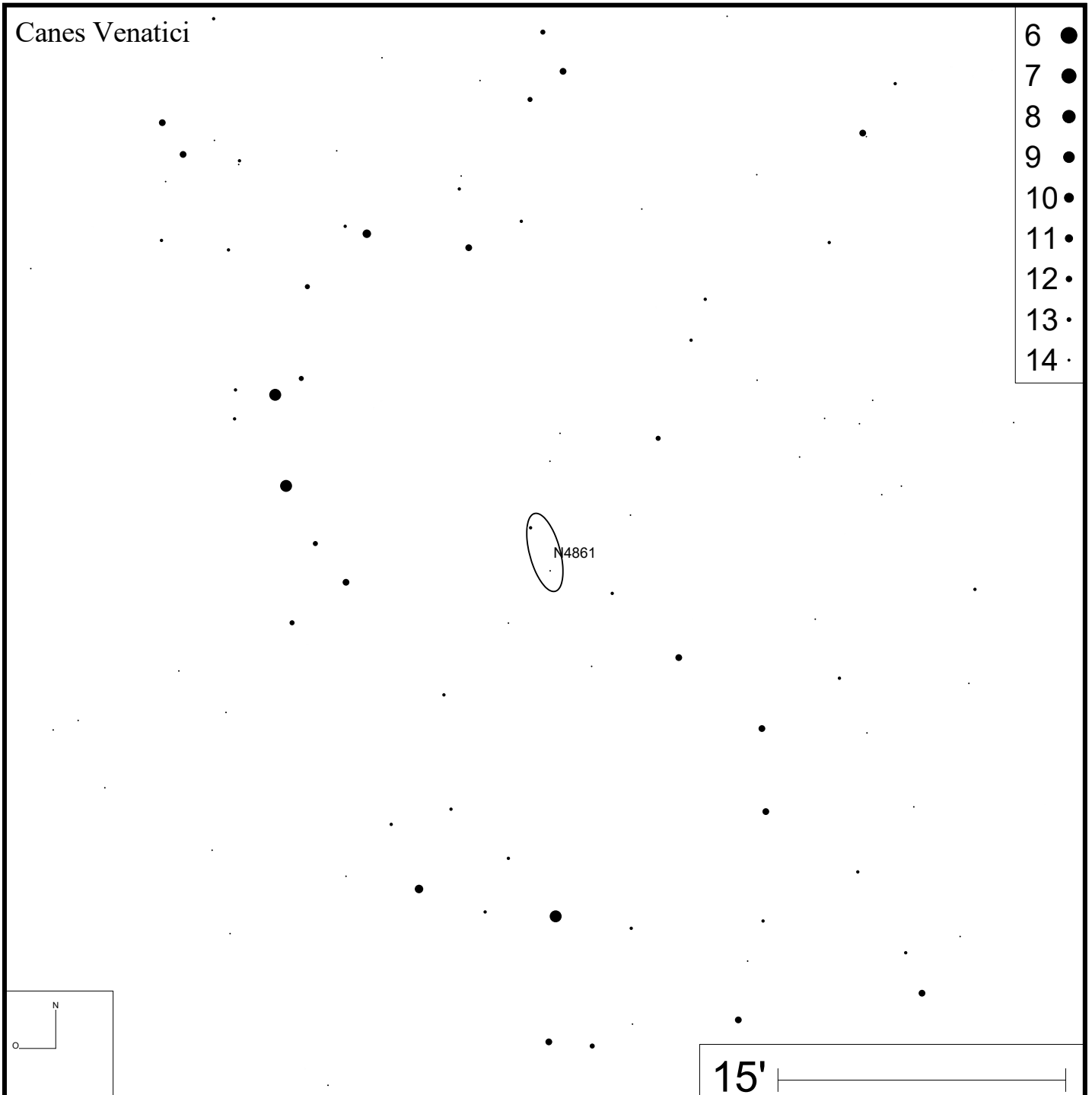
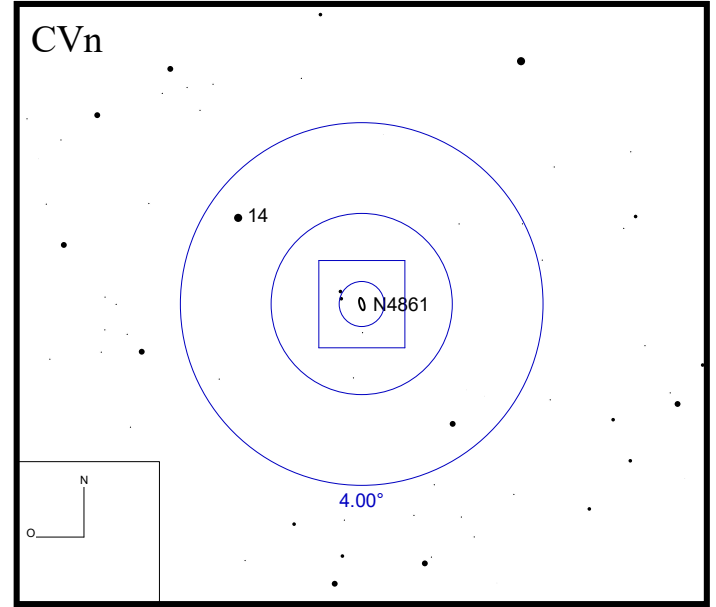


Bild: DSS



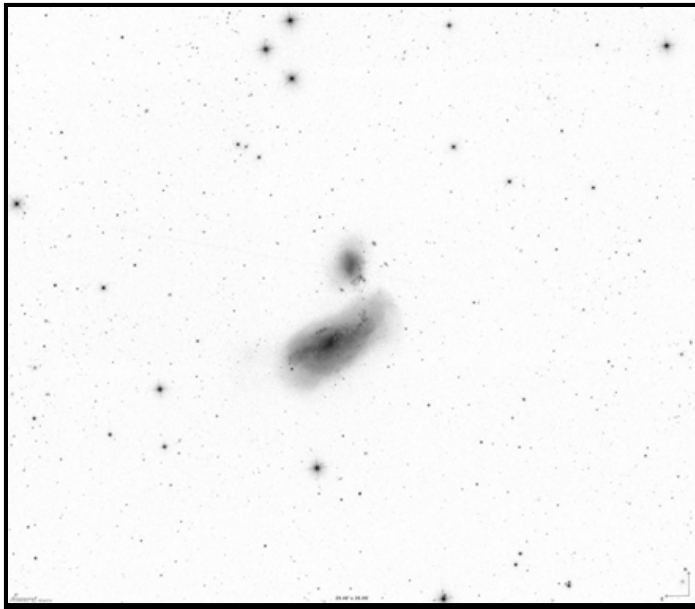
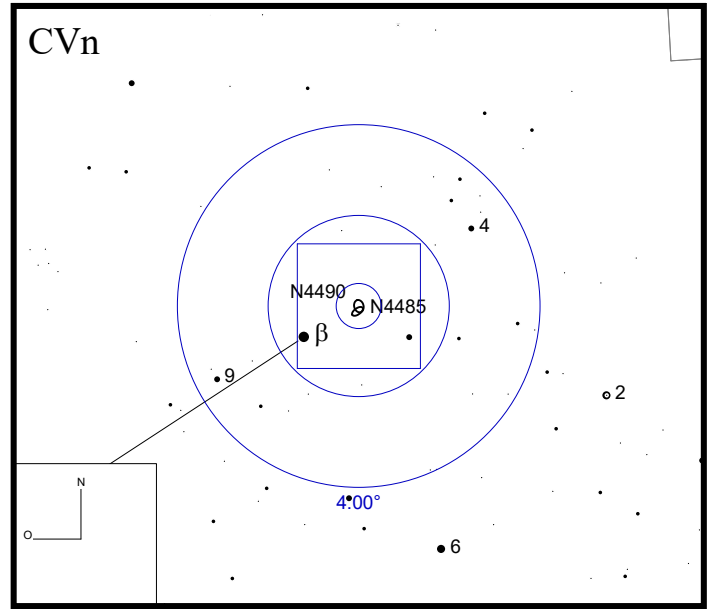
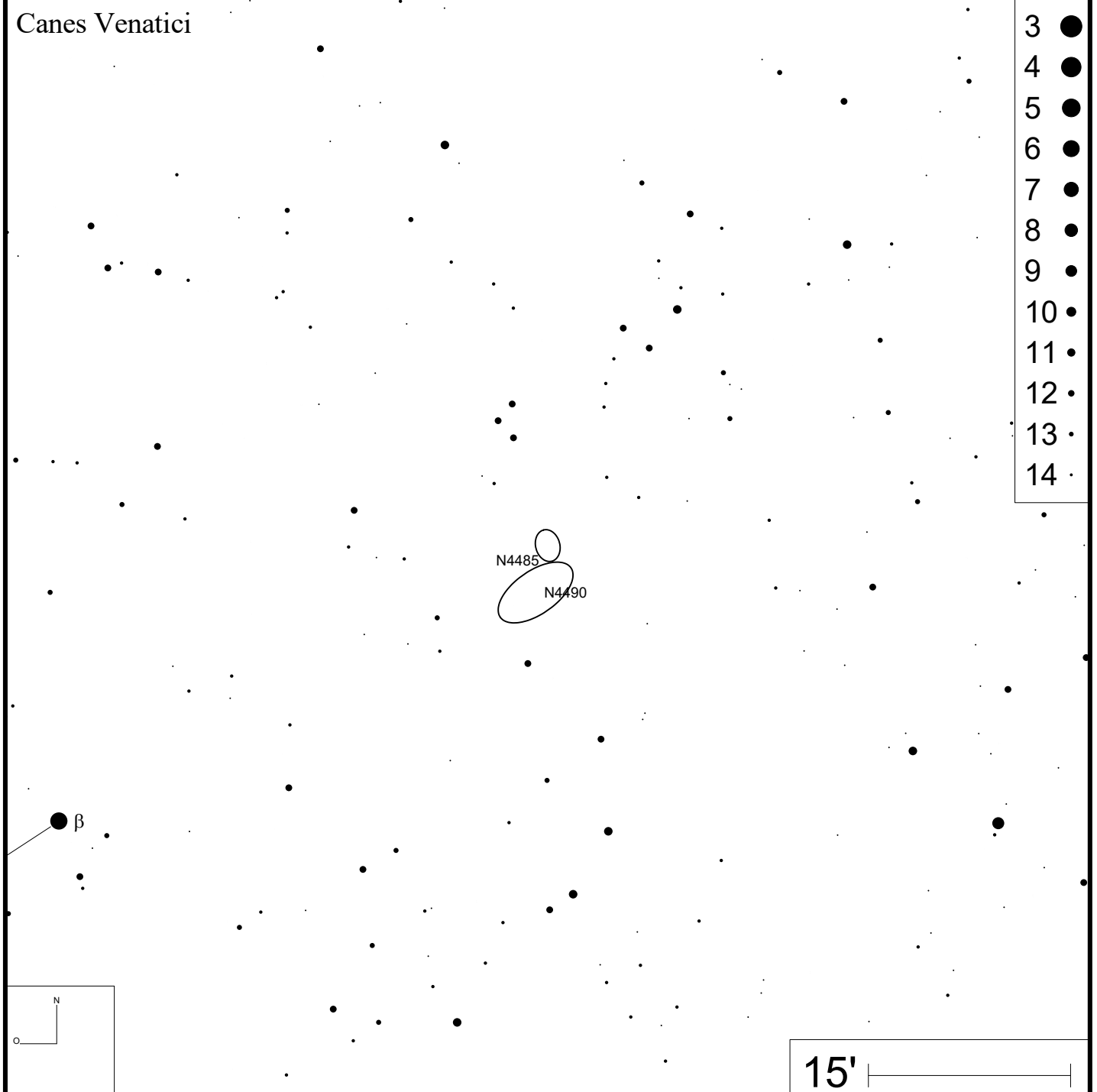


Bild: SDSS



### Canes Venatici



- 3 ●
- 4 ●
- 5 ●
- 6 ●
- 7 ●
- 8 ●
- 9 ●
- 10 ●
- 11 ●
- 12 ●
- 13 ●
- 14 ●

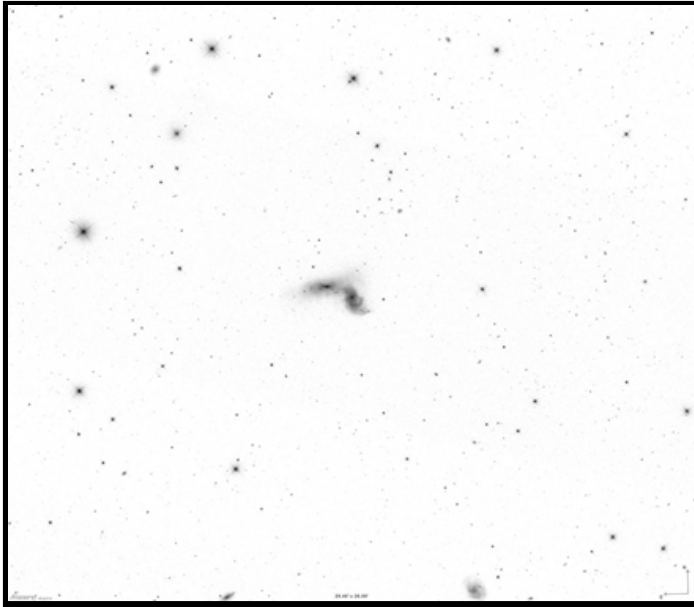
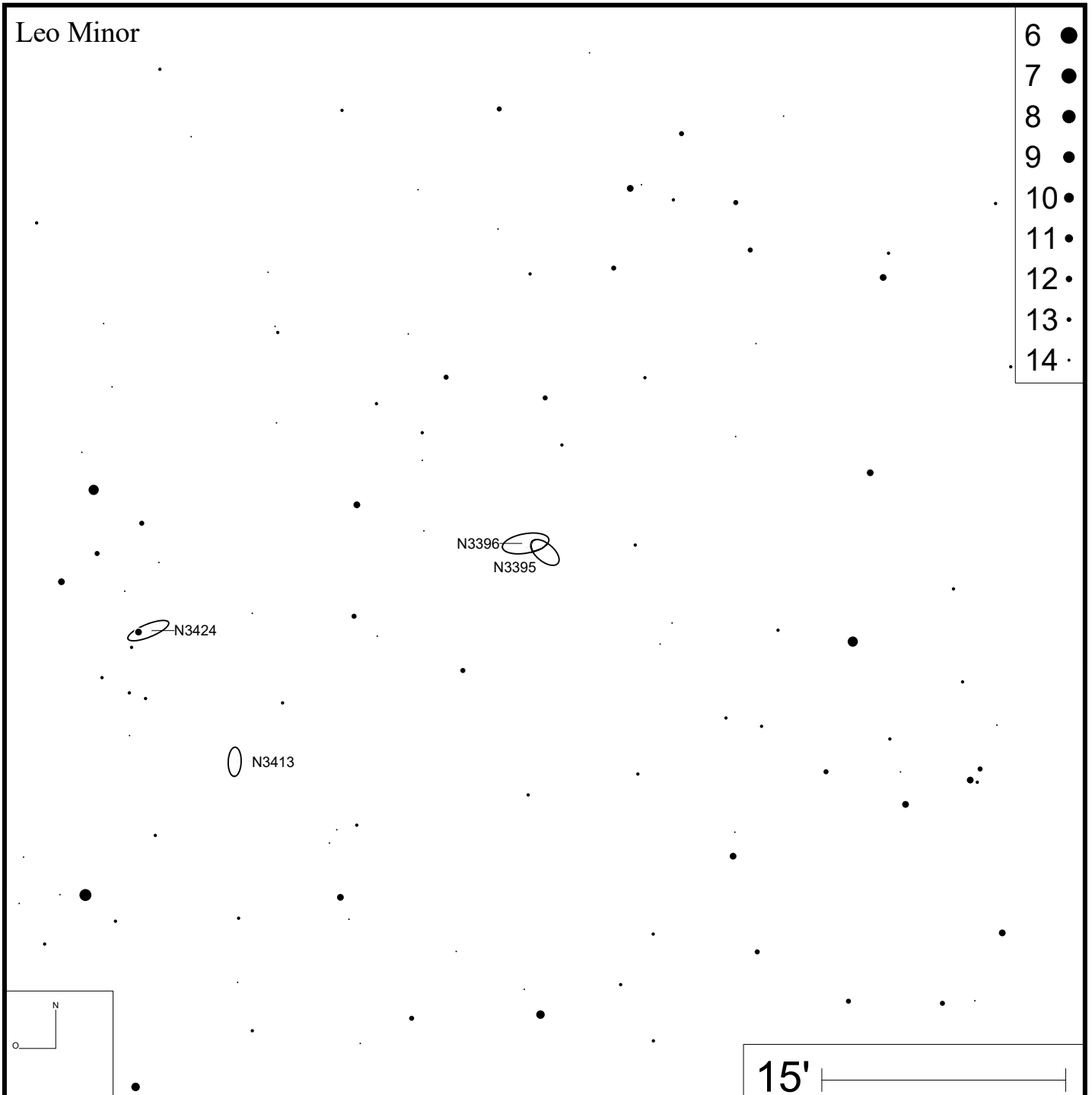
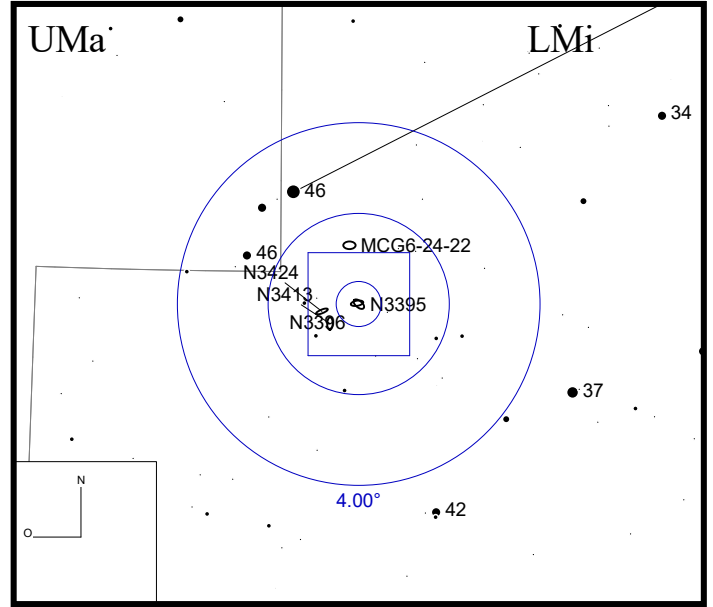


Bild: SDSS





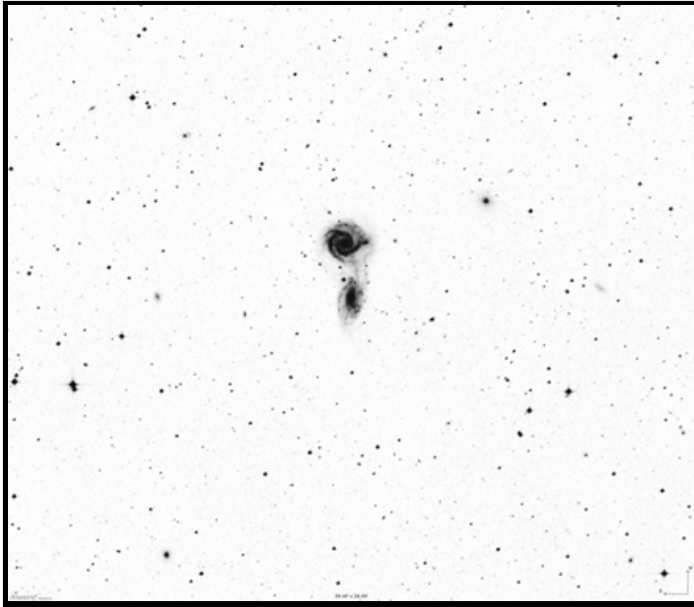
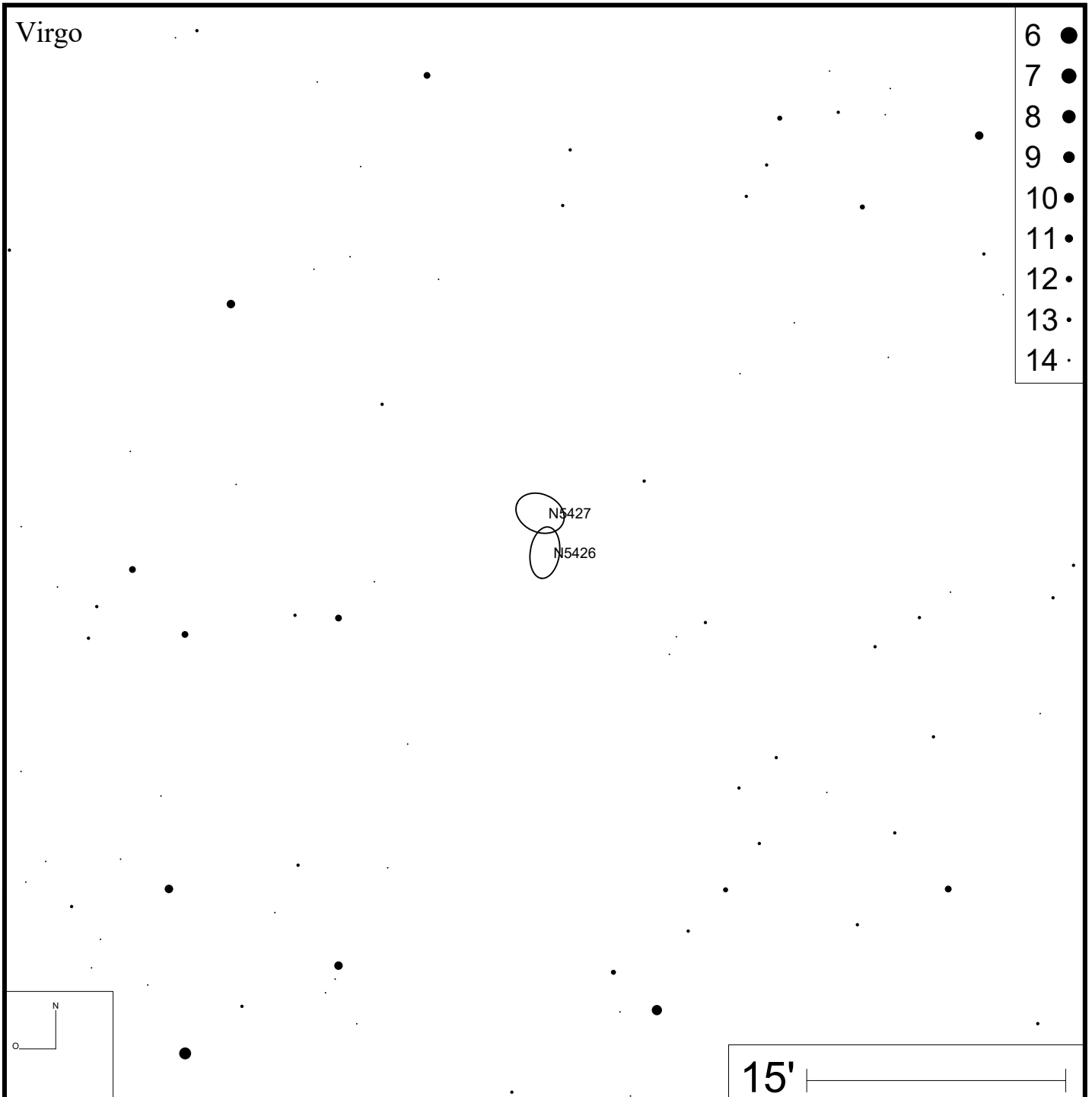
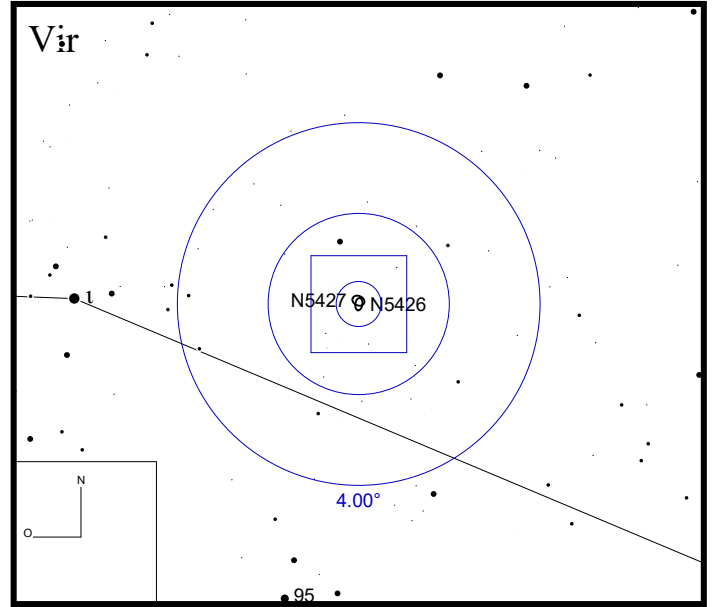


Bild: DSS



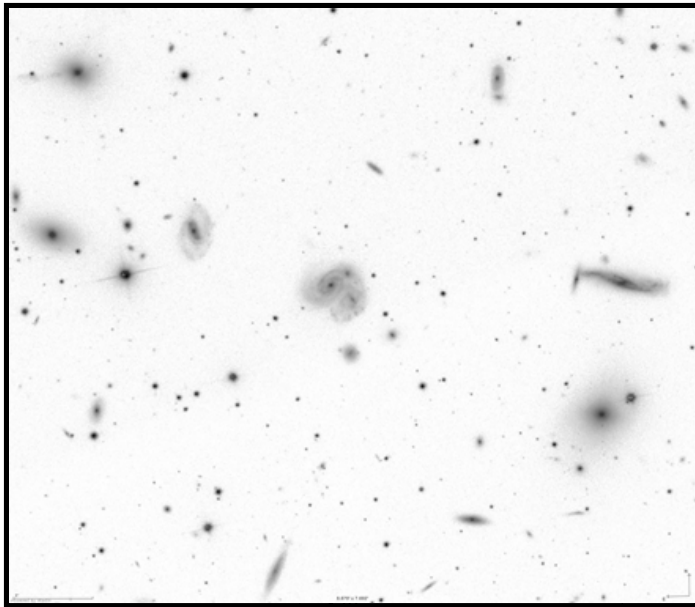
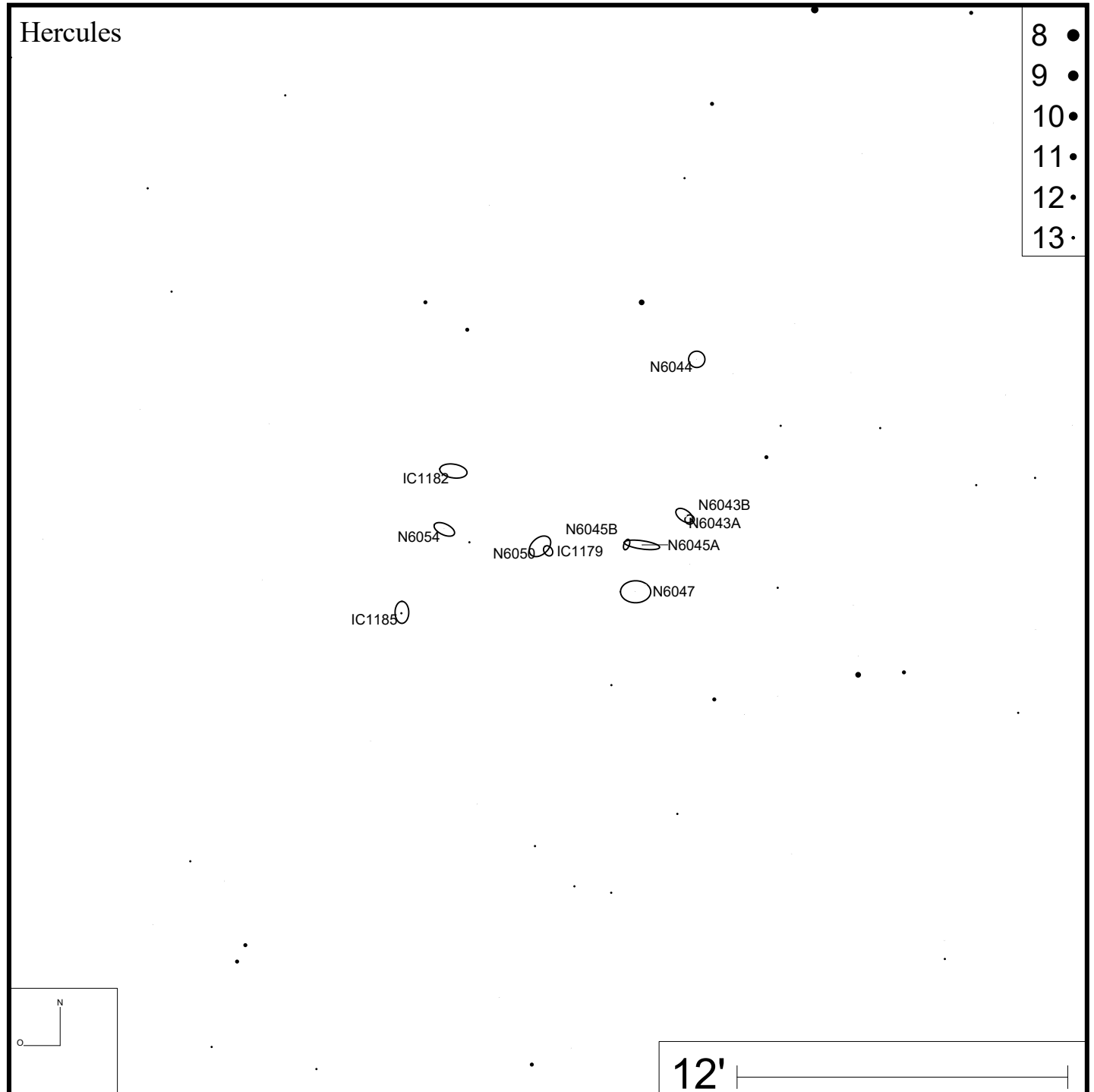
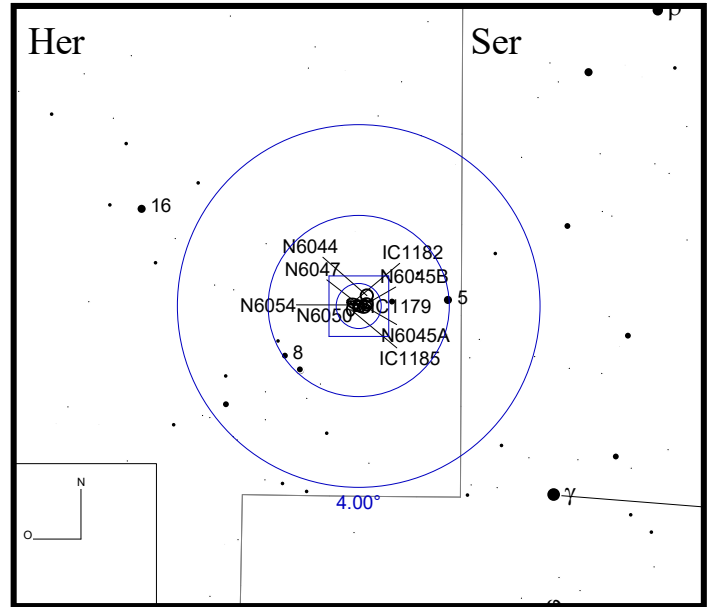


Bild: SDSS



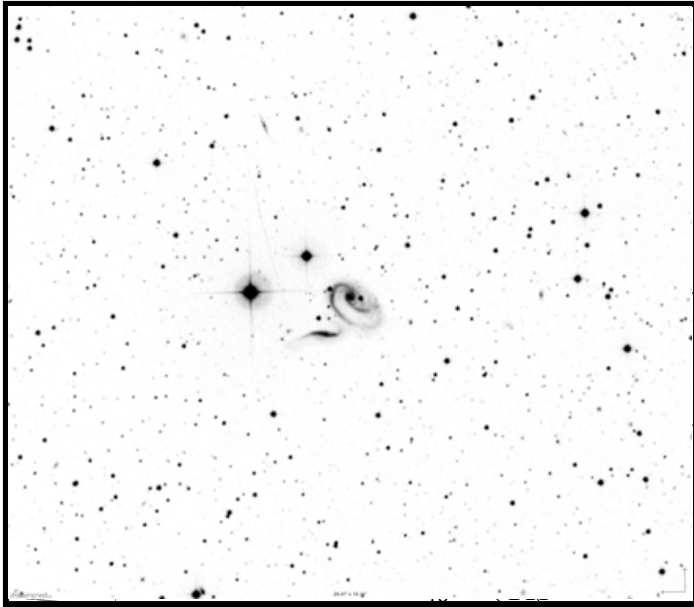
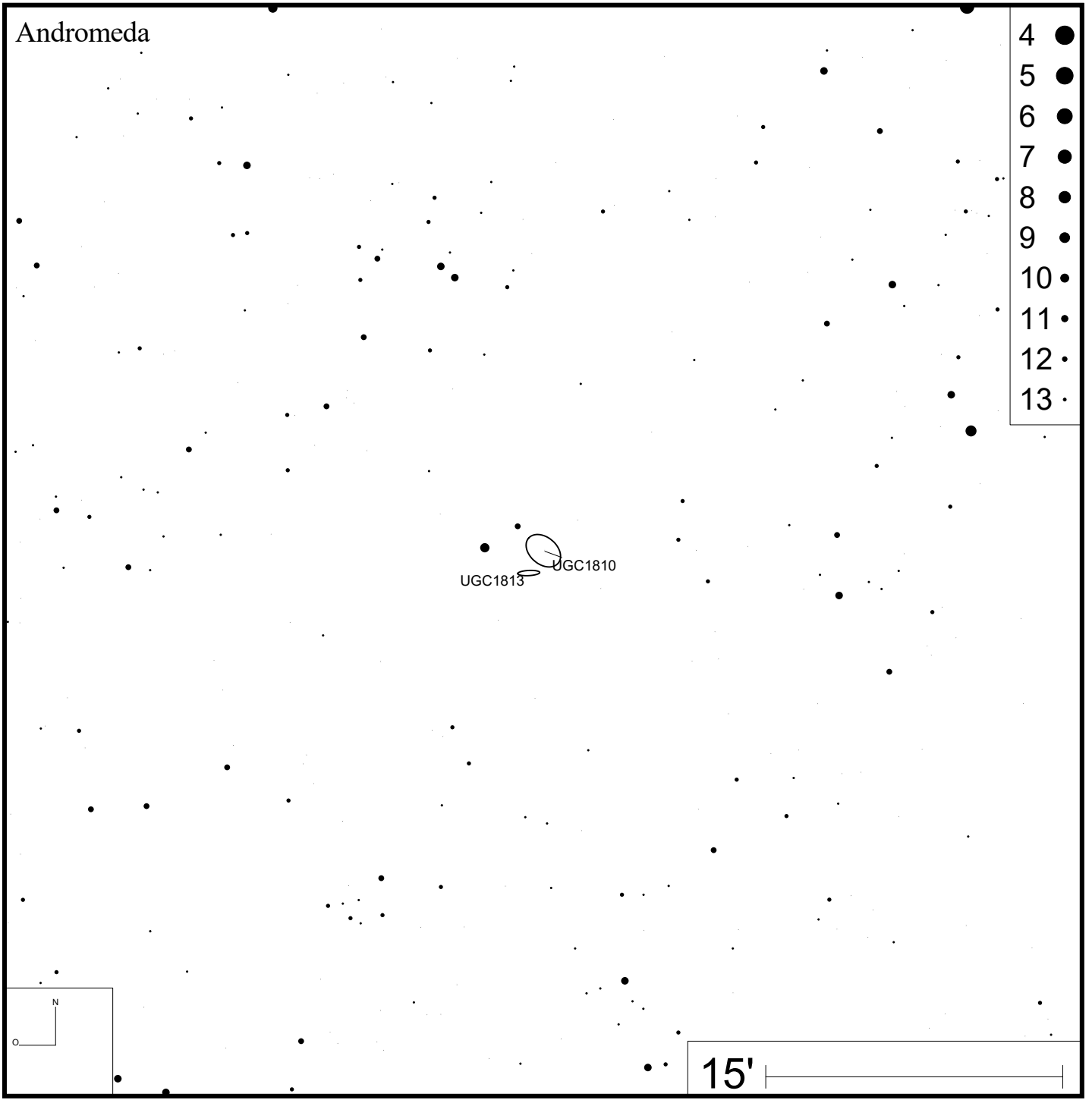
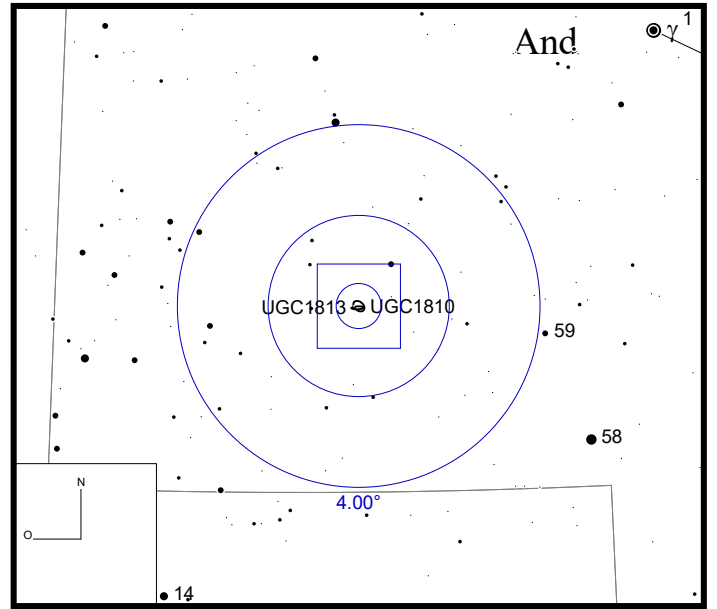


Bild: DSS



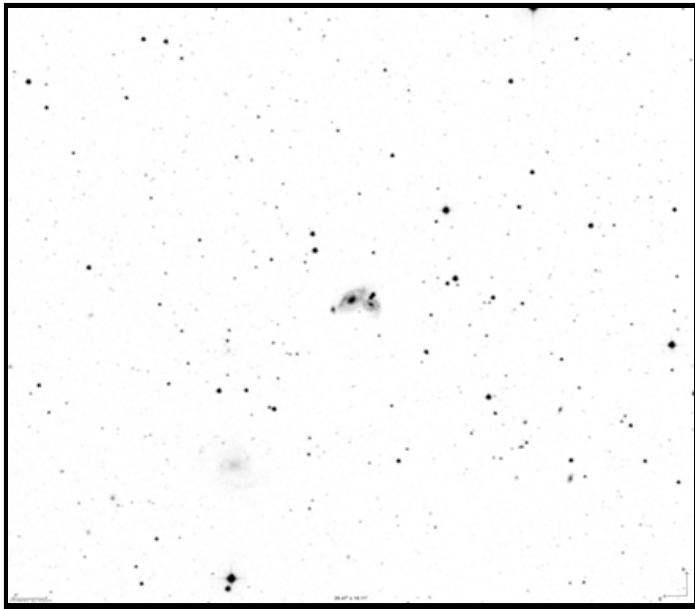
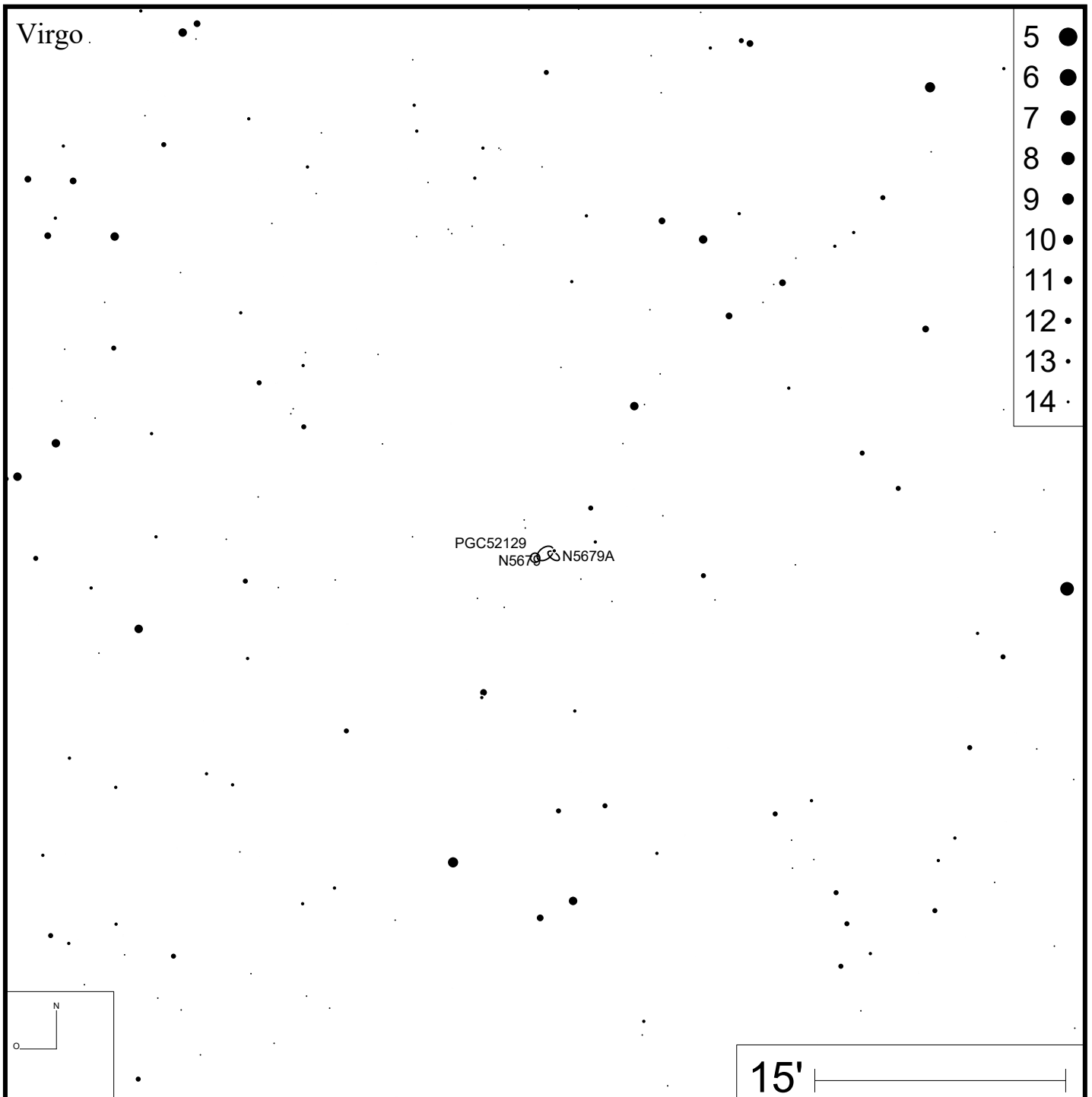
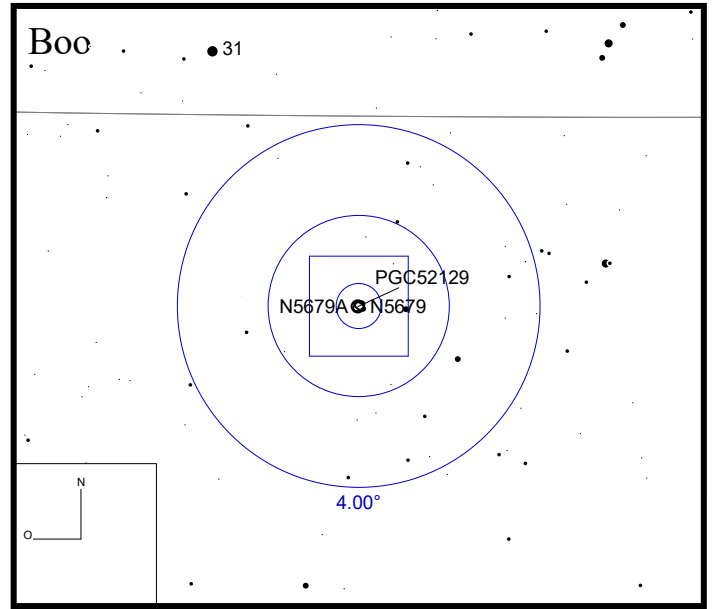


Bild: DSS



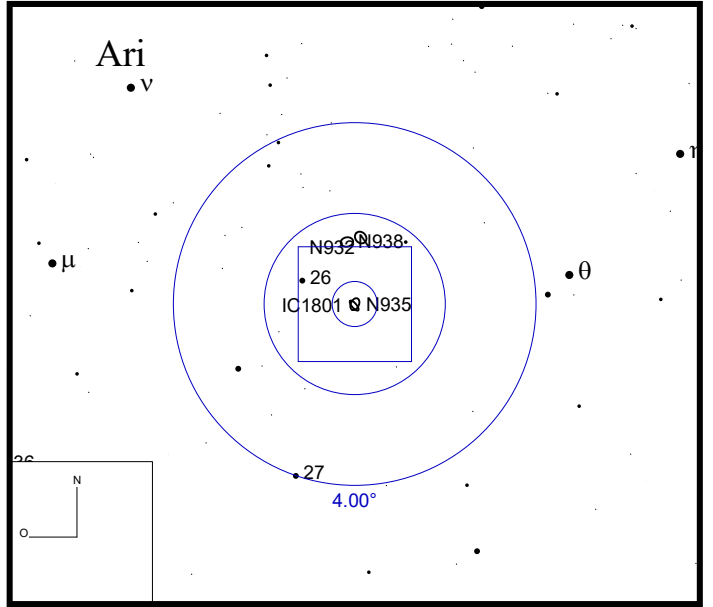
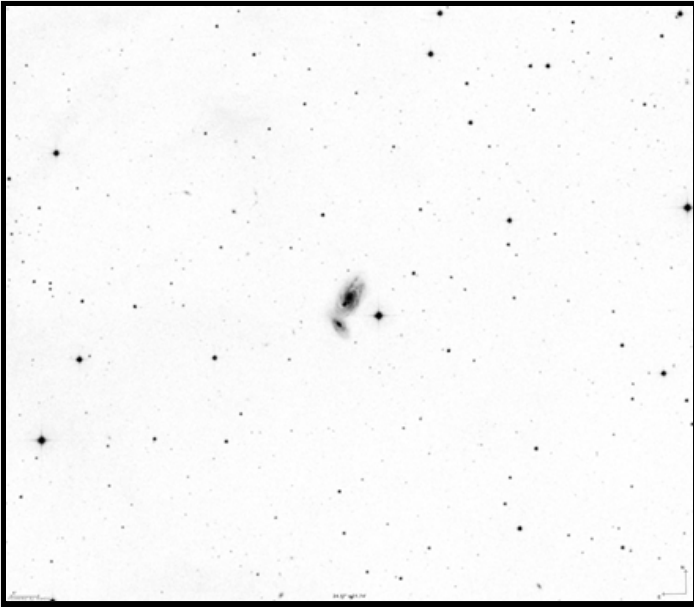
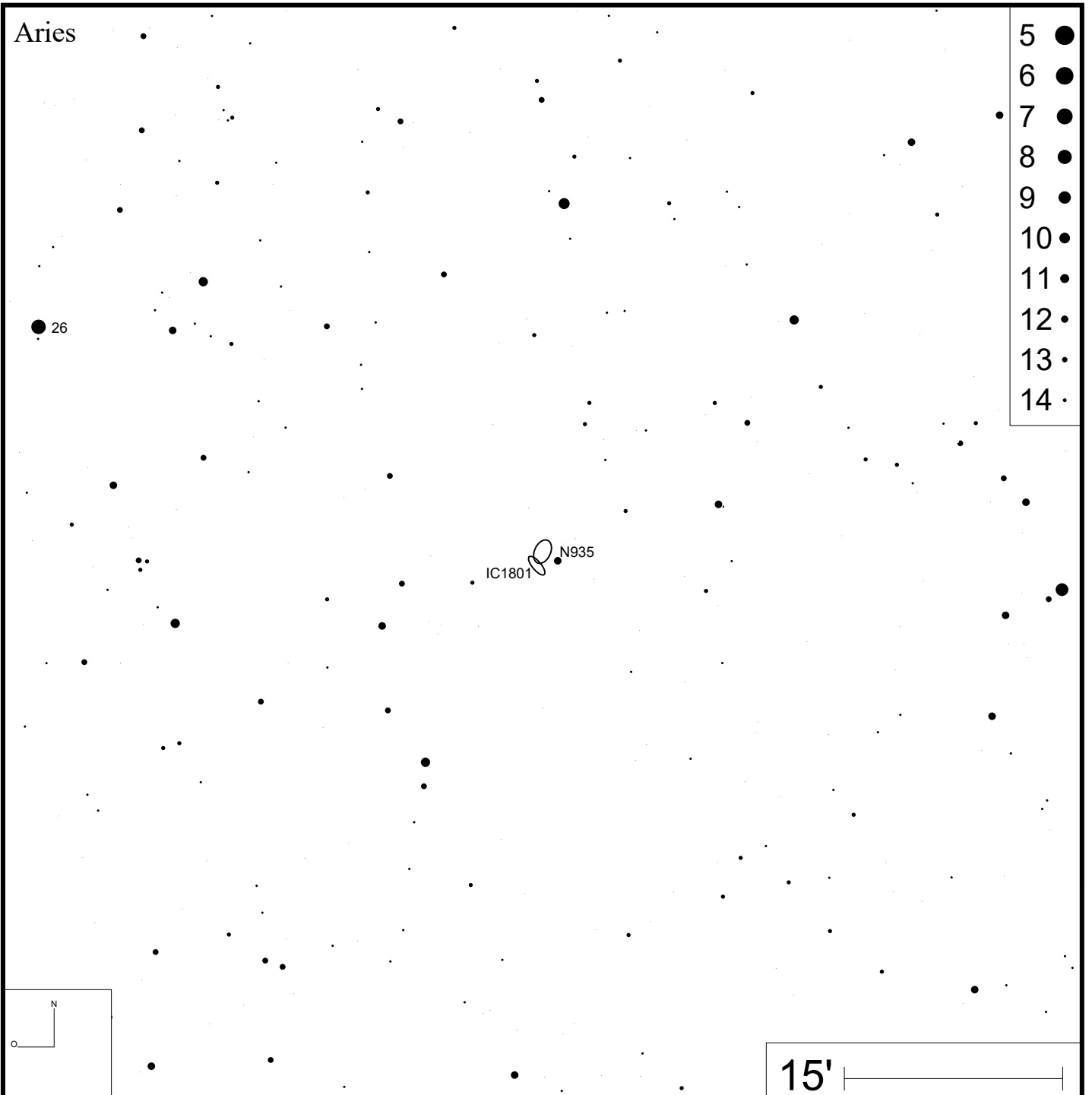


Bild: DSS



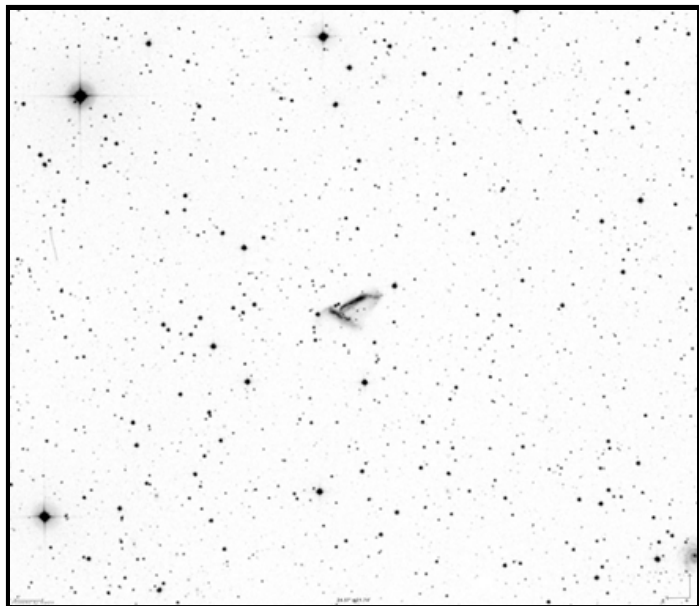
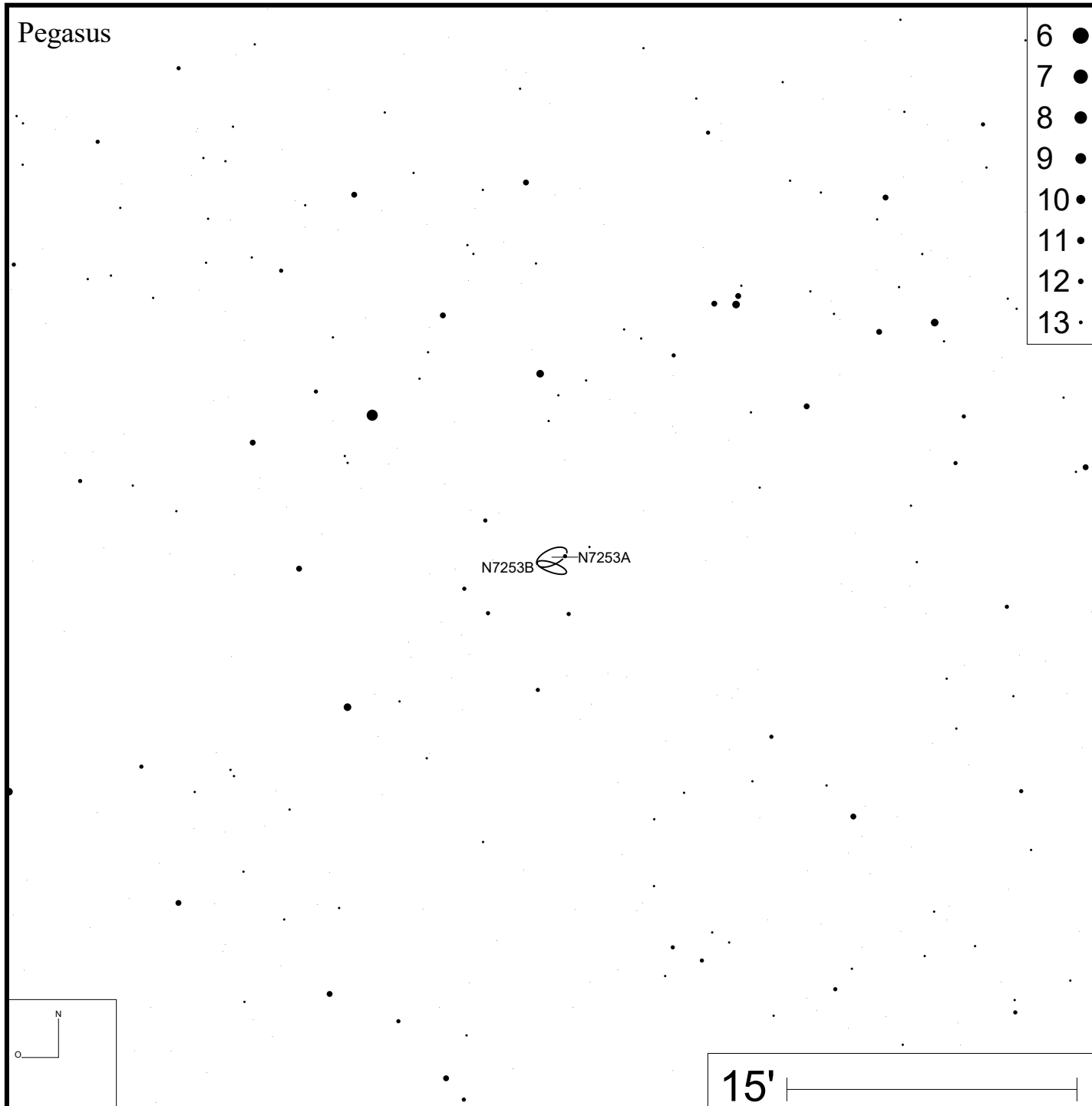
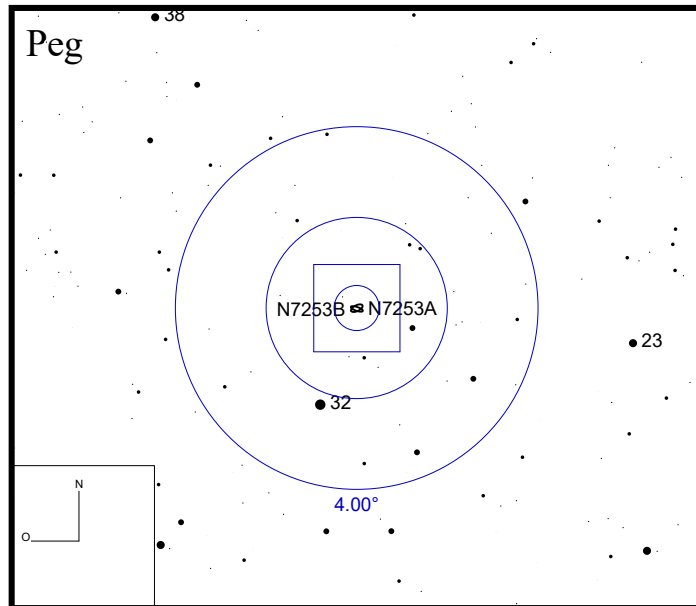


Bild: DSS



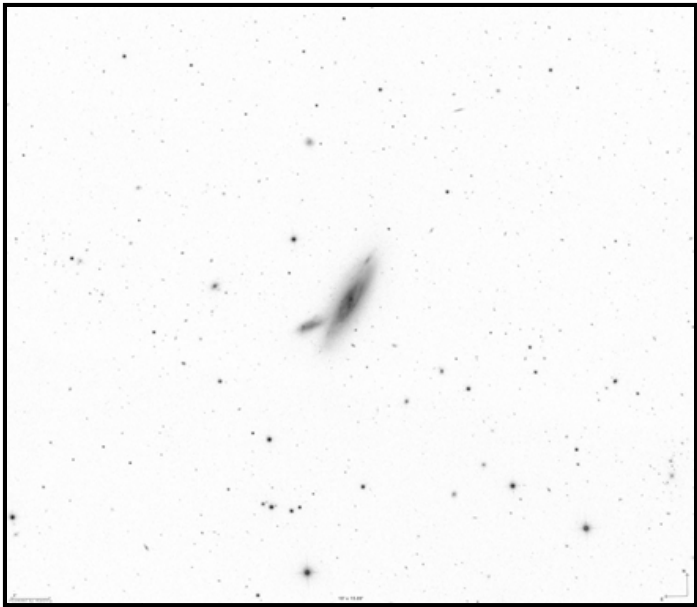
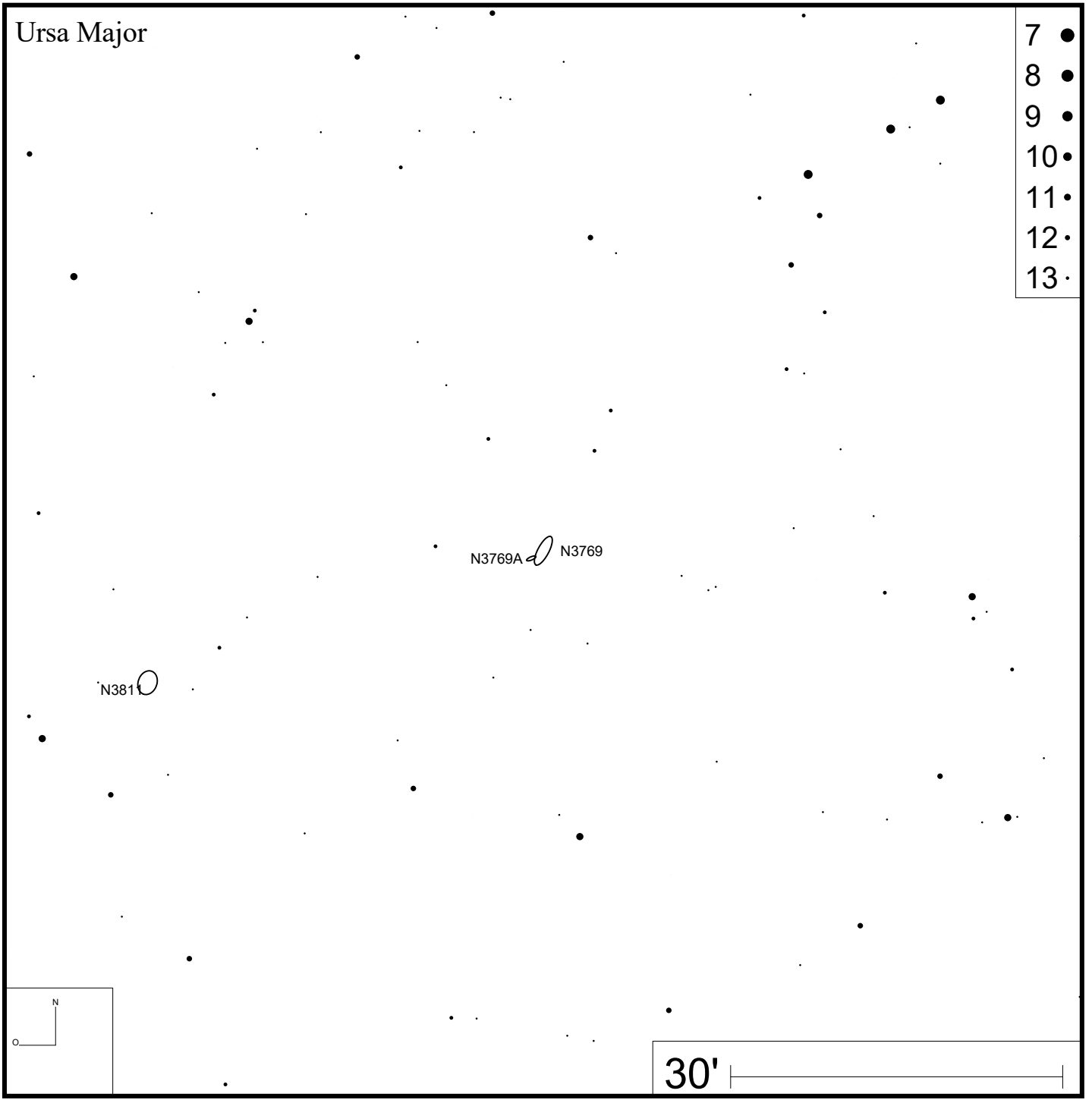
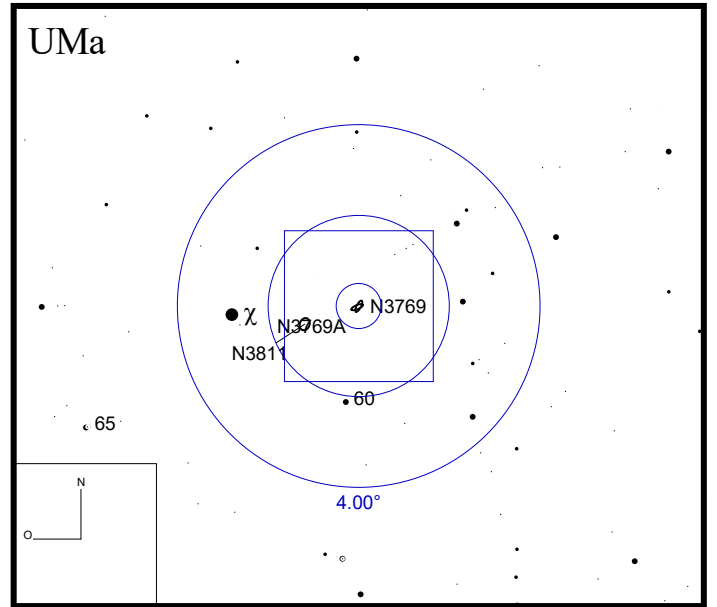


Bild: SDSS



- 7 ●
- 8 ●
- 9 ●
- 10 ●
- 11 ●
- 12 ●
- 13 ●

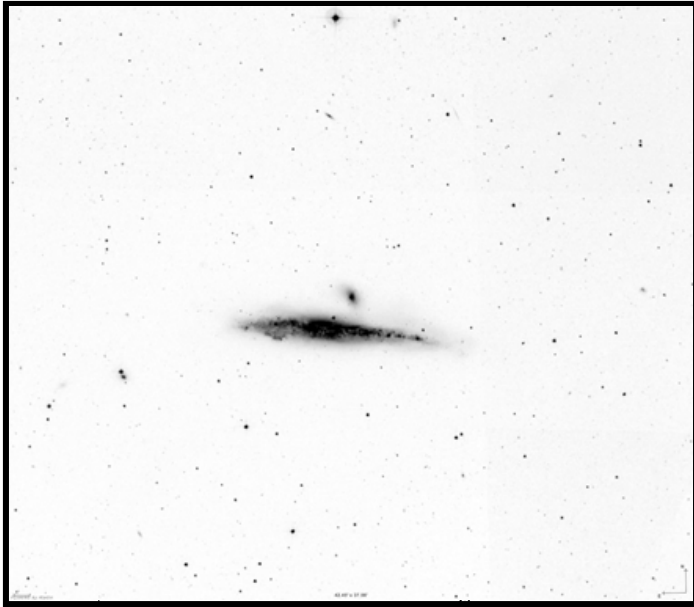
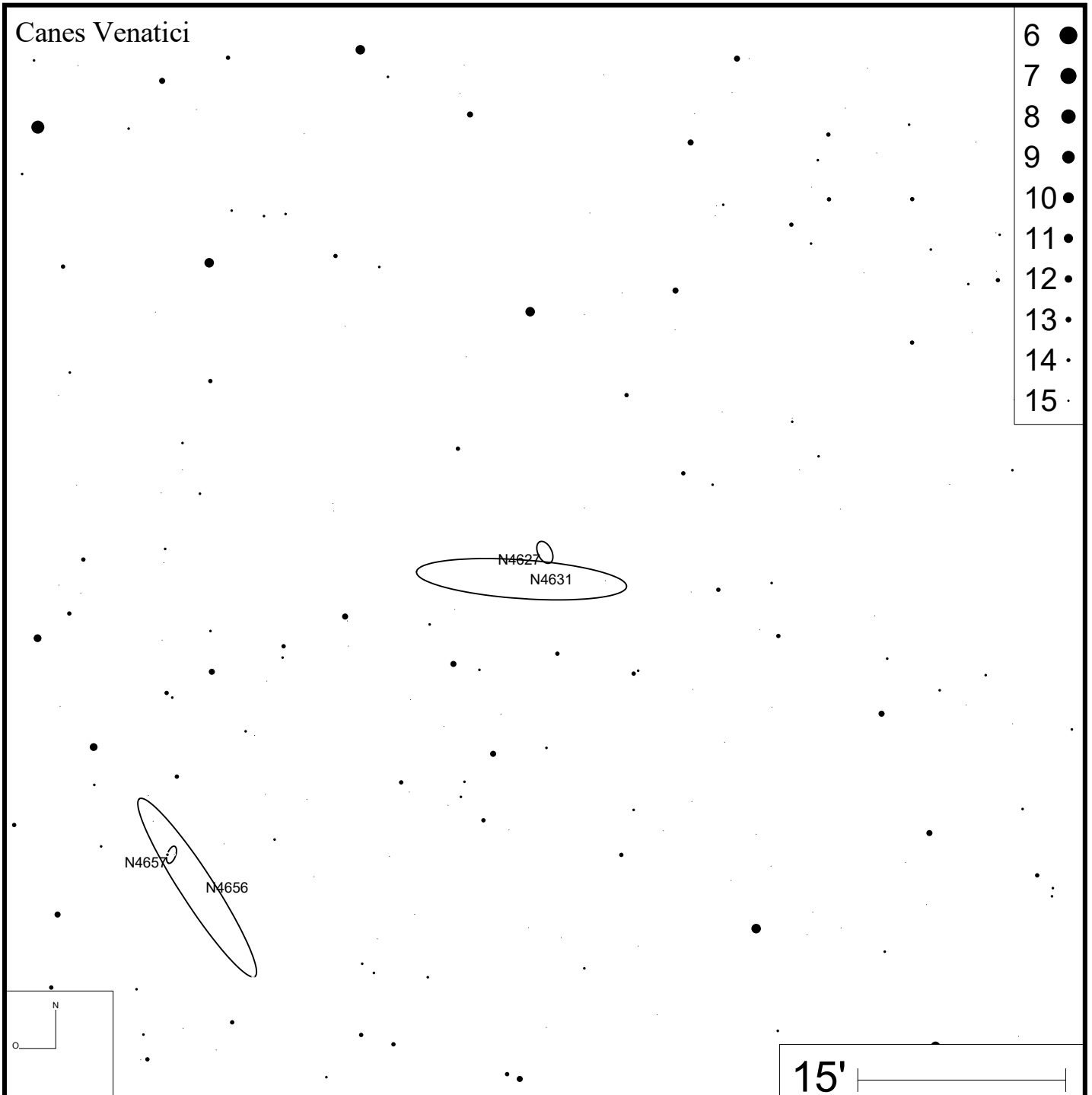
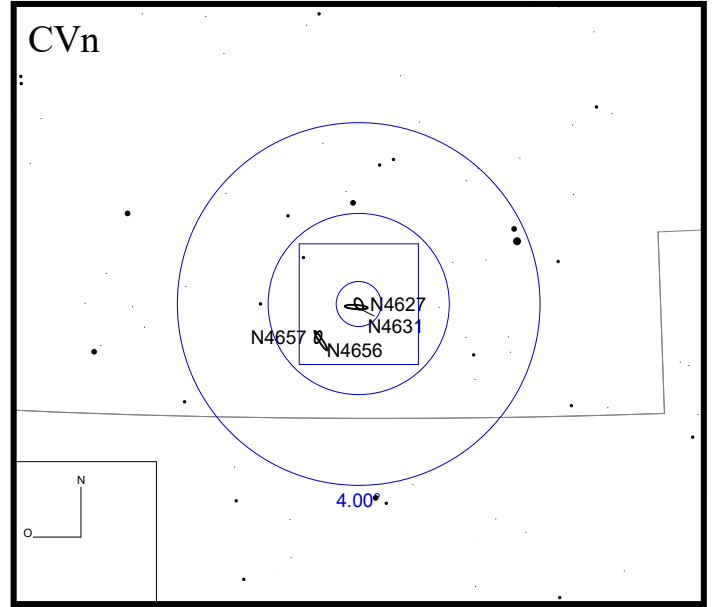


Bild: DSS



- 6 ●
- 7 ●
- 8 ●
- 9 ●
- 10 ●
- 11 ●
- 12 ●
- 13 ●
- 14 ●
- 15 ●



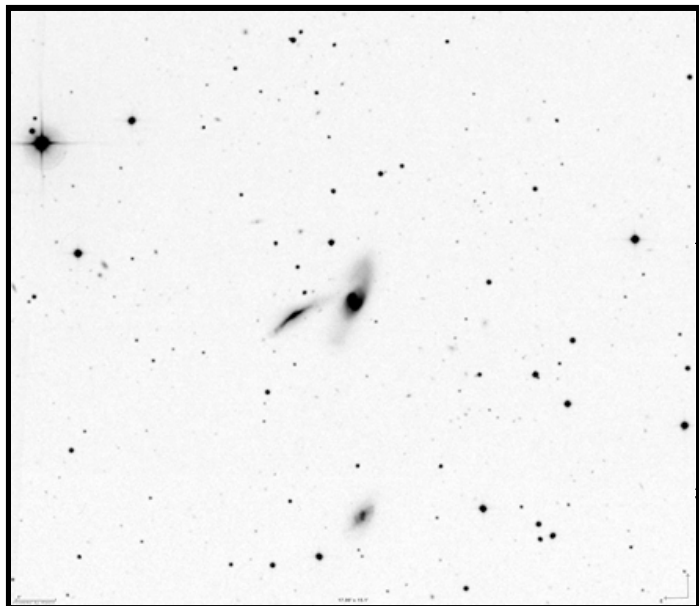
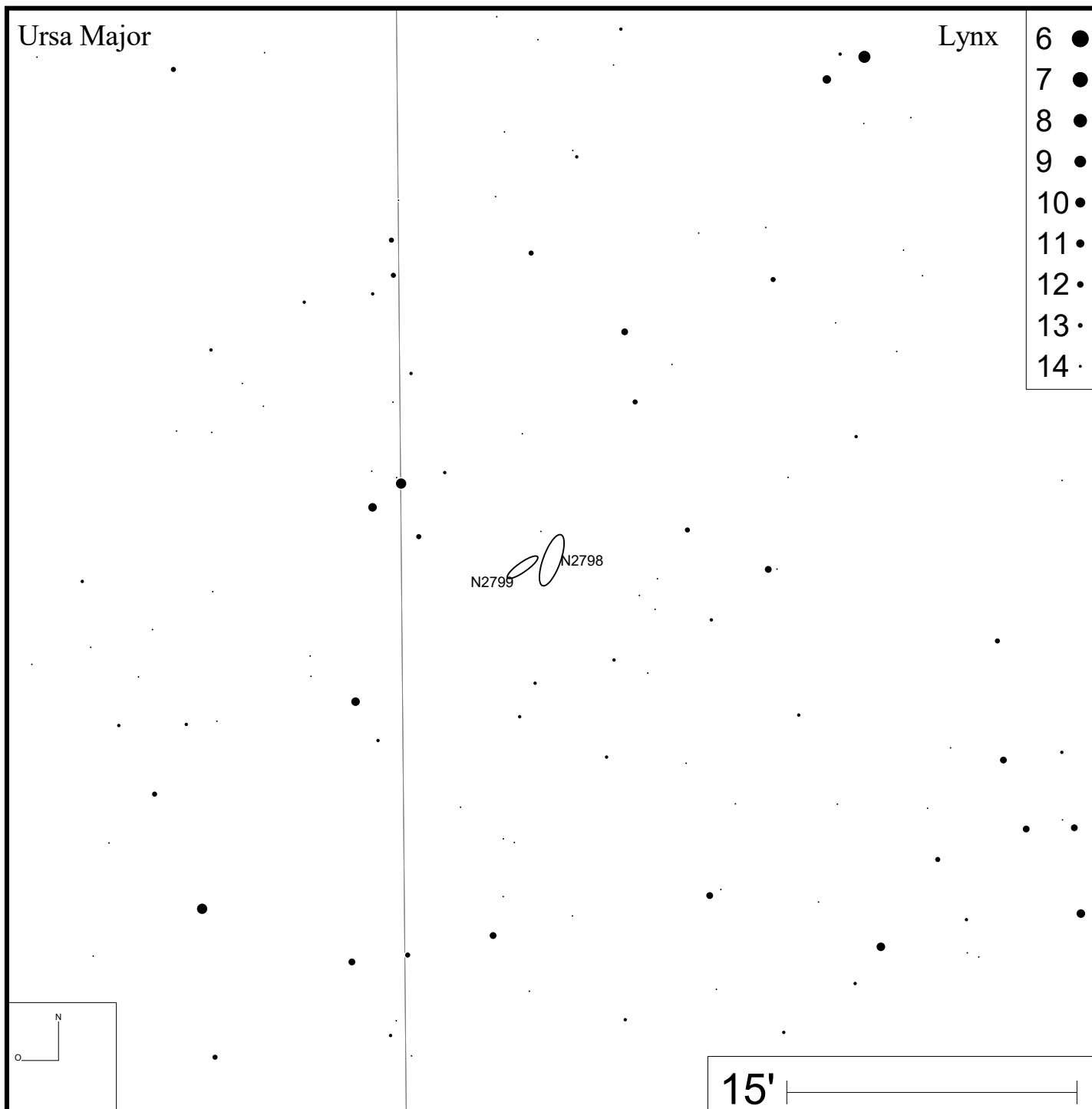
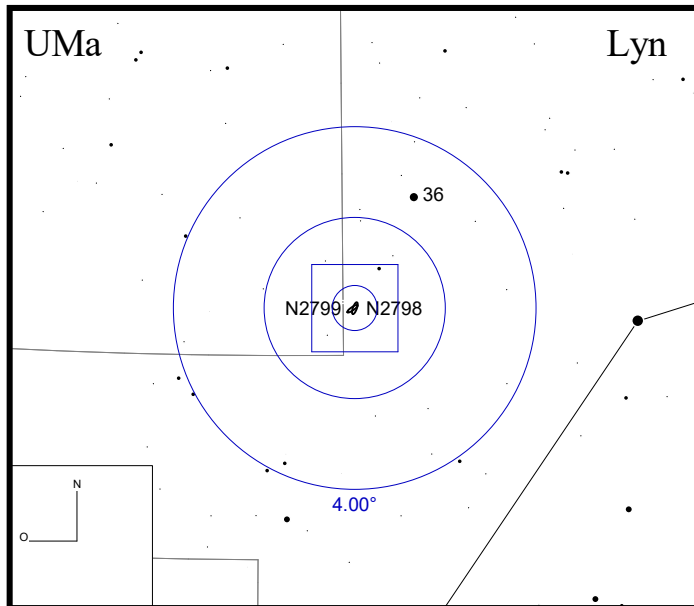


Bild: DSS



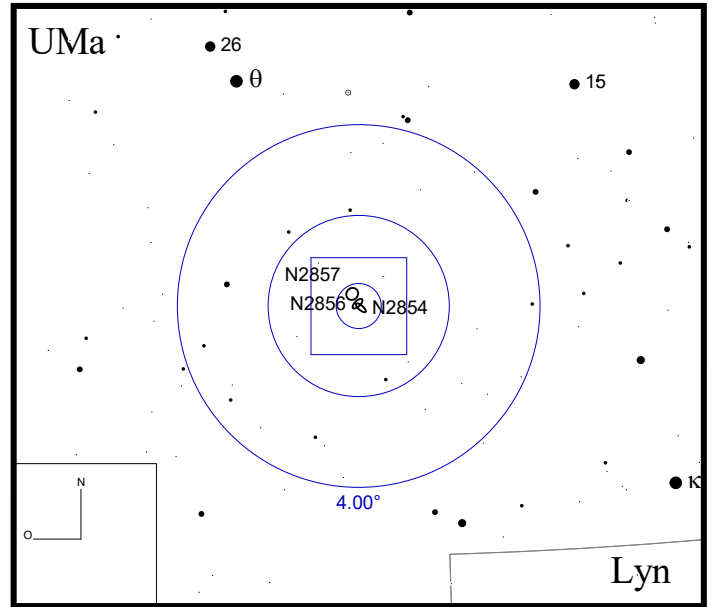
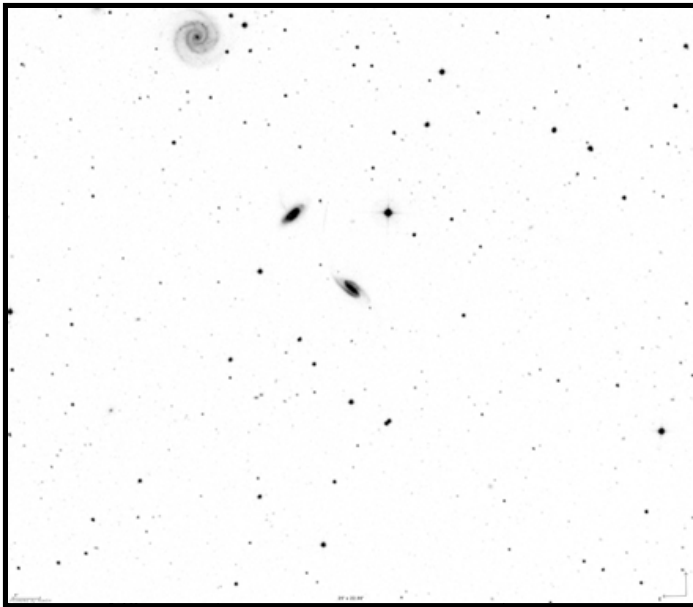
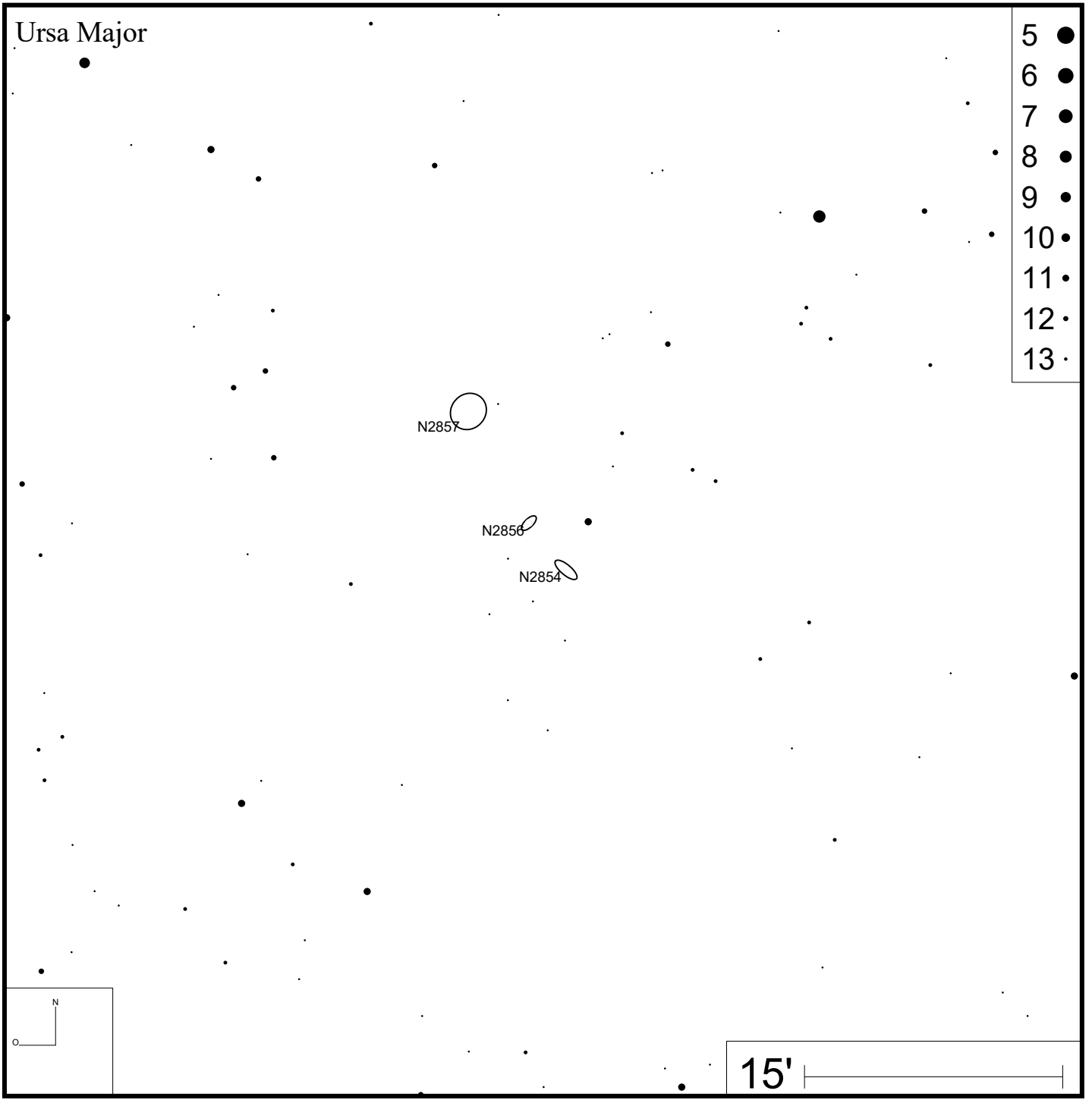


Bild: DSS



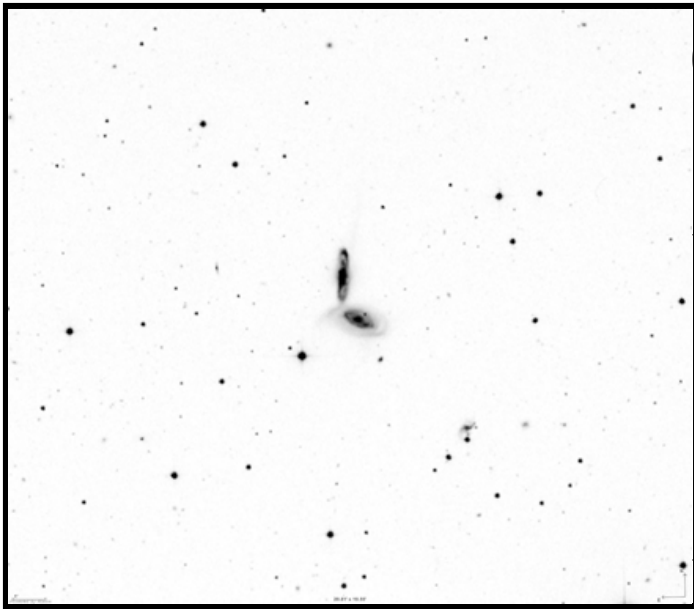
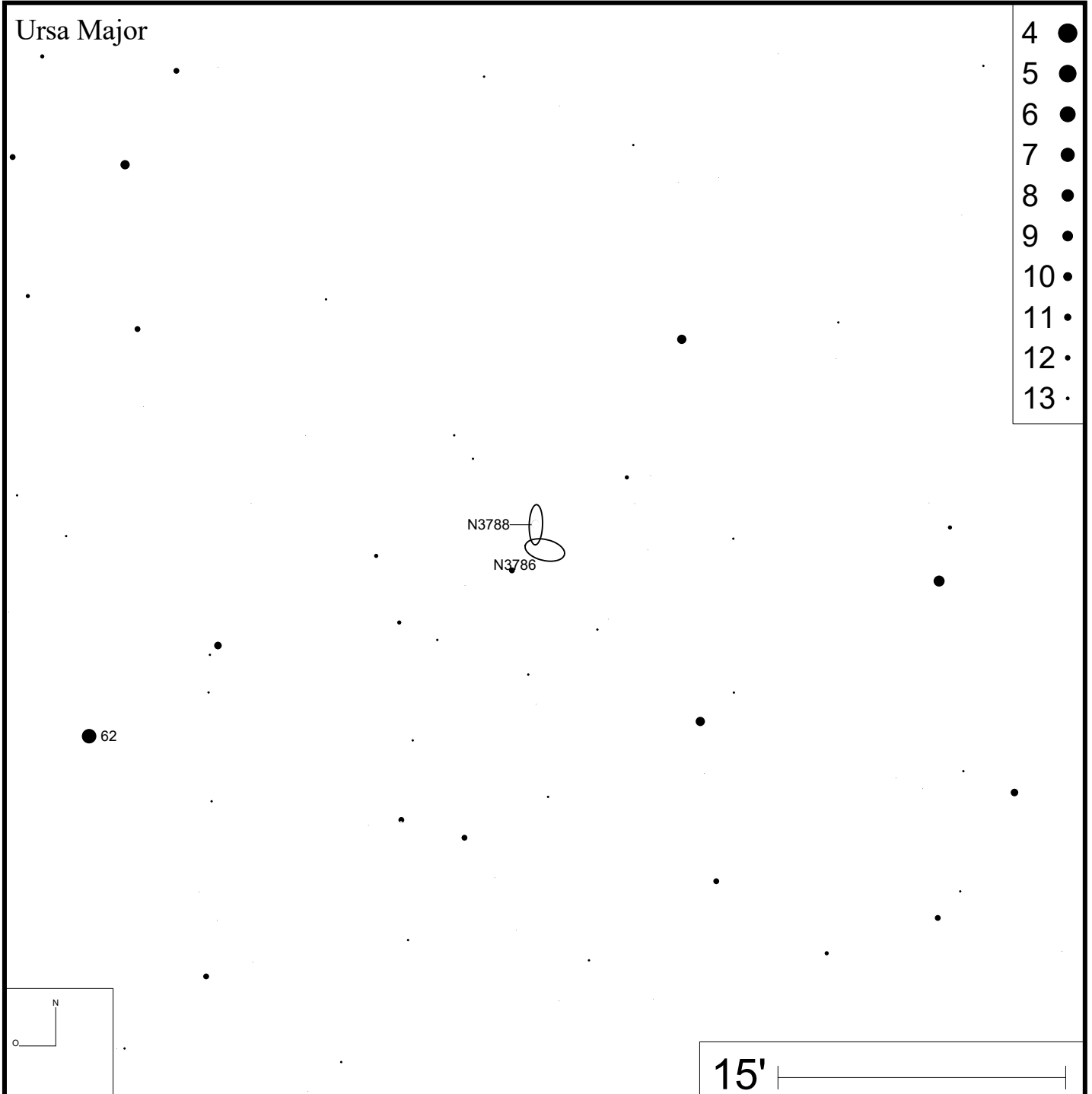
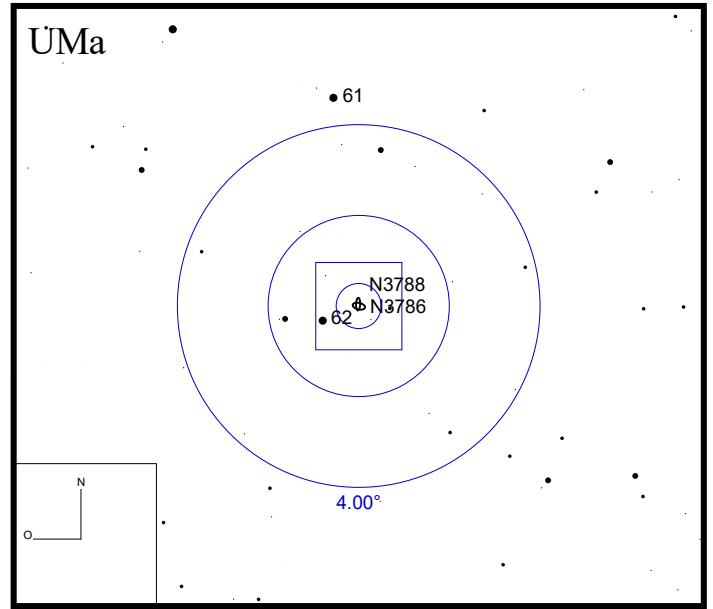


Bild: DSS



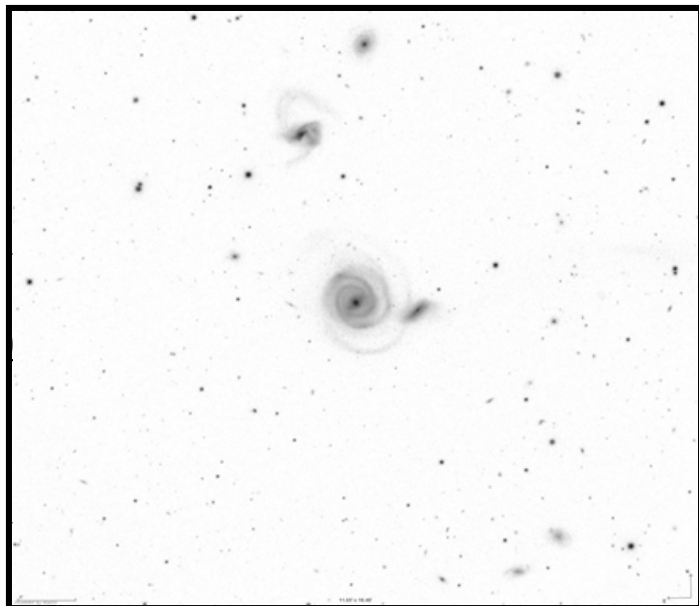
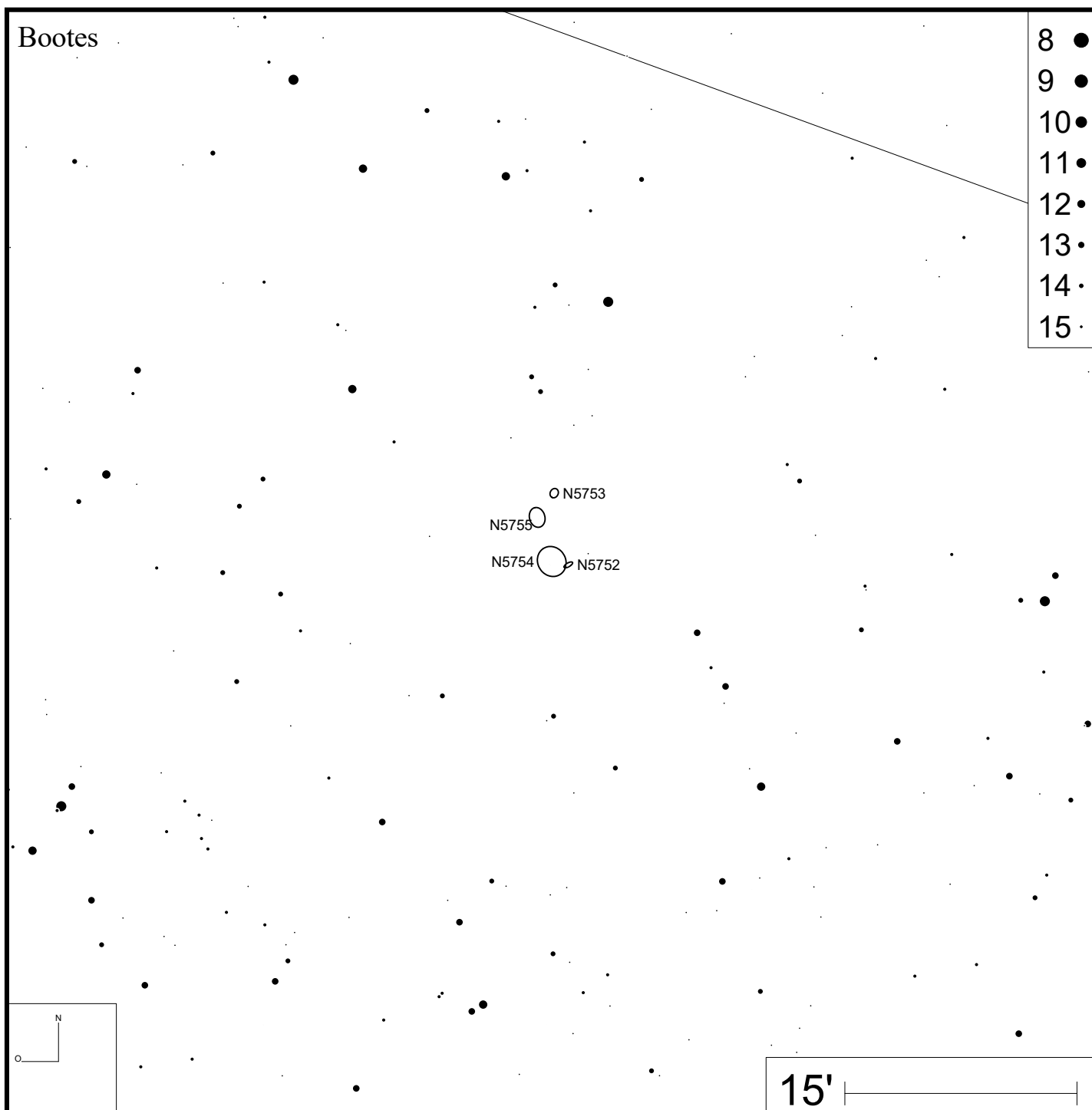
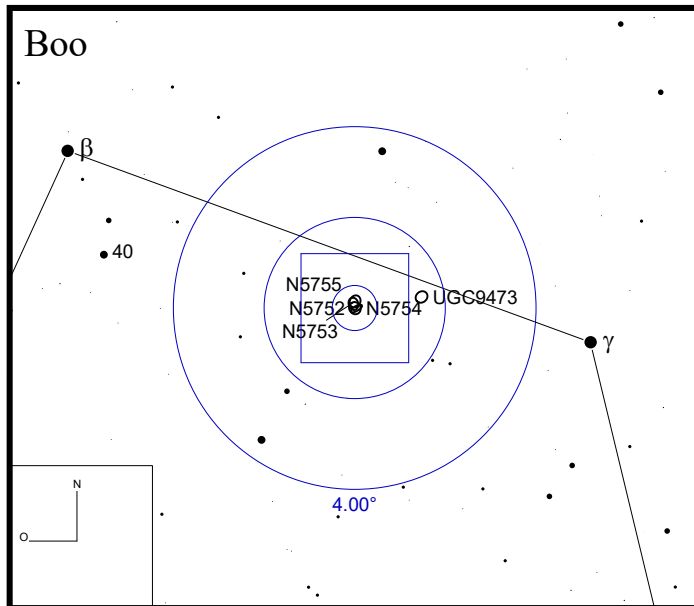


Bild: DSS



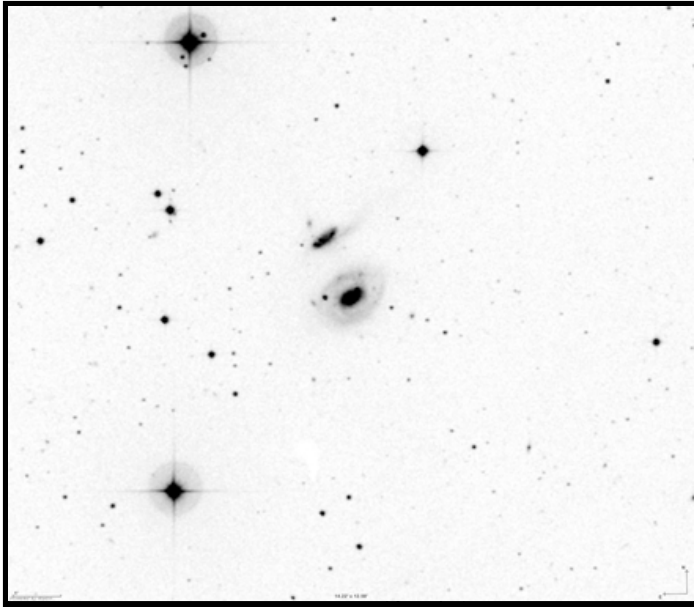
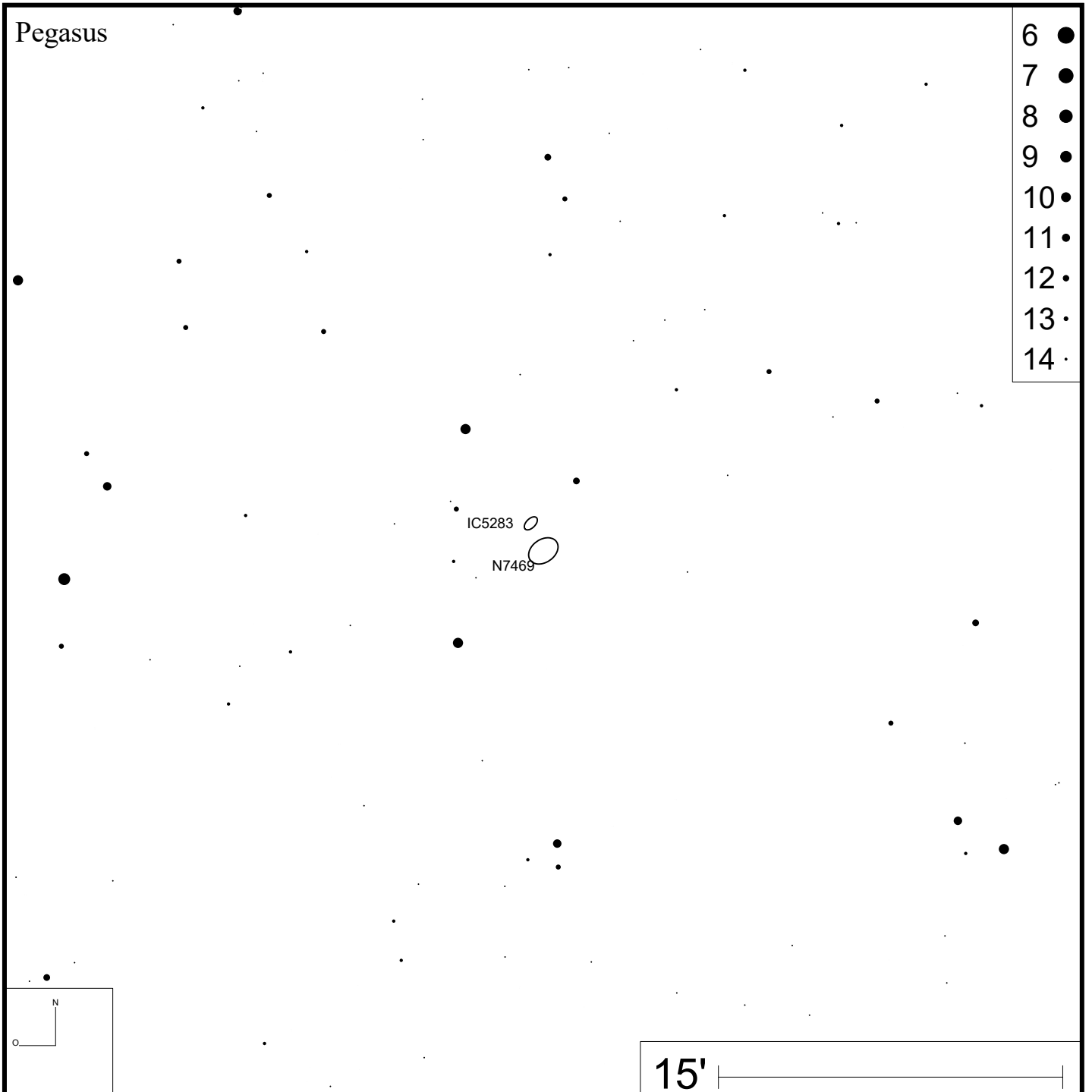
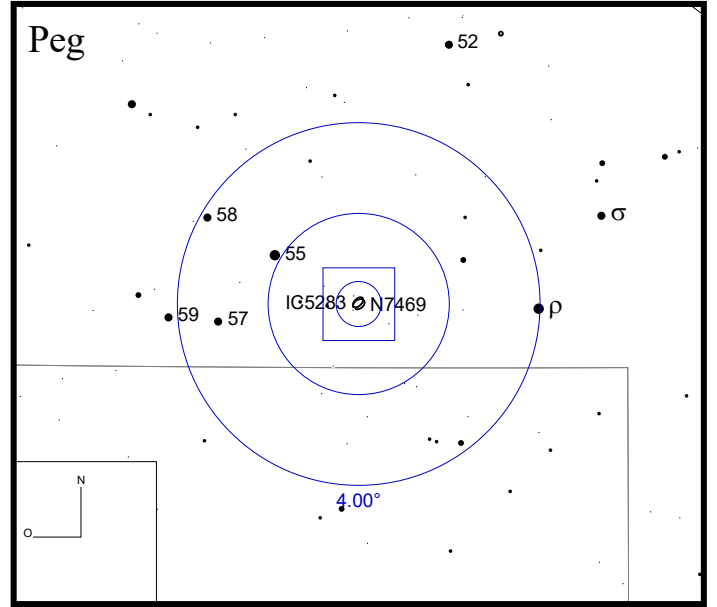


Bild: DSS



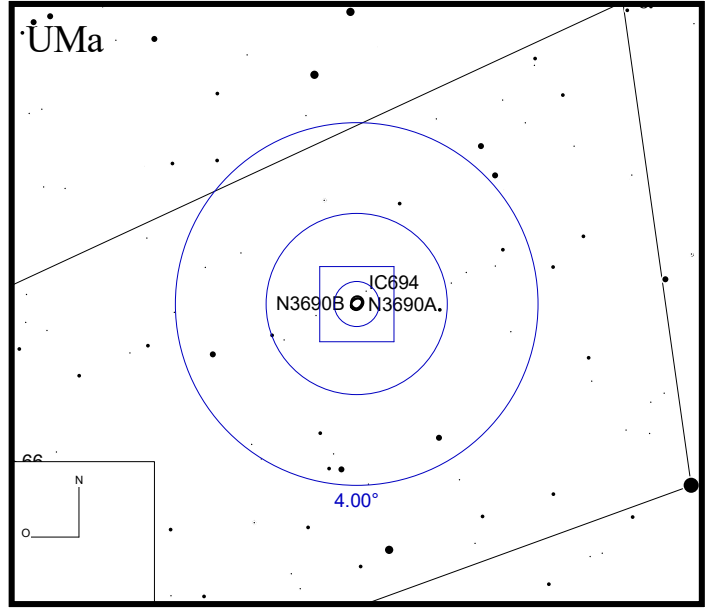
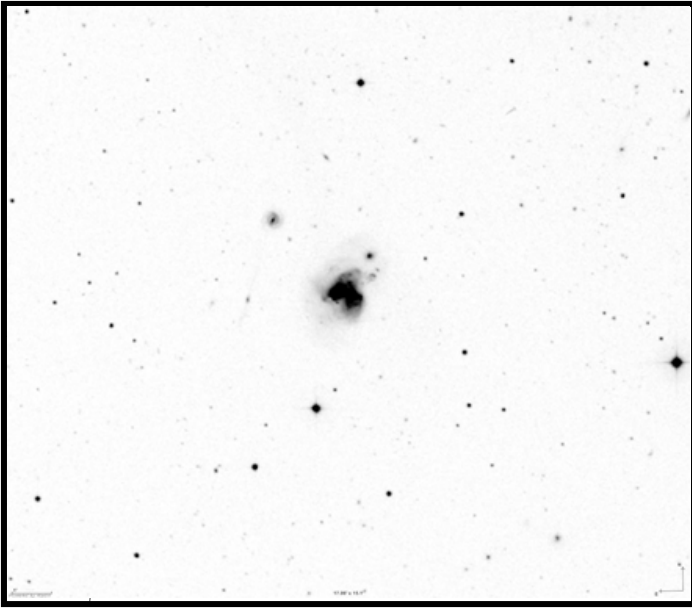
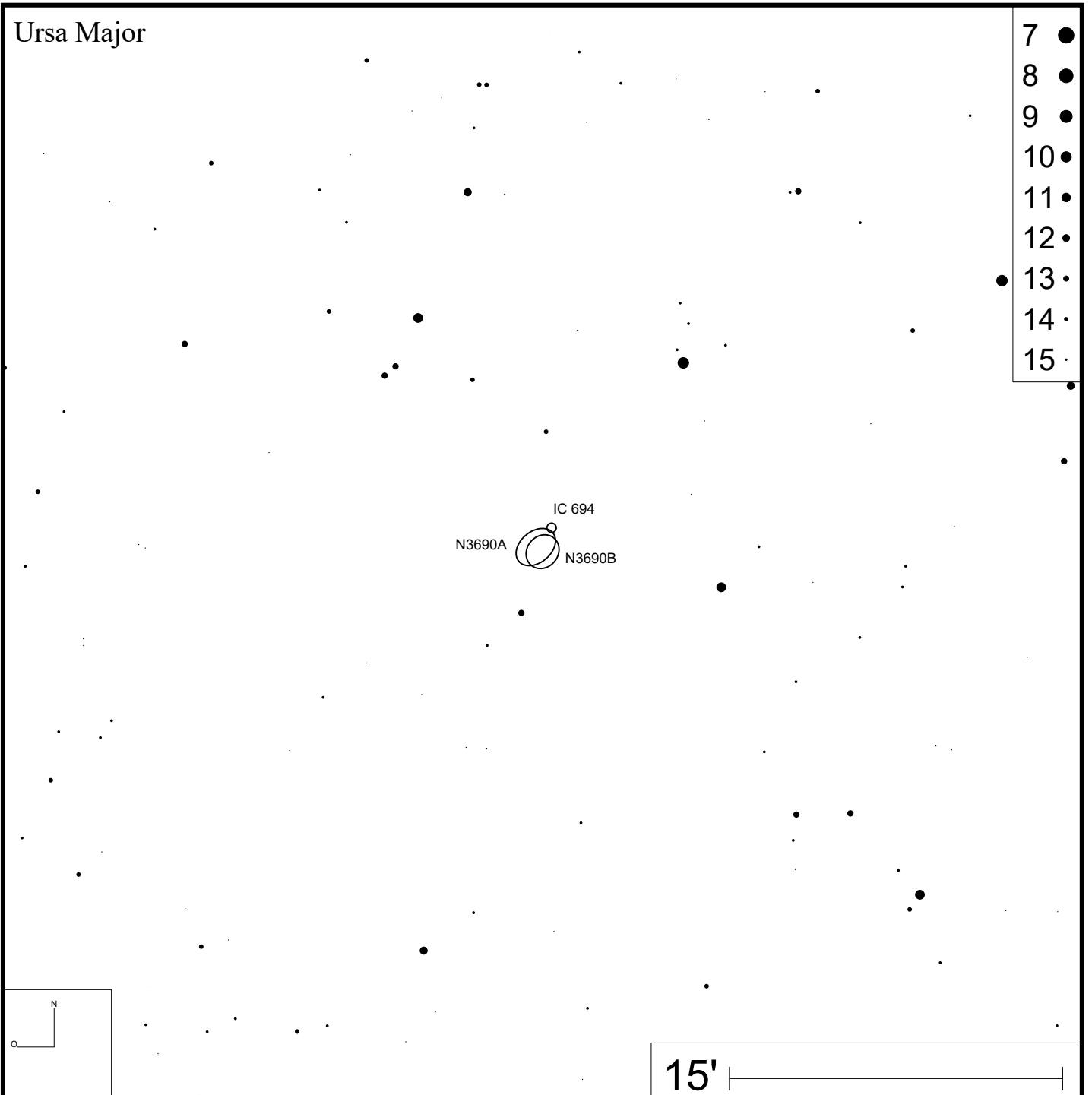


Bild: DSS



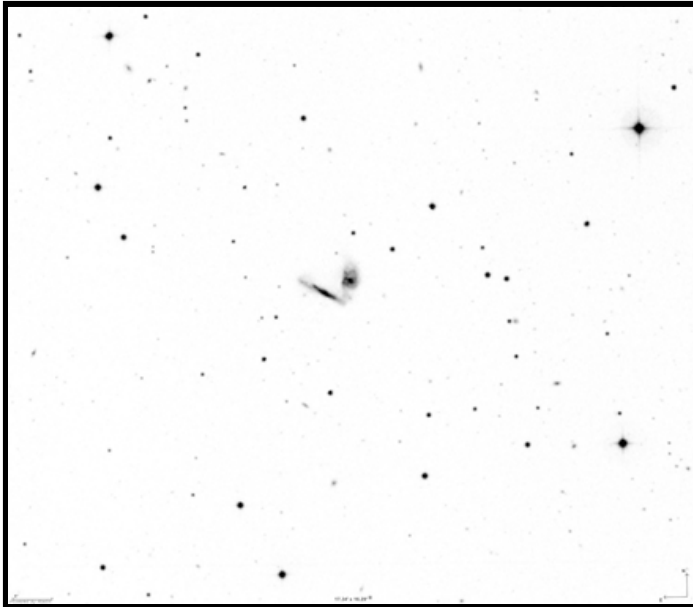
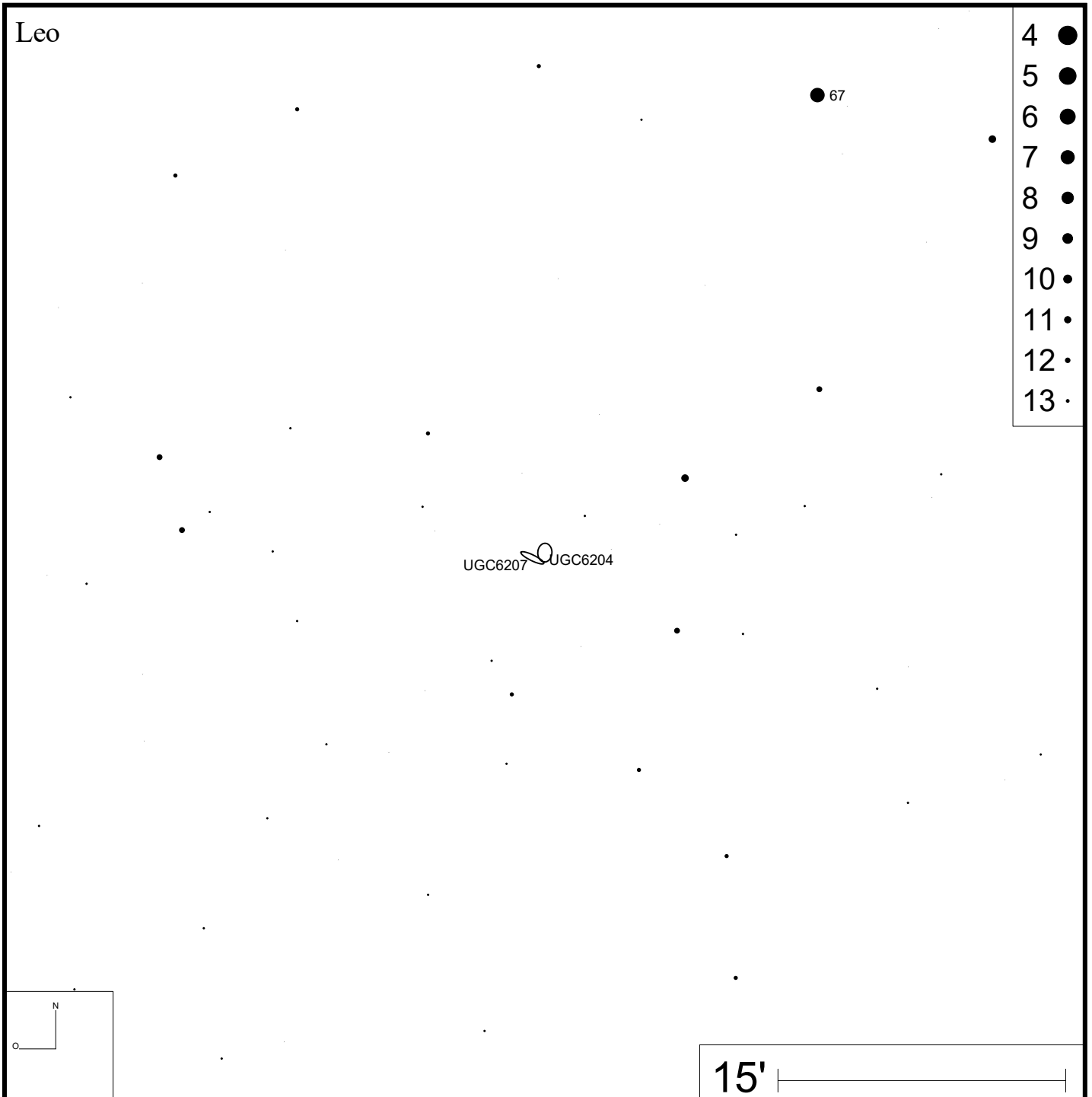
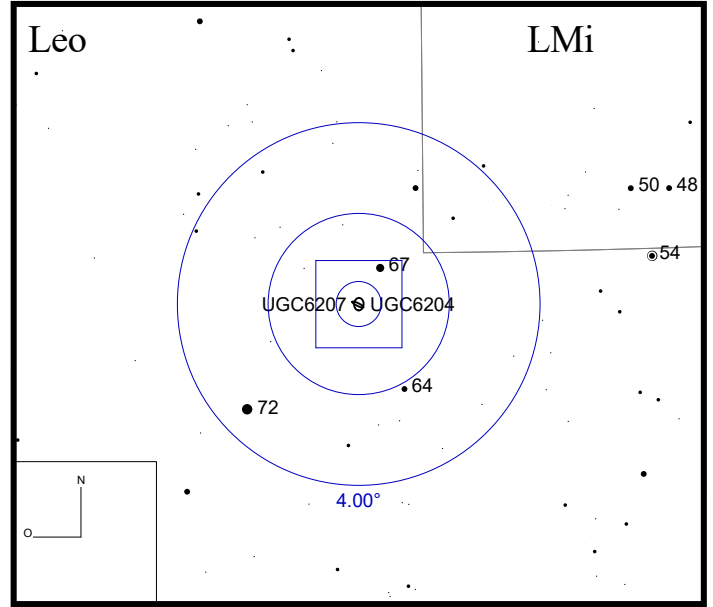


Bild: DSS



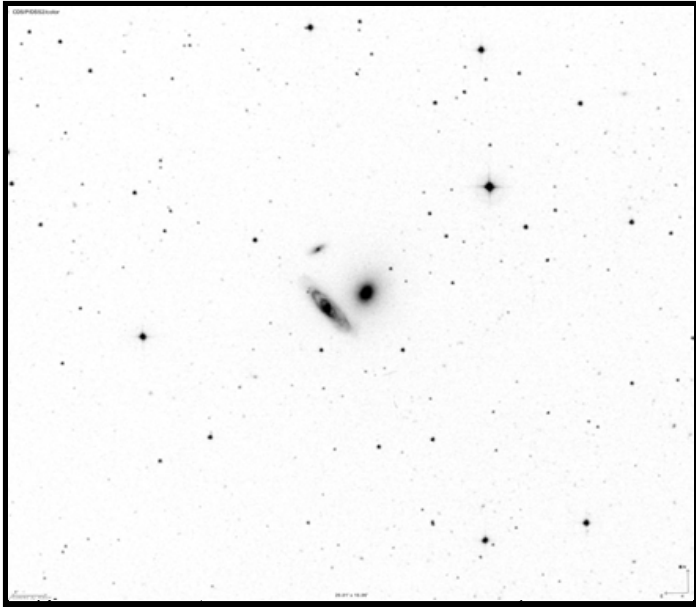
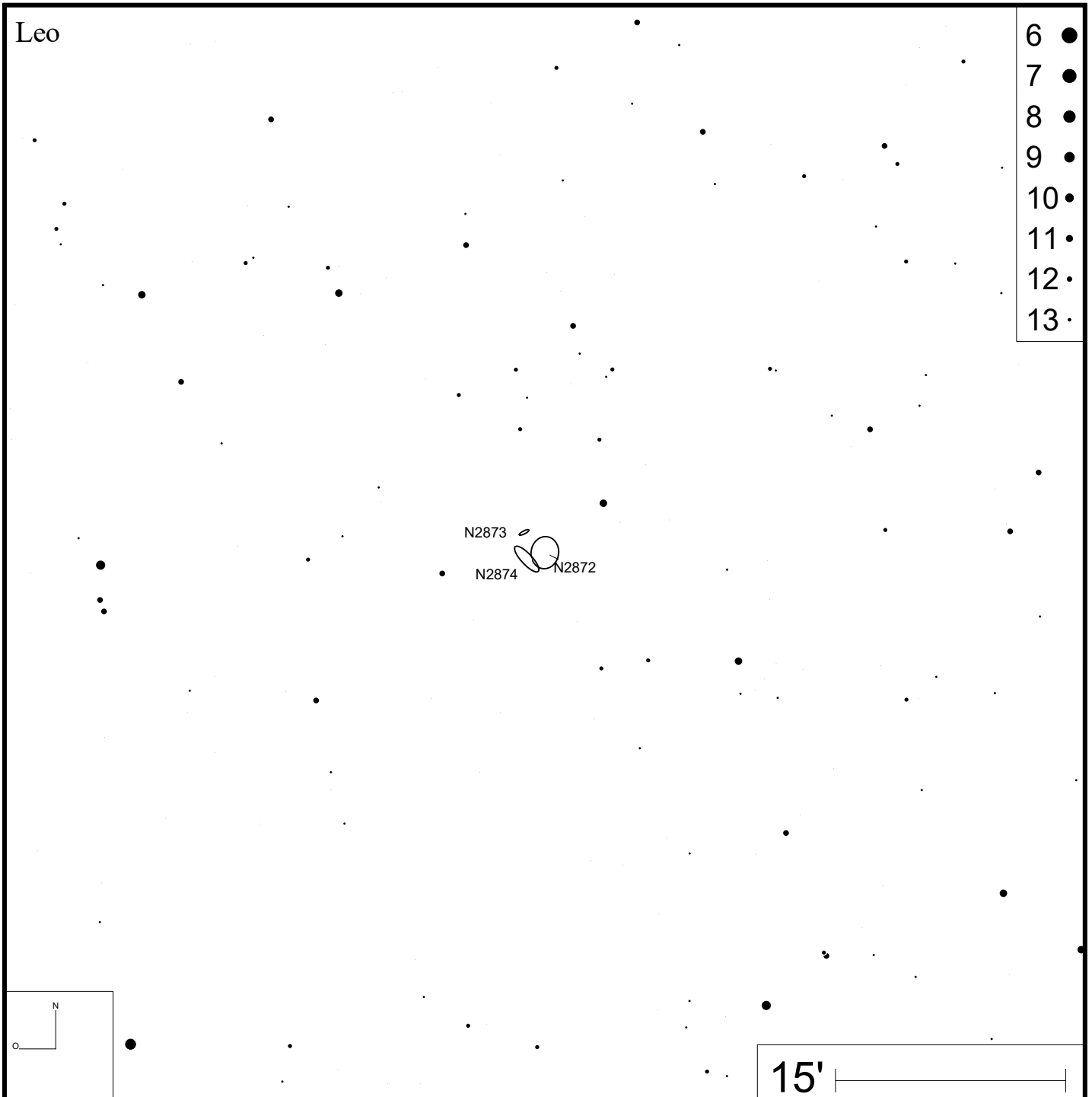
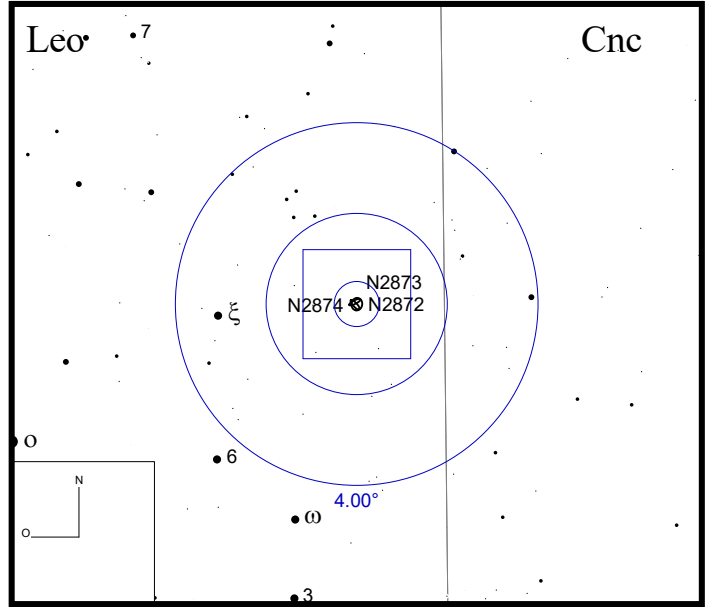


Bild: DSS





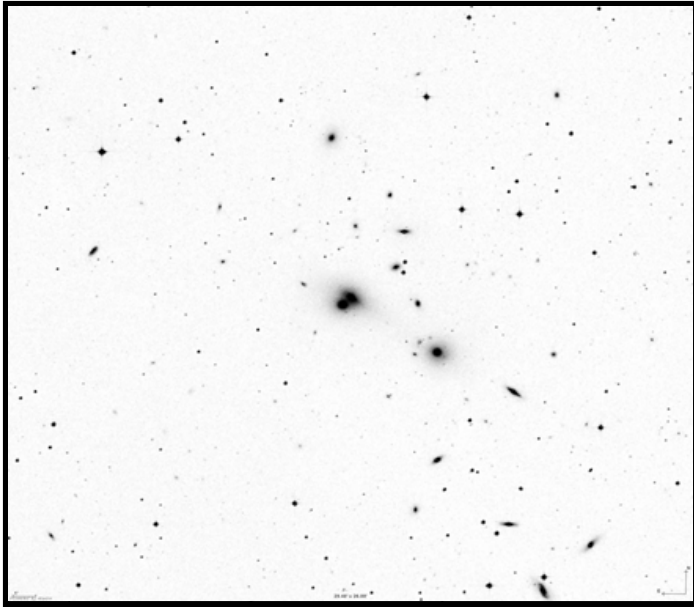
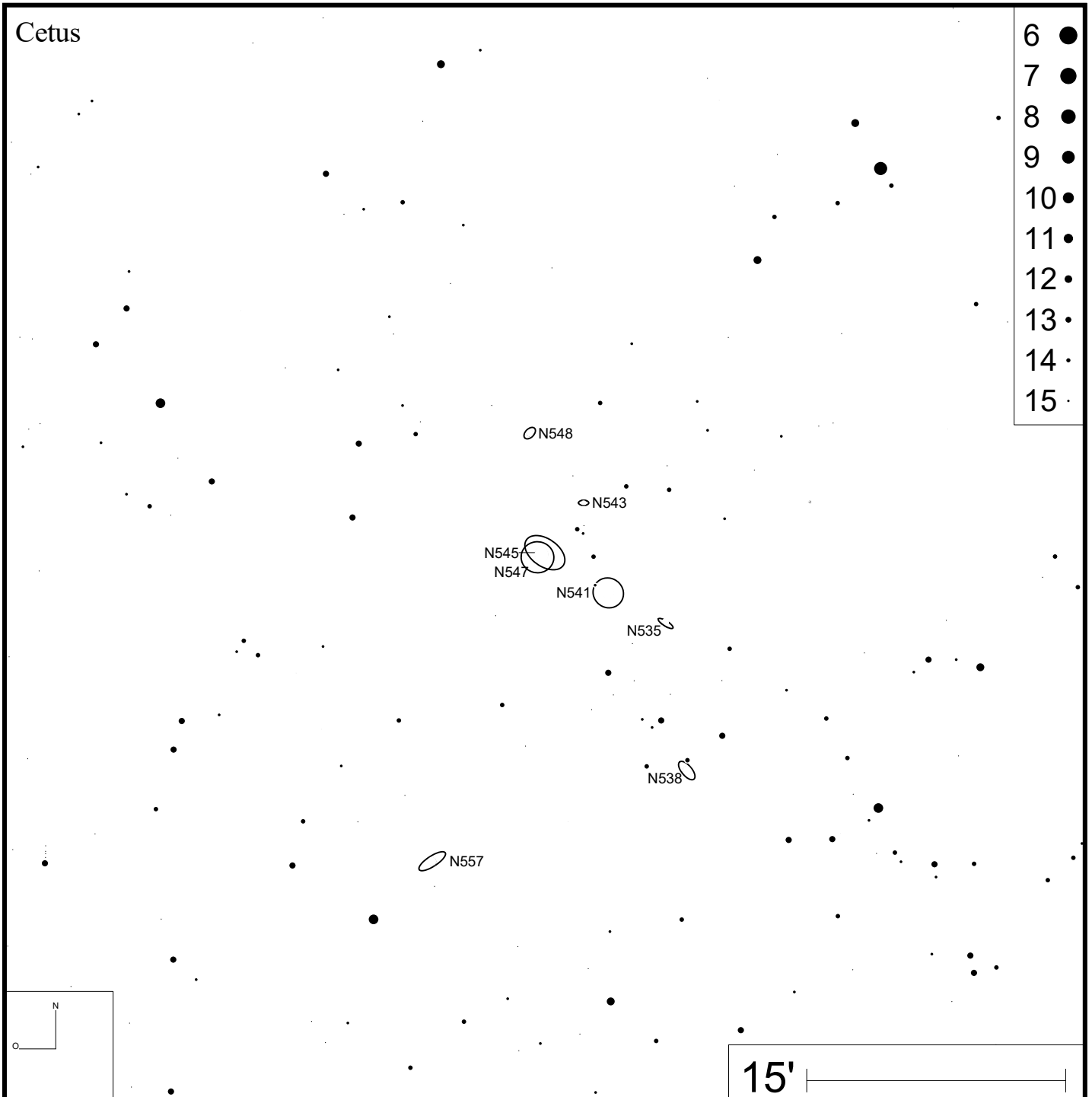
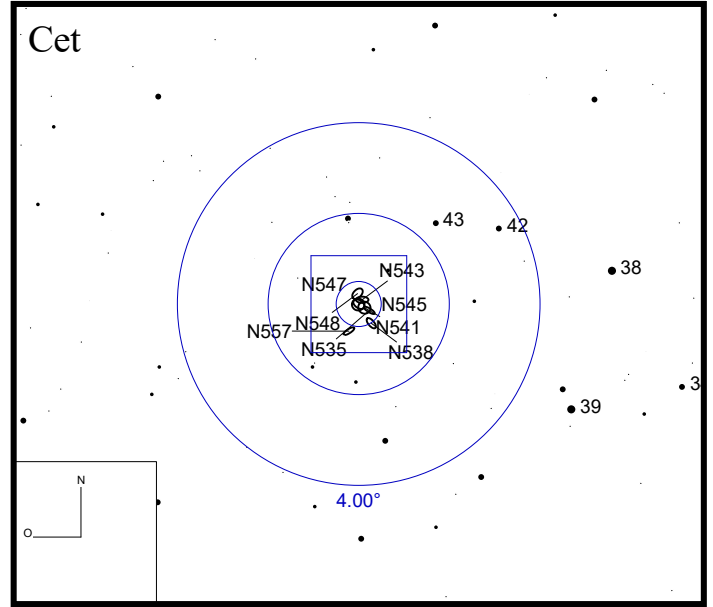


Bild: DSS



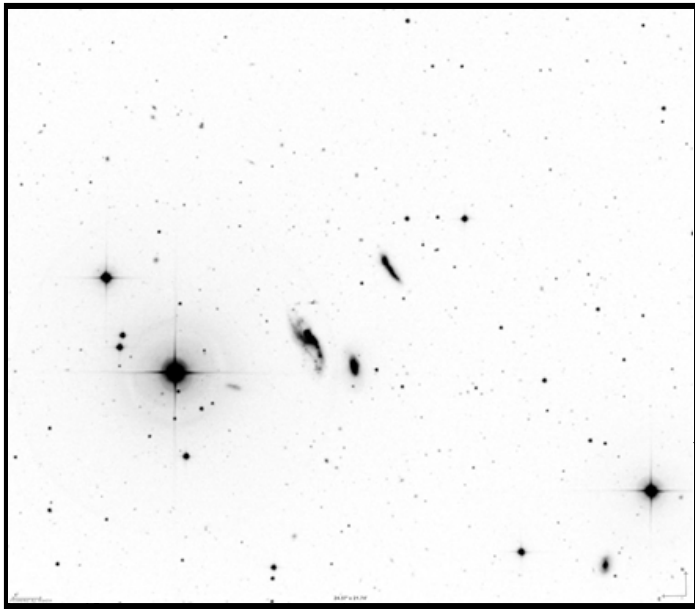
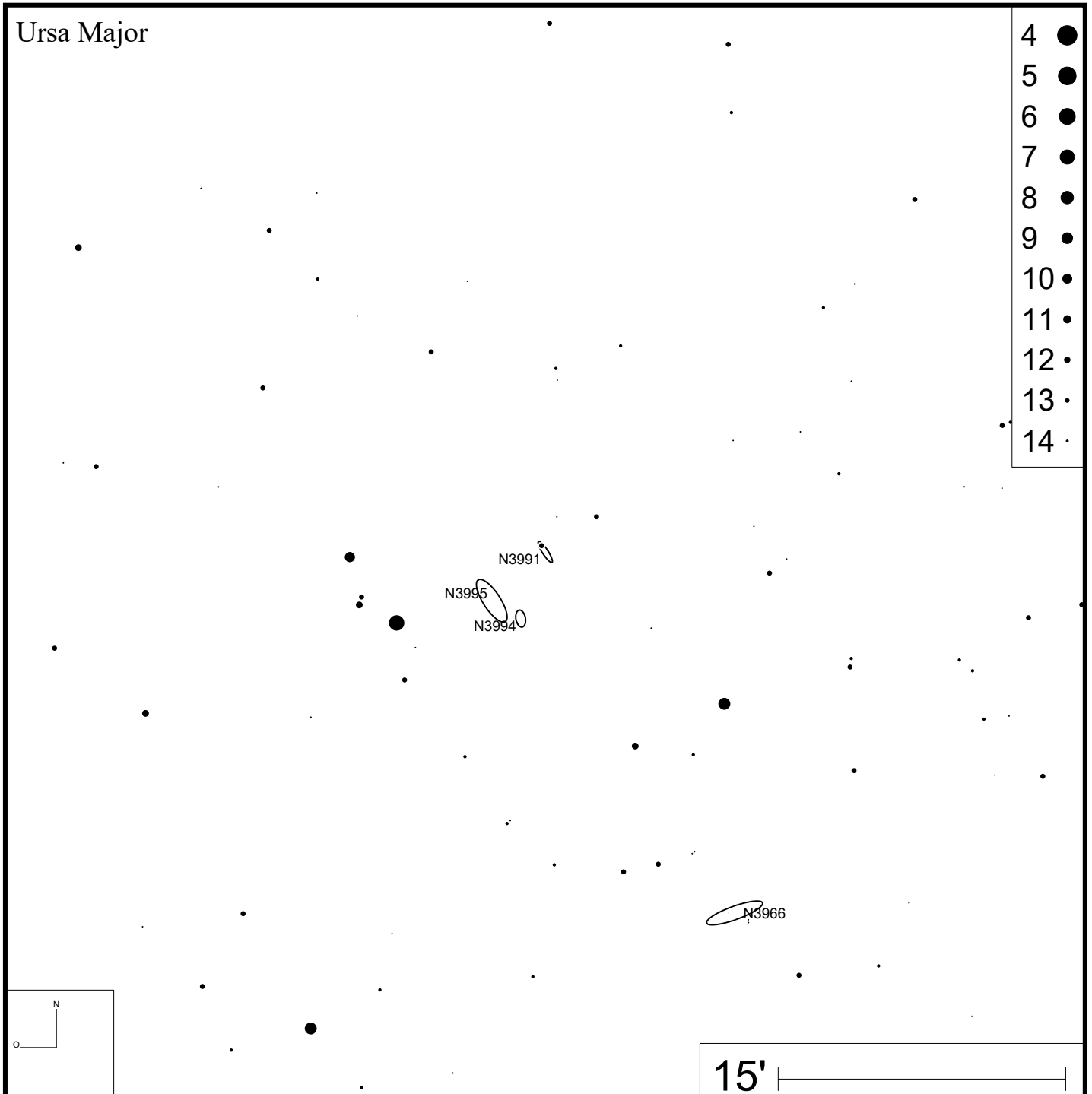
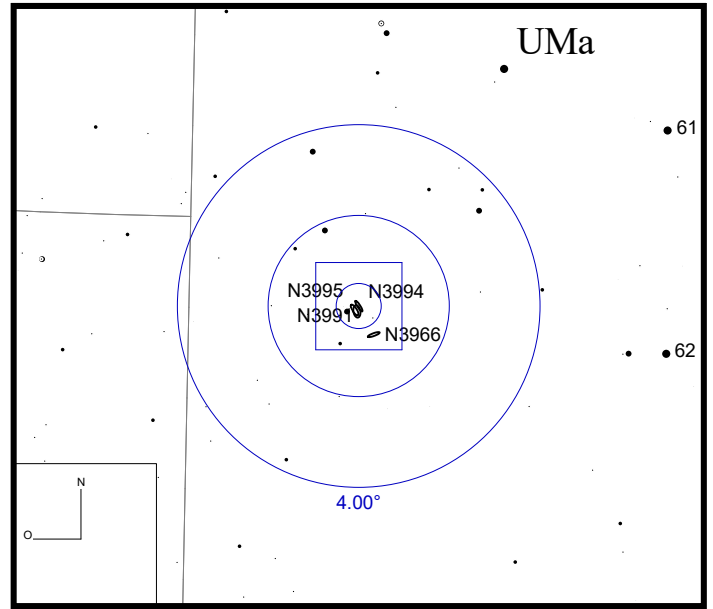


Bild: DSS



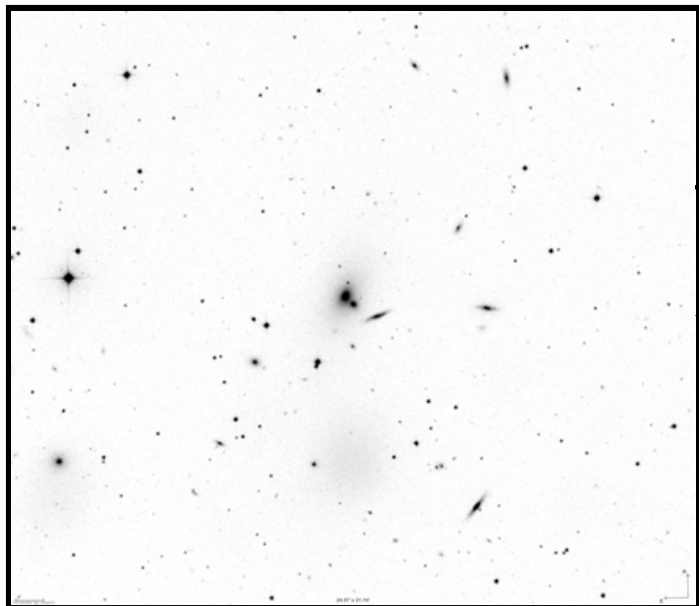
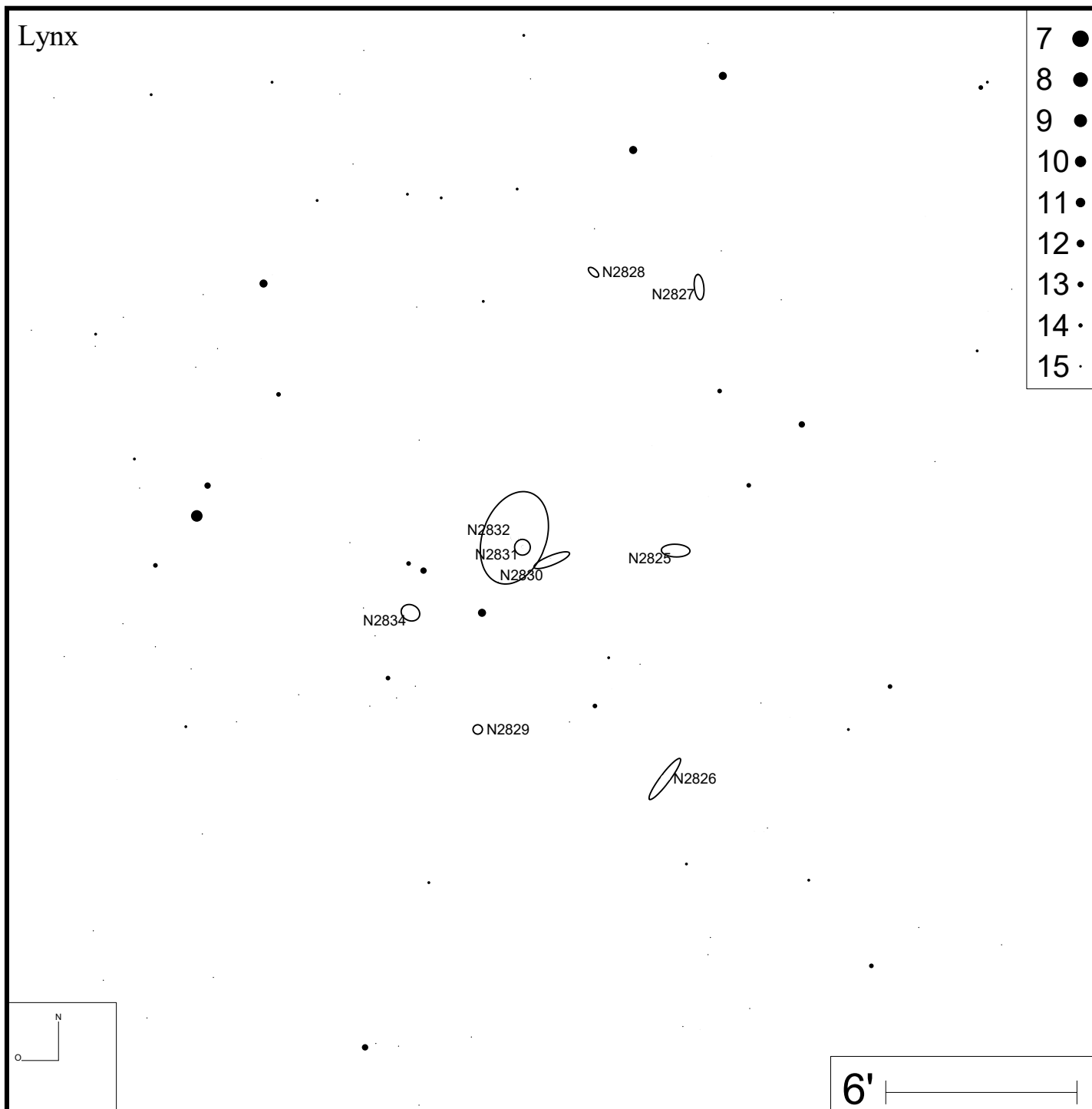
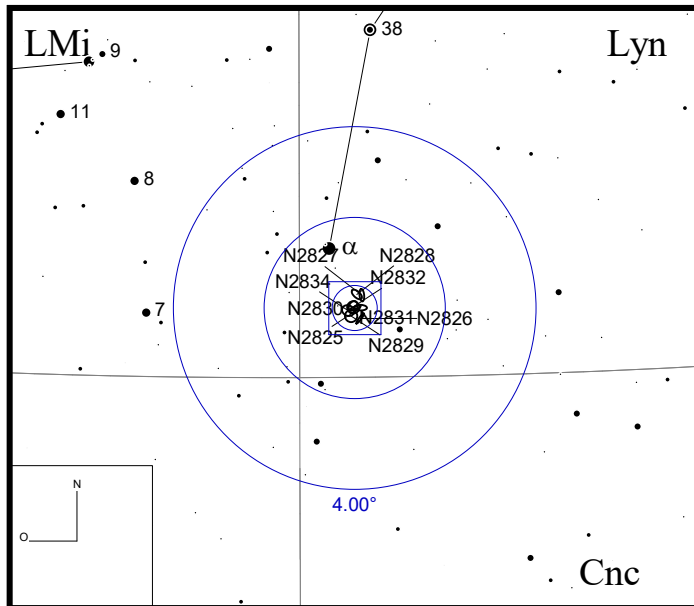


Bild: DSS



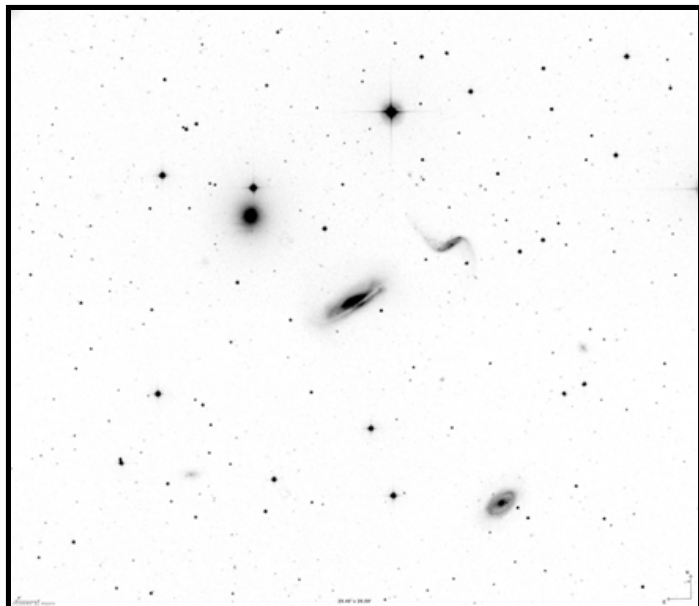
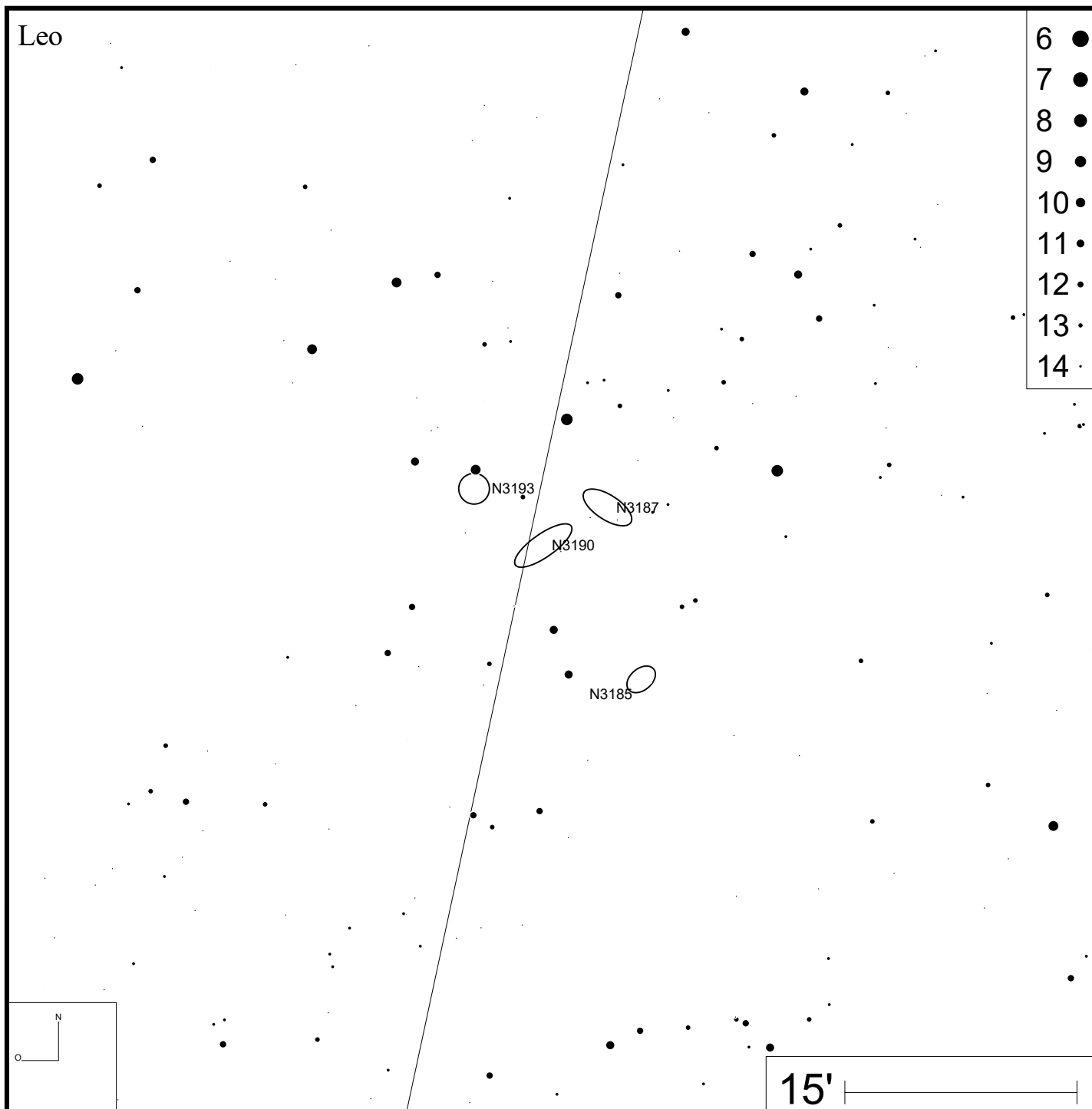
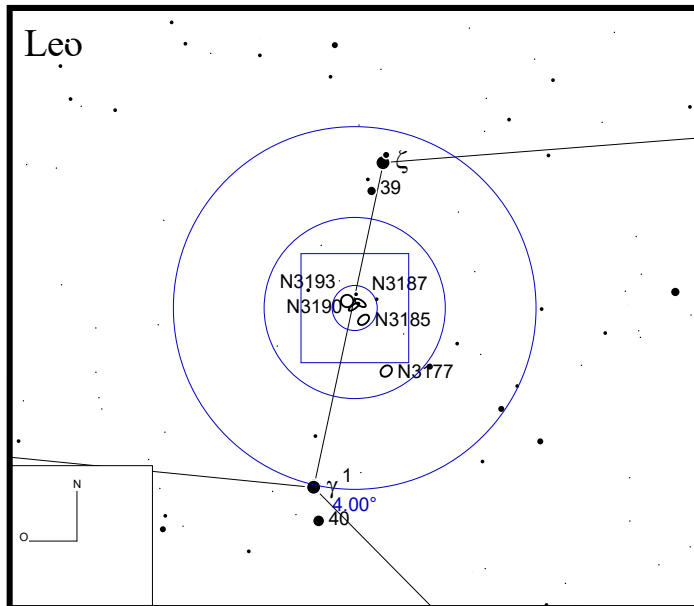


Bild: DSS



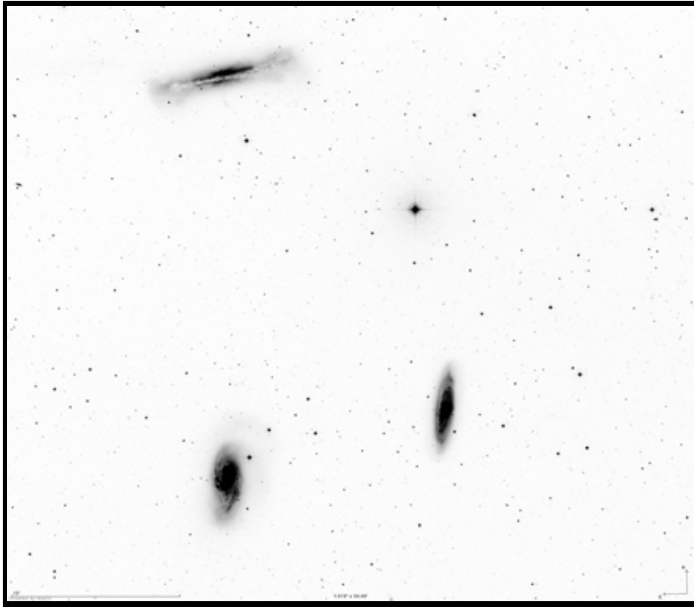
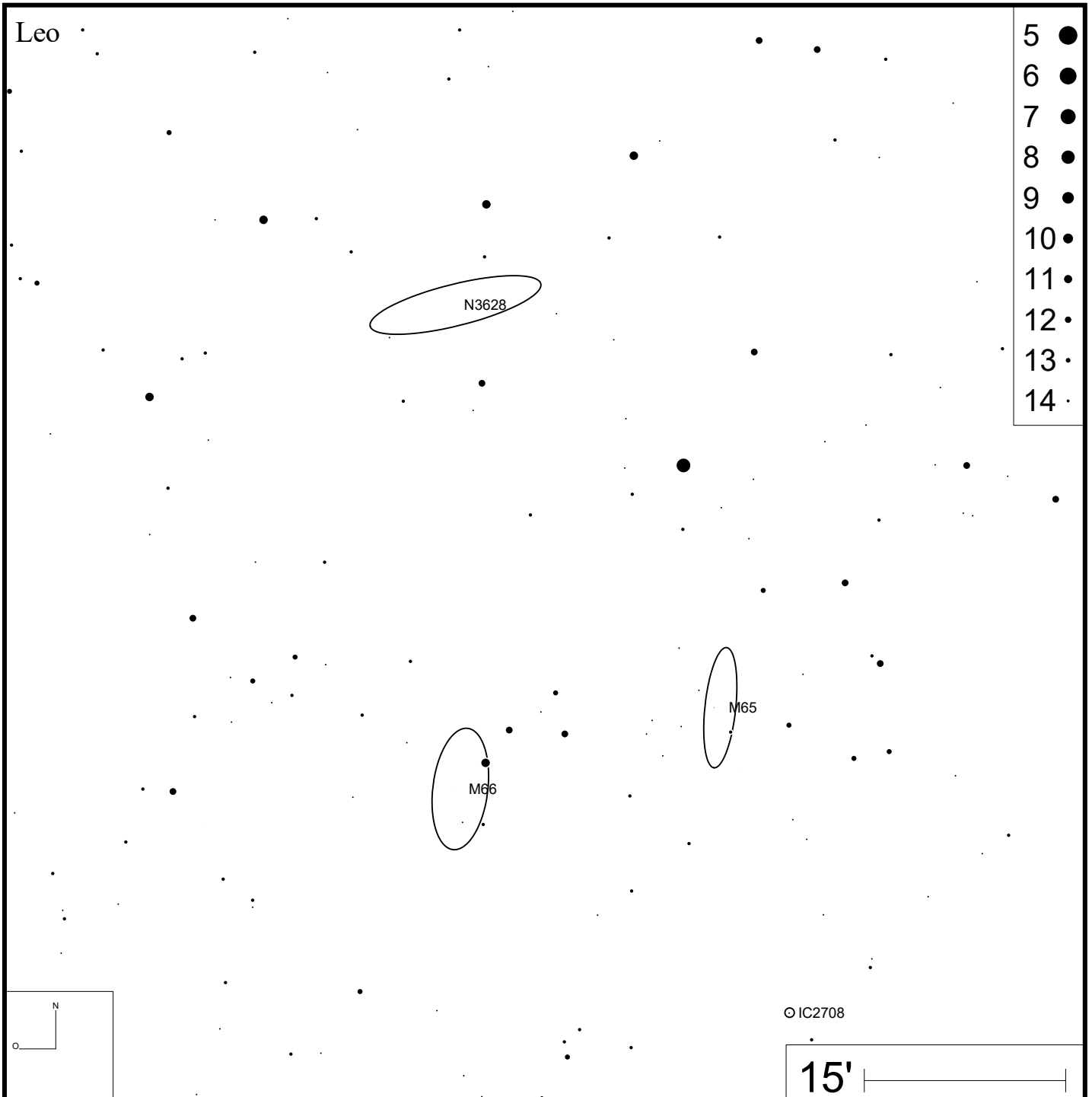
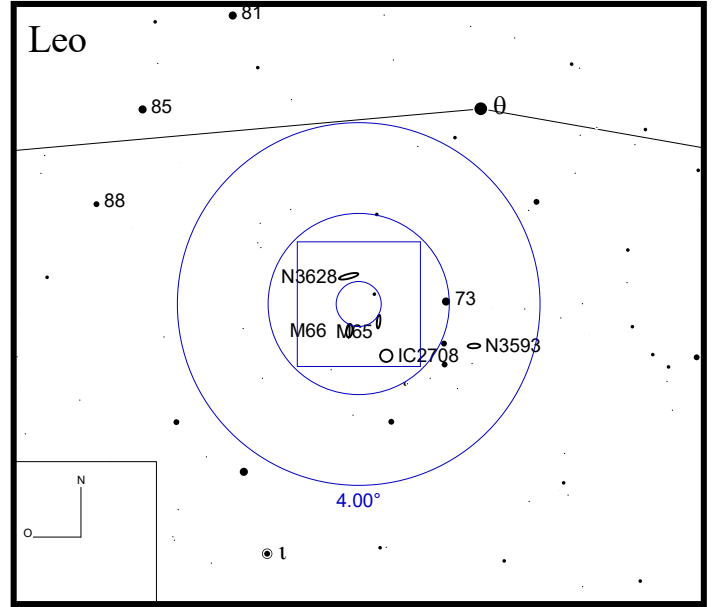


Bild: DSS



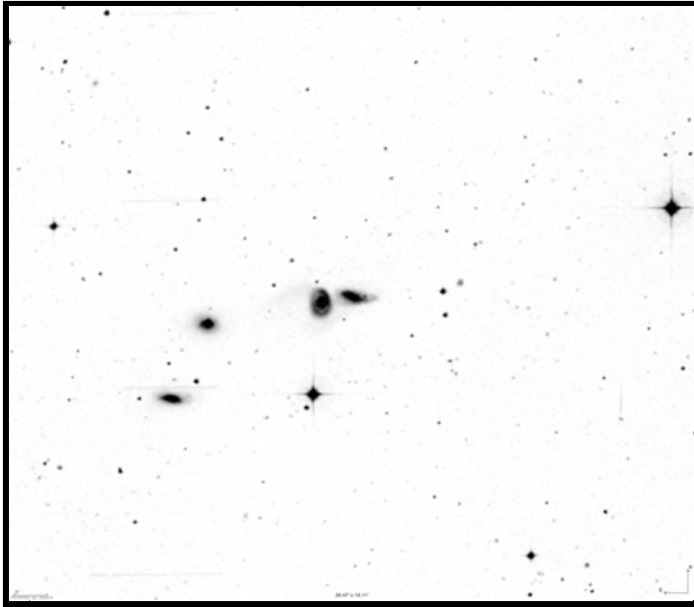
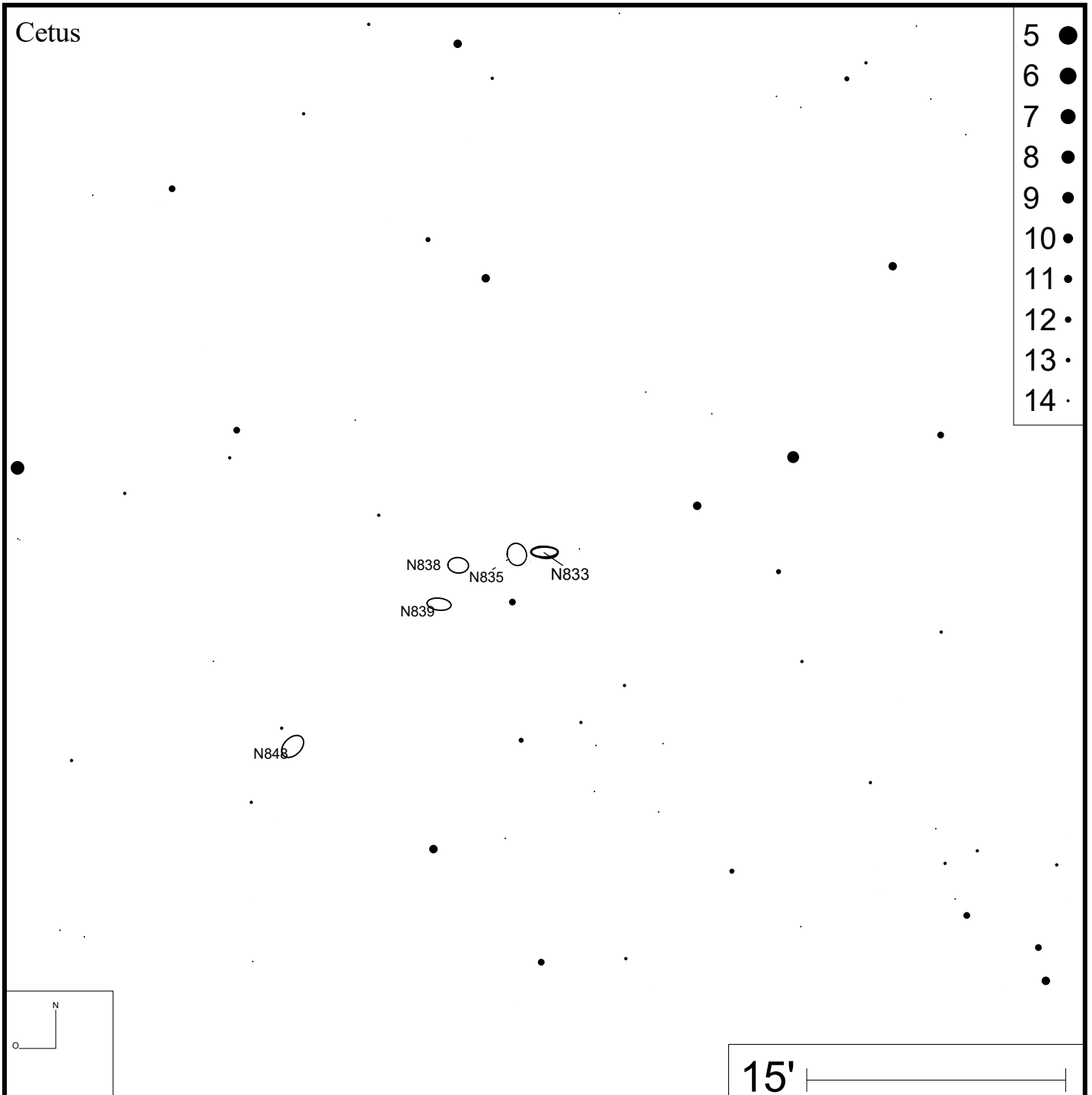
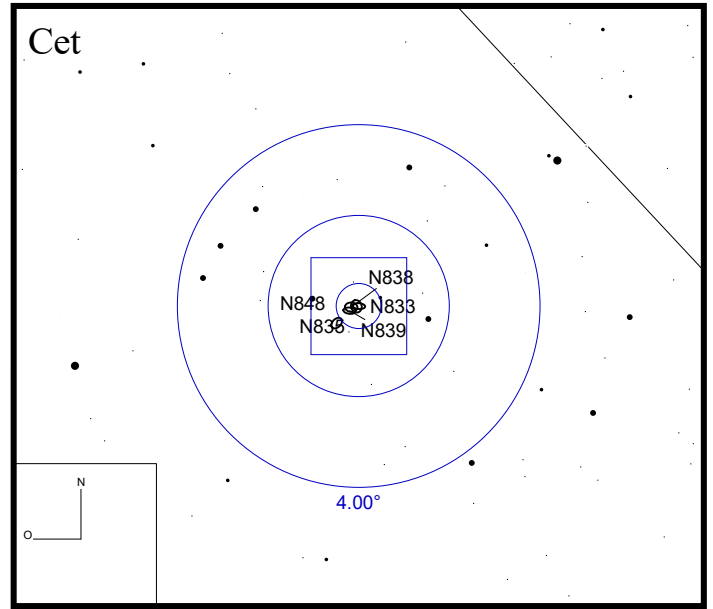


Bild: DSS



- 5 ●
- 6 ●
- 7 ●
- 8 ●
- 9 ●
- 10 ●
- 11 ●
- 12 ●
- 13 ●
- 14 ●

15'

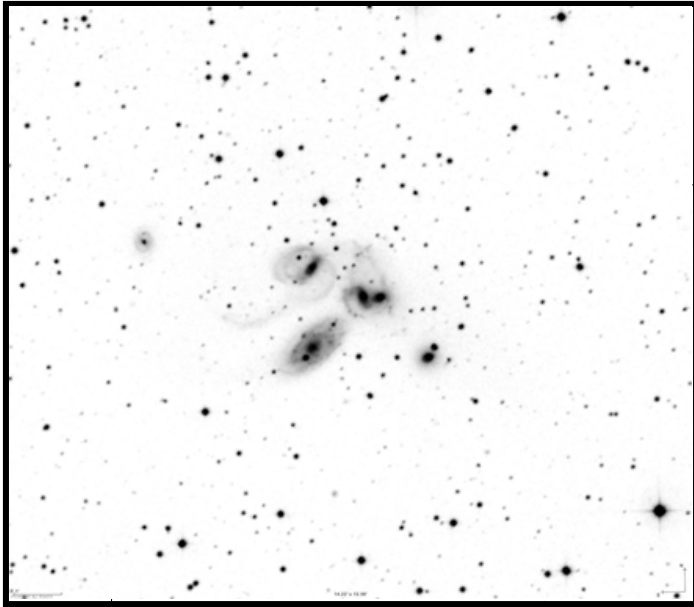
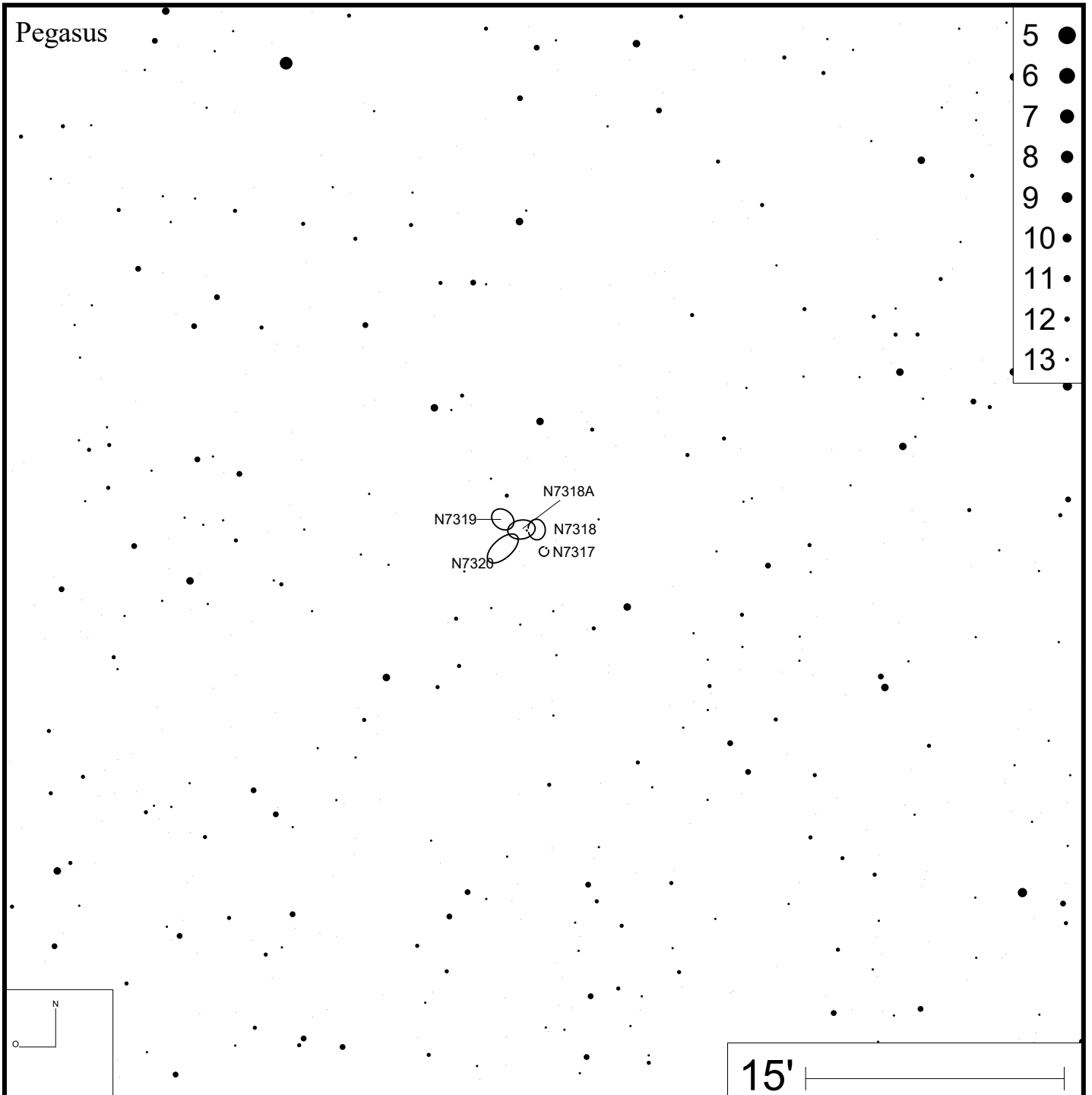
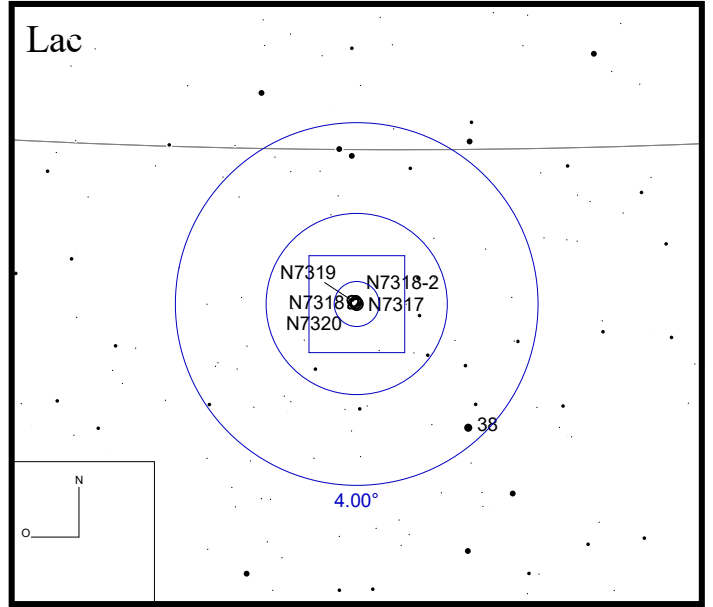


Bild: DSS



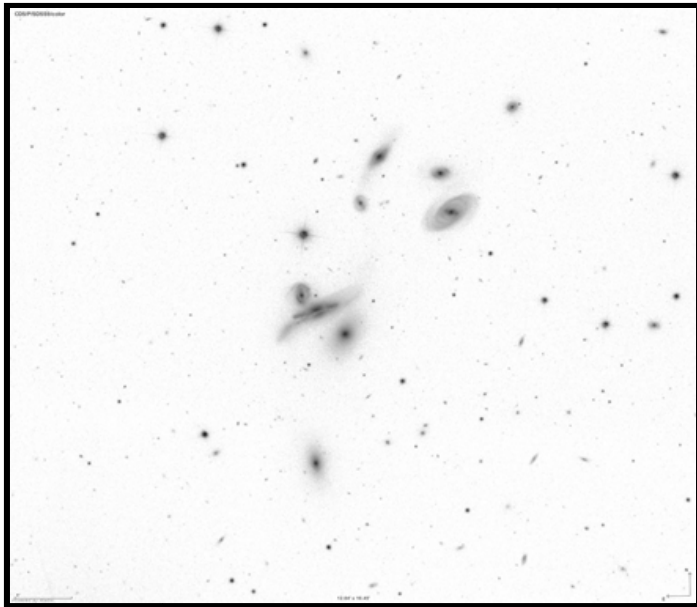
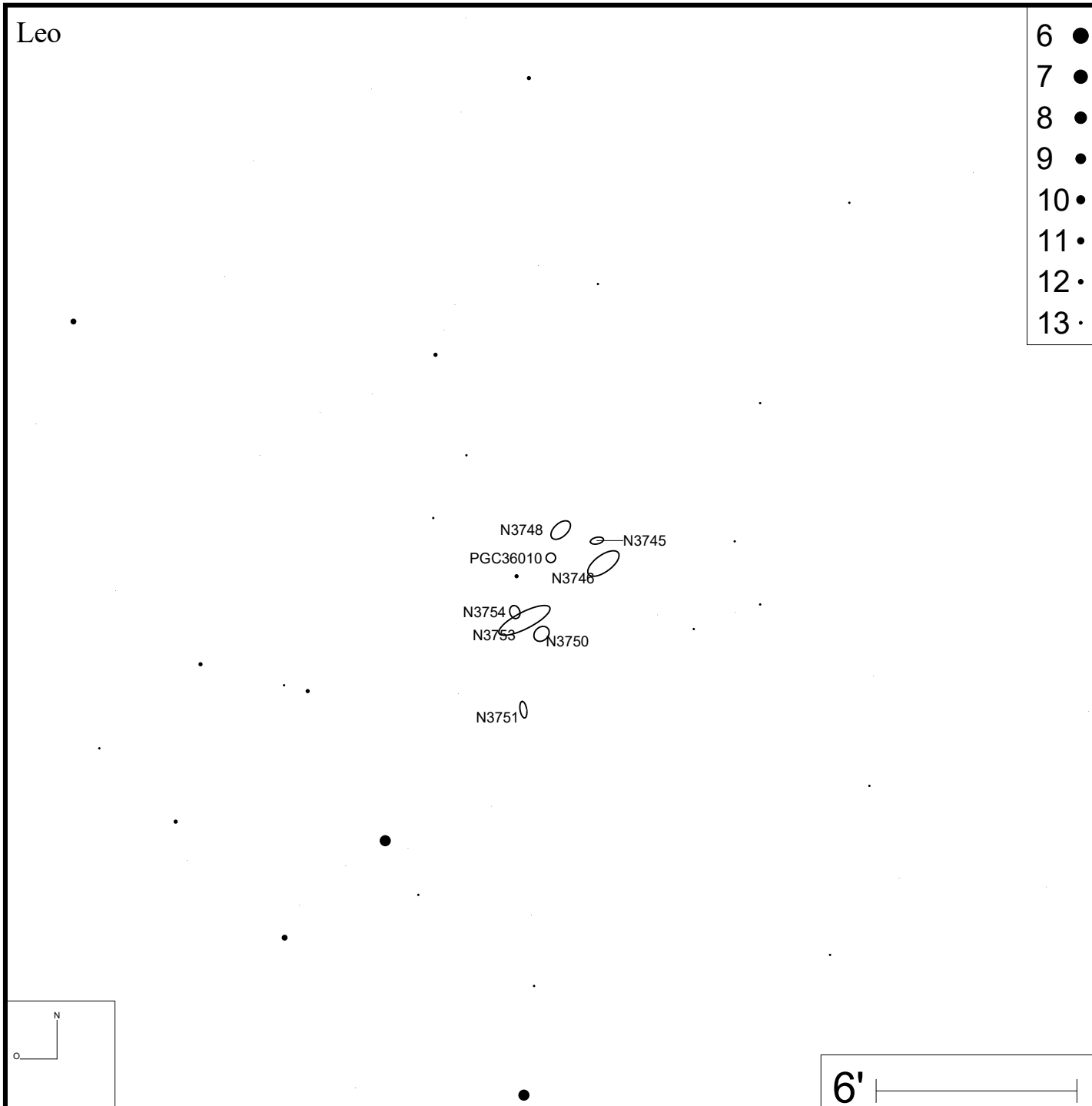
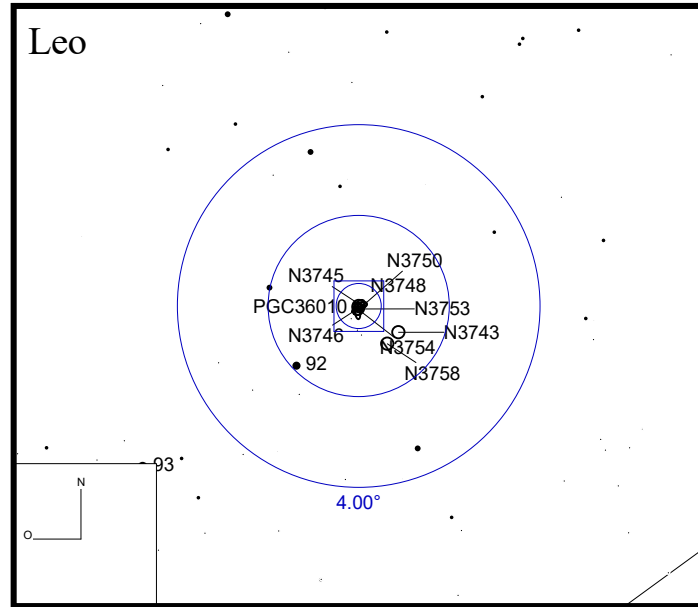


Bild: SDSS



- 6 ●
- 7 ●
- 8 ●
- 9 ●
- 10 ●
- 11 ●
- 12 ●
- 13 ●



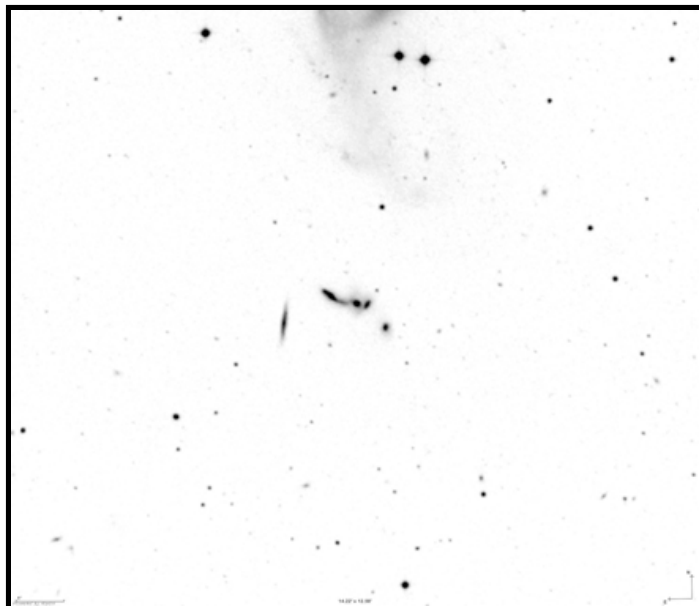
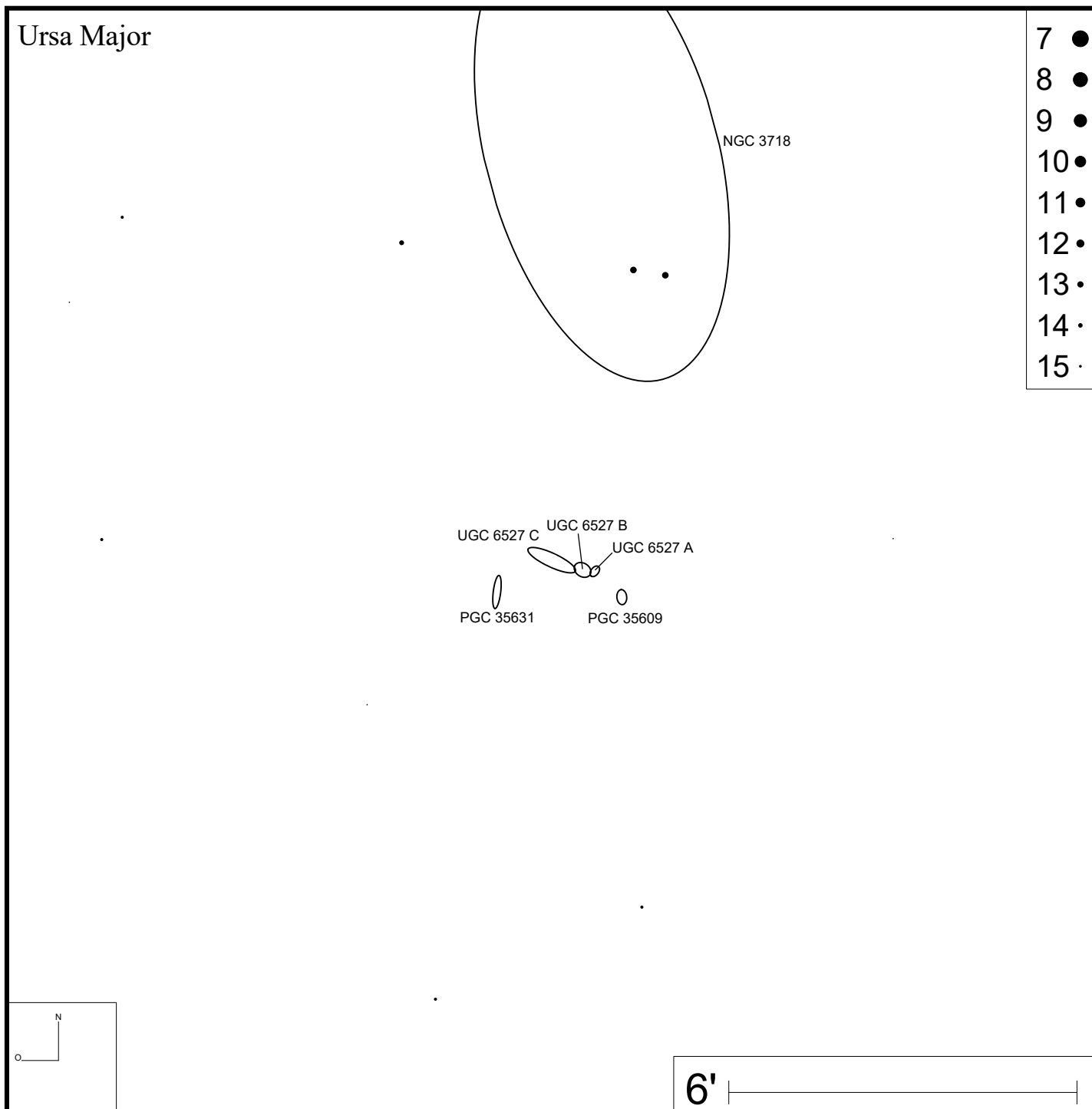
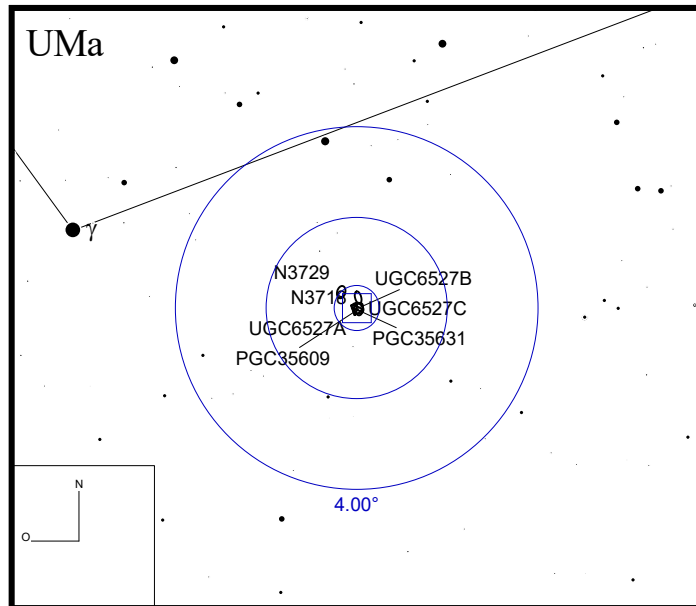


Bild: DSS



Arp 327 (NGC 1875)

RA 05h21m46s DEC +06°41'20"

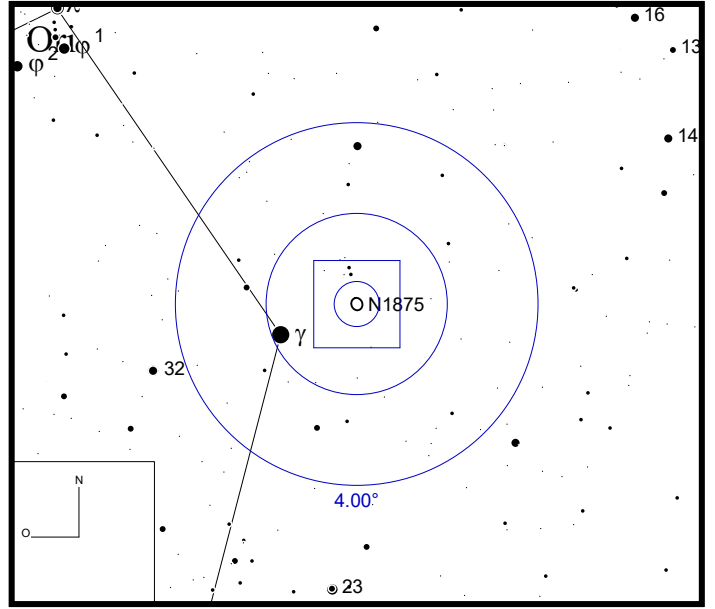
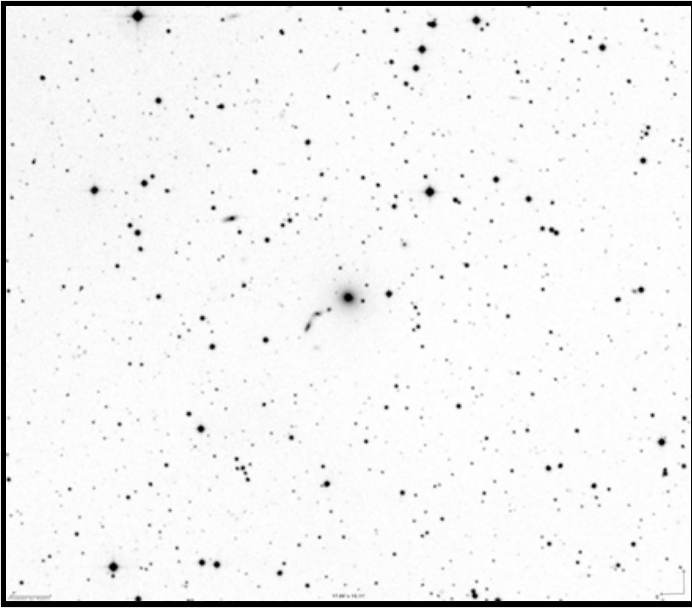
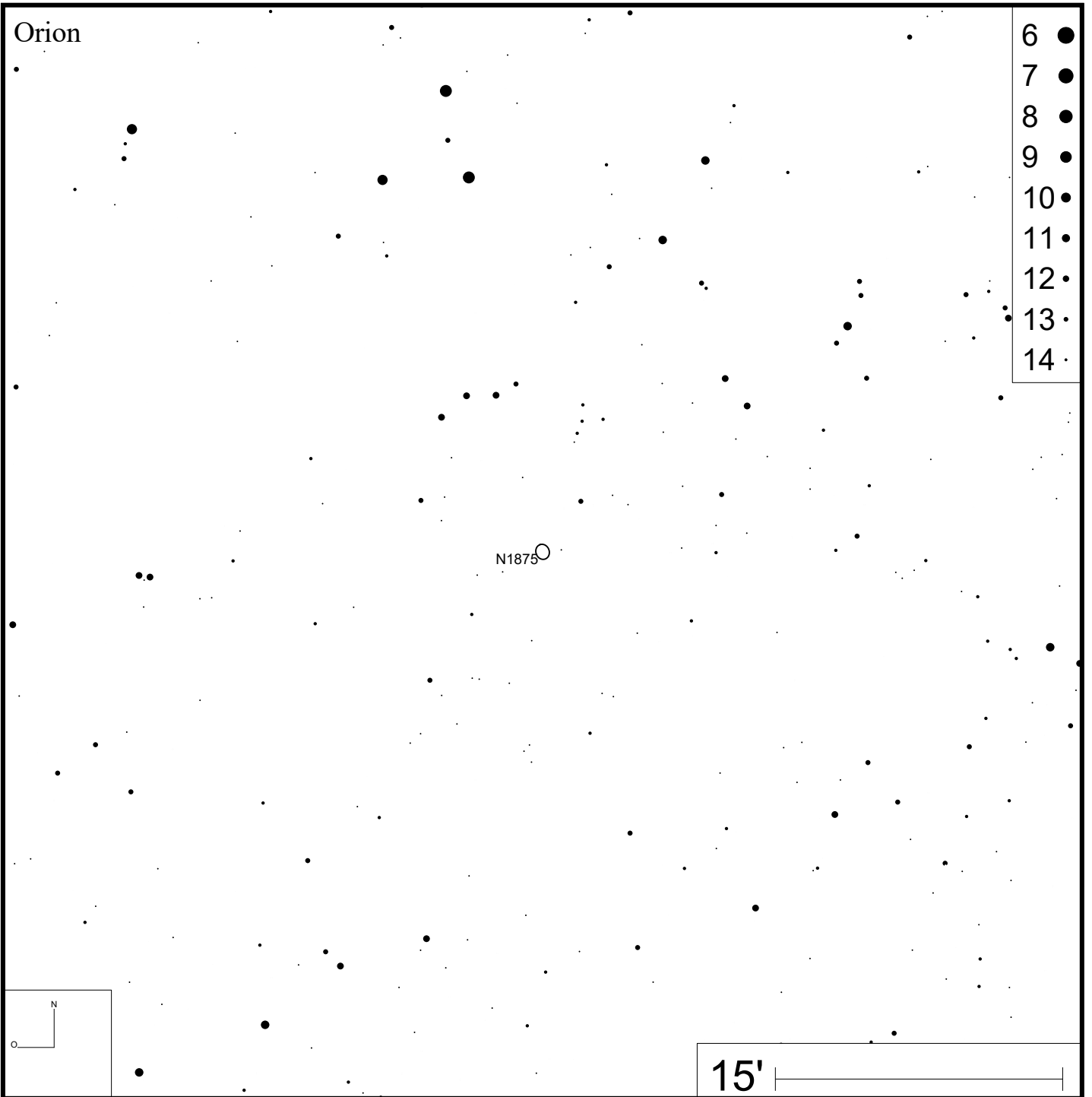


Bild: DSS



- 6 ●
- 7 ●
- 8 ●
- 9 ●
- 10 ●
- 11 ●
- 12 ●
- 13 ●
- 14 ●

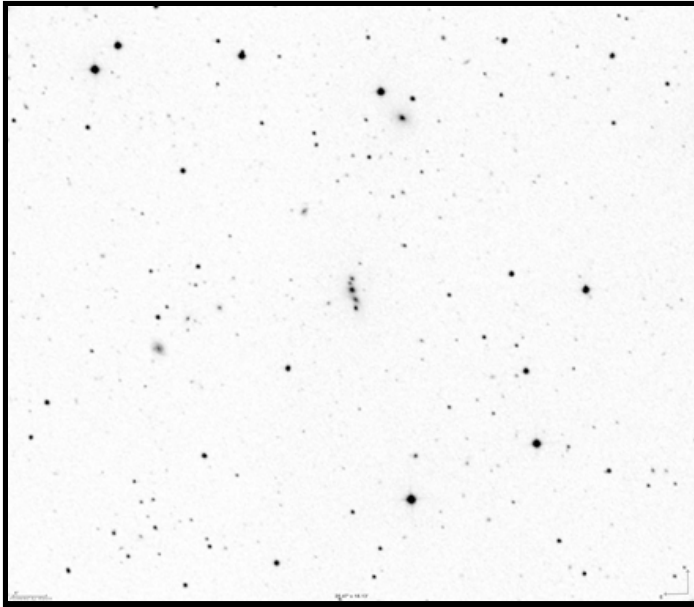
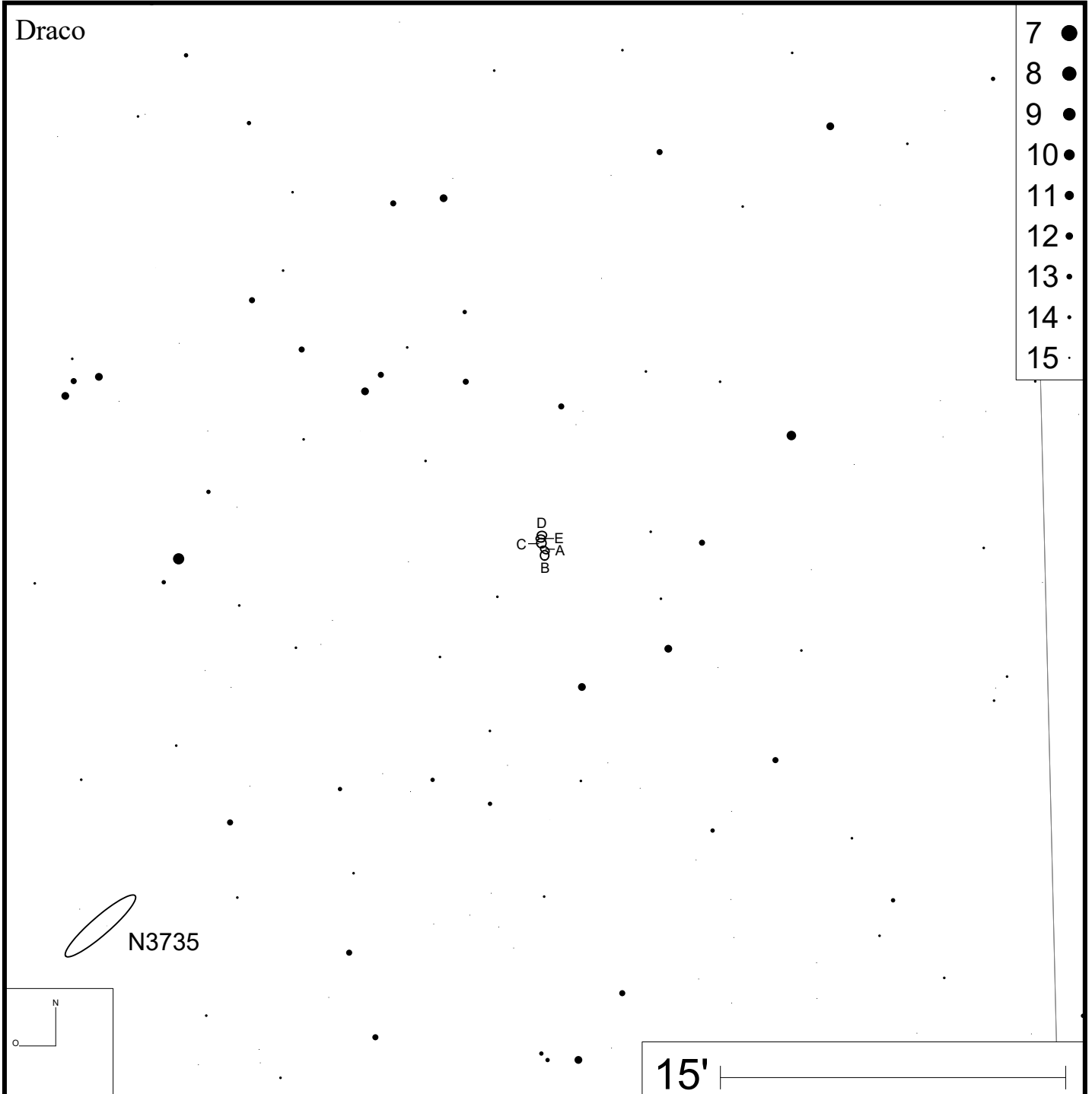
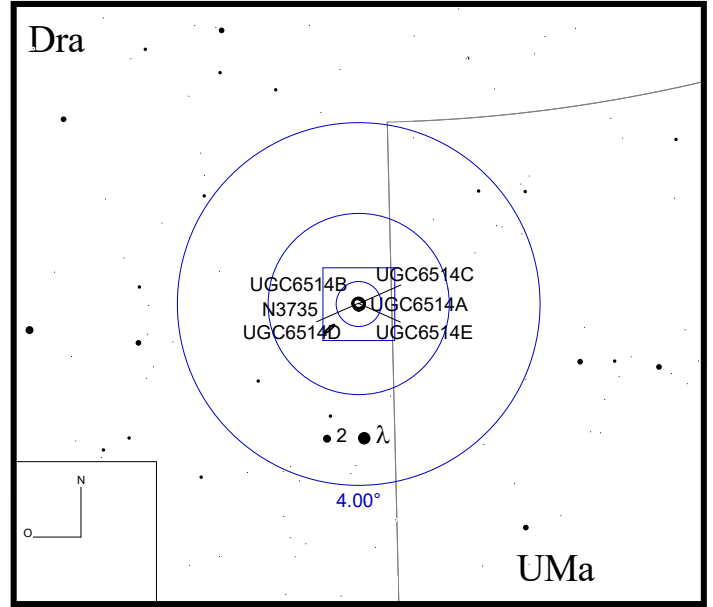


Bild: DSS



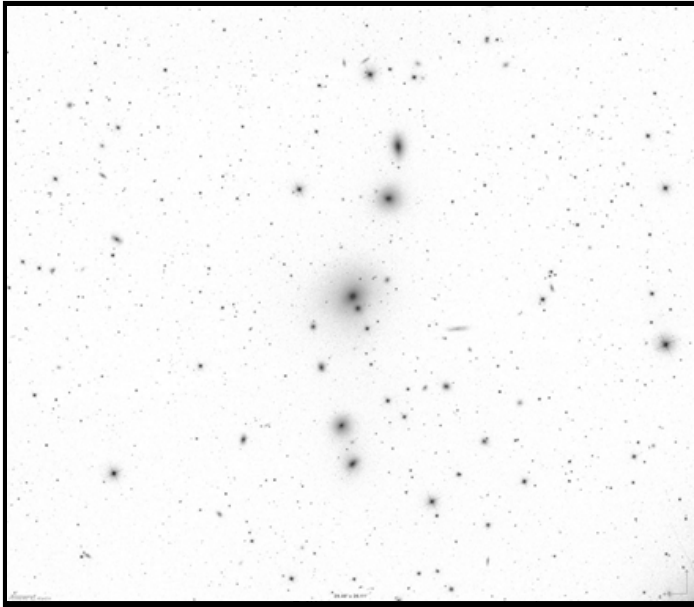
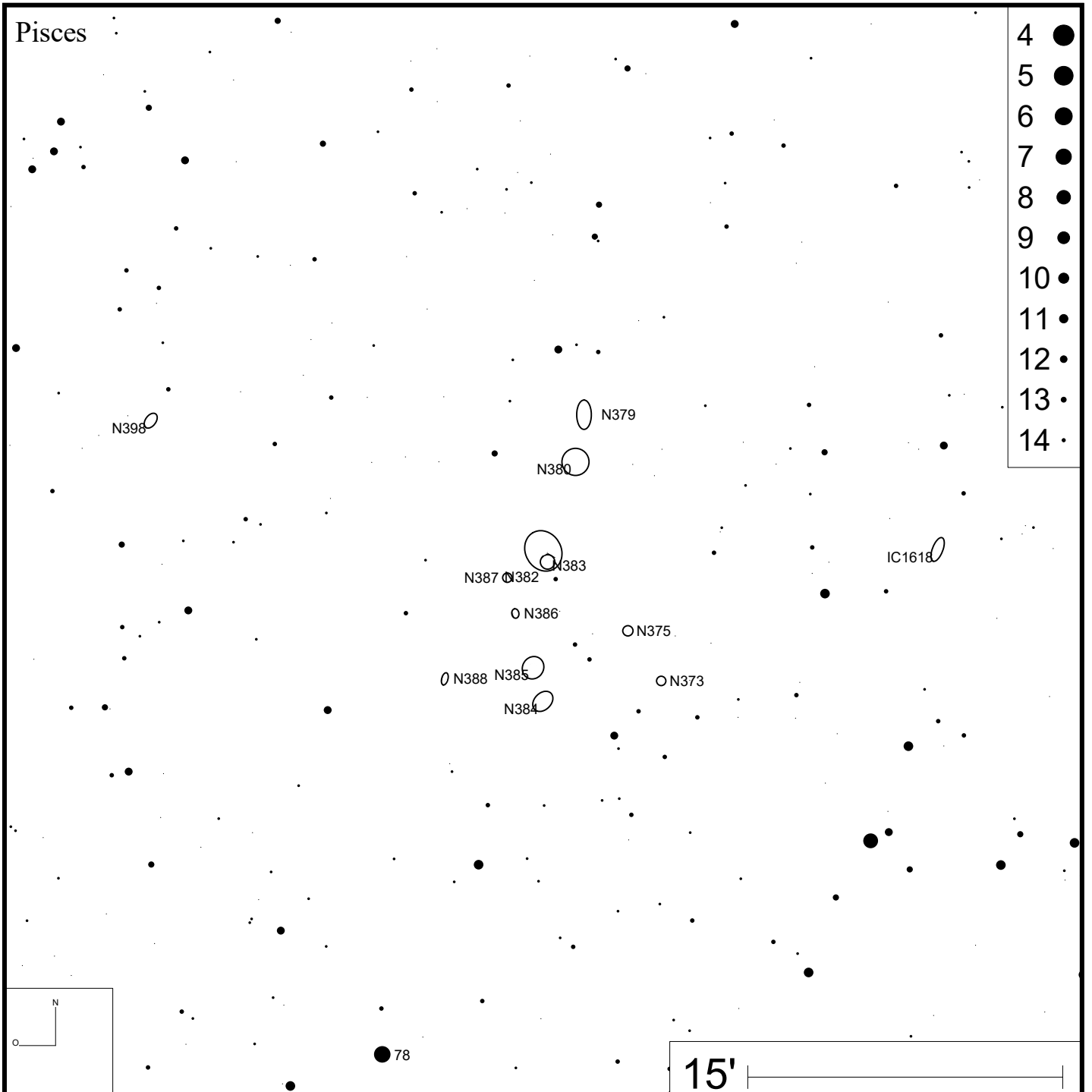
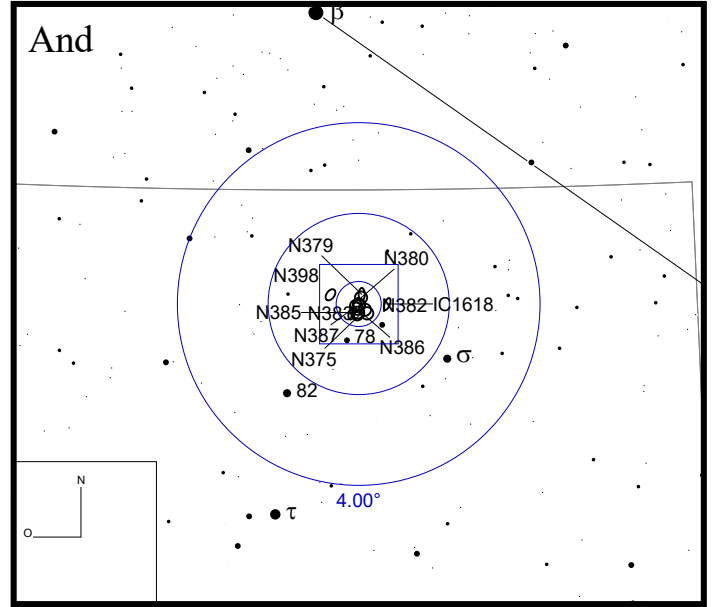


Bild: SDSS



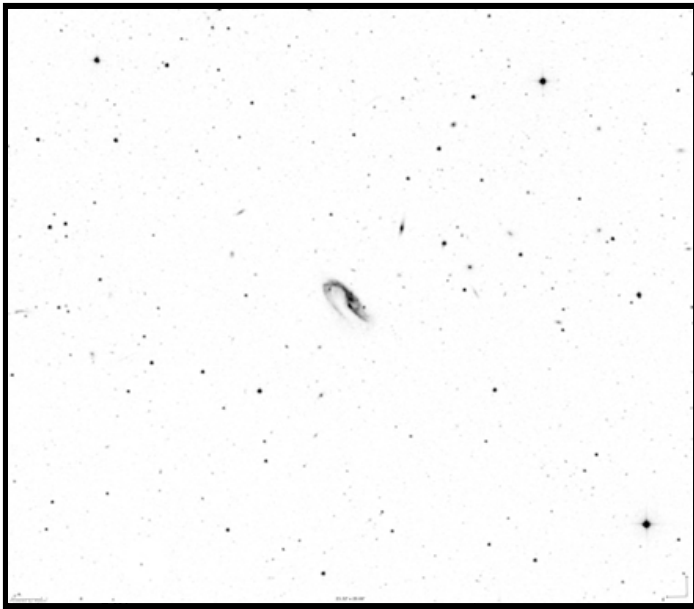
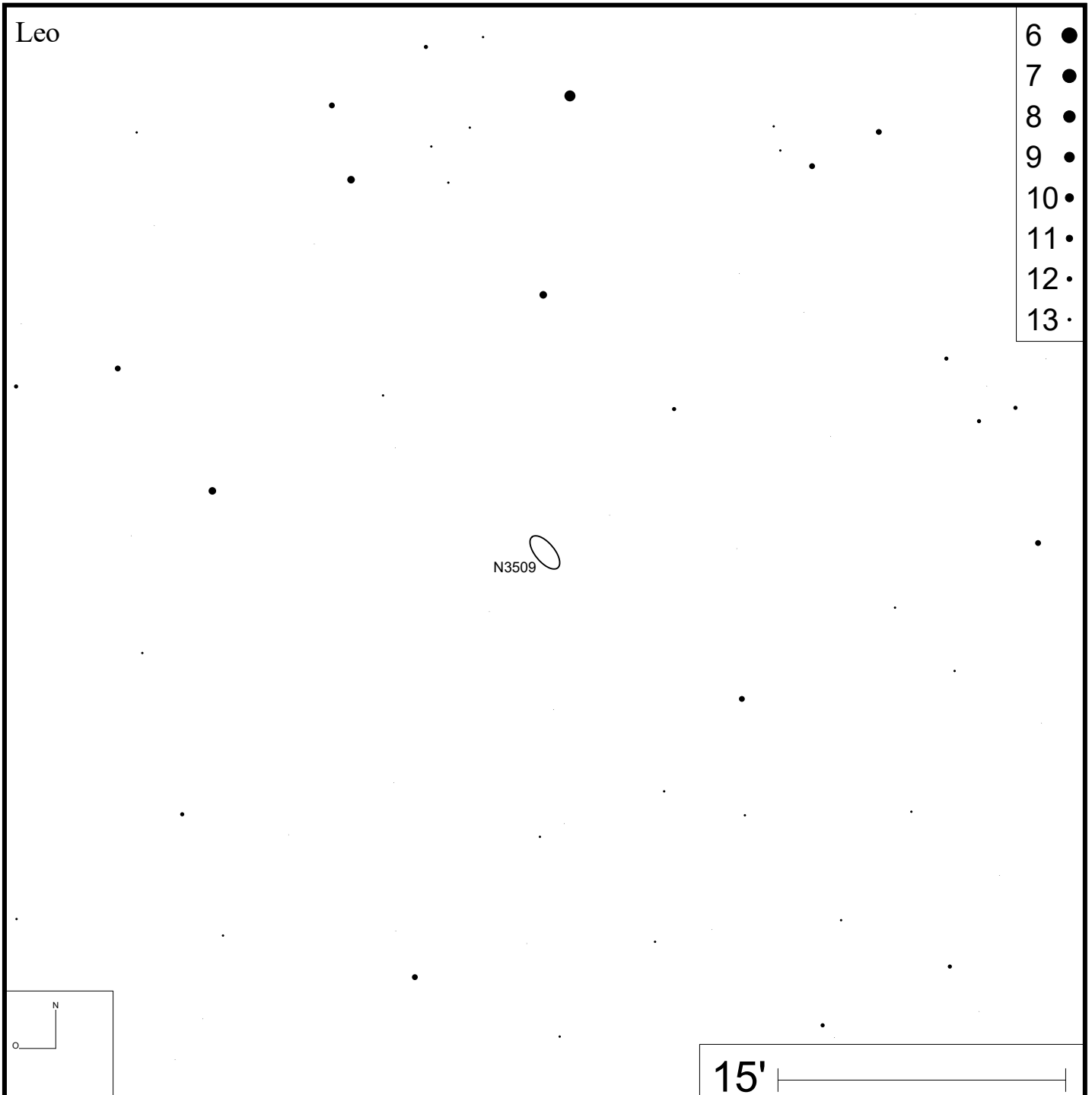
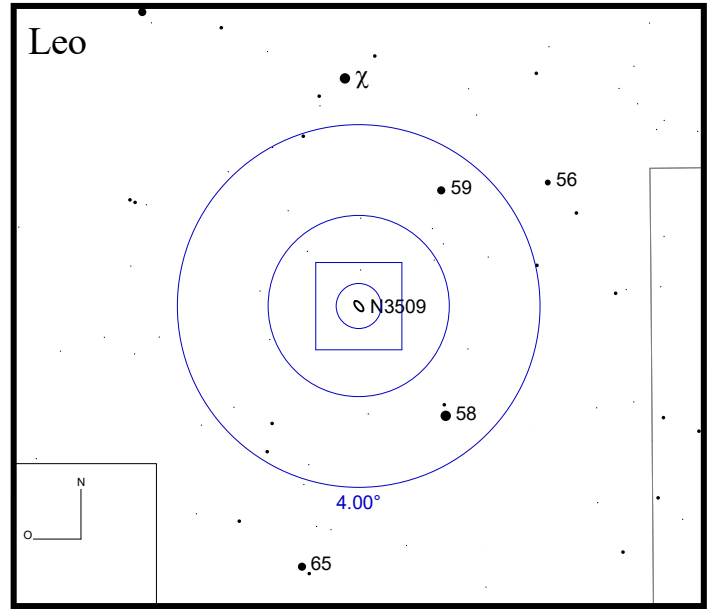


Bild: SDSS



Arp 336 (NGC 2685)

RA 08h55m35s DEC +58°44'04"

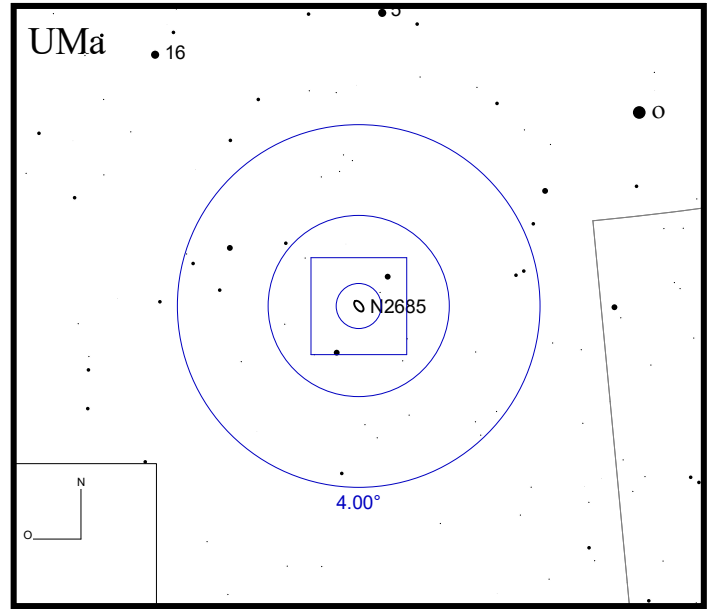
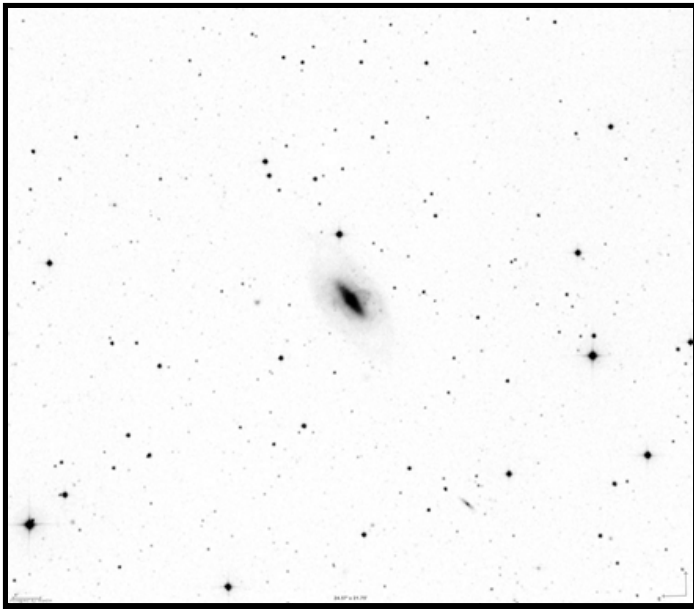
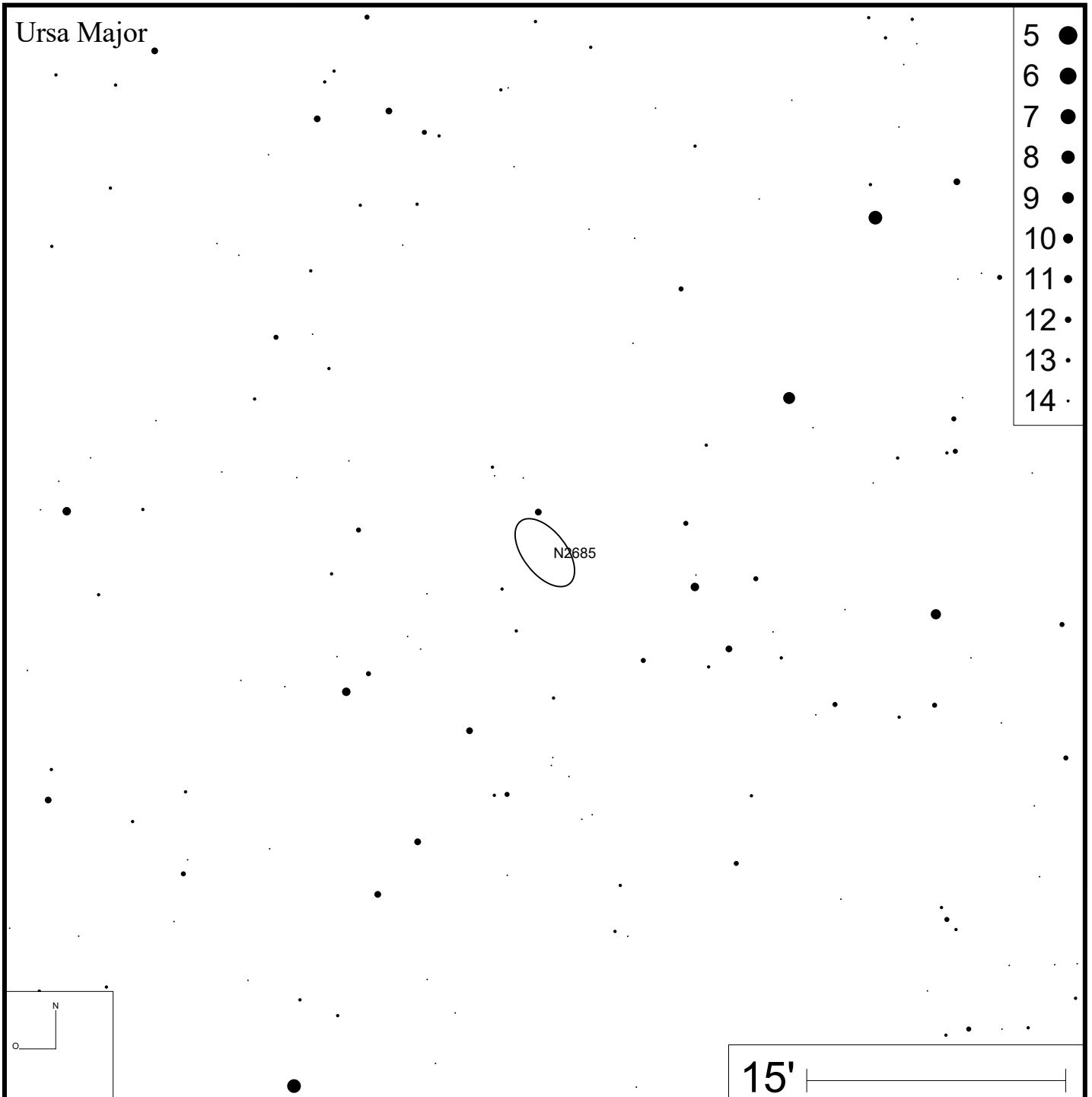


Bild: DSS



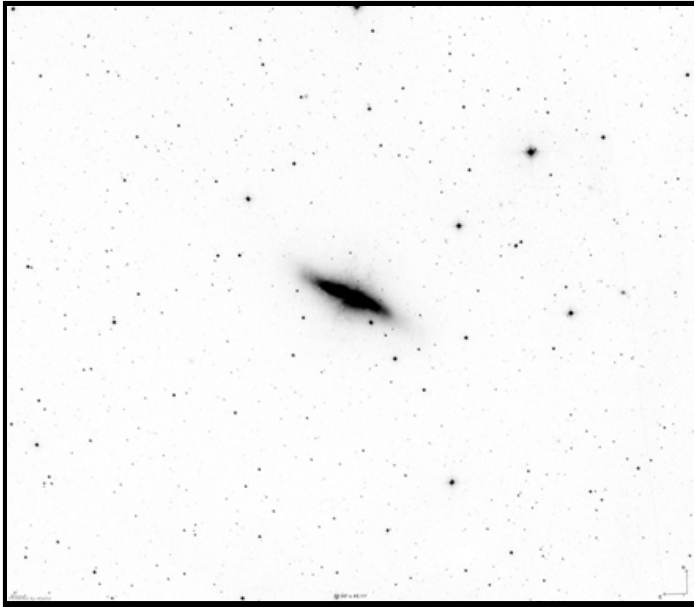
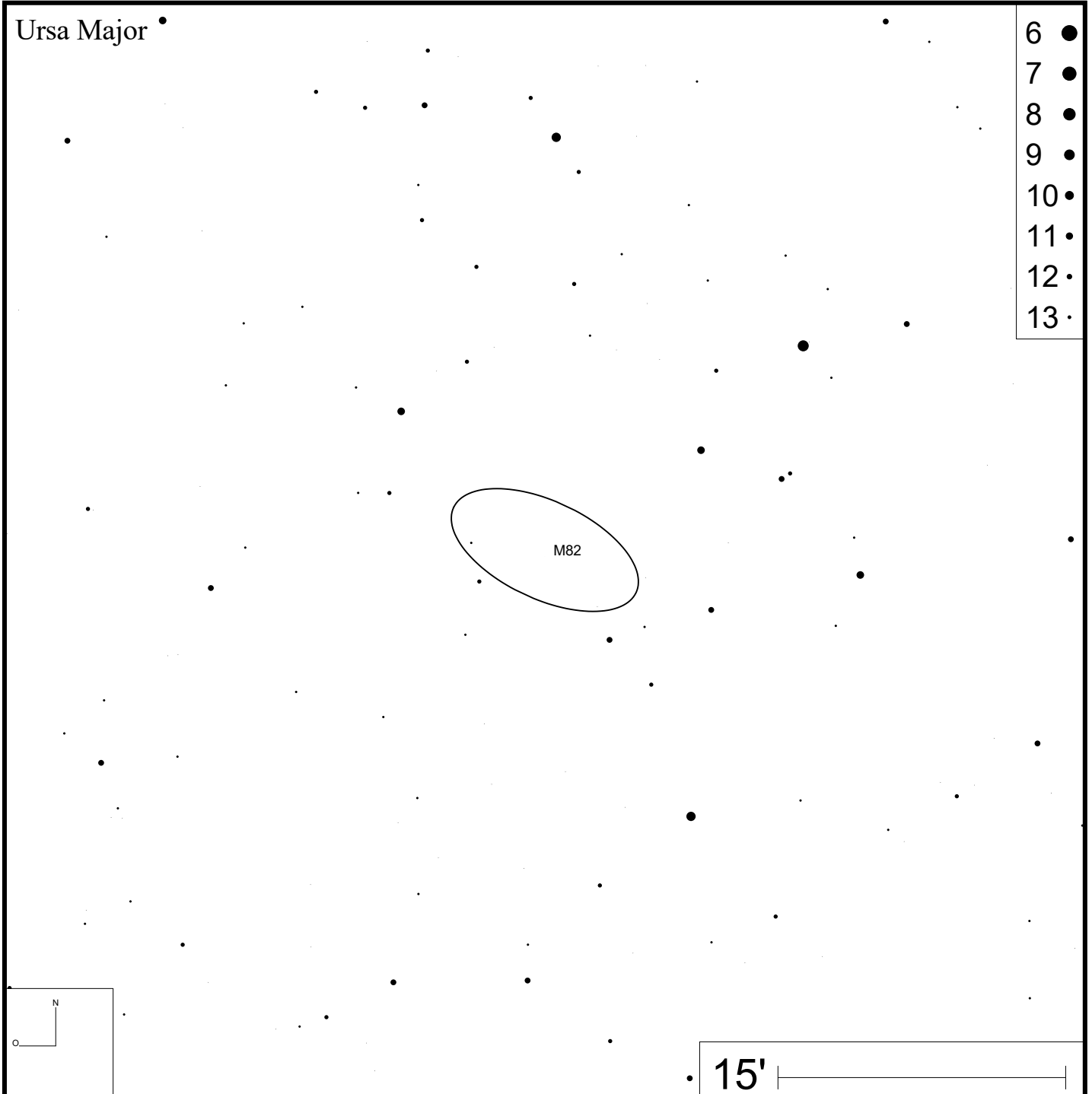
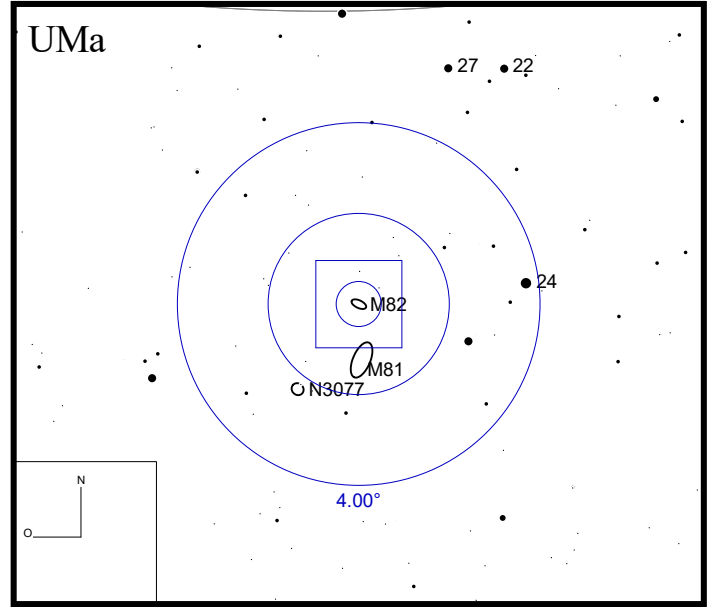


Bild: DSS



- 6 ●
- 7 ●
- 8 ●
- 9 ●
- 10 ●
- 11 ●
- 12 ●
- 13 ●